



ระดับ cadmium ในทรัพยากรปะมงจากอ่าวเบงกอลและทะเลอันดามัน (น่านน้ำพม่า)
และการประเมินความเสี่ยงด้านสุขภาพ

**Level of Cadmium in Fishery Resources from the Bay of Bengal and the
Andaman Sea (Myanmar Waters) and Its Health Risk Assessment**

สุภาพร แก้วบุบพา

Supaporn Kaewbubpha

วิทยานิพนธ์นี้เป็นส่วนหนึ่งของการศึกษาตามหลักสูตรปริญญาวิทยาศาสตรมหาบัณฑิต^๑
สาขาวิชาการจัดการสิ่งแวดล้อม^๒
มหาวิทยาลัยสงขลานครินทร์^๓

**A Thesis Submitted in Partial Fulfillment of the Requirements for the Degree of
Master of Science in Environmental Management
Prince of Songkla University**

2552

ลิขสิทธิ์ของมหาวิทยาลัยสงขลานครินทร์

(1)

| | |
|------------------------|--|
| ชื่อวิทยานิพนธ์ | ระดับแอดเมียนในทรัพยากรปะรังจากอ่าวเบงกอลและทะเลอันดามัน |
| ผู้เขียน | (น่านน้ำม่า) และการประเมินความเสี่ยงด้านสุขภาพ |
| สาขาวิชา | นางสาวสุภาร แก้วบุบพา |

| |
|-----------------------------|
| การจัดการสิ่งแวดล้อม |
|-----------------------------|

อาจารย์ที่ปรึกษาวิทยานิพนธ์หลัก

คณะกรรมการสอบ

.....
(ผู้ช่วยศาสตราจารย์ ดร.เพ็ญใจ สมพงษ์ชัยกุล)

.....
ประธานกรรมการ
(ผู้ช่วยศาสตราจารย์ ดร.นสพ.บรรจง วิทยรักษกิจ)

.....
กรรมการ
(ดร.สมเกียรติ ขอเกียรติวงศ์)

.....
กรรมการ
(ผู้ช่วยศาสตราจารย์ ดร.ยุพดี ชัยสุขสันต์)

.....
กรรมการ
(ผู้ช่วยศาสตราจารย์ ดร.เพ็ญใจ สมพงษ์ชัยกุล)

บันทึกวิทยาลัย มหาวิทยาลัยสงขลานครินทร์ อนุมัติให้นับวิทยานิพนธ์ฉบับนี้
เป็นส่วนหนึ่งของการศึกษา ตามหลักสูตรปริญญาวิทยาศาสตร์มหาบัณฑิต สาขาวิชาการจัดการ
สิ่งแวดล้อม

.....
(รองศาสตราจารย์ ดร.เกริกชัย ทองหนู)

คณบดีบันทึกวิทยาลัย

| | |
|-----------------|---|
| ชื่อวิทยานิพนธ์ | ระดับแอดเมิร์นในทรัพยากรปะมงจากอ่าวเบงกอลและทะเลอันดามัน (น่านน้ำม่า) และการประเมินความเสี่ยงด้านสุขภาพ |
| ผู้เขียน | นางสาวสุภาร แก้วบุบพา |
| สาขาวิชา | การจัดการสิ่งแวดล้อม |
| ปีการศึกษา | 2551 |

บทคัดย่อ

แอดเมิร์นที่ปนเปื้อนในเนื้อเยื่อของสัตว์ทะเลจากอ่าวเกิดความเสี่ยงต่อสุขภาพของผู้บริโภค อ่าวเบงกอลและทะเลอันดามันน้ำม่า เป็นแหล่งทรัพยากรปะมงนอกน่านน้ำที่สำคัญของไทย จากตัวอย่างที่สุ่มจากการสำรวจทรัพยากรปะมงในอ่าวเบงกอลโดยใช้เบ็ดรวมน้ำลึกและอวนลอยได้ปลากลางน้ำ 11 ชนิด 78 ตัว ขณะที่ในน่านน้ำม่าซึ่งใช้เบ็ดรวมน้ำลึกและอวนลากหน้าดิน ได้ปลากลางน้ำและสัตว์ที่หากินหน้าดิน 32 ชนิด 230 ตัวอย่าง วิเคราะห์แอดเมิร์นโดยเตรียมตัวอย่างด้วยเทคนิค dry-ashing และตรวจวัดด้วยเครื่องอินดักทีฟลีกอปเปิลพลาสม่าスペกโตรโฟโตเมตรี จากการคัดกรองความเสี่ยงเบื้องต้น พบว่าแอดเมิร์นในเนื้อเยื่อส่วนที่บริโภคยังมีค่าไม่เกินเกณฑ์ที่กำหนดในข้อบังคับของคณะกรรมการชีวการยุโรป (EU, 2006) ซึ่งยอมให้มีแอดเมิร์นในเนื้อปลาทั่วไป ปานักล่า ปลากระโทงแหงดาน และหมึก ไม่เกิน 0.05, 0.1, 0.3 และหมึก 1.0 มก./กг. ตามลำดับ ปลากระโทงแหงดาน (*Xiphias gladius*) จากอ่าวเบงกอลและในเขต่น้ำม่า มีแอดเมิร์นเฉลี่ย 0.066 ± 0.061 และ 0.111 ± 0.015 มก./กг. น้ำหนักเปียก ตามลำดับ ส่วนสัตว์ทะเลหน้าดินในน่านน้ำม่า พบว่าหมึกล้วย (*Loligo devauceei*) มีแอดเมิร์นสูงสุด เฉลี่ย 0.214 ± 0.053 มก./กг. น้ำหนักเปียก แต่ทั้ง 2 ชนิด ยังมีค่าไม่เกินเกณฑ์มาตรฐาน ปลา 5 ชนิด ที่มีแอดเมิร์นสูงกว่าเกณฑ์ คือ ปลาทูแขก (*Decapterus russelli*) ปลาปากคม (*Saurida sp.*) ปลาหนวดถาย (*Upeneus sp.*) ปลากระโทงร่น (*Istiophorus platypterus*) และปลาหน้าดอกไม้ (*Sphyraena barracuda*) ซึ่งทั้งหมดอยู่ในเขต่น้ำม่า แม้ว่าค่าสัดส่วนความเสี่ยงของแอดเมิร์นที่ปนเปื้อนในเนื้อสัตว์ทะเลทั้งหมดมีค่าน้อยกว่า 1 แต่สัตว์ทะเลที่มีขนาดใหญ่มีแนวโน้มการปนเปื้อนของแอดเมิร์นมากขึ้น ดังนั้นหากบริโภคในปริมาณมากและอย่างต่อเนื่อง อาจก่อให้เกิดความเสี่ยงต่อสุขภาพ โดยเฉพาะปลาบางชนิดที่มีค่าแอดเมิร์นสูงเกินเกณฑ์ EU (2006) ส่วนเกณฑ์ของกระทรวงสาธารณสุขของไทย (2548) ที่ยอมให้มีแอดเมิร์นสูงถึง 1.0 มก./กг. ในอาหารทุกชนิด น่าจะมีการพิจารณาเพื่อแก้ไขปรับปรุง

| | |
|----------------------|--|
| Thesis Title | Level of cadmium in fishery resources from the Bay of Bengal and the Andaman Sea (Myanmar Waters) and its health risk assessment |
| Author | Miss Supaporn Kaewbubpha |
| Major Program | Environmental Management |
| Academic Year | 2008 |

Abstract

Contamination of cadmium in marine biota may lead to consumers' health risk. Bay of Bengal and Myanmar Waters in Andaman Sea are important fishery resources of Thailand. Seventy eight samples of 11 pelagic species sampling from fishery resources caught by pelagic longline and drifting gillnet in Bay of Bengal and 230 samples of 32 species (including pelagic and demersal species) caught by pelagic longline and bottom trawling in Myanmar Waters. The samples were prepared using dry-ashing method prior to determine cadmium concentration in the solution using an Inductively Coupled Plasma – Optical Emission Spectrophotometer. According to preliminary risk screening, cadmium in those fleshes were not yet exceeded the limit of 0.05, 0.1, 0.3 and 1.0 mg/kg permitted for most fishes, predatory fishes, swordfish and squids, respectively, by the European Commission Regulation (EU, 2006). Average cadmium levels in swordfish (*Xiphias gladius*) from Bay of Bengal and Myanmar Waters were 0.066 ± 0.061 and 0.111 ± 0.015 mg/kg wet weight, respectively. The highest concentration of cadmium in demersal species of Myanmar Waters was found in squid (*Loligo devaucllei*). However, cadmium in those 2 species was within permitted levels. The 5 species that contain cadmium higher than the established standard were Indian scad (*Decapterus russelli*), lizardfish (*Saurida* sp.), goatfish (*Upeneus* sp.), Indo-Pacific sailfish (*Istiophorus platypterus*) and great barracuda (*Sphyraena barracuda*) from Myanmar Waters. The hazard quotient values for cadmium of all species were less than 1. As cadmium concentration in fishes increases with an increasing of size, high or frequent consumption of those fishes containing cadmium over the permission level of EU (2006) may cause health risk. In fact, the maximum cadmium level of 1.0 mg/kg permitted in foodstuffs by Thailand's Ministry of Public Health should be reconsidered.

สารบัญ

| | |
|---|------|
| | หน้า |
| บทคัดย่อ | (3) |
| Abstract | (4) |
| กิตติกรรมประกาศ | (5) |
| สารบัญ | (6) |
| สารบัญตาราง | (11) |
| สารบัญรูป | (15) |
| บทที่ 1 บทนำ | 1 |
| 1.1 บทนำ | 1 |
| 1.2 สมบัติทางเคมีของแคนดเมียม | 4 |
| 1.3 แหล่งกำเนิดของแคนดเมียม | 4 |
| 1.3.1 แหล่งกำเนิดที่เป็นธรรมชาติ | 4 |
| 1.3.2 แหล่งกำเนิดที่มาจากการกระทำของมนุษย์ | 5 |
| 1.4 การใช้ประโยชน์จากแคนดเมียม | 5 |
| 1.5 การแพร่กระจายของแคนดเมียมในสิ่งแวดล้อม | 8 |
| 1.5.1 แคนดเมียมในอากาศ | 8 |
| 1.5.2 แคนดเมียมในน้ำ | 8 |
| 1.5.3 แคนดเมียมในดิน | 9 |
| 1.5.4 แคนดเมียมในสิ่งมีชีวิต | 9 |
| 1.6 เกษตรและแคนดเมียมในสัตว์ทดลอง | 11 |
| 1.7 การเข้าสู่ร่างกายของมนุษย์ | 13 |
| 1.8 ความเป็นพิษของแคนดเมียม | 15 |
| 1.8.1 ความเป็นพิษแบบเฉียบพลัน | 15 |
| 1.8.2 ความเป็นพิษแบบเรื้อรัง | 15 |
| 1.8.3 การทำจัดแคนดเมียมออกจากร่างกาย (Excretion) | 16 |

สารบัญ (ต่อ)

| | หน้า |
|---|------|
| บทที่ 1 (ต่อ) | |
| 1.9 พื้นที่ในการศึกษา | 16 |
| 1.9.1 อ่าวเบงกอล | 16 |
| 1.9.1.1 ลักษณะทางกายภาพ | 16 |
| 1.9.1.2 ทรัพยากรสัตว์ทะเล | 17 |
| 1.9.2 ทะเลอันดามัน (น่านน้ำม่า) | 18 |
| 1.9.2.1 ลักษณะทางกายภาพ | 18 |
| 1.9.2.2 ทรัพยากรสัตว์ทะเล | 19 |
| 1.10 ความเสี่ยง | 20 |
| 1.10.1 การประเมินความเสี่ยงด้านสุขภาพ | 22 |
| 1.10.2 องค์ประกอบของการประเมินความเสี่ยง | 23 |
| 1.11 วัตถุประสงค์ของการวิจัย | 24 |
| บทที่ 2 วิธีดำเนินการวิจัย | 24 |
| 2.1 พื้นที่การเก็บตัวอย่าง | 24 |
| 2.2 วิธีการเก็บตัวอย่าง | 24 |
| 2.2.1 ทะเลอันดามัน (น่านน้ำม่า) | 24 |
| 2.2.2 อ่าวเบงกอล | 26 |
| 2.3 การสุ่มตัวอย่างเพื่อนำมาวิเคราะห์ทางเคมี | 26 |
| 2.4 วิธีเตรียมตัวอย่างและการวิเคราะห์ | 29 |
| 2.4.1 การทำความสะอาดอุปกรณ์และภาชนะ | 29 |
| 2.4.2 วิธีเตรียมตัวอย่าง | 29 |
| 2.4.3 การย่อยตัวอย่างเนื้อเยื่อสัตว์ทะเล | 29 |
| 2.4.4 การวัดความเข้มข้นแอดเมิร์ฟในสารละลาย | 31 |
| 2.5 การควบคุมคุณภาพในการวิเคราะห์ตัวอย่าง | 32 |
| 2.6 การวิเคราะห์ข้อมูลทางสถิติ | 32 |

สารบัญ (ต่อ)

| | หน้า |
|--|------|
| บทที่ 2 (ต่อ) | |
| 2.7 วิเคราะห์ความเสี่ยงในการบริโภค | |
| 2.7.1 ความเสี่ยงเบื้องต้น (Risk screening) | 33 |
| 2.7.2 การประเมินความเสี่ยงในการได้รับแอดเมียวนิปริมาณน้อย เป็นเวลานาน | 33 |
| 2.7.3 การประเมินปริมาณที่ปลอดภัยในการบริโภค | 34 |
| บทที่ 3 ผลการศึกษาและวิจารณ์ผลการศึกษา | 35 |
| 3.1 ชนิดพันธุ์และขนาดของสัตว์ทะเลที่ศึกษา | 35 |
| 3.1.1 ชนิดพันธุ์และขนาดของสัตว์ทะเลจากอ่าวเบงกอล | 35 |
| 3.1.2 ชนิดพันธุ์และขนาดของสัตว์ทะเลจากทะเลอันดามันใน เขต่น่าน้ำม่า | 37 |
| 3.2 ผลการวิเคราะห์สารอ้างอิงที่รับรอง | 37 |
| 3.3 ปริมาณแอดเมียวนิสัตว์ทะเลจากอ่าวเบงกอล | 41 |
| 3.3.1 ปริมาณแอดเมียวนิเนื้อสัตว์ทะเลแต่ละชนิด | 41 |
| 3.3.2 การเปรียบเทียบปริมาณแอดเมียวนิเนื้อยื่อสัตว์ทะเลกับค่ามาตรฐาน | 44 |
| 3.3.3 การเปรียบเทียบปริมาณแอดเมียวนิเนื้อยื่อสัตว์ทะเลกับพื้นที่อื่นๆ | 44 |
| 3.3.4 ความสัมพันธ์ระหว่างปริมาณแอดเมียวนิกับขนาดของตัวอย่างสัตว์ทะเล | 46 |
| 3.3.4.1 ความสัมพันธ์ในภาพรวม | 46 |
| 3.3.4.2 ความสัมพันธ์แยกตามชนิดและประเภทเครื่องมือ | 48 |
| 3.4 ปริมาณแอดเมียวนิสัตว์ทะเลจากทะเลอันดามัน (น่านน้ำม่า) | 49 |
| 3.4.1 ปริมาณแอดเมียวนิเนื้อสัตว์ทะเลแต่ละชนิด | 49 |
| 3.4.2 การเปรียบเทียบปริมาณแอดเมียวนิเนื้อยื่อสัตว์ทะเลกับค่ามาตรฐาน | 53 |
| 3.4.3 การเปรียบเทียบปริมาณแอดเมียวนิเนื้อยื่อสัตว์ทะเลกับพื้นที่อื่นๆ | 56 |
| 3.4.4 ความสัมพันธ์ระหว่างปริมาณแอดเมียวนิกับขนาดของ ตัวอย่างสัตว์ทะเล | 57 |
| 3.4.4.1 ความสัมพันธ์ในภาพรวม | 57 |
| 3.4.4.2 ความสัมพันธ์แยกตามชนิดและประเภทเครื่องมือ | 58 |

สารบัญ (ต่อ)

| | หน้า |
|---|------|
| บทที่ 3 (ต่อ) | |
| 3.5 การประเมินความเสี่ยงและความปลอดภัยในการบริโภค | 62 |
| 3.51 สัตว์ทะเลจากอ่าวเบงกอล | 62 |
| 3.5.2 สัตว์ทะเลจากทะเลอันดามัน (น่านน้ำพม่า) | 62 |
| 3.6 การเปรียบเทียบสัตว์ทะเลจากอ่าวเบงกอล (พื้นที่ A และ B) กับทะเลอันดามัน | 65 |
| 3.6.1 การเปรียบเทียบขนาด (ความยาวและน้ำหนัก) แยกตามประเภท เครื่องมือประเมิน | 65 |
| 3.6.2 การเปรียบเทียบปริมาณแอดเมียนแยกตามประเภทเครื่องมือประเมิน | 66 |
| 3.6.3 การเปรียบเทียบปริมาณแอดเมียนที่ป่นเป็นเนื้อปลาชนิดเดียวกัน ที่สุ่มจับจากอ่าวเบงกอล (พื้นที่ A และ B) กับทะเลอันดามัน | 68 |
| 3.6.4 ผลการเปรียบเทียบความสัมพันธ์ระหว่างปริมาณแอดเมียนเฉลี่ยกับ ขนาดเฉลี่ย | 68 |
| 3.6.5 การเปรียบเทียบความเสี่ยงและความปลอดภัยในการบริโภคสัตว์ทะเล ชนิดเดียวกันที่สุ่มจับจากอ่าวเบงกอลกับทะเลอันดามัน | 68 |
| บทที่ 4 สรุปผลและข้อเสนอแนะ | 72 |
| 4.1 ปริมาณแอดเมียนในเนื้อสัตว์ทะเลจากอ่าวเบงกอล | 72 |
| 4.2 ปริมาณแอดเมียนในเนื้อสัตว์ทะเลจากทะเลอันดามัน (น่านน้ำพม่า) | 73 |
| 4.3 การประเมินความเสี่ยง | 73 |
| 4.3.1 ความเสี่ยงในการบริโภคปลาจากอ่าวเบงกอล | 73 |
| 4.3.2 ความเสี่ยงในการบริโภคสัตว์ทะเลจากทะเลอันดามัน (น่านน้ำพม่า) | 73 |
| 4.4 ปริมาณที่ปลอดภัยในการบริโภคต่อสัปดาห์ | |
| 4.4.1 ปริมาณที่ปลอดภัยในการบริโภคปลาจากอ่าวเบงกอล | 74 |
| 4.4.2 ปริมาณที่ปลอดภัยในการบริโภคสัตว์ทะเลจากทะเลอันดามัน (น่านน้ำพม่า) | 74 |
| 4.5 ข้อเสนอแนะ | 75 |

สารบัญ (ต่อ)

| | หน้า |
|--|------|
| บรรณานุกรม | 76 |
| ภาคผนวก | 85 |
| ภาคผนวก ก หลักการเครื่องมือ Inductively Coupled Plasma - Optical Emission Spectroscopy (ICP-OES) | 86 |
| ภาคผนวก ข ชื่อวิทยาศาสตร์ ชื่อสามัญ และรูปร่างของสัตว์ทະเลที่จับได้จากอ่าวเบงกอล และทะเลอันดามัน (น่านน้ำพม่า) | 88 |
| ภาคผนวก ค ขนาด (น้ำหนักและความยาว) ลักษณะการกินอาหาร และถิ่นที่อยู่ของสัตว์ทະเลแต่ละชนิดจากอ่าวเบงกอลและทะเลอันดามัน (น่านน้ำพม่า) | 97 |
| ภาคผนวก ง ผลการวิเคราะห์แคนดเมียมในตัวอย่างชั้น 10 % ของตัวอย่างทั้งหมด | 117 |
| ภาคผนวก จ ปริมาณของแคนดเมียมในสัตว์ทະเลแต่ละชนิดจากอ่าวเบงกอล และทะเลอันดามัน (น่านน้ำพม่า) | 118 |
| ภาคผนวก ฉ การทดสอบทางสอดคล้อง | 127 |
| ภาคผนวก ช ค่า HQ และ PTWI ของตัวอย่างสัตว์น้ำแต่ละชนิด พร้อมตัวอย่าง การหาค่า HQ และ PTWI | 137 |
| ประวัติผู้เขียน | 143 |

สารบัญตาราง

| | หน้า |
|--|------|
| ตารางที่ 1-1 ปริมาณแอดเมียมที่สะสมในเนื้อสัตว์ทะเลแต่ละชนิดจากพื้นที่ต่างๆ | 12 |
| ตารางที่ 1-2 ปริมาณแอดเมียมที่ยอมให้มีเป็นปีกอนในอาหารสูงสุดที่กำหนดโดยแต่ละองค์กร | 13 |
| ตารางที่ 2-1 คำแนะนำสถานีสำรวจ วัน และเวลาที่ทำการสุ่มจับสัตว์ทะเลในทะเลอันดามันโดยใช้อวนลากหน้าดิน | 26 |
| ตารางที่ 2-2 คำแนะนำสถานีสำรวจ วัน และเวลาที่ทำการสุ่มจับสัตว์ทะเลในอ่าวเบงกอลโดยใช้เครื่องมือต่างๆ | 28 |
| ตารางที่ 3-1 นำหนักเฉลี่ย ± ส่วนเบี่ยงเบนมาตรฐาน (ช่วงนำหนักต่ำสุด - สูงสุด) และความยาวทั้งหมดเฉลี่ย ± ส่วนเบี่ยงเบนมาตรฐาน (ช่วงความยาวต่ำสุด - สูงสุด) ของตัวอย่างสัตว์ทะเลที่สุ่มจับจากอ่าวเบงกอลโดยเครื่องมือประมงประเกทเบ็ดรวมนำลีกและอวนล้อย | 36 |
| ตารางที่ 3-2 นำหนักเฉลี่ย ± ส่วนเบี่ยงเบนมาตรฐาน (ช่วงนำหนักต่ำสุด - สูงสุด) และความยาวทั้งหมดเฉลี่ย ± ส่วนเบี่ยงเบนมาตรฐาน (ช่วงความยาวต่ำสุด - สูงสุด) ของตัวอย่างสัตว์ทะเลที่สุ่มจับจากทะเลอันดามัน (น่านน้ำpm) โดยใช้อวนลากหน้าดิน และเบ็ดรวมนำลีก | 38 |
| ตารางที่ 3-3 ปริมาณแอดเมียมในสารอ้างอิงที่รับรอง DORM-2 และ DOLT-2 | 41 |
| ตารางที่ 3-4 ปริมาณแอดเมียมเฉลี่ย ± ส่วนเบี่ยงเบนมาตรฐาน (ค่าต่ำสุด – ค่าสูงสุด) และค่ามัธยฐานของตัวอย่างสัตว์ทะเลที่จับได้จากอ่าวเบงกอล | 42 |
| ตารางที่ 3-5 ค่าสัมประสิทธิ์สหสัมพันธ์ทางสถิติระหว่างขนาด (ความยาวและนำหนัก) กับปริมาณของแอดเมียมในเนื้อเยื่อสัตว์ทะเลจากอ่าวเบงกอลทั้ง 72 ตัวอย่างจากการทดสอบโดยใช้ Bivariate Correlation (Pearson) ด้วย SPSS for Windows Versions 15 | 47 |
| ตารางที่ 3-6 ค่าสัมประสิทธิ์สหสัมพันธ์ทางสถิติระหว่างขนาด (ความยาวและนำหนัก) กับปริมาณของแอดเมียมในเนื้อเยื่อสัตว์ทะเลจากอ่าวเบงกอล 4 ชนิดจากการทดสอบโดยใช้ Bivariate Correlation (Pearson) ด้วย SPSS for Windows Versions 15 | 47 |

สารบัญตาราง (ต่อ)

| | หน้า |
|---|------|
| ตารางที่ 3-7 ปริมาณแอดเมียโนลีบ ± ส่วนเบี่ยงเบนมาตรฐาน (ค่าต่ำสุด – ค่าสูงสุด) ของตัวอย่างสัตว์ทะเลที่จับได้จากทะเลอันตามัน (น่านน้ำpm') | 50 |
| ตารางที่ 3-8 ค่าสัมประสิทธิ์สหสัมพันธ์ทางสถิติระหว่างขนาด (ความยาวและน้ำหนัก) กับปริมาณของแอดเมียโนในเนื้อเยื่อสัตว์ทะเลจากทะเลอันตามันทั้ง 32 ชนิด โดยใช้การทดสอบสัมประสิทธิ์สหสัมพันธ์ทางสถิติ โดย Bivariate Correlation (Pearson) ด้วย SPSS for Windows Versions 15 | 57 |
| ตารางที่ 3-9 ค่าสัมประสิทธิ์สหสัมพันธ์ทางสถิติระหว่างขนาด (ความยาวและน้ำหนัก) กับปริมาณของแอดเมียโนในเนื้อเยื่อสัตว์ทะเลจากทะเลอันตามันทั้ง 32 ชนิด โดยใช้การทดสอบสัมประสิทธิ์สหสัมพันธ์ทางสถิติ โดย Bivariate Correlation (Pearson) ด้วย SPSS for Windows Versions 15 | 58 |
| ตารางที่ ก-1 แสดงถักยณะของสัตว์ทะเลแต่ละชนิดที่จับได้จากอ่าวเบงกอลและ ทะเลอันตามัน (น่านน้ำpm') | 98 |
| ตารางที่ ก-2 ขนาดของสัตว์ทะเลแต่ละตัวจากอ่าวเบงกอลที่จับได้โดยเบ็ดรวมน้ำลึก (Pelagic longine) | 101 |
| ตารางที่ ก-3 ขนาดของสัตว์ทะเลแต่ละตัวจากอ่าวเบงกอลที่จับได้โดยอวนลอย (Drift gillnet) | 103 |
| ตารางที่ ก-4 ขนาดของสัตว์ทะเลแต่ละตัวจากทะเลอันตามัน (น่านน้ำpm') ที่จับโดย อวนลากหน้าดิน (Bottom Trawl) | 106 |
| ตารางที่ ก-5 ขนาดของสัตว์ทะเลแต่ละตัวจากทะเลอันตามัน (น่านน้ำpm') ที่จับโดย เบ็ดรวมน้ำลึก (Pelagic longline) | 116 |
| ตารางที่ ง-1 ผลการวิเคราะห์แอดเมียโนในตัวอย่างช้า 10 % ของตัวอย่างทั้งหมด | 117 |
| ตารางที่ จ-1 ปริมาณของแอดเมียโน (mg. /kg. น้ำหนักปียก) ในเนื้อเยื่อสัตว์ทะเล จากอ่าวเบงกอล | 118 |
| ตารางที่ จ-2 ปริมาณของแอดเมียโน (mg. /kg. น้ำหนักปียก) ในเนื้อเยื่อสัตว์ทะเล จากทะเลอันตามัน (น่านน้ำpm') | 121 |

สารบัญตาราง (ต่อ)

| | หน้า |
|--|------|
| ตารางที่ ฉ-1 แสดงการทดสอบความแตกต่างของปริมาณแอดเมียโนในเนื้อปลาทูน่าท้องແตน (<i>K. Pelamis</i>) จากอ่าวเบงกอลในพื้นที่ A พื้นที่ B และพื้นที่ C ด้วย One – Way ANOVA โดยใช้โปรแกรม SPSS for Windows Versions 11 | 127 |
| ตารางที่ ฉ-2 แสดงการทดสอบความแตกต่างของปริมาณแอดเมียโนในเนื้อปลากระโทงແຕນ (<i>X. Gladius</i>) จากอ่าวเบงกอลในพื้นที่ A พื้นที่ B และพื้นที่ C ด้วย One – Way ANOVA โดยใช้โปรแกรม SPSS for Windows Versions 11 | 128 |
| ตารางที่ ฉ-3 แสดงการทดสอบความแตกต่างของขนาดสัตว์ทะเลที่จับโดยเบ็ดรวมน้ำลึกและawanลอยจากอ่าวเบงกอล ด้วย Independent Samples T-test จากโปรแกรม SPSS for Windows Versions 15 | 129 |
| ตารางที่ ฉ-4 แสดงการทดสอบความแตกต่างของขนาดของสัตว์ทะเลที่จับโดยใช้เบ็ดรวมน้ำลึก awanลอย และawanลากจากทะเลอันดามัน (น่านน้ำpm) ด้วย One - Way ANOVA โดยใช้โปรแกรม SPSS for Windows Versions 11 | 130 |
| ตารางที่ ฉ-5 แสดงการทดสอบความแตกต่างของขนาดสัตว์ทะเลที่จับโดยเบ็ดรวมน้ำลึก จากอ่าวเบงกอล และทะเลอันดามัน (น่านน้ำpm) ด้วย Independent Samples T-test จากโปรแกรม SPSS for Windows Versions 15 | 130 |
| ตารางที่ ฉ-6 แสดงการทดสอบความแตกต่างของขนาดสัตว์ทะเลที่จับโดยawanลอย จากอ่าวเบงกอล และทะเลอันดามัน (น่านน้ำpm) ด้วย Independent Samples T-test จากโปรแกรม SPSS for Windows Versions 15 | 131 |
| ตารางที่ ฉ-7 แสดงการทดสอบความแตกต่างของปริมาณแอดเมียโนในสัตว์ทะเลที่จับโดยเบ็ดรวมน้ำลึกและawanลอย จากพื้นที่อ่าวเบงกอล ด้วย Independent Samples T-test จากโปรแกรม SPSS for Windows Versions 15 | 132 |
| ตารางที่ ฉ-8 แสดงการทดสอบความแตกต่างของปริมาณแอดเมียโนในสัตว์ทะเลที่จับโดยใช้เบ็ดรวมน้ำลึก awanลอย และawanลากจากทะเลอันดามัน (น่านน้ำpm) ด้วย One -Way ANOVA โดยใช้โปรแกรม SPSS for Windows Versions 11 | 133 |

สารบัญตาราง (ต่อ)

| | หน้า | |
|---------------|--|-----|
| ตารางที่ ฉ-9 | แสดงการการทดสอบความแตกต่างของปริมาณแคดเมียมในสัตว์ทะเลที่จับโดยเป็นคราน้ำลึก จากอ่าวเบงกอล และทะเลอันดามัน (น่านน้ำpm) ด้วย Independent Samples T-test จากโปรแกรม SPSS for Windows Versions 15 | 133 |
| ตารางที่ ฉ-10 | แสดงการการทดสอบความแตกต่างของปริมาณแคดเมียมในสัตว์ทะเลที่จับโดยอวนลอย จากอ่าวเบงกอล และทะเลอันดามัน (น่านน้ำpm) ด้วย Independent Samples T-test จากโปรแกรม SPSS for Windows Versions 15 | 134 |
| ตารางที่ ฉ-11 | การทดสอบความแตกต่างของปริมาณแคดเมียมในเนื้อปศุสัตว์หางยาว หน้าหนู (<i>A.superciliosus</i>) จากอ่าวเบงกอลและทะเลอันดามัน (น่านน้ำpm) ด้วย Independent Samples T-test จากโปรแกรม SPSS for Windows Version 15 | 135 |
| ตารางที่ ฉ-12 | แสดงการการทดสอบความแตกต่างของปริมาณแคดเมียมในเนื้อปลากระโพงแหงดาน (<i>X. Gladius</i>) จากอ่าวเบงกอล และทะเลอันดามัน (น่านน้ำpm) ด้วย Independent Samples T-test จากโปรแกรม SPSS for Windows Version 15 | 136 |
| ตารางที่ ช-1 | ปริมาณแคดเมียมเฉลี่ยที่ปนเปื้อนในเนื้อสัตว์ทะเล ค่า Average cadmium daily intake (ADI) ค่า Hazard Quotient (HQ) และค่า Provisional Tolerance Weekly Intake (PTWI) สำหรับผู้ที่มีน้ำหนักตัว 50 และ 60 กก. ของสัตว์ทะเลทั้ง 11 ชนิดจากอ่าวเบงกอล | 137 |
| ตารางที่ ช-2 | ปริมาณแคดเมียมเฉลี่ยที่ปนเปื้อนในเนื้อสัตว์ทะเล ค่า Average cadmium daily intake (ADI) ค่า Hazard Quotient (HQ) และค่า Provisional Tolerance Weekly Intake (PTWI) สำหรับผู้ที่มีน้ำหนักตัว 50 และ 60 กก. ของสัตว์ทะเลทั้ง 32 ชนิดจากทะเลอันดามัน (น่านน้ำpm) | 138 |

สารบัญรูป

| | หน้า | |
|------------|---|----|
| รูปที่ 1-1 | (ก) แนวโน้มการผลิตแครดเมียมในแต่ละทวีปตั้งแต่ปี ก.ศ. 1997 - 2004 และ ⁷ (ข) สัดส่วนการเก็บรักษาแครดเมียมไว้ของประเทศไทยทั่วโลก ในปี ก.ศ. 2005 ⁷ จำนวน 600,000 ตัน | 7 |
| รูปที่ 1-2 | ปริมาณการใช้แครดเมียมทั่วโลกในด้านต่างๆ โดยเปรียบเทียบระหว่าง ⁷ ปี ก.ศ. 1990 กับปี ก.ศ. 2004 | 7 |
| รูปที่ 1-3 | แหล่งกำเนิด การแพร่กระจาย และ การปนเปื้อนของแครดเมียมในสิ่งแวดล้อม | 10 |
| รูปที่ 1-4 | การถ่ายทอดสารแครดเมียมตามลำดับขั้นของผู้บริโภค | 10 |
| รูปที่ 1-5 | แผนที่แสดงที่ตั้งของอ่าวเบงกอล | 16 |
| รูปที่ 1-6 | แผนที่แสดงที่ตั้งทะเลอันดามัน | 18 |
| รูปที่ 1-7 | สัดส่วนเฉลี่ยของชนิดปลาในแต่ละเที่ยวการทำประมงโดย (ก) awan lata (ข) awanคำ และ (ค) awan lõom ที่เข้าร่วมสัมปทานในเขตประเทศไทยฯ ภายใต้สิทธิทำการประมงของบริษัทสยามโภนาชาน ปี พ.ศ. 2550 | 21 |
| รูปที่ 2-1 | สถานีเก็บตัวอย่าง โดยawan lata (●) และแนววางแผนเบื้องราวน้ำลึก 2 แนว แนวซ้าย: แนวเก็บตัวอย่างเหนือบริเวณที่เป็นลาดทวีป (continental slope) ความลึก 400 – 1,500 เมตร และแนวขวา: แนวเก็บตัวอย่างเหนือบริเวณที่ เป็นพื้นสมุทร (abyssal plain) ความลึก 2,000 – 2,700 เมตร ในทะเลอันดามัน น่านน้ำพม่า ²⁵ | 25 |
| รูปที่ 2-2 | สถานีเก็บตัวอย่างสัตว์ทะเลโดยเบื้องราวน้ำลึก (●) และawan lõoy (○) ใน 3 พื้นที่ ²⁷ ของอ่าวเบงกอล พื้นที่ A – บริเวณทะเลที่ระดับลึก 2,000 ถึง 2,600 เมตร ในเขตเศรษฐกิจจำเพาะของประเทศไทยบังคลาเทศและอินเดีย และในน่านน้ำสากล; พื้นที่ B – ฝั่งตะวันตกของอ่าวเบงกอล ในเขตเศรษฐกิจจำเพาะของประเทศไทย อินเดียและศรีลังกา และในน่านน้ำสากล; และพื้นที่ C – กลางทะเลอันดามัน ที่ระดับความลึก 1,128 ถึง 2,841 เมตร ครอบคลุมน่านน้ำอินเดีย พม่า และ ไทย จุดสีดำใหญ่ แสดงสถานีที่ใช้ | 27 |
| รูปที่ 2-3 | การสุมตัวอย่างสัตว์ทะเลที่นำมาวิเคราะห์หาแครดเมียมในเนื้อเยื่อ | 28 |

สารบัญรูป (ต่อ)

| | หน้า |
|---|------|
| รูปที่ 2-4 การแล่และเตรียมตัวอย่างเนื้อเยื่อ เก็บใส่ถุงพลาสติก เพื่อเตรียมวิเคราะห์ทางเคมี ทุกขั้นตอนคำนินการในตู้ปราศจากฝุ่น (Laminar flow cabinet) Class 100: รูป (ก) – การแล่และเตรียมตัวอย่าง และรูป (ข) – ตัวอย่างที่ชำแหละเสร็จแล้ว | 30 |
| รูปที่ 2-5 การย้อมตัวอย่างเนื้อเยื่อให้เป็นสารละลายเพื่อวิเคราะห์ทางเคมี: รูป (ก) – ทำตัวอย่างให้แห้งดึงบนเตาให้ความร้อน (hot plate) ที่อุณหภูมิ 100°ช และรูป (ข) – การเผาตัวอย่างในเผาแบบดึงโปรแกรม (programmable ash muffle furnace) โดยเพิ่มอุณหภูมิเป็นลำดับขั้น จาก 100°ช เป็น 450°ช ด้วยอัตรา 50°ช ต่อชั่วโมง | 30 |
| รูปที่ 2-6 องค์ประกอบที่สำคัญของเครื่อง Inductively Coupled Plasma Spectrophotometer (ICP) (แม่น อมรสิทธิ์ และอมร เพชรสุม, 2535) | 31 |
| รูปที่ 3-1 การเปรียบเทียบ (บ) ค่ามัธยฐานของน้ำหนัก และ (ล่าง) ปริมาณแอดเมียในเนื้อสัตว์ทะเลที่จับจากอ่าวบางกอกทั้ง 11 ชนิด | 43 |
| รูปที่ 3-2 แผนภูมิกล่องเปรียบเทียบปริมาณแอดเมีย (มก./กก.น้ำหนักเปรียก) ในปลาทั้ง 11 ชนิดจากทั้ง 3 พื้นที่ (พื้นที่ A – น่านน้ำบังคลาเทศและอินเดีย; พื้นที่ B – ฝั่งตะวันตกของอ่าวบางกอก และพื้นที่ C – ก拉丁ทะเลอันดามัน) | 45 |
| รูปที่ 3-3 การเปรียบเทียบปริมาณแอดเมียในสัตว์ทะเลจากการศึกษาครั้งนี้กับพื้นที่อื่นๆ | 46 |
| รูปที่ 3-4 ความสัมพันธ์ระหว่างปริมาณแอดเมีย (มก./กก.น้ำหนักเปรียก) ที่ป่นปี้อ่อนในเนื้อสัตว์ทะเลกับความยาวและน้ำหนักของปลากระโทงแท่งคำ (X. gladius) | 48 |
| รูปที่ 3-5 ความสัมพันธ์ระหว่างปริมาณเนื้อของแอดเมีย (มก./กก.น้ำหนักเปรียก) กับความยาวเฉลี่ย (กก.) และน้ำหนักเฉลี่ย (ซม.) ของปลาทั้ง 11 ชนิดจากอ่าวบางกอก | 49 |
| รูปที่ 3-6 การเปรียบเทียบค่ามัธยฐานของ (บ) น้ำหนัก และ (ล่าง) ปริมาณแอดเมียที่ป่นปี้อ่อนในเนื้อสัตว์ทะเลที่จับจากทะเลอันดามัน (น่านน้ำพม่า) ทั้ง 32 ชนิด | 52 |

สารบัญรูป (ต่อ)

| | หน้า |
|---|------|
| รูปที่ 3-7 การเปรียบเทียบค่ามัชยฐานของปริมาณแผลเมียมในเนื้อสัตว์ทะเลจำนวน 8 ชนิด ได้แก่ หมึกกลีวย (<i>L. devauceli</i>) ปลาทรายแดง (<i>N. bipunctatus</i>) ปลาทรายแดงญี่ปุ่น (<i>N. japonicus</i>) ปลาทรายแดง (<i>Nemipterus spp.</i>) ปลาแพะ (<i>Parupeneus spp.</i>) ปลาหนวดฤทธิ์ (<i>P. macracanthus</i>) ปลาปากคมหางจุด (<i>S. undosquamis</i>) และปลาปากคมหูดำ (<i>T. myops</i>) ของแต่ละสถานีเก็บตัวอย่าง | 54 |
| รูปที่ 3-8 การเปรียบเทียบปริมาณแผลเมียมที่ปนเปื้อนในสัตว์ทะเลจากทะเบียนตามน้ำ (น่านน้ำพม่า) กับพื้นที่อื่นๆ | 56 |
| รูปที่ 3-9 ความสัมพันธ์ระหว่างปริมาณแผลเมียมเฉลี่ย (มก./กก.นน.เปียก) กับความยาวทั้งหมดเฉลี่ย (กก.) ของ (ก) สัตว์ทะเลทั้ง 32 ชนิดจากทะเบียนตามน้ำ (น่านน้ำพม่า) และ (ข) สัตว์ทะเลที่มีความยาวไม่เกิน 30 ซม. | 60 |
| รูปที่ 3-10 ความสัมพันธ์ระหว่างปริมาณแผลเมียมเฉลี่ย (มก./กก. น้ำหนักเปียก) กับ น้ำหนักเฉลี่ย (กก.) ของ (ก) สัตว์ทะเลทั้ง 32 ชนิด จากทะเบียนตามน้ำ (น่านน้ำพม่า) และ (ข) สัตว์ทะเลที่มีน้ำหนักไม่เกิน 0.2 กก. | 61 |
| รูปที่ 3-11 (ก) ค่าสัดส่วนความเสี่ยงของสัตว์ทะเลที่มีแผลเมียมปนเปื้อน และ (ข) ปริมาณที่บริโภคได้ต่อสัปดาห์ของสัตว์ทะเลจากอ่าวเบงกอลทั้ง 11 ชนิด ที่มีแผลเมียมปนเปื้อนสำหรับผู้ที่มีน้ำหนัก 50 กก. และ 60 กก. | 63 |
| รูปที่ 3-12 (ก) ค่าสัดส่วนความเสี่ยงของสัตว์ทะเลที่มีแผลเมียมปนเปื้อน และ (ข) ปริมาณที่บริโภคได้ต่อสัปดาห์ของสัตว์ทะเลจากทะเบียนตามน้ำ (น่านน้ำพม่า) ทั้ง 32 ชนิด ที่มีแผลเมียมปนเปื้อนสำหรับผู้ที่มีน้ำหนัก 50 กก. และ 60 กก. | 64 |
| รูปที่ 3-13 การเปรียบเทียบขนาดของสัตว์ทะเลที่จับจากอ่าวเบงกอล (พื้นที่ A และ B) กับทะเบียนตามน้ำแยกตามประเภทเครื่องมือประมง โดยที่ PLL = Pelagic longline; GN = Gill net; BT = Bottom trawl | 66 |
| รูปที่ 3-14 การเปรียบเทียบปริมาณแผลเมียมในเนื้อสัตว์ทะเลที่จับจากอ่าวเบงกอล (พื้นที่ A และ B) กับทะเบียนตามน้ำ แยกตามประเภทเครื่องมือประมงที่ใช้จับ โดยที่ GN = Gill net; PLL = Pelagic long line; BT = Bottom trawling | 67 |

สารบัญรูป (ต่อ)

| | หน้า |
|--|------|
| รูปที่ 3-15 การเปรียบเทียบปริมาณของแอดมียมในเนื้อสัตว์ทะเลที่จับจากอ่าวเบงกอล (พื้นที่ A และ B) และทะเลอันดามันในปลาฉลามหางยาวหน้าหนู (<i>A.Superciliosus</i>) และปลากระโถงแท่งดาบ (<i>X. gladius</i>) | 69 |
| รูปที่ 3-16 ความสัมพันธ์ระหว่างปริมาณแอดมียมเฉลี่ย (mg./กก. น้ำหนักเปียก) กับ ความยาวเฉลี่ย (ซม.) และน้ำหนักเฉลี่ย (กก.) ของสัตว์ทะเลจากอ่าวเบงกอล (พื้นที่ A และ B) กับทะเลอันดามันที่จับโดยใช้เครื่องมือ เม็ดราวน้ำลึก (PLL) อวนลอย (GN) และอวนลากหน้าดิน (BT) | 70 |
| รูปที่ ก- 1 เครื่องมือ Inductively Coupled Plasma - Optical Emission Spectroscopy (ICP-OES) ยี่ห้อ Perkin-Elmer รุ่น Optima 2000 DV | 88 |
| รูปที่ ข-1 สัตว์ทะเลจากอ่าวเบงกอล ซึ่งจับโดยใช้เม็ดราวน้ำลึก (Pelagic longline) | 89 |
| รูปที่ ข-2 สัตว์ทะเลจากอ่าวเบงกอล ซึ่งจับโดยใช้อวนลอย (Drift gillnet) | 90 |
| รูปที่ ข-3 สัตว์ทะเลจากทะเลอันดามัน (น่านน้ำพม่า) ซึ่งจับโดยใช้อวนลากหน้าดิน (bottom trawl) | 92 |
| รูปที่ ข-4 สัตว์ทะเลจากทะเลอันดามัน (น่านน้ำพม่า) จับโดยเม็ดราวน้ำลึก (Pelagic longline) | 96 |

บทที่ 1

บทนำ

1.1 บทนำ

อาหารทะเลเป็นที่นิยมบริโภคกันอย่างแพร่หลาย เนื่องจากมีสารอาหารที่เป็นประโยชน์ต่อร่างกาย โดยเฉพาะอย่างยิ่งสัตว์ทะเลจำพวกปลา ที่อุดมไปด้วยโปรตีน และแร่ธาตุ เช่น แคลเซียม ฟอสฟอรัส ฟลูออริน ไอโอดีน วิตามิน กรดไขมันไม่อิมตัว และโอมาก้า-3 อีกทั้ง การบริโภคปลาซึ่งช่วยลดคลอเรสเตอรอลในเลือดที่เป็นสาเหตุของโรคหัวใจ โรคตับ (Ismail, 2005) และลดความเสี่ยงต่อการเป็นโรคความดันโลหิตสูง (Kris-Etherton *et al.*, 2002) ด้วยเหตุนี้ ความต้องการบริโภคอาหารทะเลจึงมีสูง ส่งผลให้การประกอบกิจกรรมประมงขยายตัว จนทรัพยากร ประมงในประเทศไทยรอง นับตั้งแต่ปี พ.ศ. 2520 เป็นต้นมา ต่อมารัฐจังหวัดมีนโยบายการทำ ประมงนอกน่านน้ำไทย เพื่อขยายแหล่งประมงให้ได้ทรัพยากรที่เพียงพอต่อความต้องการ (เรื่อง ไร โถกฤษณะ, 2548) โดยแหล่งประมงนอกน่านน้ำที่สำคัญของไทย คือ น่านน้ำแถบประเทศไทยเพื่อน บ้าน ซึ่งรวมถึงอ่าวเบงกอล และทะเลอันดามันในเขตน่านน้ำพม่า

อ่าวเบงกอลและทะเลอันดามันในเขตน่านน้ำพม่า เป็นแหล่งทรัพยากรประมงที่มี ความอุดมสมบูรณ์แห่งหนึ่งของโลก มีความหลากหลายทางชีวภาพสูง ปัจจุบันจึงมีความร่วมมือกัน ด้านการประมงระหว่างประเทศที่ตั้งอยู่ริมน้ำอ่าวเบงกอล ภายใต้ชื่อ BIMSTEC (Bay of Bengal Initiative for Multi-Sectoral Technical and Economic Cooperation) ประกอบด้วย บังกลาเทศ พม่า อินเดีย ศรีลังกา ภูฏาน เนปาล และไทย ก่อตั้งขึ้นมาเพื่อเสริมสร้างความเจริญทางสังคมและ เศรษฐกิจในด้านต่างๆ โดยมีประเทศไทยเป็นผู้นำในการประมงของภูมิภาคนี้ (กลุ่มวิจัยและ วิเคราะห์สติ๊กิการประมง, 2550)

จากข้อมูลการประมงของไทยพบว่า ในปี พ.ศ. 2547 กองเรือไทยจับสัตว์ทะเลจาก อ่าวเบงกอลและทะเลอันดามัน 829,891 ตัน/ปี (กลุ่มวิจัยและวิเคราะห์สติ๊กิการประมง, 2550) แต่ เนื่องจากสถานการณ์การปนเปื้อนของสารพิษในทะเลสูงขึ้น อีกทั้งมีรายงานว่า การบริโภคอาหาร ทะเล เป็นเส้นทางหนึ่งในการได้รับสารปนเปื้อนต่างๆ เช่น แมกนีเซียม ทำให้นานาประเทศให้ความสำคัญกับ สารปนเปื้อนในผลิตภัณฑ์อาหารทะเลมากขึ้น เช่น หมึกแซ่บแข็งของไทยที่ส่งออกไปยังประเทศใน กลุ่มสหภาพยุโรปถูกปฏิเสธการนำเข้าหลายครั้ง เนื่องจากตรวจพบแคลเมิร์มปนเปื้อนอยู่ในหมึก สูงกว่า 1 มก./กг. (สำนักงานมาตรฐานสินค้าเกษตรและอาหารแห่งชาติ, 2548)

แคดเมียมเป็นโลหะปริมาณน้อย (trace metals) ที่มีความเป็นพิษสูง ในธรรมชาติมีปริมาณน้อยมาก มักพบในรูปของสารประกอบ ได้แก่ แคดเมียมออกไซด์ แคดเมียมคลอไรด์ แคดเมียมซัลเฟต แคดเมียมซัลไฟด์ และเป็นผลิตผลอยู่ได้ (by-product) จากการถลุงแร่หรือการหลอมโลหะอื่นๆ เช่น สังกะสี ทองแดง และตะกั่ว มีการใช้แคดเมียมในอุตสาหกรรมหลายประเภท เช่น แบตเตอรี่ สี พลาสติก และ การเคลือบโลหะ เป็นต้น (ATSDR, 1999)

แคดเมียมทั้งที่เกิดขึ้นเองตามธรรมชาติและเกิดจากกิจกรรมของมนุษย์ ปัจจุบัน เข้าสู่สิ่งแวดล้อมประมาณ 25,000 - 30,000 ตันต่อปี (ATSDR, 1999) โดยปัจจุบันเข้าสู่ระบบนิเวศต่างๆ ทั่วโลกในระดับที่สูงขึ้น ไม่ว่าจะแม่น้ำ แม่กระทั้งพื้นที่ที่ห่างไกลจากแหล่งกำเนิดมลพิษ เช่น พื้นที่แบบแอนตาร์กติกและอาร์กติก ที่มีการตรวจพบแคดเมียมปัจจุบันในชั้นน้ำแข็ง (Mwashote, 2003; Robinson and Shroff, 2004; Kojadinovic *et al.*, 2007) การปัจจุบันของโลหะปริมาณน้อยที่เป็นพิษในระบบนิเวศ จึงนับว่าเป็นปัญหาสิ่งแวดล้อมที่สำคัญ (Nriagu *et al.*, 1998; Silva *et al.*, 1999)

การปัจจุบันของแคดเมียมในสิ่งแวดล้อม ส่วนใหญ่มาจากการแพร่กระจายของแคดเมียมจากแหล่งกำเนิดมลพิษผ่านทางอากาศหรือปัจจุบันน้ำหรือน้ำเสีย แล้วไปสะสมในสิ่งแวดล้อมต่างๆ เช่น พื้นที่ชายฝั่ง และมหาสมุทร แคดเมียมและสารประกอบแคดเมียมที่ละลายน้ำได้จะถูกดูดซึมเข้าสู่และสะสมในเนื้อเยื่อของสิ่งมีชีวิตได้โดยตรง ผ่านทางช่องเหงือกของสัตว์ทะเล (Wood, 2001) ส่วนแคดเมียมที่ไม่ละลายน้ำจะไปจับตัวกันบนผิวน้ำภาคขนาดเล็กแล้วจมตัวลงเป็นตะกอนท้องทะเล ทำให้สัตว์ทะเลที่อาศัยอยู่บริเวณน้ำดินที่กินตะกอนท้องทะเลเป็นอาหาร ได้รับแคดเมียมเข้าสู่และสะสมในเนื้อเยื่อ (AMAP, 1998)

การสะสมของแคดเมียมในเนื้อเยื่อสัตว์ทะเล มีความสัมพันธ์กันกับอายุ (IPCS, 1992) ปริมาณของแคดเมียมในน้ำทะเล ชนิดและลักษณะทางชีววิทยาของสัตว์ทะเลนั้นๆ (Sadik, 1992) เช่น ปลากระดูกแข็งบางประเภท พบสะสมมากในตับและไต (Powell *et al.*, 1981) ขณะที่ปลากระดูกแข็งในกลุ่ม teleosts มีการสะสมในเนื้อเยื่อกล้ามเนื้อและตับ (Grimanis *et al.*, 1978) ส่วนสัตว์ทะเลจำพวกหมึกมีการสะสมแคดเมียมในเนื้อเยื่อสูง เมื่อจากกินสัตว์เป็นอาหารและหากินบริเวณน้ำดิน อีกทั้งความสามารถในการกำจัดแคดเมียมน้อยและใช้เวลานาน และที่สำคัญ คือ หมึกอยู่ในลำดับขั้นผู้บริโภคที่ต่ำ สัตว์ที่กินหมึกเป็นอาหาร และมีลำดับขั้นผู้บริโภคที่สูงกว่า จึงมีโอกาสได้รับแคดเมียมเข้าสู่และสะสมในร่างกายมากขึ้น (Bustamante *et al.*, 1998)

เนื่องจากแคดเมียมถ่ายทอดไปยังสิ่งมีชีวิตชนิดอื่นๆ ผ่านทางห่วงโซ่ออาหาร (McLaughlin *et al.*, 1999) และอัตราการสะสมของแคดเมียมในเนื้อเยื่อจะเพิ่มสูงขึ้นตามลำดับขั้นผู้บริโภค (biomagnification) (Caurant and Amiard-Triquet, 1995) มนุษย์จึงมีโอกาสได้รับ

แคนดเมียมเข้าสู่และสะสมในร่างกายได้สูงอย่างหลีกเลี่ยงไม่ได้ เนื่องจากที่เป็นผู้บริโภคคำดับสูงสุด ในห่วงโซ่ออาหาร ส่งผลให้มีความเสี่ยงที่จะได้รับอันตรายต่อสุขภาพจากการบริโภคอาหารที่มี แคนดเมียมปนเปื้อน

แคนดเมียมปริมาณน้อยส่งผลต่อพยาธิสภาพของตับ ทำให้เซลล์ตับตายและถูกทำลาย (Friedman and Gesek, 1994; Habeebu *et al.*, 1998) นอกจากนี้ยังทำให้ระบบต่างๆของร่างกายทำงานผิดปกติ เช่น ระบบสืบพันธุ์ (Shen and Sangiah, 1995) สมองและระบบประสาทส่วนกลาง (Provias *et al.*, 1994) ໄต (Novelli *et al.*, 1999) ม้ามและไก่กระดูก โดยแคนดเมียมไปรบกวนการสร้างโปรตีนคอลลาเจน ที่เป็นส่วนประกอบของเยื่อดีดข้อต่อกระดูก (Kjellstrom, 1992; Yamano *et al.*, 1998; Katzantzis, 2004) การยับยั้งการถูกทำลายของเซลล์จึงขึ้นอยู่กับปริมาณของแคนดเมียมที่เข้าสู่ร่างกาย (Sauer *et al.*, 1997)

การศึกษาครั้งนี้จึงมีวัตถุประสงค์เพื่อตรวจวัดปริมาณแคนดเมียมที่สะสมในสัตว์ทะเลจากอ่าวเบงกอลและทะเลอันดามันในเขตน่านน้ำพม่า โดยตัวอย่างสัตว์ทะเลจากอ่าวเบงกอลได้รับความอนุเคราะห์จากทีมสำรวจทรัพยากรของกรมประมงและศูนย์พัฒนาการประมงแห่งเอเชียตะวันออกเฉียงใต้ (SEAFDEC) (Southeast Asian Fisheries Development Center) ภายใต้โครงการ “The Joint Survey of BIMSTEC Member Countries on Assessment and Management of Marine Resources in the Bay of Bengal” โดยเรือ M/V SEAFDEC 1 ซึ่งสุ่มเก็บตัวอย่างระหว่างวันที่ 25 ตุลาคม ถึง 21 ธันวาคม พ.ศ. 2550 และตัวอย่างสัตว์ทะเลจากทะเลอันดามันในเขตน่านน้ำพม่าได้จากทีมสำรวจทรัพยากรของ SEAFDEC และเจ้าหน้าที่ประมงประเทศไทย ภายใต้โครงการ “The National Research Survey in the EEZ of Myanmar Waters” โดยเรือ M/V SEAFDEC 2 ซึ่งสุ่มเก็บตัวอย่างระหว่างวันที่ 1 กุมภาพันธ์ ถึง 15 มีนาคม พ.ศ. 2550

ข้อมูลที่ได้จากการศึกษาจะทำให้ทราบภาวะการปนเปื้อนของแคนดเมียมในสัตว์ทะเลจากอ่าวเบงกอลและทะเลอันดามันในเขตน่านน้ำพม่า เนื่องจากเป็นแหล่งทรัพยากรประมงสำคัญของไทย ที่นำมาใช้ในการบริโภคภายในประเทศและส่งออกไปต่างประเทศ การศึกษานี้จึงทำการประเมินความเสี่ยงต่อสุขภาพของผู้บริโภค และหาปริมาณที่ปลอดภัยในการบริโภคสัตว์ทะเล นอกจากนี้ยังเป็นข้อมูลพื้นฐานสำหรับใช้เฝ้าระวังการปนเปื้อนของแคนดเมียมในทรัพยากรประมงที่เป็นวัตถุดินสำหรับอุดสาหกรรมอาหารทะเลส่งออกของไทย

1.2 สมบัติทางเคมีของแคนดเมียม

แคนดเมียมถูกค้นพบด้วยความบังเอิญโดย Friedrich Stromeyer นักวิทยาศาสตร์ชาวเยอรมัน เมื่อปี ค.ศ. 1817 (พ.ศ. 2360) และได้นำมาใช้อ่างจิงจังอีก 50 ปีต่อมา แคนดเมียมเป็นโลหะเนื้ออ่อน มักพบร่วมกับแร่สังกะสี ตะกั่ว และทองแดง แคนดเมียมอยู่ในหมู่ IIb ของตารางธาตุ มีจุดหลอมเหลวที่ 320.9°C และมีจุดเดือดที่อุณหภูมิ 765°C ในอากาศแคนดเมียมจะถูกออกซิไดซ์ เป็นแคนดเมียมออกไซด์ย่างรวดเร็ว แต่เมื่อยังไงก็ไม่สามารถไดออกไซด์ ไออน้า ชัลเฟอร์-ไดออกไซด์ ชัลเฟอร์-ไตรออกไซด์ หรือไฮดรอกอลอไรด์ แคนดเมียมจะทำปฏิกิริยากับสารเหล่านี้ ได้เป็นแคนดเมียมคาร์บอนเนต แคนดเมียมไฮดรอกไซด์ แคนดเมียมชัลไฟด์ แคนดเมียมชัลเฟต และ แคนดเมียมคลอไรด์ ตามลำดับ โดยส่วนใหญ่จะพบในรูปของแคนดเมียมคลอไรด์และแคนดเมียมชัลเฟต ที่มีสมบัติละลายน้ำได้ดี ในทางตรงข้ามแคนดเมียมออกไซด์ แคนดเมียมคาร์บอนเนต และ แคนดเมียมชัลไฟด์ ละลายน้ำได้น้อยมาก (ATSDR, 1999) อ่อนตัวลงตามแคนดเมียมออกไซด์ และ โลหะของแคนดเมียมสามารถเปลี่ยนรูปเป็น Cd^{2+} ที่มีความเป็นพิษ โดยจะอยู่ในรูปของแข็งที่มีความเสถียร ระเหยยาก และแพร่กระจายอยู่ทั่วไปในอากาศ (ECB, 2003)

1.3 แหล่งกำเนิดของแคนดเมียม

แคนดเมียมและสารประกอบแคนดเมียมประเภทต่างๆ มีการแพร่กระจายเข้าสู่สิ่งแวดล้อมจากแหล่งกำเนิด 2 แหล่งใหญ่ คือ ธรรมชาติและกิจกรรมของมนุษย์

1.3.1 แหล่งกำเนิดที่เป็นธรรมชาติ

ในธรรมชาติไม่พบแคนดเมียมในรูปของสารบริสุทธิ์ มักพบในรูปของสารประกอบแคนดเมียม ที่มีปริมาณเพียงเล็กน้อยปานเฉือนในดิน หิน ที่เป็นแหล่งแร่ โดยเฉพาะในเหมืองแร่ สังกะสี ตะกั่ว และทองแดง โดยพบว่าในชั้นเปลือกโลกส่วนที่เป็นพื้นทวีป (continental crust) มีแคนดเมียมประกอบอยู่ประมาณ $0.008 - 0.1$ มก./กก. (Rudnick, 2004) ขณะที่แคนดเมียมในดินและหินอัคนีมีปริมาณ $0.001 - 0.60$ มก./กก. ส่วนในหินตะกอนมีปริมาณ $0.05 - 500$ มก./กก. (Adriano, 2001) เนื่องจากแคนดเมียมแพร่กระจายอยู่ทั่วไปในชั้นเปลือกโลก การปนเปื้อนเข้าสู่สิ่งแวดล้อมจึงเกิดขึ้นได้จากกระบวนการทางธรณีวิทยา ได้แก่ การกัดเซาะของหินแล้วพัดพาตะกอนไปสู่แหล่งน้ำและมหาสมุทรต่างๆ การเกิดไฟไหม้ป่า และภูเขาไฟระเบิด จากการศึกษาของ Richardson *et al.* (2001) พบว่าการระเบิดของภูเขาไฟปล่อยแคนดเมียมเข้าสู่ชั้นบรรยากาศประมาณ $380 - 3,800$ ตัน

1.3.2 แหล่งกำเนิดที่มาจากการกระทำของมนุษย์

ในยุคก่อนสังคมโลกครั้งที่ 1 ความเป็นพิษของแคดเมียมยังไม่เป็นที่รู้กัน ทำให้โรงงานที่ประกอบการเกี่ยวกับการผลิต ไม่ได้มีการควบคุมการปนเปื้อนของแคดเมียมเข้าสู่สิ่งแวดล้อม และนับจากปี ค.ศ. 1987 (พ.ศ. 2530) เป็นต้นมา แคดเมียมถูกผลิตเพิ่มสูงขึ้น (IARC, 1993) โดยเฉพาะในแบบทวีปเอเชีย เมื่อนับจากปี ค.ศ. 1997 ถึง 2004 (พ.ศ. 2540 ถึง 2547) มีแนวโน้มการผลิตแคดเมียมเพื่อนำมาใช้เป็นวัตถุคุณของอุตสาหกรรมประเภทต่างๆ เพิ่มมากขึ้น ดังแสดงในรูปที่ 1-1ก และพบว่าในปี ค.ศ. 2005 (พ.ศ. 2548) มีแคดเมียมทั่วโลกสูงถึง 600,000 ตัน (USGS, 2006) ดังแสดงในรูปที่ 1-1ข

นอกจากนี้แคดเมียมยังเกิดจากการเผาไหม้ของเชื้อเพลิงฟอสซิลในเครื่องยนต์ และแหล่งอุตสาหกรรมประเภทต่างๆ รวมทั้งการทิ้งของเสียจากชุมชน ก่อให้เกิดการปนเปื้อนของแคดเมียมในสิ่งแวดล้อมเพิ่มสูงขึ้น (ATSDR, 1999) เห็นได้จากการศึกษาของ Migliarini (2005) พบว่าตากอนชายฝั่งทะเลเมดิเตอร์เรเนียน มีการปนเปื้อนของโลหะหนักต่างๆ รวมทั้งแคดเมียมสูงกว่าในน้ำทะเลถึง 15 เท่าตัว หรือแม้กระทั่งพื้นที่ที่ห่างไกลจากแหล่งกำเนิดมลพิษ เช่น พื้นที่ถนนตาร์กติกและอาร์กติก มีการตรวจพบแคดเมียมปนเปื้อนอยู่ในชั้นน้ำแข็ง (Mwashote, 2003; Robinson and Shroff, 2004; Kojadinovic *et al.*, 2007) จึงถือว่าการปนเปื้อนของโลหะหนักในระบบนิเวศเป็นวิกฤติทางสิ่งแวดล้อมอีกประการหนึ่ง (Silva *et al.*, 1999)

1.4 การใช้ประโยชน์จากแคดเมียม

แคดเมียมเป็นผลิตผลพ้อยได้จากการทำเหมืองแร่ การหลอม และการกลึงรัสังกะสี ตะกั่ว และทองแดง แคดเมียมถูกใช้ผลิต Ni-Cd แบตเตอรี่ เม็ดสี การชุบโลหะ สารเพิ่มความเสถียร และโลหะผสม โดยสัดส่วนการใช้ในการผลิตประเภทต่างๆ ได้แสดงไว้ดังรูปที่ 1-2 (USGS, 2006) คาดว่ามีแคดเมียมที่ใช้อยู่ในปัจจุบัน 20,000 ตัน และสามารถนำกลับมาใช้ใหม่ได้ประมาณ 3,500 ตัน จากปริมาณแคดเมียมที่มีอยู่ คิดเป็น 17.5% (ICdA, 2005) โดยนำมาใช้ในด้านต่างๆ ดังต่อไปนี้

ก) การผลิตแบตเตอรี่

แคดเมียมถูกใช้ผลิต Ni-Cd แบตเตอรี่ เพื่อใช้ในกิจกรรมไฟฟ้า ยานอวกาศ และแหล่งไฟฟ้าสำรอง เป็นต้น โดยมีแหล่งการผลิตแหล่งใหญ่อยู่ที่ประเทศไทยและประเทศญี่ปุ่น พบว่าตลาดการค้าทั่วโลกของผลิตภัณฑ์เหล่านี้ขยายตัวเพิ่มสูงขึ้นมากเมื่อเทียบกับในอดีต ทำให้ในปัจจุบันมีความต้องการแคดเมียมมาใช้ในอุตสาหกรรมการผลิตแบตเตอรี่เพิ่มมากขึ้น (ICdA, 2005)

ข) การผลิตเม็ดสี

เม็ดสีแครดเมียมใช้ในการผลิตวัสดุเคลือบเซรามิก สีทาบ้าน และสีเย็บ แต่ในปัจจุบันการนำมาใช้ในการผลิตสีทาบ้านและสีเย็บได้เลิกไปแล้ว ส่วนการใช้แครดเมียมเพื่อนำมาผลิตเม็ดสียังมีการใช้อยู่ เนื่องจากเม็ดสีจากแครดเมียมมีความเสถียรต่อแสงและอุณหภูมิ มีเนคสีสว่างในโทน เหลือง และแดง จึงเป็นที่นิยมใช้เพื่อการผลิตแก้วสีต่างๆ โดยการเติมแครดเมียมออกไซด์ลงไป (Hansen *et al.*, 2005)

ก) การเคลือบโลหะ

การเคลือบเหล็ก โดยใช้แครดเมียมหรือโลหะผสมแครดเมียมในอุตสาหกรรมทางอาชีวศึกษา อาทิ ไฟฟ้า รถยนต์ กิจการทางทหาร และการบุคลากรน้ำมัน เพื่อเพิ่มความทนทานของอุปกรณ์ เนื่องจากแครดเมียมมีลักษณะพิเศษ คือ มีความทนทานต่อการกัดกร่อน การเสียดสี นำไปไฟฟ้าได้ดี และเชื่อมต่อได้ง่าย (Hansen *et al.*, 2005)

ง) สารเพิ่มความเสถียร

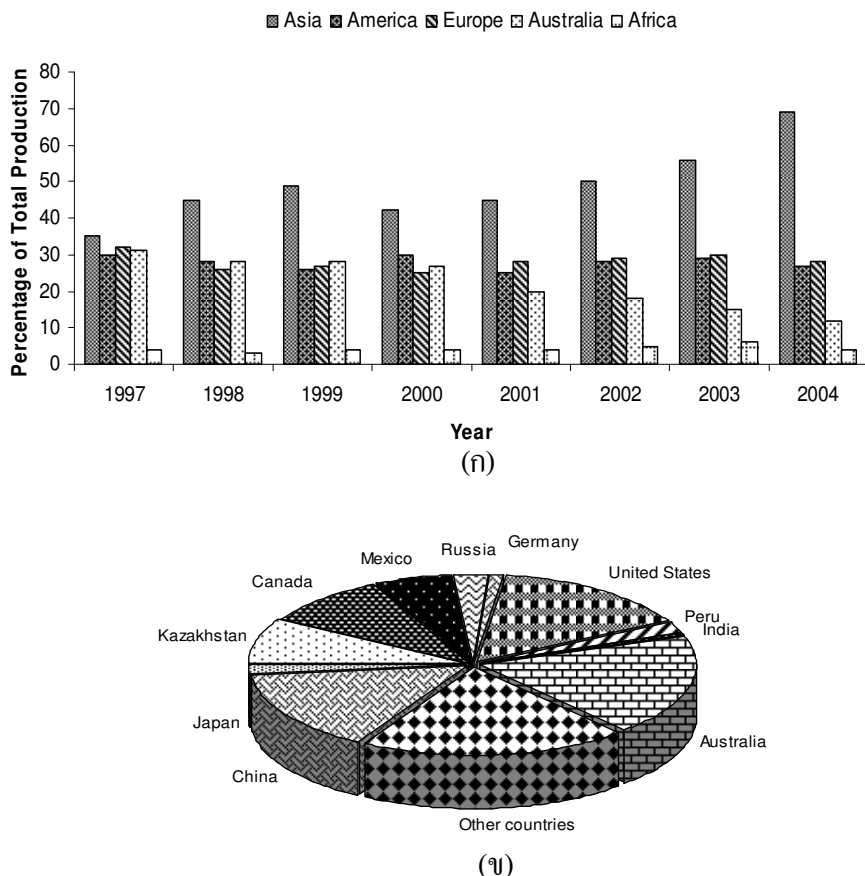
สารประกอบแครดเมียมใช้ร่วมกับแบบเรียมชัลเฟต เป็นสารเพิ่มความเสถียรในพลาสติก เช่น ห่อต่างๆ ครอบหน้าต่าง ประตู และหลังคา เป็นต้น (OECD, 2002)

ข) การผลิตโลหะผสม

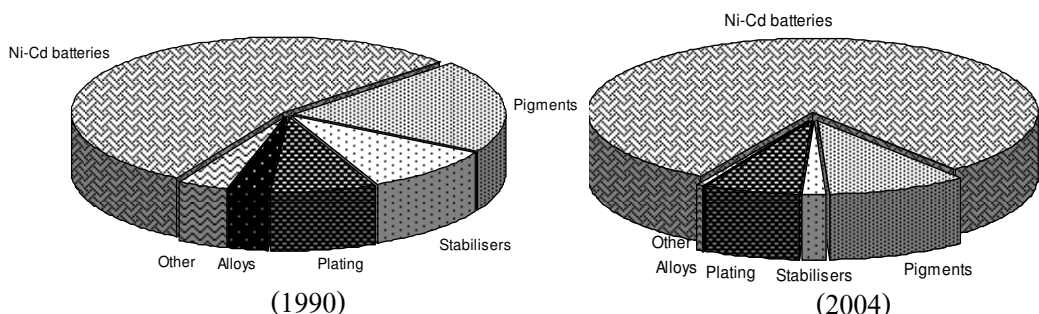
การใช้แครดเมียมผสมกับโลหะตัวอื่นๆ เช่น โลหะผสมที่ใช้บัดกรี โลหะผสมทองแดงกับตะกั่ว โลหะผสมที่มีจุดหลอมเหลวต่ำ และสะพานไฟ (OECD, 2002)

ก) อื่นๆ

นอกเหนือจากนี้ แครดเมียมยังสามารถนำมาใช้ในการผลิตด้านอื่นๆ อีก เช่น การนำมาใช้ผลิตสารกึ่งตัวนำ การผลิตเซลล์สุริยะ และตัวต้านทานไฟฟ้า โดยใช้สารประกอบแครดเมียมกลุ่มแครดเมียมซิลีไนด์ (CdSe) และ แครดเมียมชัลไฟต์ (CdS) (OECD, 2002)



รูปที่ 1-1 (ก) แนวโน้มการผลิตแคดเมียมในแต่ละทวีปตั้งแต่ปี ค.ศ. 1997 - 2004 และ (ข) สัดส่วนการเก็บรักษาแคดเมียมไว้ของประเทศต่างๆทั่วโลก ในปี ค.ศ. 2005 จำนวน 600,000 ตัน (ข้อมูลจาก USGS (2006))



รูปที่ 1-2 ปริมาณการใช้แคดเมียมทั่วโลกในด้านต่างๆ โดยเปรียบเทียบระหว่างปี ค.ศ. 1990 กับปี ค.ศ. 2004 (ข้อมูลจาก USGS (2006))

1.5 การแพร่กระจายของแคดเมียมในสิ่งแวดล้อม

1.5.1 แคดเมียมในอากาศ

การเคลื่อนที่ของแคดเมียมผ่านทางอากาศเป็นกลไกสำคัญที่ก่อให้เกิดการแพร่กระจายของแคดเมียมเข้าสู่สิ่งแวดล้อม แคดเมียมจะปนเปื้อนอยู่ในอากาศเป็นช่วงเวลาสั้นๆ เมื่อเทียบกับprotoหรือ POPs (persistent organic pollutants) บางประเภท โดยจะจับกับอนุภาคขนาดเล็กกว่า 1 ไมโครเมตร กลุ่มของแคดเมียมที่ปนเปื้อนอยู่ในอากาศส่วนใหญ่จะเป็นแคดเมียมคลอไรด์ แคดเมียมซัลเฟต และแคดเมียมออกไซด์ (EC, 2001)

จากการศึกษาแคดเมียมในอากาศ พบว่าในอากาศมีแคดเมียมปนเปื้อนเนื่องมาจากการกระทำของมนุษย์ที่ปล่อยแคดเมียมเข้าสู่สิ่งแวดล้อม และมีตัวการสำคัญที่ทำให้แคดเมียมแพร่กระจายไปในอากาศ คือ กระแสลม แคดเมียมจึงแพร่กระจายเข้าสู่สิ่งแวดล้อมไปไกลจากแหล่งกำเนิดได้หลายพันกิโลเมตร (Correia *et al.*, 2003) นอกจากนี้ยังมีปัจจัยอื่นๆ ที่มีผลต่อการแพร่กระจายของแคดเมียม ได้แก่ แหล่งกำเนิดมลพิษ ลักษณะทางกายภาพ ลักษณะทางเคมีของแคดเมียมที่อยู่ในอากาศ สภาพอากาศและความเร็วของลม (EC, 2001)

1.5.2 แคดเมียมในน้ำ

แหล่งกำเนิดของแคดเมียมที่แพร่กระจายลงสู่มหาสมุทร มาจากหลายๆ ปัจจัย เช่น การสะสมของแคดเมียมในอากาศ การปนเปื้อนของแคดเมียมในแม่น้ำแล้วถูกพัดพามากับกระแสน้ำ (Bruland and Lohan, 2004) หรืออาจเกิดจากการกระทำของมนุษย์โดยตรง นอกจากนี้ยังมาจากกระบวนการหมุนเวียน (recycling) ของตะกอนแนวลอยที่มีแคดเมียมปนเปื้อนอยู่ถูกพาเข้ามาน้ำ น้ำด้านล่างในมหาสมุทรเข้าสู่บริเวณพื้นผิวน้ำโดยกระบวนการน้ำผุด (upwelling) (Boyle, 2001) รวมทั้งการแลกเปลี่ยนกันผ่านทางอากาศ การผุกร่อน การละลายน้ำ และกระแสน้ำในมหาสมุทร (Macdonald *et al.*, 2000) แต่การปนเปื้อนของแคดเมียมในน้ำส่วนใหญ่เกิดจากมหาสมุทรได้รับแคดเมียมผ่านทางอากาศ และน้ำที่มาจากการพื้นดิน ดังรูปที่ 1-3 โดยแคดเมียมแพร่กระจายในมหาสมุทรด้วยการจับตัวกับอนุภาคขนาดเล็กแล้วจมตัวลงเป็นตะกอนห้องทะเล เมื่อเข้าสู่แหล่งน้ำ แคดเมียมและสารประกอบแคดเมียมที่ละลายน้ำจะสามารถเข้าสู่และสะสมในสิ่งมีชีวิต นั่นคือ แคดเมียมในรูปไอออนอิสระจะถูกดูดซึมเข้าสู่สิ่งมีชีวิตได้โดยตรง (AMAP, 1998) โดยส่วนใหญ่เป็นแคดเมียมในรูปซัลเฟตและคลอไรด์ ซึ่งเป็นกลุ่มที่สามารถละลายน้ำได้ดี (EC, 2001) ส่วนสารประกอบแคดเมียมกลุ่มซัลไฟด์ คาร์บอนेट และออกไซด์ ซึ่งเป็นสารประกอบแคดเมียมที่ไม่ละลายน้ำ แต่มีอิทธิพลต่อความสามารถเปลี่ยนรูปแบบโครงสร้างทางเคมีไปเป็นสารประกอบที่ละลายน้ำได้ดีขึ้น (OSPAR, 2002) สภาพเคลื่อนย้ายที่ได้ (mobility) และสภาพพร้อมใช้งานเชิงภาพ

(bioavailability) ของแคดเมียมจะเพิ่มมากขึ้นในแหล่งน้ำที่มีความเป็นกรด-ด่าง (pH) ต่ำ มีความกระต่ายต่ำ มีระดับสารแ变幻ลอยต่ำ และมีความเค็มต่ำ (Government of Canada, 1994) จากการศึกษาของ Lane *et al.* (2005) พบว่าแคดเมียมจะเข้าแทรกที่สังกะสี (Zinc; Zn) ในเอนไซม์ คาร์บอนิกแอกไซเดรส์ (carbonic anhydrase) เมื่อสังกะสีในน้ำมีปริมาณจำกัด (Zn-availability limited) ซึ่งผลการศึกษานี้บ่งชี้ว่าแคดเมียมเป็นสารอาหารปริมาณน้อย (micronutrient) ที่มีความสำคัญต่อกลไกการทำงานในสิ่งมีชีวิตบางกลุ่ม เช่น กลุ่มของแพลงก์ตอนพืชทะเลลึก (oceanic phytoplankton) ที่อาศัยอยู่บริเวณผิวน้ำในมหาสมุทร แต่หากมีปริมาณมากในระดับหนึ่งก็เป็นอันตราย ดังเช่นการศึกษาของ Xu *et al.* (1999) พบว่าแคดเมียมสามารถเข้าไปแทรกที่สังกะสีที่จับอยู่กับโปรตีน (zinc-proteins) ในอันทะทำให้เนื้อเยื่อบริเวณนั้นตาย (necrosis)

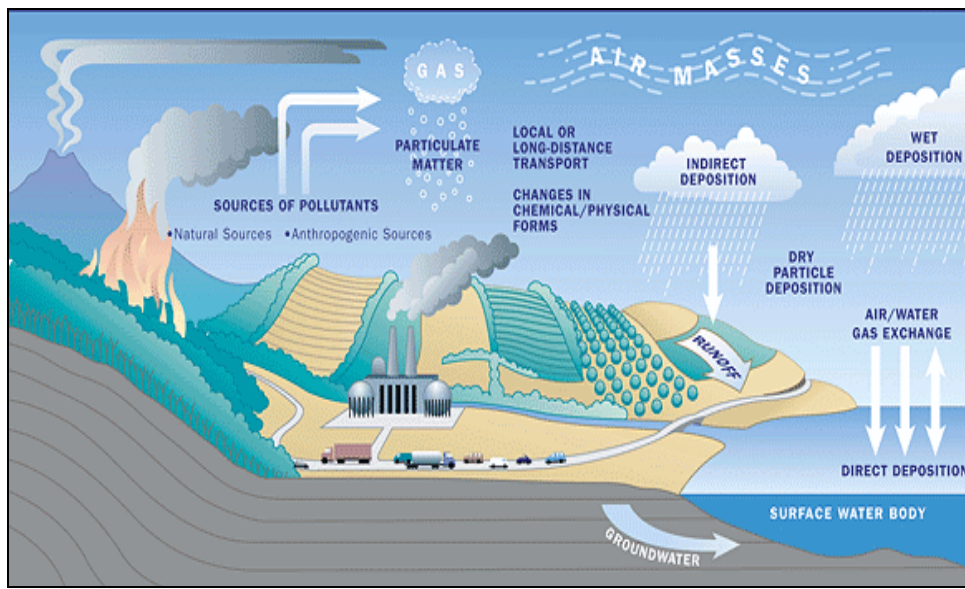
1.5.3 แคดเมียมในดิน

แหล่งที่มาของแคดเมียมซึ่งส่งผลให้มีการปนเปื้อนในดินที่สำคัญ คือ การใช้ปุ๋ยในการทำการเกษตรซึ่งกำเนิดมาจากหินฟอสเฟต จากการศึกษาที่ประเทศเดนมาร์ก และเนเธอร์แลนด์ ชี้ให้เห็นว่าแคดเมียมถูกปลดปล่อยเข้าสู่ดิน และสะสมในบรรณาการเนื่องจากกิจกรรมทางการเกษตร ประมาณร้อยละ 35 ส่งผลให้พืชลดลงการเกยตรมีความเสี่ยงที่จะปนเปื้อนแคดเมียมในปริมาณที่สูง (WHO, 2000)

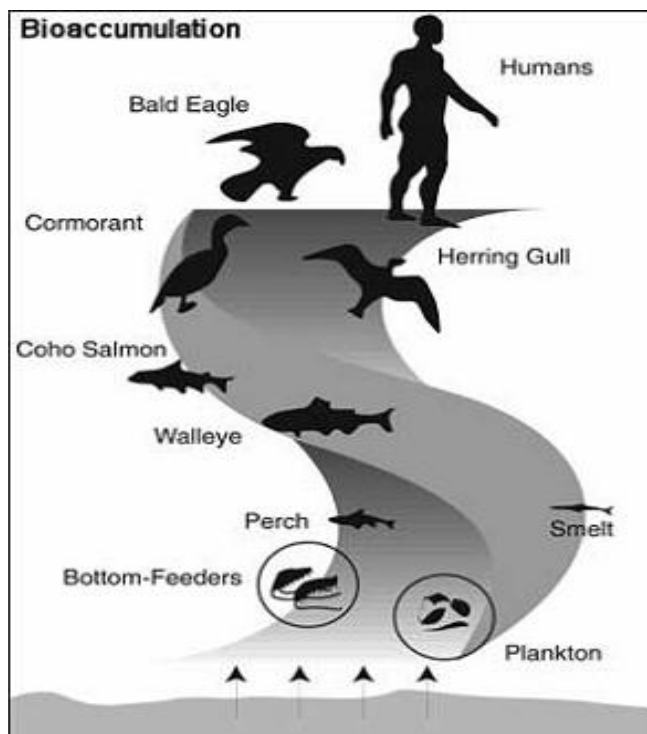
ปริมาณของแคดเมียมที่ปนเปื้อนอยู่ในดินจะขึ้นอยู่กับ pH ของดิน นั่นคือ ดินที่มีสภาพความเป็นกรด แคดเมียมจะละลายได้เพิ่มสูงขึ้น ในทางตรงกันข้าม ถ้าดินและตะกอนดินมี pH สูงกว่า 6 จะส่งผลให้ การละลายของแคดเมียมลดลง แต่จะถูกดูดซับกับดินและตะกอนดินมากขึ้น โดยแร่ดินเหนียว (clay minerals) คาร์บอนेट และแมงกานีสที่อยู่ในดิน (Mc Lean and Bledsoe, 1992) เมื่อแคดเมียมปนเปื้อนอยู่ในดินที่เข้าสู่พืชต่อไป การปนเปื้อนของแคดเมียมในพืชนั้น ขึ้นอยู่กับเงื่อนไขและปัจจัยต่างๆ เช่น ชนิดของพืช ค่า pH ของดิน สังกะสี และอินทรีย์วัตถุในดิน หลังจากนั้นก็จะแพร่กระจายเข้าสู่สิ่งมีชีวิตชนิดอื่นๆ ต่อไป ผ่านทางห่วงโซ่อาหาร (US - EPA, 1999)

1.5.4 แคดเมียมในสิ่งมีชีวิต

แคดเมียมเข้าสู่และสะสมอยู่ในเนื้อเยื่อต่างๆ ของสิ่งมีชีวิตผ่านทางอาหารและการคูดซึมเข้าสู่ร่างกาย (bioaccumulation) และถ่ายทอดไปยังกลุ่มของสิ่งมีชีวิตชนิดอื่นๆ ผ่านทางห่วงโซ่อาหาร (Scheifler, 2002) โดยมีการสะสมสูงมากขึ้นตามลำดับขั้นผู้บริโภค นั่นคือ ผู้บริโภค ลำดับสูงสุดมีแคดเมียมที่สะสมในร่างกายปริมาณสูงกว่าผู้ที่อยู่ในลำดับขั้นของผู้บริโภคที่ต่ำกว่าในห่วงโซ่อาหาร (biomagnification) (Research Triangle Institute, 1999) ดังรูปที่ 1-4



รูปที่ 1-3 แหล่งกำเนิด การแพร่กระจาย และ การปนเปื้อนของแคดเมียมในสิ่งแวดล้อม (Trusts, 2006)



รูปที่ 1-4 การถ่ายทอดสารแคดเมียมตามลำดับขั้นของผู้บริโภค (Wisconsin Department of Natural Resources, 2008)

สำหรับสัตว์ทะเล เห็นอกเป็นเส้นทางหลักที่รับแอดเมิร์มที่ปนเปื้อนอยู่ในน้ำทะเล เช้าสู่ร่างกายโดยตรง (Pagenkopf, 1983) จากนั้นแอดเมิร์มจะแพร่กระจายและสะสมตามส่วนต่างๆ โดยการสะสมของแอดเมิร์มในเนื้อเยื่อของสัตว์ทะเลนั้น มีความสัมพันธ์กับปริมาณของแอดเมิร์มในน้ำทะเล ชนิดและลักษณะทางชีววิทยาของสัตว์ทะเลนั้นๆ (Sadik, 1992) โดยแอดเมิร์มที่เข้าสู่สัตว์ทะเลจะไปสะสมตามส่วนต่างๆ ของร่างกายแตกต่างกันไป มากน้อยตามชนิดของสัตว์ทะเลนั้นๆ เช่น ปลาalam พบสะสมมากในตับและไต (Powell *et al.*, 1981) ขณะที่ปลากระดูกแข็งในกลุ่ม teleosts มีการสะสมในเนื้อเยื่อกล้ามเนื้อและตับ (Grimanis *et al.*, 1978) ปริมาณของแอดเมิร์มที่สะสมในร่างกายจะเพิ่มสูงขึ้นเมื่ออายุมากขึ้น (IPCS, 1992) รวมทั้งปัจจัยอย่างอื่นด้วย เช่น เพศ ขนาด และ อินทรีย์อาศัย (Amundsen *et al.*, 1997)

ปลาอุดมไปด้วยสารอาหารที่เป็นประโยชน์ต่อร่างกาย เช่น โปรตีน วิตามิน แร่ธาตุ กรดไขมันไม่อิ่มตัว เช่น โอเมก้า-3 และการบริโภคปลาช่วยลดความเสี่ยงในการเป็นโรคความดันโลหิตสูง โรคหลอดเลือดหัวใจ และโรคหัวใจเต้นผิดปกติ (Kris-Etherton *et al.*, 2002) แต่ในขณะเดียวกันมีรายงานว่าการบริโภคอาหารทะเล มีโอกาสได้รับสารปนเปื้อนต่างๆ เช้าสู่และสะสมในร่างกายของผู้บริโภค (Lobet *et al.*, 2003; Usero *et al.*, 2003) จึงมีผู้ที่ทำการศึกษาการปนเปื้อนของแอดเมิร์มในสัตว์ทะเลชนิดต่างๆ ในแต่ละพื้นที่ (ตารางที่ 1-1)

1.6 เกณฑ์มาตรฐานแอดเมิร์มในสัตว์ทะเล

จากการศึกษาเกี่ยวกับการสะสมของโลหะหนักในสัตว์ทะเลที่เพิ่มมากขึ้นในปัจจุบัน ทำให้ทราบว่ามีการสะสมของโลหะหนักในสัตว์ทะเลผ่านห่วงโซ่อาหารเพิ่มมากขึ้น ดังนั้นหลายองค์กรไม่ว่าจะเป็นระดับประเทศหรือระดับนานาชาติ เช่น องค์กรพิทักษ์สิ่งแวดล้อมของอเมริกา (US-EPA) องค์กรอนามัยโลก (WHO) สาธารณูปโภค (European Union; EU) และกระทรวงสาธารณสุขของไทย เป็นต้น จึงกำหนดปริมาณของโลหะหนักที่ยอมให้มีได้ในเนื้อปลา ส่วนที่นำมาบริโภค ซึ่งล่าสุดแต่ละองค์กรได้กำหนดปริมาณแอดเมิร์มที่ยอมให้มีปนเปื้อนในอาหารประเภทต่างๆ ดังแสดงตารางที่ 1-2

นอกจากนี้ Joint FAO/WHO Expert Committee on Food Additives (JECFA) ได้กำหนดปริมาณแอดเมิร์มที่ผู้บริโภครับได้ต่อสัปดาห์ (Provisional Tolerance Weekly Intake หรือ PTWI) ไว้ไม่เกิน 7 มกก./กг. น้ำหนักตัว สำหรับน้ำหนักตัว 60 กิโลกรัม (JECFA, 2005)

ตารางที่ 1-1 ปริมาณแอดเมียร์ที่สะสมในเนื้อสัตว์ทะเลแต่ละชนิดจากพื้นที่ต่างๆ

| พื้นที่ศึกษา | ชนิด | แอดเมียร์ | | อ้างอิง |
|-------------------------------|-----------------------------|-----------------------|------------------------|----------------------------------|
| | | (มก./กก. หน. แห้ง) | (มก./กก. หน. เปียก) | |
| เอเชียตะวันออกเฉียงใต้ | Bigeye scad | 0.127 | - | Agusa <i>et al.</i> (2007) |
| | Malabar blood Snapper | 0.011 | - | |
| | Bluespot mullet | 0.003 | - | |
| | Torpedo scad | 0.166 | - | |
| | Indian mackerel | 0.093 | - | |
| | Yellowfin seabream | 0.059 | - | |
| | Frigate tuna | 0.004 | - | |
| | Japanese fin bream | 0.003 | - | |
| | Croaker | 0.002 | - | |
| | Red bigeye | 0.003 | - | |
| น่านน้ำอังกฤษ | <i>Loligo forbesi</i> | 0.094 ± 0.146 | 0.022 ± 0.033 | Pierce <i>et al.</i> (2008) |
| | <i>Alloteuthis sp.</i> | 0.798 ± 0.204 | 0.159 ± 0.033 | |
| | <i>Todaropsis eblanae</i> | 1.557 ± 2.149 | 0.257 ± 0.031 | |
| | <i>Todarodes sagittatus</i> | 0.305 ± 0.292 | 0.069 ± 0.065 | |
| นิวเจอร์ซี (อเมริกา) | Croaker | - | 0.001 ± 0.004 | Burger and Gochfeld (2005) |
| | Common sole | - | 0.028 ± 0.005 | |
| | Bluefish | - | 0.006 ± 0.002 | |
| | Yellowfin tuna | - | 0.030 ± 0.047 | |
| | Yellowfin tuna | - | 0.030 ± 0.005 | Usero <i>et al.</i> (2003) |
| (อิตาลี) | Horse mackerel | - | 0.02 ± 0.001 | Storelli (2008) |
| | Sea bream | - | 0.02 ± 0.001 | |
| มหาสมุทรอินเดีย ผังตะวันตก | Swordfish | 1.04 ± 1.09 | - | Kojadinovic <i>et al.</i> (2007) |
| | Yellowfin Tuna | 0.25 ± 0.21 | - | |
| | Skipjack Tuna | 0.61 ± 0.37 | - | |
| ทะเลเมดิเตอร์เรเนียน | Swordfish | - | 0.01 ± 2.00 | Storelli <i>et al.</i> (2005) |
| อาหารทะเลแซ่บ แม่จั่ง | หมึกก้าด้วย | - | 0.42 ± 0.45 | พิพัฒน์ นพคุณ และคณะ |
| | หมึกกระดอง | - | 0.58 ± 0.76 | (2007) |
| | หมึกสาย | - | 0.33 ± 0.58 | |

ตารางที่ 1-2 ปริมาณแอดเมิร์มที่ยอมให้มีปนเปื้อนในอาหารสูงสุดที่กำหนดโดยแต่ละองค์กร

| ประเภทผลิตภัณฑ์ | Maximum levels (มก./กก. นน. เม็ด) | องค์กร/ประเทศ | อ้างอิง |
|---|--------------------------------------|-----------------|---------------------|
| เนื้อปลาทั่วไป เนื้อปลาครุ่น | 0.05 | กลุ่มสหภาพยุโรป | EU (2006) |
| ปลาไหหล (Anguilla anguilla) | 0.1 | | |
| ปลาเมคการ์ล (Trachurus sp.) | 0.1 | | |
| ปลาชาร์ดิน (Sardina pilchardus, Sardinops sp.) | 0.1 | | |
| ปลาทูน่า (Thunnus sp., Euthynnus sp., <i>Katsuwonus pelamis</i>) | 0.1 | | |
| ปลาตาเดียว (Dicologoglossa cuneata) | 0.1 | | |
| <i>Engraulis</i> species (<i>Sarda sarda</i> , <i>Diplodus vulgaris</i>) | 0.1 | | |
| <i>Mugil labrosus labrosus</i> | 0.1 | | |
| <i>Luvarus imperialis</i> | 0.1 | | |
| เนื้อปลากระโทงแท่งดาบ (Xiphias gladius) | 0.3 | | |
| สัตว์ทะเลประเทกทุ่ง บู่ | 0.5 | | |
| สัตว์จำพวกหอย | 1.0 | | |
| หมึกทุกชนิด ยกเว้นเครื่องใน | 1.0 | | |
| กุ้งก้ามgram | 1.0 | แคนาดา | JECFA (2005) |
| อาหารทุกชนิด | 1.0 | ไทย | กระทรวง |
| หมึก | 1.0 | | สาธารณสุข (2548) |

1.7 การเข้าสู่ร่างกายของมนุษย์

คนทั่วไปได้รับแอดเมิร์มเข้าสู่ร่างกายผ่านทางอากาศและอาหาร ส่วนคนที่สูบบุหรี่มีความเสี่ยงที่จะได้รับแอดเมิร์มเข้าสู่และสะสมในร่างกายปริมาณที่เพิ่มสูงขึ้น เนื่องจากในใบยาสูบมีแอดเมิร์มที่ปนเปื้อนจากดิน อิกหั้งการทดลองในคนและสัตว์บ่งชี้ว่า ปอดมีความสามารถในการดูดซึมแอดเมิร์มได้สูงกว่าระบบย่อยอาหาร นั่นคือ ปอดสามารถดูดซึมแอดเมิร์มเข้าสู่ร่างกายจากอากาศที่สูดหายใจเข้าไปได้ร้อยละ 50 ส่วนระบบย่อยอาหารสามารถดูดซึมแอดเมิร์มที่ปนเปื้อนในอาหารที่บริโภคเข้าไปได้ร้อยละ 5 ซึ่งส่วนใหญ่เป็นอาหารที่ได้จากผลิตภัณฑ์ทางการเกษตร (IPCS, 1992)

จากการทดลองในสัตว์ทดลอง พบร่วมแคดเมียมที่ได้รับจากการบริโภคอาหารอยู่ในรูปแบบโครงสร้างทางเคมีที่พร้อมใช้ทางชีวภาพ (bioavailability) เนลี่ยอยู่ที่ 0.5 - 3.0 % ซึ่งการคุณซึ่มและการสะสมแคดเมียมในร่างกายขึ้นอยู่กับ เพศ วัย และภาวะ โภชนาการของผู้บริโภค ถ้าร่างกายขาดโปรตีน และแร่ธาตุ เช่น สังกะสี แคลเซียม ทองแดง และเหล็ก จะทำให้การคุณซึ่มและการสะสมแคดเมียมในร่างกายได้ดีขึ้น ในทางตรงกันข้ามถ้าผู้บริโภค มีภาวะทางโภชนาการที่ดีจะช่วยลดการคุณซึ่มและการสะสมแคดเมียมในร่างกายได้ (WHO, 2004)

จากการศึกษาด้านเภสัชวิทยา เกี่ยวกับการสะสมของแคดเมียมในร่างกายของสัตว์มีชีวิต โดยทำการศึกษาในสัตว์ทดลอง คือ สัตว์ที่ใช้ฟันแทะ (rodents) พบร่วมสัตว์จะรับแคดเมียมเข้าสู่ร่างกายจากการกินอาหารเป็นหลัก หลังจากที่แคดเมียมเข้าสู่และสะสมในร่างกายแล้ว ส่วนใหญ่จะแพร่กระจายไปยังตับ หลังจากนั้นจึงแพร่กระจายต่อไปที่ไตโดยจับตัวกับโปรตีนในรูปของ cadmium - metallothionein และ cadmium – albumin (WHO, 2004) ในเนื้อและกระดูกจะพบแคดเมียมสะสมอยู่น้อย (Klasing, 2005)

การแพร่กระจายของแคดเมียมจากการคุณซึ่มที่บริเวณลำไส้เล็กในส่วนของ duodenum และ jejunum มีอัตราการคุณซึ่มประมาณ 3.0 - 8.0% (Järup *et al.*, 2000) โดยมีกลไกสำคัญ คือ การลำเลียงผ่านทาง calcium ion channels หรือผ่านทาง endocytosis ซึ่งเป็นการรับแคดเมียมจากภายนอกเซลล์ให้เคลื่อนข่ายเข้ามาในเซลล์ หรือจากการลำเลียงกรดอะมิโน โดยแคดเมียมไปจับกับโปรตีน cysteine ถ้ารับแคดเมียมปริมาณน้อยสิ่งมีชีวิตจะผลิต metallothionein และ cysteine-rich protein มากจัดโลหะหนัก เช่น Cd²⁺, Pb²⁺ เพื่อลดความเป็นพิษต่อเซลล์ โดยกระบวนการสร้าง metallothionein ในเยื่องมีอ กองถ้าไม่สามารถลำไส้เล็กเพื่อมาจับกับแคดเมียม (Zalups and Ahmad, 2003) หากมีการสร้าง metallothionein ในตับจะป้องกันการเกิดพิษต่อตับได้ (Kuester *et al.*, 2002) แต่ในทางตรงกันข้ามการสร้างสาร metallothionein ขึ้นมากเกินไป ก็จะส่งผลต่อพยาธิสภาพของตับจะทำให้เซลล์ตับตายและถูกทำลาย (Friedman and Gesek, 1994; Habeebu *et al.*, 1998) ส่วน metallothionein ที่ถูกสร้างขึ้นในไตจะเป็นพิษต่อไต (nephrotoxic) โดยจะพบโปรตีนถูกขับออกมากับปัสสาวะผ่านทางท่อไต (Bernard *et al.*, 1992; Novelli *et al.*, 1999) และอาจก่อให้เกิดโรคมะเร็งได้ (Klaassen and Liu, 1997)

ในอันดับแคดเมียมจะเข้าไปแทนที่สังกะสีที่ขับอยู่กับโปรตีน (zinc-proteins) ทำให้เนื้อเยื่อบริเวณนั้นตาย (necrosis) (Shen and Sangiah, 1995; Xu *et al.*, 1999; Zhifeng *et al.*, 2007) นอกจากนี้แคดเมียมยังทำให้ระบบต่างๆ ของร่างกายทำงานผิดปกติ เช่น ระบบสืบพันธุ์ (Shen and Sangiah, 1995) สมองและระบบประสาทส่วนกลาง (Provias *et al.*, 1994) น้ำมามะและ

ไขกระดูกถูกทำลาย โดยแอดเมียมไปรบกวนการสร้างโปรตีนคอลลาเจนที่เป็นส่วนประกอบของเยื่อชีดข้อต่อกระดูกส่งผลให้เกิดเป็นโรคกระดูกมากขึ้น (Kjellstrom, 1992; Yamano *et al.*, 1998; Katzantzis, 2004) การยับยั้งการถูกทำลายของเซลล์จึงขึ้นอยู่กับปริมาณของแอดเมียมที่เข้าสู่ร่างกาย (Sauer *et al.*, 1997)

1.8 ความเป็นพิษของแอดเมียม

1.8.1 ความเป็นพิษแบบเดียนพลัน

ความเป็นพิษต่อระบบทางเดินอาหาร เมื่อร่างกายได้รับแอดเมียมโดยการกินอาหารหรือเครื่องดื่มที่มีแอดเมียมปนเปื้อนหรือบรรจุในภาชนะที่เคลือบด้วยแอดเมียม อาการที่ปรากฏ คือ รู้สึกคลื่นหัวนอนอย่างรุนแรง อาเจียน ห้องร่วง เป็นตะคริว และน้ำลายฟูมปาก ในรายที่เป็นมากอาจหมดสติน่องจากร่างกายสูญเสียน้ำมาก ส่วนความเป็นพิษต่อระบบหายใจโดยการสูดหายใจอาจของแอดเมียมเข้าไปทำให้เกิดอาการระคายเคืองที่หลอดลม ปอด จมูก ลำคอ ทำให้เกิดอาการไอ เวียนศีรษะ อ่อนเพลีย หน้าสั้น มีไข้ เจ็บหน้าอก (เขมชิต ธนากิจชาญเจริญ และคณะ, 2551) แอดเมียมจะเข้าสู่ร่างกายได้มากขึ้น เมื่ออ้อยในรูปสารประกอบร่วมกับสังกะสี ตะกั่ว และโลหะตัวอื่นๆ (Wentink *et al.*, 1992)

1.8.2 ความเป็นพิษแบบเรื้อรัง

โรคที่เกิดจากแอดเมียมครั้งแรกพบหลังสังคมโลกครั้งที่ 2 เมื่อปี ค.ศ. 1946 (พ.ศ. 2489) ในประเทศญี่ปุ่น โดยพบผู้ป่วยแสดงอาการปวดกระดูกและกระดูกแตกหักง่าย ขณะเดินจะรู้สึกเจ็บ จึงเรียกโรคนี้ว่า “itai-itai” เป็นภาษาญี่ปุ่นที่แปลว่า “เจ็บ-เจ็บ” และพบว่าเป็นอันตรายต่อปอดของคนงานในโรงงานอุตสาหกรรม (Nordberg, 2004) เมื่อปี ค.ศ. 1993 (พ.ศ. 2536) International Agency for Research on Cancer (IARC) ได้จัดให้แอดเมียมและสารประกอบแอดเมียมเป็นสารก่อมะเร็งต่อมนุษย์และสัตว์ กลุ่มที่ 1 (WHO, 2000) นอกจากนี้ยังมีโรคเรื้อรังอื่นที่เกิดจากการได้รับแอดเมียมเป็นเวลาติดต่อกันเป็นเวลานาน ได้แก่ ความเป็นพิษต่อไต คือ ไตบั้งปัสสาวะที่มีโปรตีนมากกว่าปกติ รวมทั้งสารอื่นๆ เช่น กรดอะมิโน และกลูโคส ความเป็นพิษต่อระบบเลือดเข้าสู่หัวใจและระบบการสร้างเม็ดโลหิต จะทำให้เกิดความดันโลหิตสูง เป็นสาเหตุให้เกิดโรคหัวใจ หัวใจเต้นผิดปกติ กลุ่มคนงานที่ต้องสัมผัสถกับแอดเมียมจะพบอาการของโรคโลหิตจางด้วย นอกจากนี้ยังพบว่าเป็นพิษต่อตับ จากการทดลองในสัตว์ทดลองพบว่าแอดเมียมในปริมาณน้อย มีผลทำให้การทำงานของอิมัยน์ไซม์ในตับเปลี่ยนแปลงไป (เขมชิต ธนากิจชาญเจริญ และคณะ, 2551)

1.8.3 การกำจัดแคดเมียมออกจากร่างกาย (Excretion)

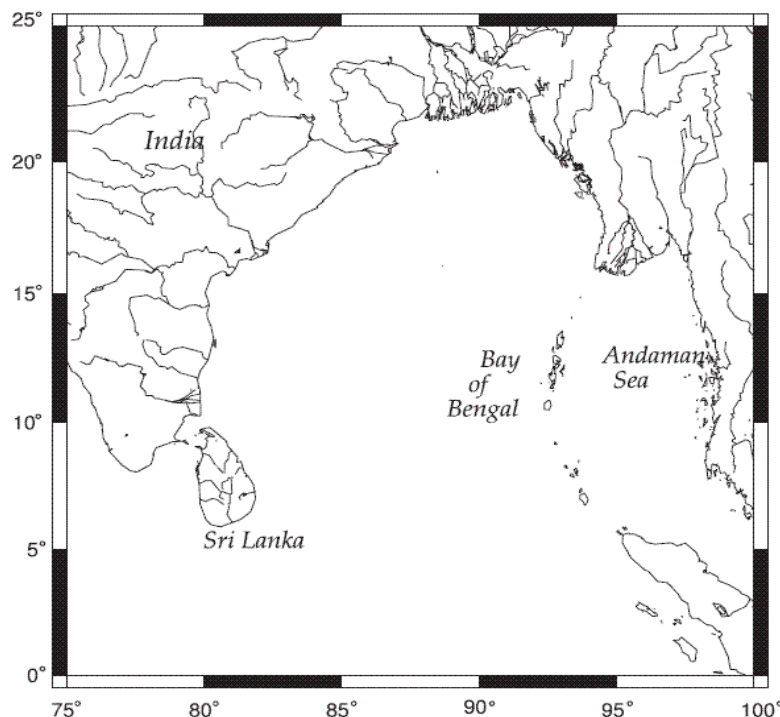
ในแต่ละวันร่างกายสามารถกำจัดแคดเมียมออกไปประมาณ 0.005 – 0.01% ผ่านทางปัสสาวะ ในรูปของแคดเมียมที่จับกับ metallothionein (metallothionein–cadmium) ซึ่งเป็นปริมาณที่น้อยมาก อีกทั้งครึ่งชีวิต (half life) ของแคดเมียมในสิ่งมีชีวิตยาวนานถึง 20 – 40 ปี ส่งผลให้แคดเมียมสะสมอยู่ในร่างกายได้นานหรืออาจจะตลอดทั้งชีวิตของสิ่งมีชีวิตนั้นๆ (WHO, 2000)

1.9 พื้นที่ในการศึกษา

1.9.1 อ่าวเบงกอล

1.9.1.1 ลักษณะทางกายภาพ

อ่าวเบงกอล (Bay of Bengal) ตั้งอยู่ในมหาสมุทรอินเดีย มีความยาวประมาณ 2,090 กิโลเมตร กว้าง 1,600 กิโลเมตร ลึกเฉลี่ยประมาณ 2,600 เมตร พื้นที่อ่าวทั้งหมดประมาณ 2.172 ล้านตารางกิโลเมตร ค้านตะวันตกของอ่าวติดต่อกับประเทศไทยและศรีลังกา ทิศเหนือติดต่อกับประเทศไทยและศรีลังกา ทิศตะวันออกมีอาณาเขตติดต่อกับประเทศไทยและพม่า ดังรูปที่ 1-5 (Islam, 2003)



รูปที่ 1-5 แผนที่แสดงที่ตั้งของอ่าวเบงกอล (Vinayachandran and Kurian, 2007)

1.9.1.2 ทรัพยากรสัตว์ทะเล

อ่าวเบงกอลเป็นแหล่งทรัพยากรสัตว์ทะเลที่มีความอุดมสมบูรณ์แห่งหนึ่ง มีความหลากหลายทางชีวภาพสูง มีการบันทึกไว้ว่ามีแพลงก์ตอนกว่า 165 ชนิด (species) มีปลา 475 ชนิด (species) 133 วงศ์ (family) ส่วนหอยและหมึกมีความหลากหลายมาก โดยพบหมึกกล้วย 7 ชนิด และ หมึกหอม 2 ชนิด (Hussain, 1994) ด้วยเหตุนี้จึงมีผู้ได้รับประโยชน์จากทรัพยากรเหล่านี้อย่างมาก

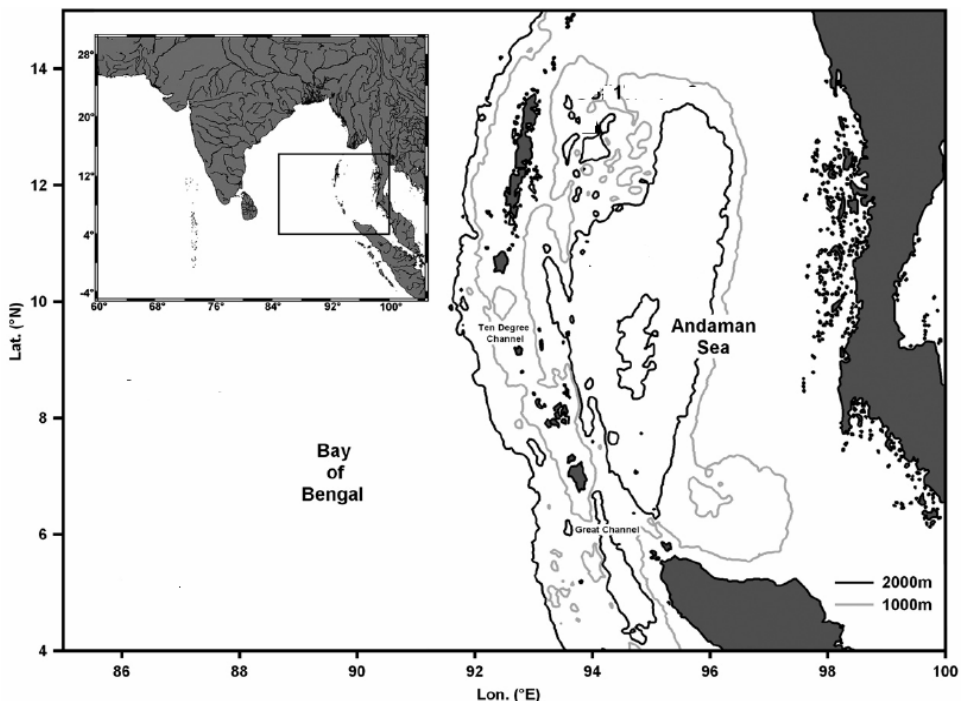
ประเทศไทยในภูมิภาคอ่าวเบงกอล 7 ประเทศ ได้แก่ บังกลาเทศ ภูฏาน อินเดีย พม่า เนปาล ศรีลังกา และไทย เป็นประเทศที่มีภูมิประเทศติดกับอ่าวเบงกอลหรือพื้นที่อ่าวเบงกอลเป็นหลัก ได้วางกรอบความร่วมมือระหว่างประเทศไทยในกลุ่ม เรียกว่าความริเริ่มแห่งอ่าวเบงกอลสำหรับความร่วมมือหลากหลายสาขาทางวิชาการและเศรษฐกิจ (Bay of Bengal Initiative for Multi-Sectoral Technical and Economic Cooperation) หรือ “BIMSTEC” เริ่มก่อตั้งขึ้นครั้งแรกโดยสมาชิก 4 ประเทศภายใต้การริเริ่มและผลักดันของไทย เมื่อวันที่ 6 มิถุนายน พ.ศ. 2540 ใช้ชื่อว่า BISTEC (Bangladesh-India-Sri Lanka-Thailand Economic Cooperation) เมื่อพม่าเข้าร่วมเป็นสมาชิกในวันที่ 22 ธันวาคม พ.ศ. 2540 ได้เปลี่ยนชื่อเป็น BIMSTEC (Bangladesh – India – Myanmar – Sri Lanka – Thailand Economic Cooperation) ต่อมาในเดือนธันวาคม พ.ศ. 2546 เนปาลและภูฏานได้เข้าร่วมประชุมในฐานะสมาชิกใหม่

ก่อนปี พ.ศ. 2548 BIMSTEC มีความร่วมมือในสาขาหลักอยู่ 6 สาขา ได้แก่ การค้า และการลงทุน การคมนาคมและการสื่อสาร พลังงาน การท่องเที่ยว เทคโนโลยี และการประมง หลังจากการประชุมรัฐมนตรี ครั้งที่ 8 ณ กรุงเทพฯ ระหว่างวันที่ 18-19 ธันวาคม พ.ศ. 2548 ได้เพิ่มสาขาวิชาร่วมมือหลักใน BIMSTEC ขึ้นเป็น 13 สาขา โดยสาขาใหม่ 7 สาขา เป็นสิ่งที่มีการหารือในการประชุมระดับผู้นำ BIMSTEC ครั้งแรก และได้มีกิจกรรมต่างๆ ต่อเนื่องมาหลังจากนั้น ได้แก่ การเกษตร สาธารณสุข การลดความยากจน การต่อต้านการก่อการร้ายและอาชญากรรมข้ามชาติ การจัดการสิ่งแวดล้อมและภัยพิบัติ วัฒนธรรม และปฏิสัมพันธ์ในระดับประชาชน ในส่วนของการประมงและการใช้ประโยชน์จากทรัพยากรประมงในอ่าวเบงกอล มีประเทศไทยถือเป็นผู้นำในด้านนี้ (กลุ่มวิจัยและวิเคราะห์สถิติการประมง, 2550)

1.9.2 ทะเลอันดามัน (น่านน้ำพม่า)

1.9.2.1 ลักษณะทางกายภาพ

ทะเลอันดามัน (Andaman Sea) เป็นทะเลค่อนข้างปิด (semi-enclosed sea) ตั้งอยู่บริเวณตะวันออกของอ่าวเบงกอล ตอนเหนือมีอาณาเขตติดต่อกับพม่า ตอนใต้ติดกับไทยและมาเลเซีย และมีหมู่เกาะนิโคบาร์ตั้งอยู่ทางทิศตะวันออก โดยหมู่เกาะนิโคบาร์ (Nicobar Islands) และหมู่เกาะอันดามัน (Andaman Islands) จะเป็นแนวอาณาเขตที่กั้นระหว่างทะเลอันดามัน กับอ่าวเบงกอล (Bay of Bengal) โดยมีช่องแคบ Preparis North Channel, Ten Degree Channel และ Great Passage เชื่อมต่อระหว่างทะเลอันดามันกับอ่าวเบงกอล (รูปที่ 1-6) ทะเลอันดามันมีพื้นที่ประมาณ 6,105 ตารางกิโลเมตร ความลึกเฉลี่ย 1,100 เมตร บริเวณที่ลึกที่สุด มีความลึก 4,419 เมตร แม่น้ำใหญ่ๆ ที่ไหลลงสู่ทะเลอันดามัน ได้แก่ แม่น้ำอิรร瓦ดี (Irrawaddy) และแม่น้ำสาละวิน (Salween) (Kamesh Raju *et al.*, 2004)



รูปที่ 1-6 แผนที่แสดงที่ตั้งทะเลอันดามัน (Dutta *et al.*, 2007)

ทะเลอันดามันเกิดจากการเคลื่อนไหวของเปลือกโลก (tectonic basin) ต่อเนื่องจากดินคอนสารเหลี่ยมของแม่น้ำอิรวดีในประเทศไทย แผ่นกว้างออกไปประมาณ 1,200 กิโลเมตร ลงไปทางใต้จนถึงทางตอนเหนือของเกาะสุมาตราและซ่องแคบมะละกา ความกว้างของท้องทะเลจากฝั่งตะวันตกของแหลมไทยไปจนถึงหมู่เกาะอันดามันและหมู่เกาะนิโคบาร์ ประมาณ 650 กิโลเมตร ลักษณะภูมิประเทศที่สำคัญในทะเลอันดามัน คือ ลาดทวีป (continental slope) ที่อยู่ต่อจากชัยฝั่งแหลมไทย - มาเลเซีย ลาดทวีปนี้เรียกว่า ลาดทวีปที่ศตวรรษที่ 11 ไปต่อ กับตะพักลุ่มน้ำที่ระดับความลึกประมาณ 2,435 เมตร ตะพักลุ่มน้ำนี้เรียกว่า ลาดทวีปที่ศตวรรษที่ 11 ต่อจากนั้นจึงเป็นแหล่งที่ชั้นในระดับความลึกประมาณ 3,035 เมตร ซึ่งเป็นท้องแองของทะเลอันดามันกลาง (Central Andaman Trough) (กรมทรัพยากรธรรมชาติ, 2550)

1.9.2.2 ทรัพยากรสัตว์ทะเล

ปริมาณทรัพยากรสัตว์ทะเลที่ประเทศไทยได้จากการทำประมงในทะเลอันดามัน และอ่าวเบงกอล ในปี พ.ศ. 2547 สูงถึง 829,891 ตัน/ปี มีมูลค่าถึง 1,068 ล้านบาท ปัจจุบันสถานการณ์การค้าผลิตภัณฑ์อาหารทะเลสด แช่เย็น แช่แข็ง และแปรรูปของไทย มีศักยภาพการผลิตและส่งออกสูงติดอันดับ 1 ใน 10 ของโลก ประมาณ 1,958,749.27 ตัน/ปี มีมูลค่า 214,373.05 ล้านบาท คิดเป็น 13.48% ของ GDP ภาคการเกษตร นอกจากผลิตเพื่อการบริโภคภายในประเทศแล้ว ยังส่งออกไปยังตลาดต่างประเทศ ได้แก่ อเมริกา แคนนาดา สูญญี่ปุ่น และสหภาพยุโรป (กลุ่มวิจัยและวิเคราะห์สถิติการประมง, 2550) ศูนย์วิจัยและพัฒนาประมงทะเลฝั่งอันดามัน (2550) รายงานการทำประมงร่วมไทย-พม่า ภายใต้สิทธิ์ทำการประมงของบริษัทสยาม-โจนราชา โดยรวมรวมข้อมูลในทะเลอันดามันส่วนที่เป็นน่านน้ำพม่า พบว่าบริษัทนี้มีเรือประมง ovarian 94 ลำ ovarian 13 ลำ และ ovarian ล้อมีน้ำจืด 4 ลำ โดยเรือ ovarian เรือ ovarian ล้อมีอัตราการจับเฉลี่ย 85.0, 63.3 และ 45.7 ตันต่อเที่ยวการจับ ตามลำดับ ดังมีรายละเอียดต่อไปนี้

ก) ovarian

จากการสำรวจเรือ ovarian ที่ทำประมงบริเวณ Latitude $13^{\circ} - 14^{\circ}\text{N}$ Longitude $96^{\circ} - 97^{\circ}\text{E}$ จำนวน 7 เที่ยวเรือ ออกทำการประมง 24 วัน/เที่ยว มีอัตราการจับเฉลี่ย 85,000 กก./เที่ยว ประกอบด้วย ปลาดี (ส่วนใหญ่เป็น ดาบเงิน ปากคอม และทรายแดง) 54.27%, หมึก (หมึกกล้วย หมึกสาย หมึกหอม และหมึกกระดอง) 3.99%, ปลากะพง (ปลากะพง ปลากะพง ปลากะพง และปลากะพง) 1.15%, กุ้ง (กุ้งตัดหัว กุ้งม้าลาย และกุ้งมังกร) 0.25%, ปลาเป็ดเหงยู (ลิ้นหมา ลัง ช้างเหยียบ ทรายแดง และปากคอม) 12.82% และปลาเป็ดแท้ (สลิดทะเล นกกระทุง กระเบนไฟฟ้า และสิงโต) 27.52% (รูปที่ 1-7ก)

ข) ovarian carcinoma

จากการเก็บตัวอย่างจากเรื่อ ovarian carcinoma ที่ทำการประเมินบริเวณ Latitude $11^{\circ} - 14^{\circ}$ N Longitude $96^{\circ} - 98^{\circ}$ E จำนวน 3 เที่ยวเรือ มีวันออกทำการประเมิน 5 วัน/เที่ยว จำนวนครั้งที่ลง ovarian 4 ครั้ง พบร้า มีอัตราการจับเฉลี่ย 63,333 กิโลกรัม/เที่ยว ประกอบด้วย ปลาทูแซกครีบสัน 68.42% และปลาทูแซกทางแಡง 31.58% (รูปที่ 1-7ข)

ค) ovarian stromal tumor

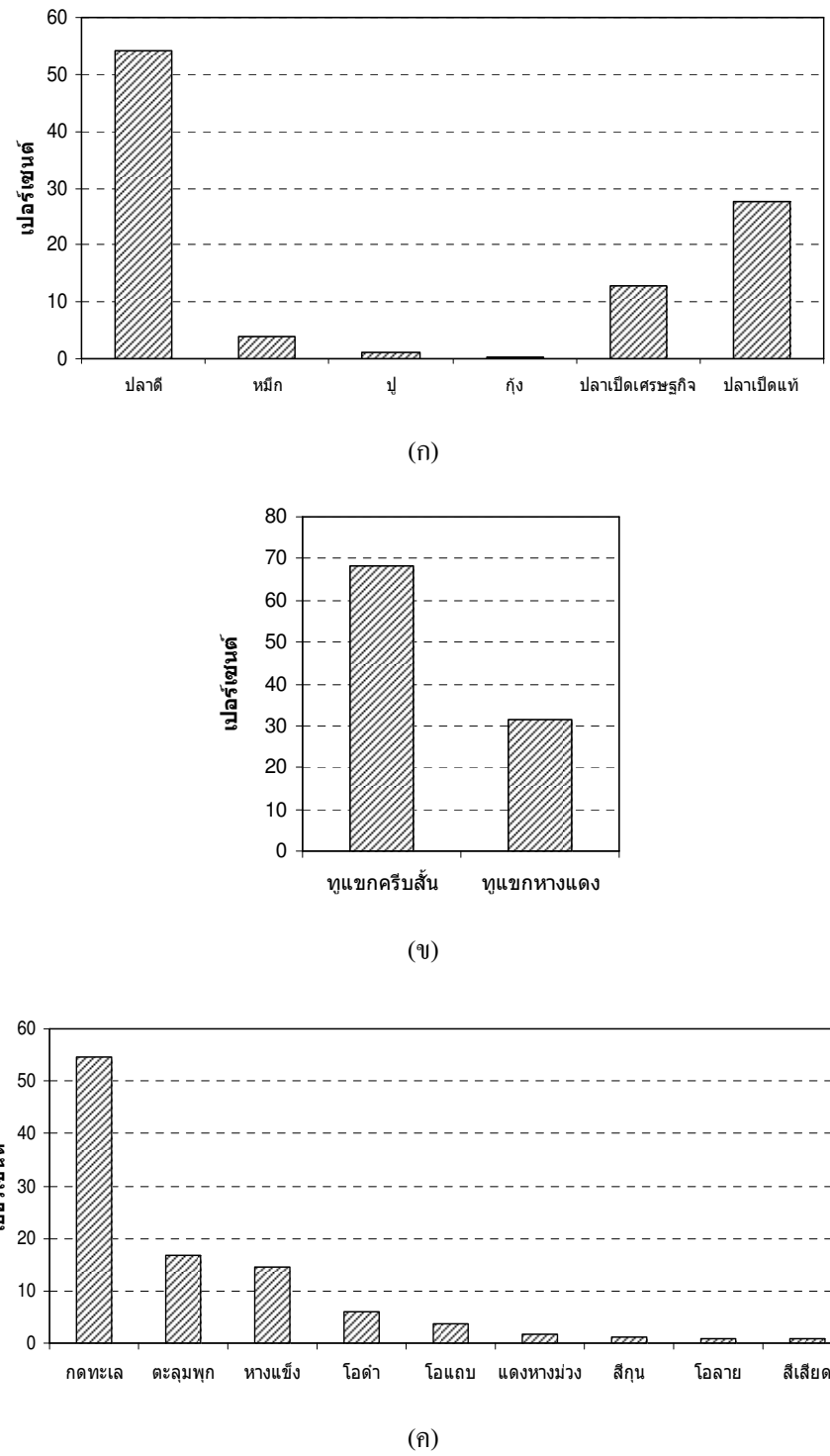
จากการเก็บตัวอย่างจากเรื่อ ovarian stromal tumor ที่ทำการประเมินบริเวณ Latitude $13^{\circ} - 15^{\circ}$ N Longitude $96^{\circ} - 97^{\circ}$ E จำนวน 3 เที่ยวเรือ มีวันออกทำการประเมิน 19 วัน/เที่ยว จำนวนครั้งที่ลง ovarian 9 ครั้ง พบร้า มีอัตราการจับเฉลี่ย 45,733 กิโลกรัม/เที่ยว ประกอบด้วย ปลาดุะเดือ 54.67%, ปลาตะลุมพุก 16.76%, ปลาทางแข็ง 14.58%, ปลาแಡงทางม่วง 1.82%, ปลาสีกุน 1.09%, ปลาโอดำ 5.83%, ปลาโอดอก 3.64%, ปลาโอลาย 0.88% และปลาสีเตี้ยด 0.73% (รูปที่ 1-7ค)

1.10 ความเสี่ยง

“ความเสี่ยง” คือ ลักษณะของสถานการณ์หรือการกระทำใดๆ ที่มีผลลัพธ์ได้มากกว่า 2 อย่าง ผลลัพธ์ที่ว่านี้เราไม่สามารถบอกได้แน่นอนว่าจะเกิดขึ้นหรือไม่ และอย่างน้อยหนึ่งในผลลัพธ์นั้นไม่พึงประสงค์ (พงศ์เทพ วิวรรณะเดช, 2547)

“การประเมินความเสี่ยง” คือ กระบวนการศึกษาอย่างเป็นระบบเพื่อพรรณนาและวัดความเสี่ยงที่มีความสัมพันธ์กับสิ่งคุกคาม กระบวนการ การกระทำหรือเหตุการณ์ใดๆ อาจกล่าวได้ว่าการประเมินความเสี่ยงเป็นการศึกษาเชิงปริมาณ (quantitative study) เพราะเป็นการศึกษาในลักษณะที่สามารถตรวจวัดตัวแปรต่างๆ เป็นตัวเลขได้ (พงศ์เทพ วิวรรณะเดช, 2547)

ในทางวิชาการ โดยทั่วไปแบ่งประเมินความเสี่ยงออกเป็น 2 สาขาวิชา คือ การประเมินความเสี่ยงด้านสิ่งแวดล้อมหรือระบบภิเวศ (Environmental or Ecological Risk Assessment) และการประเมินความเสี่ยงด้านสุขภาพ (Health Risk Assessment) โดยการประเมินความเสี่ยงด้านสิ่งแวดล้อมเป็นเรื่องการประเมินผลกระทบจากมลพิษทางสิ่งแวดล้อมที่มีต่อระบบภิเวศที่ซึ่งเป็นเรื่องที่มีความซับซ้อนและต้องอาศัยข้อมูลจำนวนมากจึงทำได้ค่อนข้างยาก ขณะที่การประเมินความเสี่ยงด้านสุขภาพเป็นการศึกษาถึงผลกระทบจากสิ่งแวดล้อมต่อสุขภาพมนุษย์ซึ่งทำได้ง่ายกว่า



รูปที่ 1- 7 สัดส่วนเฉลี่ยของชนิดปลาในแต่ละเที่ยวการทำประมงโดย (ก) หวานลา ก (ข) หวานคำ และ (ค) หวานล้อม ที่เข้าร่วมสัมปทานในเขตประเทศไทยได้สิทธิทำการประมงของบริษัทสยามโภนาชาน ปี พ.ศ. 2550

การประเมินความเสี่ยง (Risk Assessment) เป็นกระบวนการหนึ่งที่ Codex Committee on Food Additive and Contaminants (CCFAC) ภายใต้องค์การอนามัยโลก/องค์กรอาหารและเกษตรกรรมแห่งสหประชาชาติ (World Health Organization/Food and Agriculture Organization of United Nations หรือ WHO/ FAO) ที่มีหน้าที่ในการกำหนดมาตรฐานอาหารและส่วนผสมในอาหารระหว่างประเทศ ได้เลือกมาเป็นวิธีทางที่ใช้ในการลดความเสี่ยงจากอันตรายทั้ง 3 ด้าน คือ อันตรายด้านกายภาพ ด้านเคมี และด้านชีวภาพที่พบอยู่ในอาหาร โดยเฉพาะความเสี่ยงที่เกิดจากเชื้อจุลินทรีย์ที่ทำให้เกิดโรคและสารพิษ อีกทั้งยังเป็นวิธีการที่นำมาใช้เพื่อให้ได้ข้อมูลทางวิทยาศาสตร์ที่ใช้ประกอบการตัดสินใจเกิดข้อพิพาททางการค้าสินค้าอาหารที่เกี่ยวข้องกับความปลอดภัยของอาหารในระดับนานาประเทศ

1.10.1 การประเมินความเสี่ยงด้านสุขภาพ

“การประเมินความเสี่ยงด้านสุขภาพ” หมายถึง การประเมินความเสี่ยงที่ศึกษาถึงผลกระทบที่มาจากการสั่งแวดล้อมแล้วก่อให้เกิดผลต่อสุขภาพของมนุษย์ แบ่งลักษณะการศึกษาออกเป็น 2 กลุ่ม (พงศ์เทพ วิวรรณเดช, 2547) คือ

ก) การประเมินความเสี่ยงเชิงปริมาณ (Quantitative Risk Assessment)

การประเมินความเสี่ยงเชิงปริมาณ มุ่งเน้นการศึกษาที่อาศัยหลักทางวิทยาศาสตร์ เป็นพื้นฐาน ได้แก่ การศึกษาที่เน้นกระบวนการทางวิทยาศาสตร์ที่สามารถตรวจสอบค่าตัวแปรต่างๆ เป็นตัวเลข โดยอาศัยเครื่องมือทางวิทยาศาสตร์หรือการทดสอบตรวจวิเคราะห์ทางห้องปฏิบัติการ สามารถอธิบายได้โดยใช้หลักเหตุและผล และสามารถทดลองซ้ำได้ โดยเป้าหมายสุดท้ายของ การประเมินความเสี่ยงเชิงปริมาณนี้จะใช้ประโยชน์เป็นข้อมูลนำเข้า สำหรับการประเมินความเสี่ยง เชิงคุณภาพ

ข) การประเมินความเสี่ยงเชิงคุณภาพ (Qualitative Risk Assessment)

การประเมินความเสี่ยงเชิงคุณภาพ เป็นการศึกษาที่มุ่งเน้นจะอธิบายปรากฏการณ์ เชิงสังคมศาสตร์และมนุษยวิทยา โดยอาศัยการเก็บข้อมูลที่ใช้วิธีการสัมภาษณ์แบบเจาะลึก (in-depth interview) การสัมภาษณ์เฉพาะกลุ่ม (focus group interview) ร่วมกับเทคนิคการศึกษาอื่นๆ เช่น การศึกษาแบบมีส่วนร่วม (participatory action research) เป็นต้น วิธีการเชิงคุณภาพ จะเน้นความหลากหลายและความครอบคลุมของข้อมูล เพื่อเสนอผลให้เห็นในหลายมุม

โดยส่วนใหญ่ การศึกษาทั้ง 2 วิธี จะต้องทำความคู่กันไป เพราะหลายครั้งที่ทั้ง 2 วิธี ต่างเป็นข้อมูลนำเข้าและป้อนกลับซึ่งกันและกัน ผลที่ได้จากการศึกษาทั้ง 2 วิธีร่วมกันจะช่วยลดจุดด้อยที่มีในแต่ละวิธีให้หมดไป ทำให้ผลการศึกษามีความน่าเชื่อถือและสามารถนำไปสู่การแก้ปัญหาได้ตรงจุดกว่าการใช้การศึกษาเพียงวิธีใดวิธีหนึ่งเท่านั้น

1.10.2 องค์ประกอบของการประเมินความเสี่ยง

การประเมินความเสี่ยงตามหลักการที่กำหนดโดยคณะกรรมการมาตรฐานอาหาร FAO/WHO หรือ Codex (CAC, 2005) ประกอบด้วย 4 ขั้นตอน ได้แก่

ก) การระบุอันตราย (hazard identification)

การระบุอันตราย หมายถึง การระบุอันตรายของวัสดุภายในอาหาร สารเคมี หรือสิ่งมีชีวิตในอาหาร หรือสภาพของอาหารที่จะเกิดผลเสียต่อสุขภาพของมนุษย์ ซึ่งอาจปรากฏอยู่ในอาหารบางชนิดหรืออาหารบางกลุ่ม โดยต้องอาศัยข้อมูล 2 ชนิด คือข้อมูลที่เกี่ยวกับโรคที่เกิดจากสารที่คุกคามนั้นๆ และสภาพการณ์ของการรับเอาสารคุกคามเข้าสู่ร่างกายและก่อให้เกิดโรค ซึ่งในการระบุว่าสารคุกคามใดมีผลต่อสุขภาพต้องอาศัยข้อมูลจากการศึกษาในสัตว์ทดลอง และข้อมูลทางวิทยาการระบาด

ข) การอธิบายลักษณะเฉพาะของอันตราย (hazard characterization)

การอธิบายลักษณะเฉพาะของอันตราย หมายถึง การประเมินลักษณะของผลเสียต่อสุขภาพ ในเชิงคุณภาพหรือเชิงปริมาณ หรือทั้งสองอย่าง เนื่องจากอันตรายประเภทต่างๆ ที่อาจพบในอาหาร ควรให้มีการประเมินการตอบสนองต่อปริมาณการได้รับ (dose-response assessment) ของอันตรายจากสารเคมี ส่วนอันตรายจากวัสดุภายในอาหาร และสิ่งมีชีวิต ควรประเมินการตอบสนองต่อปริมาณการได้รับเมื่อมีข้อมูลเพียงพอ

ค) การประเมินการได้รับสัมผัส (exposure assessment)

การประเมินการได้รับสัมผัส หมายถึง การประเมินในเชิงคุณภาพหรือเชิงปริมาณของอันตราย ที่ได้รับเข้าสู่ร่างกายจากอาหาร รวมทั้งการได้รับสัมผัสจากแหล่งอื่นๆ เช่น น้ำ อากาศ และดิน ในการประเมินการสัมผัสเป็นวิธีการประมาณหรือวัดปริมาณของสิ่งคุกคามที่แต่ละบุคคล ประชากร หรือระบบนิเวศได้รับ ดังนั้นวัตถุประสงค์ของการประเมินการสัมผัส คือ ค้นหาสารหรือสิ่งคุกคามที่สิ่งมีชีวิตแต่ละชนิดหรือที่สิ่งแวดล้อมได้รับ ปริมาณที่ได้รับ เส้นทางการได้รับ ระยะเวลาการได้รับภัยต่อสภาพการณ์ใดๆ

๔) การอธิบายลักษณะเฉพาะของความเสี่ยง (risk characterization)

การอธิบายลักษณะเฉพาะของความเสี่ยง หมายถึง การคาดคะเนโอกาสเกิดและความรุนแรงของผลกระทบที่จะเกิดต่อสุขภาพในประชากรกลุ่มใดๆ ทั้งในเชิงคุณภาพหรือเชิงปริมาณ รวมทั้งความไม่แน่นอนอื่นๆ ที่อาจเกิดขึ้น ซึ่งได้จากการระบุอันตราย การแสดงลักษณะของอันตราย และการประเมินการได้รับสัมผัส (สำนักงานมาตรฐานสินค้าเกษตรและอาหารแห่งชาติ, 2548)

1.11 วัตถุประสงค์ของการวิจัย

การศึกษาระบบนี้มีวัตถุประสงค์เพื่อตรวจวัดปริมาณแอดเมียโนที่ปนเปื้อนในเนื้อสัตว์ทะเลจากอ่าวเบงกอลและทะเลอันดามันในเขตน่านน้ำพม่า เพื่อประเมินความเสี่ยงและปริมาณที่ปลดปล่อยต่อสุขภาพของผู้บริโภค และเป็นข้อมูลพื้นฐานในการใช้เป็นแนวทางในการเฝ้าระวังการปนเปื้อนของแอดเมียโนในทรัพยากรประมงที่เป็นวัตถุคุณภาพสำหรับอุตสาหกรรมอาหารทะเลส่งออกที่สำคัญของไทย

บทที่ 2

วิธีดำเนินการวิจัย

งานวิจัยครั้งนี้ศึกษาระดับการปนเปื้อนของแอดเมียร์ในสัตว์ทะเลจากตัวอย่างที่ได้จากการสำรวจทรัพยากรปะมงที่ได้จากน่านน้ำพม่าในทะเลอันดามัน ในช่วงต้นปี พ.ศ. 2550 และตัวอย่างที่ได้จากการสำรวจทรัพยากรปะมงที่ได้ใน 3 พื้นที่ของอ่าวเบงกอล ในช่วงปลายปี พ.ศ. 2550

2.1 พื้นที่การเก็บตัวอย่าง

ตัวอย่างสัตว์ทะเลในงานวิจัยนี้ได้รับความร่วมมือและความอนุเคราะห์จากทีมสำรวจทรัพยากรจาก SEAFDEC (Southeast Asian Fisheries Development Center) และกรมปะมง โดยเก็บตัวอย่างใน

- 1) น่านน้ำพม่า (ทะเลอันดามัน) สู่ตัวอย่างในช่วงเดือนกุมภาพันธ์ถึงมีนาคม พ.ศ. 2550 ภายใต้โครงการ “The National Research Survey in the EEZ of Myanmar Waters” โดย M/V SEAFDEC 2 Cruise No. 23-1/2007
- 2) จากอ่าวเบงกอล สู่ตัวอย่างในช่วงเดือนพฤษภาคมถึงธันวาคม พ.ศ. 2550 ภายใต้โครงการ “The Joint Survey of BIMSTEC Member Countries on Assessment and Management of Marine Resources in the Bay of Bengal” โดย M/V SEAFDEC 1

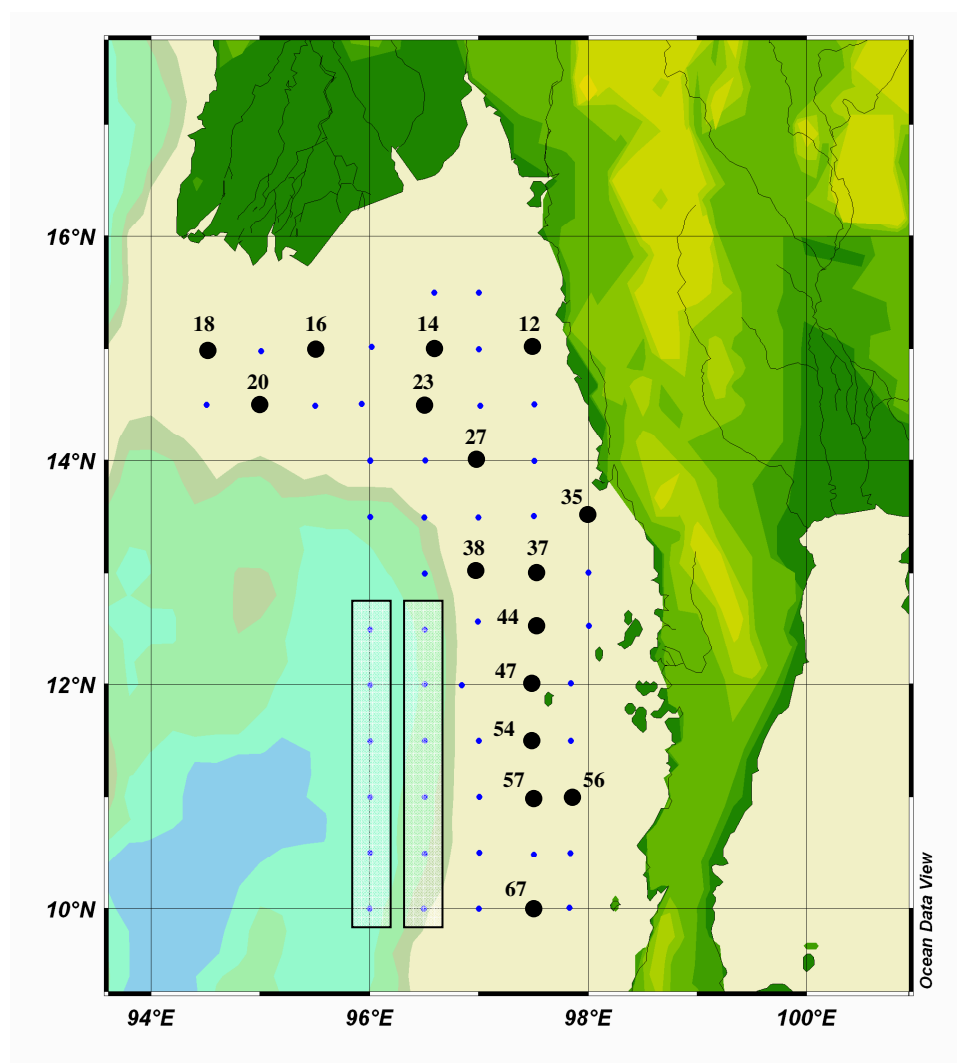
2.2 วิธีการเก็บตัวอย่าง

2.2.1 ทะเลอันดามัน (น่านน้ำพม่า)

ตัวอย่างสัตว์ทะเลจากทะเลอันดามัน สู่จากทรัพยากรสัตว์น้ำที่ได้จากการสำรวจโดยใช้เครื่องมือปะมง 2 ประเภท กือ อวนลากหน้าดิน (bottom trawl) และเบ็ดรวมน้ำลึก (pelagic longline) โดยดำเนินการ ดังนี้

- 1) พื้นที่ระดับความลึก 30 ถึง 100 เมตร เก็บตัวอย่างโดย “อวนลากหน้าดิน” ทางตอนเหนือของอ่าวมาร์ตาบัน (Gulf of Martaban) และตามแนวชายฝั่งทะเลอันดามันในแถบพานินทันยี (Tanintanyi Region) รวมทั้งสิ้น 16 สถานี

- 2) พื้นที่ระดับความลึก 700 ถึง 2700 เมตร เก็บตัวอย่างโดย “เบ็ดราวน้ำลึก” โดยวางเบ็ดรา 2 แนว คือ แนวเหนือบริเวณที่เป็นลาดทวีป (continental slope) ซึ่งความลึกของทะเลอยู่ที่ 400 ถึง 1,500 เมตร และแนวเหนือบริเวณที่เป็นพื้นสมุทร (abyssal plain) ซึ่งความลึกของทะเลอยู่ระหว่าง 2,000 ถึง 2,700 เมตร
- ตำแหน่งสถานีอวนลากหน้าดินและแนววางเบ็ดราบน้ำลึก แสดงในรูปที่ 2-1 และรายละเอียดสถานีสำรวจแสดงในตารางที่ 2-1



รูปที่ 2-1 สถานีเก็บตัวอย่างโดยอวนลากหน้าดิน (●) และแนววางเบ็ดราบน้ำลึก 2 แนว แนวซ้าย: แนวเก็บตัวอย่างเหนือบริเวณที่เป็นลาดทวีป (continental slope) ความลึก 400 – 1,500 เมตร และแนวขวา: แนวเก็บตัวอย่างเหนือบริเวณที่เป็นพื้นสมุทร (abyssal plain) ความลึก 2,000 – 2,700 เมตร ในทะเลอันดามันน่าน้ำพม่า

ตารางที่ 2-1 ตำแหน่งสถานีสำรวจ วัน และเวลาที่ทำการสุ่มจับสัตว์ทะเลในทะเลอันดามันโดยใช้อวนลากหน้าดิน

| สถานี | วันที่ | เครื่องมือ | เวลา (น.) | | แผลติดปูด (องศาเหนือ) | ลองจิจูด (องศาตะวันออก) | ความลึกทะเล (ม.) |
|-------|------------|------------|-----------|---------|--------------------------|----------------------------|---------------------|
| | | | เริ่ม | สิ้นสุด | | | |
| 12 | 15/02/2007 | BT | 13.42 | 14.37 | 15°00.0' | 97°30.2' | 34 |
| 14 | 16/02/2007 | BT | 05.44 | 06.40 | 14°59.9' | 96°36.3' | 35 |
| 16 | 17/02/2007 | BT | 05.41 | 06.57 | 14°59.8' | 95°30.2' | 75 |
| 18 | 17/02/2007 | BT | 15.41 | 16.46 | 14°59.9' | 94°30.2' | 53 |
| 20 | 18/02/2007 | BT | 09.55 | 10.50 | 14°29.4' | 94°59.5' | 88 |
| 23 | 19/02/2007 | BT | 05.45 | 07.55 | 14°29.8' | 96°30.3' | 102 |
| 27 | 19/02/2007 | BT | 15.26 | 16.29 | 13°59.2' | 96°59.6' | 79 |
| 35 | 13/02/2007 | BT | 05.45 | 07.25 | 13°29.8' | 98°00.0' | 38 |
| 37 | 23/02/2007 | BT | 05.41 | 06.52 | 12°59.7' | 97°31.1' | 83 |
| 38 | 24/02/2007 | BT | 13.26 | 14.30 | 12°29.9' | 97°00.0' | 97 |
| 44 | 25/02/2007 | BT | 5.40 | 6.51 | 12°29.6' | 97°30.2' | 80 |
| 47 | 25/02/2007 | BT | 11.29 | 12.34 | 11°59.3' | 97°29.5' | 80 |
| 54 | 28/02/2007 | BT | 18.30 | 19.35 | 11°29.9' | 97°30.5' | 78 |
| 56 | 28/02/2007 | BT | 10.24 | 11.26 | 10°59.7' | 97°50.1' | 67 |
| 57 | 28/02/2007 | BT | 5.40 | 6.50 | 11°00.0' | 97°30.3' | 86.4 |
| 67 | 27/02/2007 | BT | 5.40 | 6.47 | 09°59.8' | 97°30.3' | 91.6 |

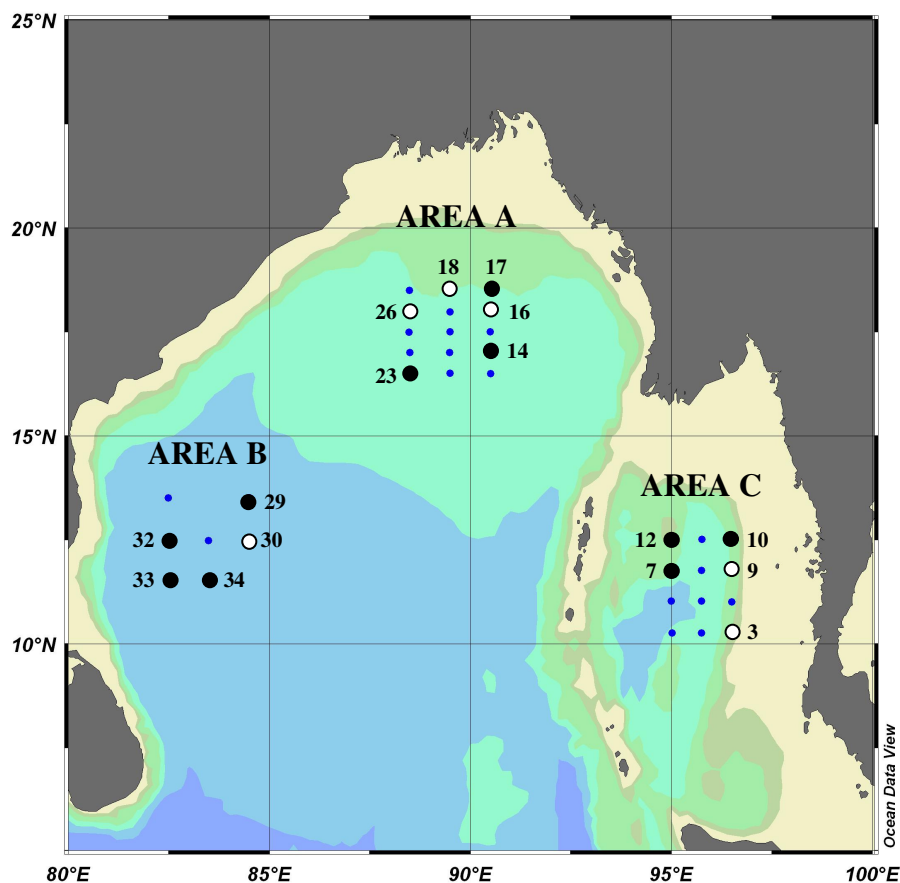
หมายเหตุ: BT = อวนลากหน้าดิน (bottom trawling)

2.2.2 อ่าวเบงกอล

ตัวอย่างสัตว์ทะเลจากทะเลอันดามัน ที่มาจากทรัพยากรสัตว์น้ำที่ได้จากการสำรวจด้วยเครื่องมือประมง 2 ประเภท คือ อวนลอย (drift gillnet) และเบ็ดราวน้ำลึก (pelagic longline) โดยมีพื้นที่เก็บตัวอย่างจาก 3 พื้นที่ ได้แก่ พื้นที่ A, พื้นที่ B และพื้นที่ C โดยกำหนดสถานีเก็บตัวอย่างด้วยเครื่องมือประมง “เบ็ดราวน้ำลึก” 10 สถานี (สถานี 7, 10, 12, 14, 17, 23, 29, 32, 33 และ 34) และเครื่องมือประมง “อวนลอย” 6 สถานี (สถานี 3, 9, 16, 18, 26 และ 30) ตำแหน่งสถานีเก็บตัวอย่าง แสดงในรูปที่ 2-2 และรายละเอียดสถานีสำรวจ แสดงในตารางที่ 2-2

2.3 การสุ่มตัวอย่างเพื่อนำมาวิเคราะห์ทางเคมี

การจำแนกชนิดทางวิทยาศาสตร์ วัดขนาดความยาว และชั้นน้ำหนัก (สำหรับตัวอย่างที่มีขนาดเล็กไม่ได้ชั้นน้ำหนักและวัดความยาวในแต่ละตัว) ดำเนินการทันทีหลังจากที่ได้ตัวอย่างสัตว์ทะเลในแต่ละสถานี โดยทีมสำรวจทรัพยากรประมงของ SEAFDEC และกรมประมง



รูป 2-2 สถานีเก็บตัวอย่างสัตว์ทะเลโดยเบื้องกระน้ำลึก (●) และอวนลอย (○) ใน 3 พื้นที่ของอ่าวเบงกอล พื้นที่ A – บริเวณทะเลที่ระดับลึก 2,000 ถึง 2,600 เมตร ในเขตเศรษฐกิจจำเพาะของประเทศไทยและอินเดีย และในน่านน้ำสากล; พื้นที่ B – ฝั่งตะวันตกของอ่าวเบงกอล ในเขตเศรษฐกิจจำเพาะของประเทศไทยและศรีลังกา และในน่านน้ำสากล; และพื้นที่ C – กลางทะเลอันดามันที่ระดับความลึก 1,128 ถึง 2,841 เมตร ครอบคลุมน่านน้ำอินเดีย พม่า และไทย

สุ่มตัวอย่างเพื่อนำมาวิเคราะห์หาปริมาณแอดเมิร์นในเนื้อเยื่อ โดยจะสุ่มหั้งตัวสำหรับสัตว์น้ำขนาดเล็ก และสุ่มแล่มาเฉพาะเนื้อเยื่อส่วนที่บริโภคสำหรับสัตว์น้ำขนาดใหญ่ (รูปที่ 2-3) โดยบรรจุตัวอย่างใส่ถุงพลาสติกสะอาดแยกตามชนิดและขนาด รัดปากถุงให้แน่น บันทึกชนิดสัตว์ทะเล เครื่องมือประมงที่ใช้ และวันที่เก็บ เก็บรักษาตัวอย่างด้วยการแช่แข็งที่อุณหภูมิ -20°C เพื่อนำกลับมาวิเคราะห์ยังห้องปฏิบัติการเคมี

ตารางที่ 2-2 ตำแหน่งสถานีสำรวจ วัน และเวลาที่ทำการสุ่มจับสัตว์ทะเลในอ่าวเบงกอลโดยใช้เครื่องมือต่างๆ

| สถานี | วันที่ | เครื่องมือ | เวลา (น.) | | แหล่งดิบดูด (องศาเหนือ) | ลองจิจูด (องศาละวันออก) | ความลึกทะเล (ม.) |
|-------|------------|------------|-----------|---------|----------------------------|----------------------------|---------------------|
| | | | เริ่ม | สิ้นสุด | | | |
| 3 | 08/11/2007 | DGN | 7.20 | 10.30 | 10°15.6' | 96°28.9' | 538 |
| 7 | 11/11/2007 | PLL | 17.40 | 18.05 | 11°45.0' | 95°00.0' | 2,841 |
| 9 | 13/11/2007 | DGN | 09.00 | 11.20 | 11°45.1' | 96°30.1' | 883 |
| 10 | 13/11/2007 | PLL | 14.30 | 16.25 | 12°30.0' | 96°30.0' | 1,128 |
| 12 | 15/11/2007 | PLL | 08.35 | 10.30 | 12°29.8' | 94°59.0' | 1,418 |
| 14 | 17/11/2007 | PLL | 14.33 | 17.20 | 16°59.8' | 90°30.1' | 2,353 |
| 16 | 18/11/2007 | DGN | 16.35 | 18.45 | 18°00.1' | 90°30.3' | 2,136 |
| 17 | 19/11/2007 | PLL | 12.00 | 14.20 | 18°30.3' | 90°30.8' | 2,005 |
| 18 | 20/11/2007 | DGN | 14.54 | 16.38 | 18°30.0' | 89°30.4' | 2,012 |
| 23 | 23/11/2007 | PLL | 13.03 | 15.10 | 16°29.9' | 88°30.2' | 2,633 |
| 26 | 26/11/2007 | DGN | 12.30 | 13.20 | 18°00.3' | 88°30.1' | 2,114 |
| 29 | 27/11/2007 | PLL | 13.49 | 15.35 | 13°30.3' | 84°30.2' | 3,412 |
| 30 | 29/11/2007 | DGN | 14.00 | 15.46 | 12°30.0' | 84°30.0' | 3,329 |
| 32 | 01/12/2007 | PLL | 12.43 | 13.32 | 12°30.2' | 82°29.9' | 3,425 |
| 33 | 02/12/2007 | PLL | 15.24 | 15.52 | 11°30.0' | 82°29.9' | 3,528 |
| 34 | 03/12/2007 | PLL | 17.51 | 18.12 | 11°30.0' | 83°29.8' | 3,470 |

หมายเหตุ: DGN = อวนคลอย (drift gillnet)
PLL = เบื้องร้านน้ำลึก (pelagic longline)



(ก) ตัวอย่างสัตว์ทะเลที่มีขนาดเล็ก สุ่มตัวอย่างทั้งตัว



(ข) ตัวอย่างสัตว์ทะเลที่มีขนาดใหญ่ (เช่น ทูน่า ปลากระ โพงแทงดาว ฉลาม เป็นต้น) สุ่มแล่managerเนื้อเยื่อ

รูปที่ 2-3 การสุ่มตัวอย่างสัตว์ทะเลที่นำมายังเคราะห์หาแอดเมิร์นในเนื้อเยื่อ

2.4 วิธีเตรียมตัวอย่างและการวิเคราะห์

2.4.1 การทำความสะอาดอุปกรณ์และภาชนะ

อุปกรณ์ เครื่องแก้ว และภาชนะทุกชนิดที่ใช้ในห้องปฏิบัติการเคมี เตรียมโดยทำความสะอาดด้วยดีเทอร์เจนต์ (detergent) และแซ่ใน 10% HNO₃ ไม่ต่ำกว่า 24 ชั่วโมง จากนั้นล้างจนหมดคุณสมบัติกรดด้วยน้ำบริสุทธิ์ (>18 MΩcm) 3 ครั้ง จนหมดคุณสมบัติกรด ผึ่งให้แห้งในตู้ปลอดฝุ่น Class 100 เก็บใส่ถุงพลาสติกสะอาดและปิดผนึก จนกว่าจะใช้งาน

2.4.2 วิธีเตรียมตัวอย่าง

นำตัวอย่างเช่นเข็มมาร่วงไว้ที่อุณหภูมิห้องในตู้ปราศจากฝุ่น Class 100 จนกว่าน้ำแข็งละลายจนหมด สำหรับตัวอย่างที่มีขนาดเล็กซึ่งไม่ได้ชั่งน้ำหนักและวัดขนาดความยาวของแต่ละตัวจะละเอียดสูง นำมาชั่งน้ำหนักด้วยเครื่องชั่งความละเอียด 2 ตำแหน่ง วัดความยาวจากนั้นบันทึกภาพตัวอย่างสัดว์ทະเลก่อนทำการเตรียมตัวอย่างในขั้นตอนไป

การแล่และเตรียมตัวอย่างเพื่อการวิเคราะห์ ทำในตู้ปราศจากฝุ่น (Laminar flow cabinet) Class 100 และสามารถมือบางทุกครั้ง อุปกรณ์ที่ใช้แล่ปลาเต่ละตัวอย่าง ทำความสะอาดด้วยน้ำบริสุทธิ์ (>18 MΩcm) ทุกครั้งและซับให้แห้ง ก่อนจะแล่ตัวอย่างต่อไป

การแล่และเตรียมตัวอย่างดำเนินการโดยปูแผ่นพลาสติกสะอาดในตู้ปลอดฝุ่น Class 100 ทำความสะอาดตัวอย่างด้วยน้ำบริสุทธิ์ (>18 MΩcm) และอาจแต่เฉพาะเนื้อเยื่อด้วยมีดสเตนเลสสตีล (Sivaperumal *et al.*, 2007) บดสับเนื้อเยื่อสัดว์ทະเลจนเป็นเนื้อดิบกัน (รูปที่ 2-4) ตัวอย่างที่เตรียมเสร็จแล้ว เก็บใส่ถุงซิปสะอาด เก็บรักษาด้วยการแล่แข็งที่อุณหภูมิ -20°C จนกว่าจะวิเคราะห์ทางเคมี

2.4.3 การย่อยตัวอย่างเนื้อเยื่อสัดว์ทະเล

การย่อยตัวอย่างเพื่อวิเคราะห์ทางเคมี ใช้วิธีการที่ดัดแปลงจากวิธีมาตรฐาน AOAC Official Methods 999.11 (AOAC, 2006) ของ Association of Official Agriculture Chemists โดยใช้ตัวอย่างประมาณ 10 กรัม ด้วยเครื่องชั่งความละเอียด 4 ตำแหน่ง (analytical balance) ยึดห้อง METTER TOLEDO รุ่น AB104-S ใส่ลงในเบ้ากระเบื้องเคลือบ (crucible) บันทึกน้ำหนักโดยละเอียด



รูปที่ 2-4 การแล่และเตรียมตัวอย่างเนื้อเยื่อ เก็บใส่ถุงพลาสติก เพื่อเตรียมวิเคราะห์ทางเคมี ทุก ขั้นตอนดำเนินการในตู้ปราศจากฝุ่น (Laminar flow cabinet) Class 100: รูป (ก) – การแล่และเตรียมตัวอย่าง และรูป (ข) – ตัวอย่างที่ชำแหละเสร็จแล้ว

นำตัวอย่างในเบ้ากระเบื้องเคลือบไปทำให้แห้งโดยตั้งบนเตาให้ความร้อน (hot plate) ที่อุณหภูมิ 100°C จนกว่าตัวอย่างจะแห้ง นำตัวอย่างที่แห้งแล้ว ไปเผาในเตาเผาแบบตั้ง โปรแกรม (programmable ash muffle furnace) ยี่ห้อ Fisher Scientific รุ่น 10750126, USA โดยการเพิ่มอุณหภูมิเป็นลำดับขั้นในอัตรา 50°C ต่อชั่วโมง จาก 100°C เป็น 450°C ใช้เวลาเผา 2 – 4 ชั่วโมง ตัวอย่างจะกลายเป็นถ่านสีดำ (รูปที่ 2-5)



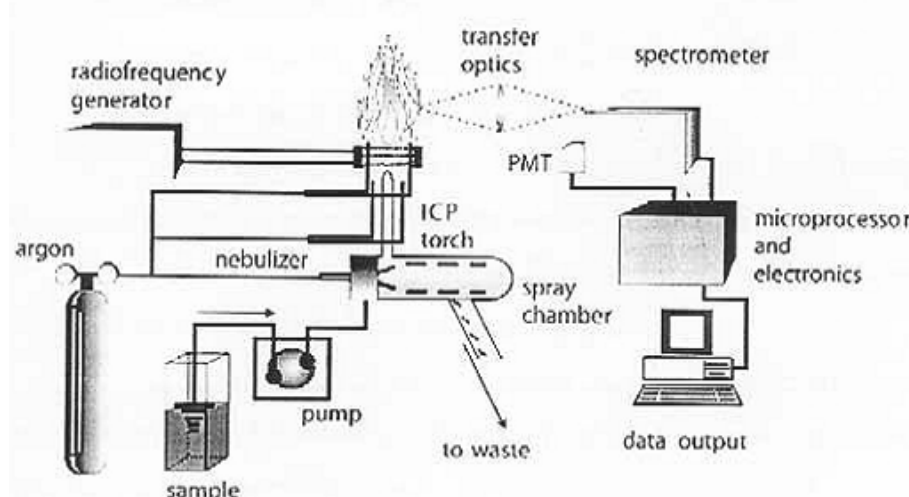
รูปที่ 2-5 การย่อยตัวอย่างเนื้อเยื่อให้เป็นสารละลายเพื่อวิเคราะห์ทางเคมี: รูป (ก) – ทำตัวอย่าง ให้แห้งโดยตั้งบนเตาให้ความร้อน (hot plate) ที่อุณหภูมิ 100°C และรูป (ข) – การเผา ตัวอย่างในเตาเผาแบบตั้ง โปรแกรม (programmable ash muffle furnace) โดยเพิ่มอุณหภูมิ เป็นลำดับขั้น จาก 100°C เป็น 450°C ด้วยอัตรา 50°C ต่อชั่วโมง

เมื่อตัวอย่างเย็นลง เดิมนำบริสุทธิ์ ($>18 \text{ M}\Omega\text{cm}$) 1 – 3 มล. ตั้งบน hot plate เพื่อระเหยแห้ง นำตัวอย่างเข้าเตาเผาอีกครั้งหนึ่ง โดยตั้งโปรแกรมให้อุณหภูมิเริ่มต้นที่ 100°C เพิ่มอุณหภูมิเป็นลำดับขั้นในอัตรา 50°C ต่อชั่วโมง จนถึง 450°C ใช้วาเตาเผาทึบสินอีก 8 ชั่วโมง หากเก้าขังเป็นสีดำ ให้ทำขั้นตอนนี้ซ้ำอีกจนกว่าถ้าจะมีสีขาวหรือเทา

ละลายแล้วที่ได้ในเบ้ากระเบื้องเคลือบด้วยกรดไฮโดรคลอริก (HCl) เช้มขั้น 6 ไมลาร์ ปริมาตร 5 มล. นำไปประเหยแห้งบนเตาให้ความร้อนอีกครั้ง จนสารละลายงวดเกือบแห้งจากนั้นละลายส่วนตกค้าง (residue) ที่อยู่ในเบ้ากระเบื้องเคลือบด้วยกรดไนโตริก (HNO_3) เช้มขั้น 0.1 ไมลาร์ ปริมาตร 20 มล. ปิดด้วยกระжันนาพิกา ทิ้งไว้ 2 ชั่วโมง จนส่วนที่ตกค้างละลายหมด เทสารละลายที่ได้เก็บในขวดพลาสติกที่ทำความสะอาดแล้วตามวิธีการ ในหัวข้อ 2.4 ปิดให้สนิท รอการวิเคราะห์ปริมาณแอดเมิร์นในสารละลาย

2.4.4 การวัดความเข้มข้นแอดเมิร์นในสารละลาย

นำสารละลายไปตรวจวัดความเข้มข้นของแอดเมิร์นด้วย Inductively coupled plasma – Optical emission spectrometer (ICP-OES) ยี่ห้อ Perkin-Elmer รุ่น Optima 2000 DV ซึ่งอาศัยหลักการกระตุ้นอะตอมที่อุณหภูมิ $6,000 - 10,000 \text{ K}$ โดยมีก๊าซอาร์กอนเป็นพลาสma (plasma) ที่เกิดในสภาพความดันบรรยายกาศและคงอยู่ได้ด้วยพลังงานที่ถ่ายเทมาจากสนามแม่เหล็กไฟฟ้าที่เกิดจากการเหนี่ยวนำของคลื่นแม่เหล็กไฟฟ้าย่านความถี่วิทยุ (radio frequency, RF) องค์ประกอบที่สำคัญของเครื่อง ICP แสดงไว้ในรูปที่ 2-6



รูปที่ 2-6 องค์ประกอบที่สำคัญของเครื่อง Inductively Coupled Plasma Spectrophotometer (ICP) (แม่น อmurสิทธิ์ และอมร เพชรสุม, 2535)

เมื่อสารละลายตัวอย่างถูกดูดเข้าเครื่อง ICP-OES จะถูกพ่นเป็นละอองขนาดเล็กๆ แล้วก๊าซอาร์กอนเป็นตัวพาละอองตัวอย่างเข้าสู่กํงกลางของพลาสม่าที่เป็นแหล่งให้พลังงานกระตุ้นความร้อนสูง โดยพลังงานจากพลาสม่าจะทำให้อะตอมของธาตุเปลี่ยนจากสภาพพื้น (ground state) ไปอยู่ในสภาพกระตุ้น (excited state) ซึ่งเป็นสถานะที่ไม่เสถียร ดังนั้นอะตอมของธาตุจะพยายามกลับสู่สภาพพื้น โดยอะตอมของธาตุแต่ละชนิดจะพยายามกลับสู่สภาพพื้นโดยการปล่อยแสง (emission) ที่มีความยาวคลื่นเฉพาะตัว แล้วตัวตรวจวัดก็จะสามารถตรวจชนิดและปริมาณของธาตุนั้นๆ ได้ (แม่น อุรศิทธิ์ และอมร เพชรสุม, 2535) สำหรับความยาวคลื่นเฉพาะของอะตอมแอดเมียม คือ 228.802 นาโนเมตร โดยมีหลักการทำงานดังรายละเอียดในภาคผนวก ก

2.5 การควบคุมคุณภาพในการวิเคราะห์ตัวอย่าง

- 1) ในทุกรอบของการย้อมตัวอย่าง ทำการย้อมโดยไม่ใช้ตัวอย่าง (blank) โดยวิธีการเดียวกับการย้อมตัวอย่าง รอบละ 3 ชั่วโมง
- 2) วิเคราะห์ตัวอย่างช้า 10 % ของตัวอย่างทั้งหมด
- 3) วิเคราะห์สารอ้างอิงมาตรฐาน (Certified Reference Materials: CRM) ของ National Research Council of Canada 2 ตัว ได้แก่ DORM-2 (Dogfish Muscle) และ DOLT-2 (Dogfish Liver) ซึ่งมีค่าค่าความเข้มข้นที่แน่นอนกำกับไว้

2.6 การวิเคราะห์ข้อมูลทางสถิติ

วิเคราะห์ข้อมูลทางสถิติโดยใช้สถิติเชิงพรรณนา (descriptive statistics) หาค่าต่ำสุด (minimum) ค่าสูงสุด (maximum) ค่าเฉลี่ย (average) ค่าเบี่ยงเบนมาตรฐาน (standard deviation) และค่ามัธยฐาน (median) ของข้อมูลโดยใช้โปรแกรม SPSS for Windows Versions 11 และ 15 เปรียบเทียบค่ามัธยฐาน เปอร์เซ็นไทล์ 25 และ 75 และแสดงผลโดยใช้แผนภูมิกล่อง (box plot) หาความสัมพันธ์ระหว่างขนาดกับปริมาณแอดเมียมในเนื้อเยื่อโดยใช้ Pearson Bivariate Correlation และหาค่าสำคัญของความแตกต่างของขนาด และปริมาณแอดเมียมในเนื้อสัตว์ทະلهโดยใช้ T-test แบบ Independent samples T - test และ ANOVA แบบ One-Way ANOVA

2.7 วิเคราะห์ความเสี่ยงในการบริโภค

2.7.1 ความเสี่ยงเบื้องต้น (Risk screening)

ก่อนการวิเคราะห์ความเสี่ยง ทำการคัดกรองความเสี่ยงเบื้องต้นโดยเปรียบเทียบกับเกณฑ์มาตรฐานหรือเกณฑ์แนะนำ (Standard and Guidelines) จากหน่วยงานต่างๆ ได้แก่

- 1) เกณฑ์มาตรฐานของกลุ่มสหภาพยุโรป (EU) ดังปรากฏใน Commission Regulation (EC) No. 1881/2006 of 19 December 2006: Setting maximum levels for certain contaminants in foodstuffs, Official Journal of the European Union, L364/5 – L364/24
- 2) เกณฑ์แนะนำของ Joint FAO/WHO Food Standards Programme (JECFA) ดังปรากฏใน Codex Alimentarius Commission เอกสารหมายเลข CX/FAC 01/28 (February 2001)
- 3) ประกาศคณะกรรมการมาตรฐานสินค้าเกษตรและอาหารแห่งชาติ: กำหนดมาตรฐานสินค้าเกษตรและอาหารแห่งชาติ: ปลาหมึก พ.ศ. 2548

2.7.2 การประเมินความเสี่ยงในการได้รับแคดเมียมในปริมาณน้อยเป็นเวลานาน

ในการประเมินความเสี่ยงในการได้รับแคดเมียมในปริมาณน้อยเป็นเวลานานใช้ค่าสัดส่วนความเสี่ยงอันตราย หรือ Hazard Quotient (HQ) ซึ่งคำนวณโดยใช้สมการ 2-1 และ 2-2 (Kofi , 2002; พงษ์เทพ วิวรรณะเดช, 2547)

$$\text{Average cadmium daily intake via fish (mg/kg/day)} = \frac{(CF)(IR)(FI)(EF)(ED)}{(BW)(AT)} \quad (2-1)$$

| | | |
|--------|----|---|
| โดยที่ | CF | = Contaminant concentration of cadmium in fish, mg/kg |
| | IR | = Ingestion rate |
| | | = 0.028 kg/meal average (85g/day average) (FAO, 2005) |
| | FI | = Fraction ingested from contaminated source |
| | | = 1 (conservative consumption) |
| | EF | = Exposure frequency |
| | | = 350 meals/year (US-EPA, 1989) |
| | ED | = Exposure duration |
| | | = 30 years for non-carcinogen (US-EPA, 1989) |
| | BW | = Body weight |
| | | = 50 kg average (Agusa <i>et al.</i> , 2007) |
| | AT | = Average time exposed |
| | | = 30 years x 365 days/years = 10,950 days for risk from non-carcinogen (US-EPA, 1989) |

$$HQ = \frac{\text{Average cadmium daily intake}}{\text{Rfd}} \quad (2-2)$$

โดยค่า Rfd หรือ Reference dose for chronic oral exposure สำหรับแคนเดเมียม เท่ากับ 0.001 มก./กг./วัน (US-EPA, 2008)

หากค่า HQ มากกว่า 1 แสดงว่า ปริมาณแคนเดเมียมที่มีอยู่ในเกณฑ์ที่มีความเสี่ยงต่อสุขภาพหากได้รับเข้าสู่ร่างกายเป็นเวลานาน ซึ่งหน่วยงานที่เกี่ยวข้องจำเป็นต้องมีการสื่อสารกับประชาชนให้รับทราบในเรื่องของความเสี่ยงในการบริโภค (risk communication) และมีการจัดการความเสี่ยง (risk management) ที่เหมาะสม

2.7.3 การประเมินปริมาณที่ปลอดภัยในการบริโภค

จากข้อมูลการปนเปื้อนของสารแคนเดเมียมในเนื้อเยื่ออสัตว์ทะเล นำมาคำนวณหาค่า Provisional Tolerable Weekly Intake (PTWI) ซึ่งก็คือ ปริมาณที่สามารถบริโภคได้อย่างปลอดภัยต่อสัปดาห์ ค่า PTWI คำนวณได้จากสมการ 2-3

$$PTWI = \left[\frac{\text{TRV} \times \text{BW}}{\text{C}_f} \right] \times 7 \quad (2-3)$$

| | | | |
|--------|----------------|---|--|
| โดยที่ | PTWI | = | provisional tolerate-weekly intake (g/week) |
| | TRV | = | toxicological reference value ($\mu\text{g}/\text{kg}$ body weight per day) |
| | BW | = | body weight (kg) |
| | C _f | = | mean of the levels of the contaminant of potential concern found in the food (mg/kg) |
| | 7 | = | days/week |

บทที่ 3

ผลการศึกษาและวิจารณ์ผลการศึกษา

3.1 ชนิดพันธุ์และขนาดของสัตว์ทะเลที่ศึกษา

3.1.1 ชนิดพันธุ์และขนาดของสัตว์ทะเลจากอ่าวเบงกอล

จากการสำรวจและเก็บตัวอย่างสัตว์ทะเลในอ่าวเบงกอล ระหว่างวันที่ 25 ตุลาคม ถึง 21 ธันวาคม พ.ศ. 2550 ภายใต้โครงการ “The Joint Survey of BIMSTEC Member Countries on Assessment and Management of Marine Resources in the Bay of Bengal” เก็บตัวอย่างด้วยเครื่องมือ ประมาณ 2 ประเภท คือ เป็นครางน้ำลีก (pelagic longline) และอวนลอย (drift gillnet) ได้ตัวอย่าง 11 ชนิด 78 ตัว ผลการศึกษาเกี่ยวกับชนิดพันธุ์และขนาดของสัตว์ทะเลทั้งหมด ได้สรุปในตารางที่ 3-1

ลักษณะรูปร่าง ชื่อวิทยาศาสตร์ และชื่อสามัญของสัตว์ทะเลทั้ง 11 ชนิด แสดงไว้ในภาคผนวก ฯ โดยแบ่งเป็นสัตว์ทะเลที่จับด้วยเป็นครางน้ำลีกจำนวน 4 ชนิด 28 ตัว (รูปที่ ข-1 ภาคผนวก ฯ) ส่วนสัตว์ทะเลที่จับด้วยอวนลอยจำนวน 8 ชนิด 50 ตัว (รูปที่ ข-2 ภาคผนวก ฯ) สำหรับพฤติกรรม การกินอาหารและถิ่นที่อยู่อาศัยของสัตว์ทะเลแต่ละชนิดแสดงในตารางที่ ค-1 ภาคผนวก ค

สัตว์ทะเลที่ได้จากอ่าวเบงกอลเป็นปลากลางน้ำทั้งหมด แบ่งออกเป็น 3 กลุ่ม คือ กลุ่มปลาตาม กลุ่มปลาทูน่า และกลุ่มปลาอื่นๆ โดยกลุ่มปลาตาม ประกอบด้วย ปลาตามหางยาว หน้าหนู (*Alopias superciliatus*) ปลาตามครึบดำ (*Carcharhinus brachyurus*) ปลาตาม Silky (*Carcharhinus falciformis*) และปลาตามไม่ระบุชนิด กลุ่มปลาทูน่า ประกอบด้วย ปลาโอดอกลน (*Auxis thazard*) ปลาโอลาย (*Euthynnus affinis*) ปลาทูน่าห้องแอบ (*Kasuwonis pelamis*) ปลาทูน่า ครึบเหลือง (*Thunnus albacares*) และปลาทูน่าตาโต (*Thunnus obesus*) ส่วนกลุ่มปลาอื่นๆ ประกอบด้วย ปลากระโวง (*Caranx Tille*) และปลากระโวงแหงดาบ (*Xiphias gladius*)

ความยาวทั้งหมด (total length) ของปลาทั้ง 11 ชนิด อยู่ในช่วง 31.5 – 319 ซม. (เฉลี่ย 105.22 ± 84.63 และ ค่ามัธยฐาน 52.0 ซม.) และมีน้ำหนักอยู่ในช่วง 0.4 – 90.0 กก. (เฉลี่ย 13.65 ± 20.96 และค่ามัธยฐาน 2.16 กก.) รายละเอียดขนาดสัตว์ทะเลทั้งหมดที่จับด้วยเป็นครางน้ำลีก และอวนลอยแสดงในตารางที่ ค-2 และตารางที่ ค-3 ในภาคผนวก ค ตามลำดับ

ตารางที่ 3-1 น้ำหนักเฉลี่ย ± ส่วนเบี่ยงเบนมาตรฐาน (ช่วงน้ำหนักต่ำสุด - สูงสุด) และความยาวทั้งหมดเฉลี่ย ± ส่วนเบี่ยงเบนมาตรฐาน (ช่วงความยาวต่ำสุด - สูงสุด) ของตัวอย่างสัตว์ทะเลที่สุ่มจับจากอ่าวเบงกอลโดยเครื่องมือประมงประเภทเบื้องครัวน้ำลึกและอวนลอย

| ชื่อวิทยาศาสตร์ | ชื่อสามัญ (อังกฤษ) | ชื่อสามัญ (ไทย) | จำนวน(ตัว) | น้ำหนัก (กг.) | ความยาว (ซม.) |
|--|-----------------------|-------------------|------------|--------------------------------|-----------------------------------|
| <i>Alopias superciliosus</i> ² | Bigeye treasher shark | ฉลามหางยาวหน้าหนู | 8 | 56.25 ± 21.54 (31.0 - 90.0) | 265.75 ± 33.97 (205.0 – 319.0) |
| <i>Auxis thazard</i> ¹ | Grigate mackerel | ปลาเอกบ | 12 | 0.77 ± 0.16 (0.40 - 0.98) | 37.45 ± 2.45 (31.5 - 40.0) |
| <i>Carcharhinus brachyrus</i> ² | Copper shark | ฉลามครีบด่าง | 1* | 12.20 ± 0.00 (12.2) | 131.10 ± 0.00 (131.1) |
| <i>Carcharhinus falciformis</i> ¹ | Silky shark | ฉลาม silky | 3 | 5.80 ± 1.85 (3.70 - 7.20) | 101.87 ± 8.73 (93.6 - 111.0) |
| <i>Caranx Tille</i> ² | Tille trevally | กระมะ | 1** | 3.30 ± 0.00 (3.3) | 66.8 ± 0.00 (66.8) |
| <i>Euthynnus affinis</i> ¹ | Mackerel tuna | ปลาสาย | 4 | 0.86 ± 0.13 (0.75 - 1.05) | 39.13 ± 2.53 (37.0 - 42.0) |
| <i>Katsuwonus pelamis</i> ¹ | Skipjack tuna | ทูน่าท้องแฉบ | 29** | 1.90 ± 1.72 (0.75 - 6.35) | 47.22 ± 11.57 (37.4 - 77.5) |
| unidentified shark ¹ | SHARK | ฉลาม | 1 | 3.22 (3.22) | 87.6 (87.6) |
| <i>Thunnus albacares</i> ² | Yellowfin tuna | ทูน่าครีบเหลือง | 2 | 36.50 ± 1.12 (35.0 - 38.0) | 138.50 ± 2.12 (137.0 -140.0) |
| <i>Thunnus obesus</i> ² | Bigeye tuna | ทูน่าตาโต | 1 | 2.0 (2.0) | 52.0 (52.0) |
| <i>Xiphias gladius</i> ² | Sword fish | กระโทงแท่งคำบ | 16 | 25.74 ± 18.50 (5.0 - 60.0) | 198.33 ± 44.78 (129.0 - 262.0) |

* 1 ตัว วิเคราะห์ 3 ส่วน – ครึ่ง 2 ส่วน และ โคนหาง; ** 1 ตัว วิเคราะห์ 2 ส่วน – โคนหางและท้อง 1 อวนลอย ²เบื้องครัวน้ำลึก

3.1.2 ชนิดพันธุ์และขนาดของสัตว์ทะเลกทะเลอันดามันในเขต่น้ำพม่า

จากการสำารวจและเก็บตัวอย่างสัตว์ทะเลที่ได้จากชาวชุมชนชาวประมงในพื้นที่ น้ำพม่า ระหว่างวันที่ 15 มีนาคม พ.ศ. 2550 ภายใต้โครงการ “The National Research Survey in the EEZ of Myanmar Waters” เก็บตัวอย่างด้วยเครื่องมือประมง 2 ประเภท คือ อวนลากหน้าดิน (Bottom trawl) และเบี้ยนราวน์ กีล (pelagic longline) มีจำนวน 32 ชนิด รวม 230 ตัวอย่าง ผลการศึกษาเมื่อกัดพันธุ์ และขนาดของสัตว์ทะเลที่จับได้ทั้งหมดสรุปไว้ในตารางที่ 3-2

ตัวอย่างที่ได้มาเป็นส่วนใหญ่ คือ ปลาสาสตร์ และซีอิ๊วสามัญ ญี่ปุ่น ตัวอย่างที่ได้แสดงไว้ในภาคผนวกฯ โดยแบ่งเป็นตัวอย่างที่จับโดยเครื่องมือลากหน้าดิน 28 ชนิด ค. 211 ตัวอย่าง (รูปที่ ข-3 ภาคผนวกฯ) และเบี้ยนราวน์ กีล 4 ชนิด 19 ตัว (รูปที่ แห-4 ภาคผนวกฯ) สำหรับพฤติกรรมการกินอาหารและคุณภาพที่สำคัญ อาทิตย์ ของสัตว์ทะเลแต่ละชนิดแสดงไว้ตามตารางที่ 3-2

สัตว์ทะเลทั้งหมดแบ่งได้เป็น 3 กลุ่ม คือ หมึกปูกหัวคล่องน้ำ โดยความยาวทั้งหมด (total length) ของสัตว์ทะเลทั้งหมดนี้ในช่วง 12.5 – 296 ซม. (เฉลี่ย 37.53 ± 54.06 ซม. และค่าร้อยละ 22.0 ซม.) และมีน้ำหนักตัวอย่าง 0.022 – 90 กก. (เฉลี่ย 2.72 ± 11.50 และค่าร้อยละ 0.09 กก.) สำหรับรายละเอียดขนาดของปูลักษณะที่จับโดยใช้อวนลากหน้าดินได้แสดงดังตารางที่ ค-4 และเบี้ยนราวน์ กีล ก็ได้แสดงไว้ในตารางที่ 3-2 ตามลำดับ

เมื่อนำมาเปรียบเทียบกับตัวอย่างที่มีขนาดใหญ่สุดเป็นกลุ่มปลาคล่องน้ำ คือ ปลากระโ Aleksandr superciliatus (superciliosus) ปลากระโ Aleksandr platypterus ปลาน้ำจืด (Istiophorus barrauda) และปลากระโ Aleksandr gladius ซึ่งมีน้ำหนักตัวอย่าง 70.75 ± 23.27, 28, 7 แหช. ค. 215.04 กก. ตามลำดับ ส่วนสัตว์ทะเลที่เหลืออีก 28 ชนิด เป็นสัตว์ทะเลจำพวกปูมีเนื้อ คือ น้ำหนักตัวอย่าง 0.029 – 0.8 กก. เฉลี่ย 0.13 ± 0.1 กก. ค่าร้อยละ 0.09 กก.

3.2 ผลการวิเคราะห์สารอ้างอิงที่รับรอง

จากการวิเคราะห์ตัวอย่างพบว่า ค่าของ blank ที่ทำจากตัวอย่างตัวเดียว มาก และค่าความแปรปรวนของความคลาดเคลื่อนในตัวอย่าง ที่ทำ การวิเคราะห์ (SD/mean) จำนวน 10 ตัวอย่าง มีค่า 9.1% ซึ่งน้อยกว่า 10% ซึ่งอยู่ในช่วงที่ยอมรับได้โดยข้อผลการวิเคราะห์ ซึ่งได้แสดงไว้ในตารางที่ ง-1 ภาคผนวกฯ

ตารางที่ 3-2 น้ำหนักเฉลี่ย ± ส่วนเบี่ยงเบนมาตรฐาน (ช่วงน้ำหนักต่ำสุด - สูงสุด) และความยาวทั้งหมดเฉลี่ย ± ส่วนเบี่ยงเบนมาตรฐาน (ช่วงความยาวต่ำสุด - สูงสุด) ของตัวอย่างสัตว์ทะเลที่สุ่มจากทะเลอันดามัน (น่านน้ำพม่า) โดยใช้อวนลากหน้าดิน และเบื้องรากน้ำลึก

| ชื่อวิทยาศาสตร์ | ชื่อสามัญ (อังกฤษ) | ชื่อสามัญ (ไทย) | ตัว | น้ำหนัก (กก.) | ความยาว (ซม.) |
|---------------------------------|------------------------|-------------------|-----|--------------------------------|-------------------------------|
| <i>Alepes djedaba</i> | Shrimp scad | สีกุน | 3 | 0.062± 0.01 (0.051 – 0.069) | 16.57 ± 0.91 (15.3 – 17) |
| <i>Alopias Superciliosus*</i> | Bigeye thresher shark | ฉลามหางยาวหน้าหนู | 4 | 70.75 ± 23.27 (33.0 – 90.0) | 276 ± 26.72 (230 – 289) |
| <i>Chrysochir aureus</i> | Reeve's croaker | จวดเขี้ยว | 3 | 0.17 ± 0.02 (0.137 – 0.193) | 26.8 ± 1.02 (25.5 – 28) |
| <i>Cynoglossus cynoglossus</i> | Bengal tongue sole | ลิ้นหมา | 3 | 0.06 ± 0.02 (0.035 – 0.086) | 25.0 ± 2.86 (21.5 – 28.5) |
| <i>Decapterus russelli</i> | Indian scad | ทูแซก | 3 | 0.06 ± 0.01 (0.05 – 0.07) | 19.2 ± 0.62 (18.5 – 20.0) |
| <i>Drepane punctata</i> | Spotted sicklefish | ใบโพธิ์จุด | 3 | 0.11 ± 0.01 (0.11 – 0.13) | 18.8 ± 0.88 (17.9 – 20.0) |
| <i>Ephippus orbis</i> | Orbfish | ใบปอ | 3 | 0.08 ± 0.01 (0.08 – 0.09) | 15.87 ± 1.53 (14.5 – 18.0) |
| <i>Epinephelus coioides</i> | Orange spotted grouper | กะรังดอกಡึง | 2 | 0.80 ± 0.02 (0.78 – 0.81) | 36.0 ± 0.50 (35.5 – 36.5) |
| <i>Istiophorus platypterus*</i> | Indo-Pacific sailfish | กระโทงร่ม | 2 | 28.0 (28.0) | 252.0 (252.0) |
| <i>Loligo duvauceli</i> | Splendid squid | หมึกคล้าย | 9 | 0.06 ± 0.02 (0.03 – 0.110) | 29.45 ± 4.23 (24.3 – 36.4) |
| <i>Loligo sp.</i> | Squid | หมึก | 3 | 0.11 ± 0.01 (0.10 – 0.12) | 35.77 ± 2.95 (32.3 – 39.5) |

ตารางที่ 3-2 (ต่อ)

| ชื่อวิทยาศาสตร์ | ชื่อสามัญ (อังกฤษ) | ชื่อสามัญ (ไทย) | ตัว | น้ำหนัก (กг.) | ความยาว (ซม.) |
|---------------------------------|----------------------------|-----------------|-----|------------------------------|-------------------------------|
| <i>Nemipterus bipunctatus</i> | Delagoa threadfin bream | ทรายแดง | 9 | 0.13 ± 0.05 (0.06 – 0.23) | 22.3 ± 2.65 (17.0 – 27.5) |
| <i>Nemipterus japonicus</i> | Japanese threadfin bream | ทรายแดงญี่ปุ่น | 24 | 0.10 ± 0.04 (0.05 – 0.20) | 22.43 ± 2.63 (17.6 – 29.9) |
| <i>Nemipterus peronii</i> | Notchedfin threadfin bream | ทรายแดง | 3 | 0.14 ± 0.05 (0.09 – 0.21) | 22.5 ± 2.78 (19.1 – 25.9) |
| <i>Nemipterus</i> spp. | Threadfin bream | ทรายแดง | 6 | 0.13 ± 0.02 (0.11 - 0.17) | 21.8 ± 1.12 (21.0 - 24.1) |
| <i>Parupeneus</i> spp. | Goatfish | แพะ | 18 | 0.09 ± 0.07 (0.03 - 0.23) | 18.86 ± 3.84 (14.9 - 26.0) |
| <i>Pennahia macrocephalus</i> | Big head pennah croaker | จวด | 3 | 0.09 ± 0.01 (0.08 - 0.10) | 20.63 ± 2.08 (18.4 - 23.4) |
| <i>Pennahia anea</i> | Greyfin croaker | จวดขาว | 3 | 0.16 ± 0.01 (0.14 - 0.17) | 22.23 ± 0.33 (22.0 - 22.7) |
| <i>Priacanthus macracanthus</i> | Brownspot bigeye | ตาหวานจุดนำ้ตาล | 38 | 0.09 ± 0.08 (0.02 - 0.42) | 18.46 ± 4.47 (12.5 - 30.5) |
| <i>Pseudorhombus</i> sp. | flatfish | ตาดีขวาง | 3 | 0.18 ± 0.06 (0.12 - 0.26) | 24.73 ± 3.88 (21.6 - 30.2) |
| <i>Rastrelliger kanagurta</i> | Indian mackerel | ถัง | 3 | 0.06 ± 0.01 (0.05 - 0.07) | 18.07 ± 0.78 (17.1 - 19.0) |
| <i>Saurida elongata</i> | Slender lizardfish | ปากคม | 3 | 0.05 ± 0.02 (0.03 - 0.07) | 19.27 ± 1.93 (17.8 - 22.0) |

ตารางที่ 3-2 (ต่อ)

| ชื่อวิทยาศาสตร์ | ชื่อสามัญ (อังกฤษ) | ชื่อสามัญ (ไทย) | ตัว | น้ำหนัก (กก.) | ความยาว (ซม.) |
|-------------------------------|-----------------------|-----------------|-----|-------------------------------|-------------------------------|
| <i>Saurida undosquamis</i> | Brushtooth lizardfish | ปากคมทางจุด | 33 | 0.09 ± 0.04 (0.03 - 0.19) | 22.52 ± 3.14 (18.0 - 29.5) |
| <i>Saurida</i> sp. | Lizardfish | ปากคม | 3 | 0.10 ± 0.03 (0.07 - 0.13) | 24.83 ± 1.80 (22.6 - 27.0) |
| <i>Sphyraena barracuda*</i> | Great barracuda | น้ำดอกไนฟ์ | 1 | 7.00 (7.00) | 114 (114) |
| <i>Sphyraena forsteri</i> | Bigeye barracuda | ساກ | 3 | 0.06 ± 0.01 (0.05 - 0.06) | 22.1 ± 0.66 (21.4 - 23.0) |
| <i>Sphyraena jello</i> | Pickhandle barracuda | ساກ | 3 | 0.07 ± 0.01 (0.06 - 0.08) | 24.6 ± 0.45 (24.1 - 25.2) |
| <i>Trachinocephalus myops</i> | Snakefish | ปากคมหูดำ | 15 | 0.11 ± 0.03 (0.08 - 0.14) | 22.47 ± 1.53 (21.0 – 22.5) |
| <i>Trichiurus lepturus</i> | Largehead hairtail | ดาบเงินไข่ปู | 3 | 0.36 ± 0.01 (0.35 - 0.37) | 67.8 ± 2.55 (65.6 - 71.4) |
| <i>Upeneus moluccensis</i> | Goldband goatfish | หนวดคุ้ย | 3 | 0.03 ± 0.01 (0.03 - 0.04) | 14.1 ± 0.66 (13.4 - 15.0) |
| <i>Upeneus</i> sp. | Goatfish | หนวดคุ้ย | 3 | 0.04 ± 0.001 (0.03 - 0.04) | 15.2 ± 0.62 (14.5 - 16.0) |
| <i>Xiphias gladius*</i> | Swordfish | กระโทงแทงดาบ | 12 | 21.6 ± 15.04 (2.2 - 47.0) | 185 ± 43.3 (100 - 240) |

หมายเหตุ: ตัวอย่างส่วนใหญ่เป็นตัวอย่างจากเครื่องมือประมงอวนลากหน้าดิน ซึ่งส่วนใหญ่เป็น demersal species ยกเว้น ปลาดัง (*Rastrelliger kanagurta*) และ * เป็นตัวอย่างที่ได้จากเครื่องมือประมงประเภทเนื้อราน้ำลึก โดยเป็น pelagic species

ในส่วนการวิเคราะห์สารอ้างอิงที่รับรอง (Certified Reference Material; CRM) DORM-2 (Dogfish Muscle) และ DOLT-2 (Dogfish Liver) โดยใช้วิธีการวิเคราะห์เช่นเดียวกันกับตัวอย่างโดยทำการวิเคราะห์ตัวอย่างละ 6 ชั้น ผลการวิเคราะห์แสดงในตารางที่ 3-3 โดยพบว่าปริมาณแอดเมียร์ใน DORM-2 เท่ากับ 0.041 ± 0.002 มก./กก. หรือคิดเป็น 96.1% ของปริมาณที่กำกับมา กับ CRM (0.043 ± 0.009 มก./กก.) ส่วน DOLT-2 วิเคราะห์ปริมาณแอดเมียร์ได้เท่ากับ 20.28 ± 0.21 มก./กก. หรือคิดเป็น 97.5% ของปริมาณที่กำกับมา กับ CRM (20.8 ± 0.5 มก./กก.)

ตารางที่ 3-3 ปริมาณแอดเมียร์ในสารอ้างอิงที่รับรอง DORM-2 และ DOLT-2

| ครั้งที่ | ปริมาณแอดเมียร์ (มก./กก.นน.เปรียก) | |
|--------------------------------|------------------------------------|------------------|
| | DORM-2 | DOLT-2 |
| 1 | 0.040 | 19.92 |
| 2 | 0.031 | 20.45 |
| 3 | 0.047 | 19.71 |
| 4 | 0.042 | 20.25 |
| 5 | 0.044 | 21.33 |
| 6 | 0.044 | 20.02 |
| ค่าที่กำกับมา | 0.043 ± 0.009 | 20.8 ± 0.5 |
| ค่าเฉลี่ย \pm standard error | 0.041 ± 0.002 | 20.28 ± 0.21 |
| % ที่วิเคราะห์ได้ | 96.1% | 97.5% |

3.3 ปริมาณแอดเมียร์ในสัตว์ทะเลจากอ่าวเบงกอล

3.3.1 ปริมาณแอดเมียร์ในเนื้อสัตว์ทะเลแต่ละชนิด

ผลการตรวจดัดแอดเมียร์ในเนื้อสัตว์ทะเลทั้ง 11 ชนิด ซึ่งเป็นปลากลางน้ำ (pelagic) กินสัตว์เป็นอาหารและมีพฤติกรรมคล้ายคลึงกัน (Froese and Pauly, 2009) แสดงรายละเอียดในตารางที่ 3-1 ภาคพนวก จ และสรุปไว้ในตารางที่ 3-4 พบว่าปลากระโทง (*X. gladius*) มีแอดเมียร์ปนเปื้อนในเนื้อปลาสูงที่สุด โดยมีค่าเฉลี่ยและค่ามัธยฐานอยู่ที่ 0.066 ± 0.061 และ 0.039 มก./กก. น้ำหนักเปรียก ตามลำดับ รองลงมา คือ ปลาฉลามครีบดำ (*C. brachyurus*) และปลาฉลาม Silky (*C. falciformis*) โดยมีแอดเมียร์เฉลี่ย (ค่ามัธยฐาน) ที่ 0.039 (0.023) และ 0.031 ± 0.01 (0.036) มก./กก. น้ำหนักเปรียก ตามลำดับ ส่วนปลาที่มีแอดเมียร์ปนเปื้อนในเนื้อปลาอยู่ที่สุด คือ ปลาฉลามหางยาวหน้าหนู (*A. superciliosus*) คือ 0.019 ± 0.008 (0.019) มก./กก. น้ำหนักเปรียก

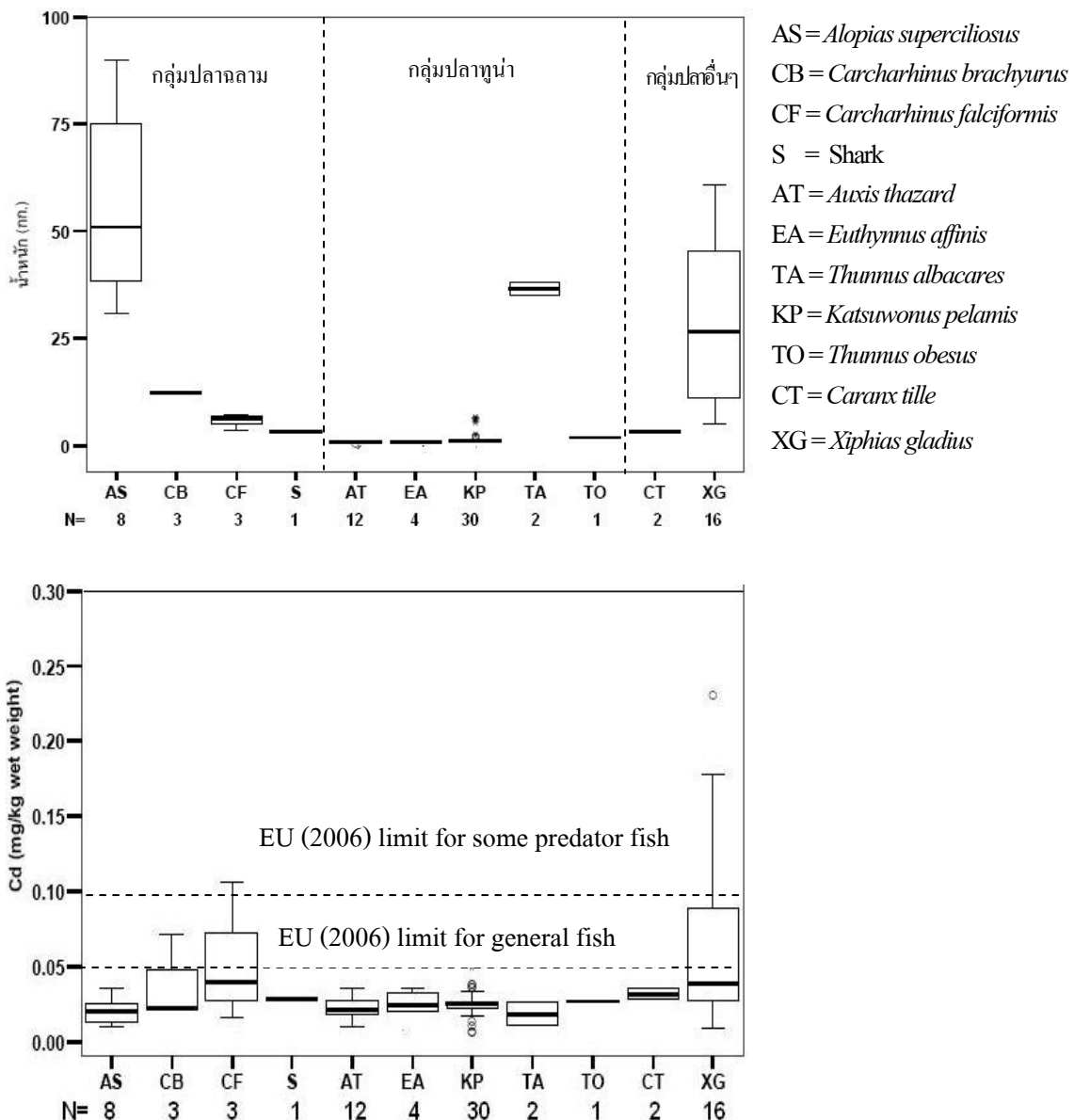
ตารางที่ 3-4 ปริมาณแอดเมียโนเลลีย ± ส่วนเบี่ยงเบนมาตรฐาน (ค่าต่ำสุด – ค่าสูงสุด) และค่ามัชัยฐานของตัวอย่างสัตว์ทะเลที่จับได้จากอ่าวเบงกอล

| ชนิดของปลา | ชื่อสามัญ | จำนวนตัวอย่าง | แอดเมียโน (มก./กก. นน.เปียก) | |
|---------------------------------|-------------------|---------------|--------------------------------------|----------|
| | | | เลลีย | มัชัยฐาน |
| <i>Alopias superciliosus</i> | ฉลามหางยาวหน้าหนู | 8 | 0.019 ± 0.008 (0.010 – 0.036) | 0.019 |
| <i>Carcharhinus brachyurus</i> | ฉลามครึบดำ | 1* | 0.039 – | 0.023 |
| <i>Carcharhinus falciformis</i> | ฉลาม Silky | 3 | 0.031 ± 0.010 (0.016 – 0.040) | 0.036 |
| Unidentified shark | ฉลามไม่ระบุชนิด | 1 | 0.029 – | 0.029 |
| <i>Auxis thazard</i> | โ้อเก็บ | 12 | 0.023 ± 0.007 (0.023 – 0.035) | 0.021 |
| <i>Euthynnus affinis</i> | โ้อลาย | 4 | 0.022 ± 0.003 (0.031 – 0.035) | 0.022 |
| <i>Katsuwonus pelamis</i> | ทูน่าท้องແಡນ | 29** | 0.025 ± 0.008 (0.007 – 0.039) | 0.025 |
| <i>Thunnus albacares</i> | ทูน่าครีบเหลือง | 2 | 0.030 ± 0.019 (0.011 – 0.050) | 0.031 |
| <i>Thunnus obesus</i> | ทูน่าตาโต | 1 | 0.027 – | 0.027 |
| <i>Caranx tille</i> | กระมะง | 1** | 0.029 – | 0.029 |
| <i>Xiphias gladius</i> | กระโทงแทงดาว | 16 | 0.066 ± 0.061 (0.009 – 0.230) | 0.039 |

* 1 ตัว วิเคราะห์ 3 ส่วน – ครึบ 2 ส่วน และโคนหาง; ** 1 ตัว วิเคราะห์ 2 ส่วน – โคนหางและท้อง

การที่ปลากระโทงแทงดาวและปลาฉลามครึบดำ มีแอดเมียโนปนเปื้อนในเนื้อเนลียสูงกว่าปลาชนิดอื่น เนื่องจากปลาทั้ง 2 ชนิดนี้มีขนาดใหญ่และกินสัตว์เป็นอาหาร นั่นคือปลากระโทงแทงดาวกินปลาเป็นอาหารหลัก ได้แก่ ปลาอินทรีย์และปลาฉลาม รวมทั้งสัตว์ทะเลจำพวก กุ้ง ปู หอย และหมึก ส่วนปลาฉลามครึบดำกินปลากลางน้ำ ปลาหน้าดิน ปลาฉลามขนาดเล็ก ปลากระเบน และหมึกเป็นอาหาร (Froese and Pauly, 2009) อีกทั้งปลากระโทงแทงดาวมีพฤติกรรมการข้ายกันที่อยู่และว่ายน้ำได้เร็ว (Canese, 2008)

เมื่อนำค่ามัชัยฐานของน้ำหนักสัตว์ทะเลและปริมาณแอดเมียโนในสัตว์ทะเลทั้ง 11 ชนิด มาเปรียบเทียบกัน แสดงผลด้วยแผนภูมิกล่อง (box plot) (รูปที่ 3-1) โดยแบ่งสัตว์ทะเลเป็น 3 กลุ่ม คือ กลุ่มปลาฉลาม กลุ่มปลาทูน่า และกลุ่มปลาอื่นๆ เมื่อพิจารณาจากค่ามัชัยฐาน กลุ่มปลาฉลาม



รูปที่ 3-1 การเปรียบเทียบ (บน) ค่ามัธยฐานของน้ำหนัก และ (ล่าง) ปริมาณแอดเมิร์ม ในเนื้อสัตว์ทะเลที่จับจากอ่าวเบงกอลทั้ง 11 ชนิด

[เส้นหนาตรงกลางกล่องแสดงค่ามัธยฐาน, เส้นล่างของกล่องแสดงปอร์เซ็นไทล์ที่ 25, เส้นบนของกล่องแสดงปอร์เซ็นไทล์ที่ 75, เครื่องหมายข้อมูลที่มีค่าระหว่าง 1.5 ถึง 3 เท่าของความกว้างของกล่อง, เครื่องหมายดอจัน (*) แสดงข้อมูลที่มีค่ามากกว่า 3 เท่าของความกว้างของกล่อง]

(ผลลัมพางยางขาวหน้าหูนุ ผลลัมครีบค่าง ผลลัม Silky และผลลัมไม่ระบุชนิด) พบว่าผลลัม Silky มีแอดเมียบปนเปื้อนสูงที่สุด คือ 0.036 มก./กก. น้ำหนักเปรียก ส่วนกอคุ่มปลาทูน่า (โอลายทูน่าท้องແຄນ ทูน่าครีบเหลือง และทูน่าตาโต) พบว่าปลาทูน่าครีบเหลืองมีแอดเมียบปนเปื้อนในเนื้อปลาสูงที่สุด คือ 0.031 มก./กก. น้ำหนักเปรียก สำหรับกอคุ่มปลาอื่น (กระมงและกระโถงແທງດາມ) พบว่ากระโถงແທງດາມมีแอดเมียบปนเปื้อนอยู่ในเนื้อปลาสูงที่สุด คือ 0.039 มก./กก. น้ำหนักเปรียก โดยแอดเมียบที่ปนเปื้อนในเนื้อสัตว์ทะเลทั้ง 11 ชนิด มีปริมาณไม่เกิน 0.05 มก./กก. น้ำหนักเปรียก

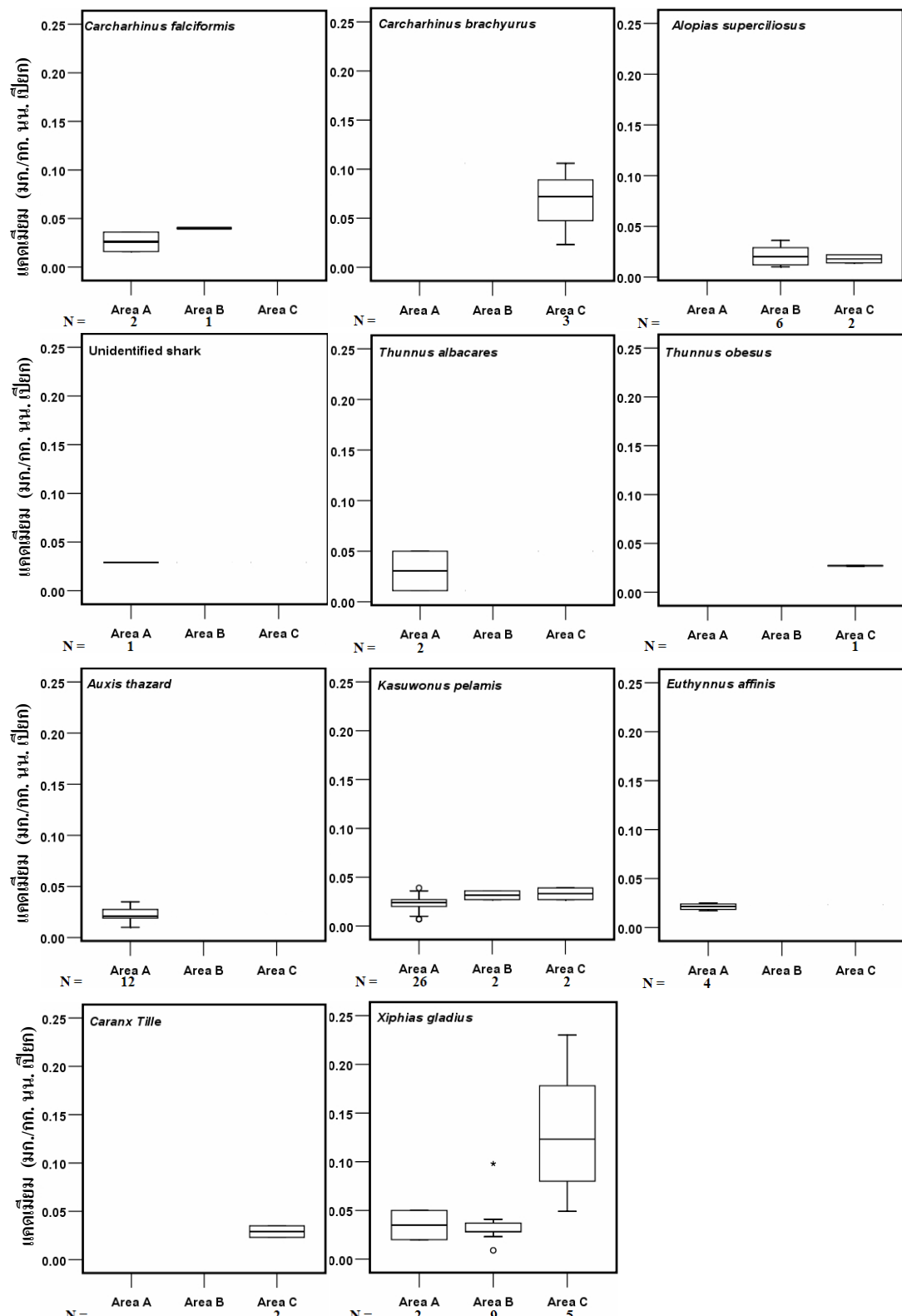
เมื่อเปรียบเทียบการปนเปื้อนของแอดเมียบในสัตว์ทะเลทั้ง 11 ชนิด โดยแยกตามพื้นที่เก็บตัวอย่างจาก 3 พื้นที่ของอ่าวเบงกอล คือ พื้นที่ A พื้นที่ B และพื้นที่ C โดยใช้ค่ามัธยฐานและแสดงผลด้วยแผนภูมิกล่อง (รูปที่ 3-2) พบว่าสัตว์ทะเลที่มีการแพร่กระจายทั่ง 3 พื้นที่ มีเพียง 2 ชนิด คือ ทูน่าท้องແຄນ (*K.pelamis*) และกระโถงແທງດາມ (*X. gladius*) เมื่อเปรียบเทียบความแตกต่างของระดับแอดเมียบด้วย One - Way ANOVA พบปริมาณแอดเมียบในทูน่าท้องແຄນจากทั้ง 3 พื้นที่ ไม่มีความแตกต่างกันอย่างมีนัยสำคัญทางสถิติ ($p > 0.05$) ส่วนกระโถงແທງດາມมีปริมาณแอดเมียบในเนื้อปลาจาก 3 พื้นที่ แตกต่างกันอย่างมีนัยสำคัญทางสถิติ ($p < 0.05$) โดยพื้นที่ C (ทะเลอันดามัน) ตรวจพบแอดเมียบปนเปื้อนในเนื้อปลาสูงที่สุด รองลงมา คือ พื้นที่ B ส่วนพื้นที่ A มีการปนเปื้อนน้อยที่สุด รายละเอียดการทดสอบความแตกต่างทางสถิติของปริมาณแอดเมียบได้แสดงไว้ดังตารางที่ ฉ-1 และตารางที่ ฉ-2 ภาคผนวก ฉ

3.3.2 การเปรียบเทียบปริมาณแอดเมียบในเนื้อเยื่อสัตว์ทะเลกับค่ามาตรฐาน

เมื่อเปรียบเทียบปริมาณแอดเมียบที่ปนเปื้อนในเนื้อปลาทั้ง 11 ชนิด จากอ่าวเบงกอล โดยใช้ค่ามัธยฐานกับเกณฑ์การยอมให้มีได้ของแอดเมียบในปลาจากข้อบังคับคณะกรรมการยุโรป (EU, 2006) (รูปที่ 3-1) ซึ่งยอมให้มีแอดเมียบในเนื้อปลาทั่วไปไม่เกิน 0.05 มก./กก. ส่วนปลา naklabinidym ให้มีได้ไม่เกิน 0.1 มก./กก. ยกเว้นปลากระโถงແທງດາມที่ยอมให้มีได้ถึง 0.3 มก./กก. เห็นได้ว่าปลาส่วนใหญ่ที่สูมขึ้นจากอ่าวเบงกอลยังอยู่ในเกณฑ์ที่ปลอดภัยในการบริโภค ซึ่งหากเทียบกับเกณฑ์ของกระทรวงสาธารณสุขไทย (2548) ที่ยอมให้ในอาหารมีแอดเมียบสูงถึง 1.0 มก./กก. การปนเปื้อนของแอดเมียบในปลาจากอ่าวเบงกอลจึงอยู่ในระดับที่ต่ำ

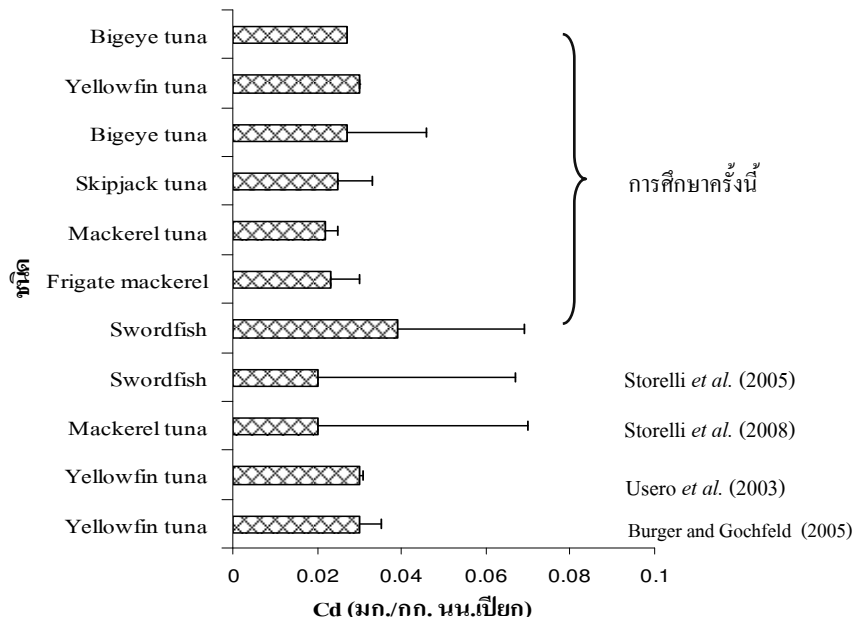
3.3.3 การเปรียบเทียบปริมาณแอดเมียบในเนื้อเยื่อสัตว์ทะเลกับพื้นที่อื่นๆ

ระดับแอดเมียบในทูน่าครีบเหลืองที่ได้จากการศึกษาครั้งนี้ มีค่าเฉลี่ย 0.03 ± 0.019 มก./กก. น้ำหนักเปรียก ซึ่งใกล้เคียงกับงานของ Usero *et al.* (2003) และของ Burger and Gochfeld (2005) ที่ศึกษาการปนเปื้อนของแอดเมียบในทูน่าครีบเหลือง ในรัฐนิวเจอซีของสหรัฐอเมริกา พบว่า มีค่าเฉลี่ยแอดเมียบ 0.03 ± 0.005 และ 0.03 ± 0.047 มก./กก. น้ำหนักเปรียก ตามลำดับ



รูปที่ 3-2 แผนภูมิกล่องเบริญเบเทียบปริมาณแอดเมียม (มก./กร.น้ำหนักเปียก) ในปลาทั้ง 11 ชนิดจากทั้ง 3 พื้นที่ (พื้นที่ A – น่านน้ำบังคลาเทศและอินเดีย; พื้นที่ B – ฝั่งตะวันตกของอ่าวเบงกอล และพื้นที่ C – กตารางทะเลอันดามัน)

ส่วนปลากระโทงแทงด้าบจากการศึกษานี้ (0.066 ± 0.061 มก./กก. น้ำหนักเปรียก) มีปริมาณแคเดเมียมมากกว่ารายงานการศึกษาของ Storelli *et al.* (2005) ที่ตรวจพบปริมาณแคเดเมียมเฉลี่ย 0.02 ± 0.05 มก./กก. น้ำหนักเปรียก จากทะเบียนต่อเรเนียน ดังรูปที่ 3-3



รูปที่ 3-3 การเปรียบเทียบปริมาณแคเดเมียมในสัตว์ทะเลจากการศึกษาริ้งนี้กับพื้นที่อื่นๆ

3.3.4 ความสัมพันธ์ระหว่างปริมาณแคเดเมียมกับขนาดของตัวอย่างสัตว์ทะเล

3.3.4.1 ความสัมพันธ์ในภาพรวม

เมื่อพิจารณาความสัมพันธ์ระหว่างความยาว น้ำหนัก และปริมาณแคเดเมียมที่ปนเปื้อนในเนื้อเยื่อของสัตว์ทะเลทั้ง 11 ชนิดจากอ่าวเบงกอล โดยใช้การทดสอบสัมประสิทธิ์สหสัมพันธ์ทางสถิติโดย Bivariate Correlation (Pearson) ด้วย SPSS for Windows Versions 15 พบว่า โดยภาพรวมสัตว์ทะเลจากอ่าวเบงกอลมีความยาวและน้ำหนักสัมพันธ์กันสูงไปในทิศทางเดียวกัน ($r = 0.926$) อย่างมีนัยสำคัญทางสถิติ ($p < 0.01$) และมีปริมาณแคเดเมียมที่ปนเปื้อนในเนื้อเยื่อสัตว์ทะเลสัมพันธ์กับความยาว ($r = 0.356$) และน้ำหนัก ($r = 0.329$) ไปในทิศทางเดียวกันอย่างมีนัยสำคัญทางสถิติ ($p < 0.01$) รายละเอียดดังตารางที่ 3-5

ตารางที่ 3-5 ค่าสัมประสิทธิ์สหสัมพันธ์ทางสถิติระหว่างขนาด (ความยาวและน้ำหนัก) กับปริมาณแแคดเมีย�ในเนื้อเยื่อสัตว์ทะเลจากอ่าวเบงกอลทั้ง 72 ตัวอย่าง ทดสอบโดยใช้ Bivariate Correlation (Pearson) ด้วย SPSS for Windows Versions 15

| | ปริมาณแแคดเมีย� | น้ำหนัก | ความยาว |
|-----------------|-----------------|---------|---------|
| ปริมาณแแคดเมีย� | 1 | .329** | .356** |
| น้ำหนัก | | 1 | .926** |
| ความยาว | | | 1 |

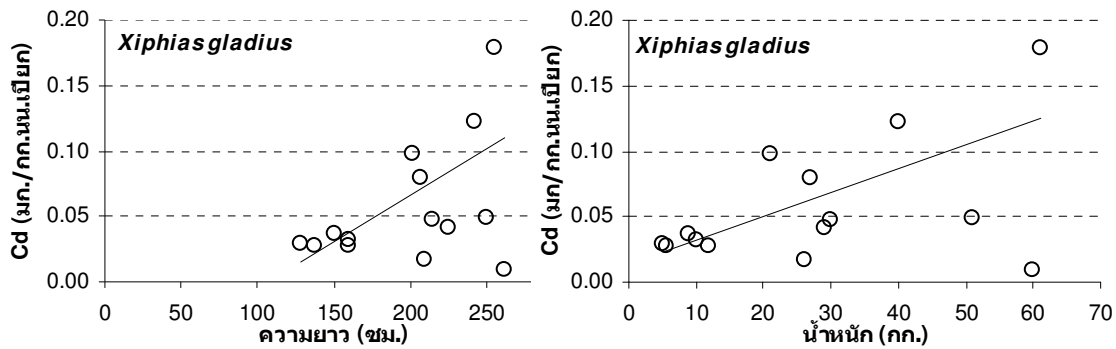
** Correlation is significant at the 0.01 level (2-tailed)

ผลการวิเคราะห์ความสัมพันธ์ระหว่างปริมาณแแคดเมีย�ในปลา กับขนาดของปลา (ความยาวและน้ำหนัก) ที่มีตัวอย่างมากกว่า 6 ตัวอย่างขึ้นไป ได้แก่ ฉลามหางขาวน้ำหนู โไอแกลบุญ่าท้องແຄນ และกระโงงແທງດາມ รายละเอียดดังตารางที่ 3-6 พบว่าส่วนใหญ่ปริมาณแแคดเมียมในเนื้อปลาไม่มีความสัมพันธ์กับขนาด ยกเว้นปลากระโงงແທງດາມที่มีระดับแแคดเมียมสัมพันธ์ไปในทิศทางเดียวกันกับน้ำหนัก ($r = 0.584$) และความยาว ($r = 0.509$) อย่างมีนัยสำคัญทางสถิติ ($p < 0.05$) ดังแสดงในรูปที่ 3-4 เท่านี้ได้ว่าในปลากระโงงແທງດາມตัวที่มีขนาดใหญ่จะมีแแคดเมียมปนเปื้อนในเนื้อปลามากกว่าตัวที่มีขนาดเล็กกว่า เนื่องจากขนาดเพิ่มขึ้นตามอายุของปลา ปลาที่มีอายุมากจะได้รับแแคดเมียมผ่านทางอาหารและการดูดซึมผ่านทางเหงือกได้มากขึ้น จึงส่งผลปริมาณของแแคดเมียมที่สะสมในเนื้อปลาเพิ่มมากขึ้นด้วย (IPCS, 1992)

ตารางที่ 3-6 ค่าสัมประสิทธิ์สหสัมพันธ์ทางสถิติระหว่างขนาด (ความยาวและน้ำหนัก) กับปริมาณของแแคดเมียมในเนื้อเยื่อสัตว์ทะเลจากอ่าวเบงกอล 4 ชนิด จากการทดสอบโดยใช้ Bivariate Correlation (Pearson) ด้วย SPSS for Windows Versions 15

| ชนิดปลา | ชื่อสามัญ | ค่าความสัมพันธ์ (correlation) | |
|------------------------------|---------------------------|-------------------------------|-------------------------|
| | | ความยาวกับ แแคดเมียม | น้ำหนักกับ แแคดเมียม |
| <i>Alopias superciliosus</i> | ฉลามหางขาวน้ำหนู (n=8) | 0.340 | 0.155 |
| <i>Auxis thazard</i> | โไอแกลบุญ่าท้องແຄນ (n=12) | -0.041 | -0.181 |
| <i>Katsuwonus pelamis</i> | ทูน่าท้องແຄນ (n=29) | 0.121 | 0.056 |
| <i>Xiphias gladius</i> | กระโงงແທງດາມ (n=6) | 0.509* | 0.584* |

* Correlation is significant at the 0.05 level (2-tailed)



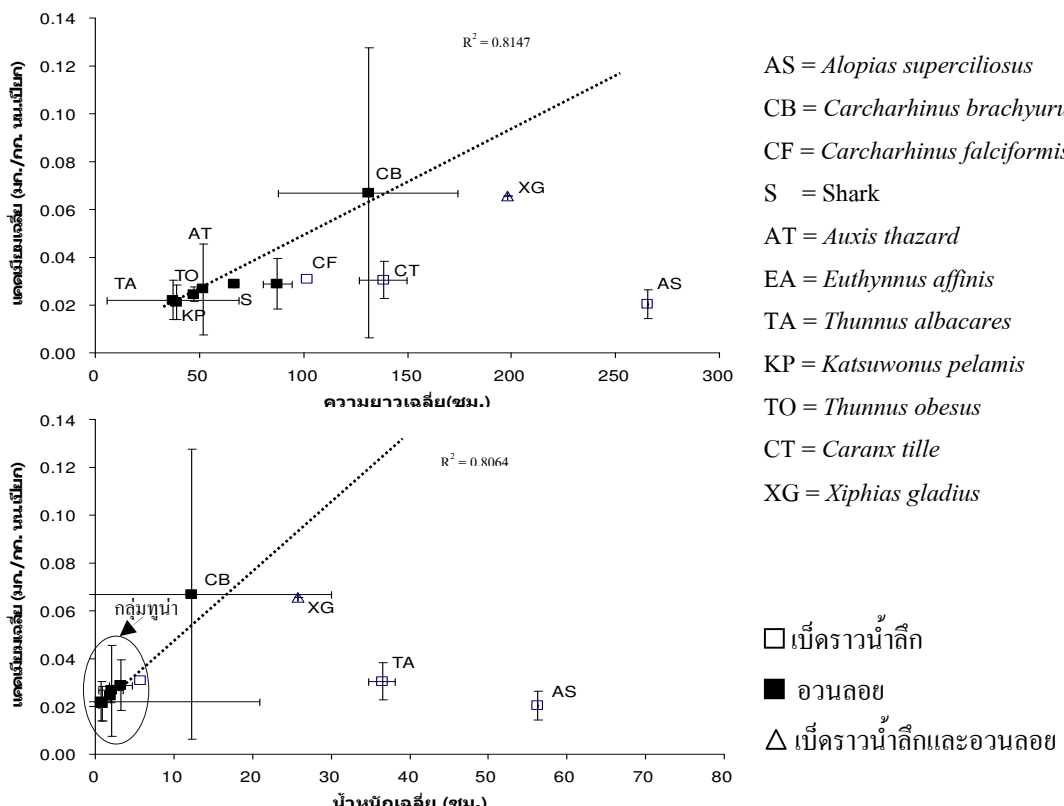
รูปที่ 3-4 ความสัมพันธ์ระหว่างปริมาณแคดเมียม (มก./กг.น้ำหนักเปียก) ที่ป่นปี้อนในเนื้อสัตว์ ทະเลกับความยาวและน้ำหนักของปลากระโทงแท่งดาว (*X. gladius*)

3.3.4.2 ความสัมพันธ์แยกตามชนิดและประเภทเครื่องมือ

เมื่อพิจารณาความสัมพันธ์ของปริมาณแคดเมียมเคลื่อนย้ายกับขนาดเนื้อ (ความยาวและน้ำหนัก) ของสัตว์ทະเล โดยแยกตามชนิดของสัตว์ทະเลและประเภทของเครื่องมือ (รูปที่ 3-5) พบว่า ในกลุ่มของสัตว์ทະเลที่จับโดยใช้อวนลอย ซึ่งส่วนใหญ่เป็นกลุ่มปลาทูน่า มีปริมาณแคดเมียมสัมพันธ์กับขนาด (ความยาวและน้ำหนัก) ของสัตว์ทະเล นั่นคือ เมื่อขนาดของปลาใหญ่ขึ้นจะมีปริมาณแคดเมียมในเนื้อปลามากขึ้นด้วย (Burger and Gochfeld, 2005)

ส่วนสัตว์ทະเลที่จับโดยใช้เบ็ดราน้ำลึก ได้แก่ ฉลามหางยาวน้ำหนู ฉลาม Silky ทูน่าครีบเหลือง และกระโทงแท่งดาว ไม่พบความสัมพันธ์ระหว่างปริมาณของแคดเมียมกับขนาดเนื้อจากปลายเหล่านี้มีพฤติกรรมการกินที่แตกต่างกัน อิกทึ้งปลายบางชนิด เช่น ทูน่าครีบเหลืองและปลาฉลามหางยาวน้ำหนู มีขนาดใหญ่กว่าปลายอื่น แต่มีปริมาณแคดเมียมป่นปี้อนในเนื้อปลาต่ำกว่าเนื้อจากทูน่าครีบเหลืองและปลายฉลามหางยาวน้ำหนูที่สูงขึ้นมากซึ่งโดยไม่เต็มวัย คือ มีน้ำหนักเฉลี่ยเพียง 36.5 ± 1.12 และ 56.25 ± 21.54 กก. ตามลำดับ ขณะที่ตัวโตเต็มวัยจะหนักถึง 200 และ 300 กก. ตามลำดับ (Froese and Pauly, 2009) จึงทำให้ปริมาณแคดเมียมที่ตรวจพบในเนื้อปลาไม่ค่าต่อค่า

สำหรับกระโทงแท่งดาว เป็นปลาที่ว่ายน้ำเร็ว และมีการข้ายกถินอยู่เสมอ (Canese, 2008) ทำให้มีโอกาสได้รับแคดเมียมเข้าสู่ลำตัวได้สูง (รายละเอียดเรื่องพฤติกรรมการกินอาหาร และถินที่อยู่ และขนาดของตัวเต็มวัย ได้แสดงไว้ในภาคผนวก ค)



รูปที่ 3-5 ความสัมพันธ์ระหว่างปริมาณแคลอรี่ของแคดเมีย� (mg./kg. น้ำหนักเปรียก) กับความยาวเฉลี่ย (กก.) และน้ำหนักเฉลี่ย (ซม.) ของปลาทั้ง 11 ชนิดจากอ่าวเบงกอล

เมื่อพิจารณาในภาพรวม พบว่าสัตว์ทะเลจากอ่าวเบงกอลที่มีน้ำหนักไม่เกิน 20 กก. และความยาวไม่เกิน 150 ซม. มีแคดเมียมสะสมในเนื้อเยื่อปริมาณใกล้เคียงกัน คือ อยู่ในช่วง 0.02 – 0.04 mg./kg. น้ำหนักเปรียก ซึ่งส่วนใหญ่เป็นปลาในกลุ่มปลาทูน่า ที่มีพฤติกรรมการกินอาหาร ที่อยู่อาศัยคล้ายคลึงกัน และมีขนาดใกล้เคียงกัน (Froese and Pauly, 2009)

3.4 ปริมาณแคดเมีย�ในสัตว์ทะเลจากทะเลอันดามัน (น่านน้ำมร่า)

3.4.1 ปริมาณแคดเมียมในเนื้อสัตว์ทะเลแต่ละชนิด

การศึกษาการปนเปื้อนของแคดเมียมในเนื้อสัตว์ทะเลทั้ง 32 ชนิด จากทะเลอันดามัน (น่านน้ำมร่า) พบปริมาณแคดเมียมในเนื้อสัตว์ทะเลแต่ละชนิดแตกต่างกัน ดังแสดงไว้ในตารางที่ จ-2 ในภาคผนวก จ และได้สรุปไว้ดังตารางที่ 3-7 เมื่อเปรียบเทียบระดับแคดเมียมเฉลี่ยในเนื้อสัตว์ทะเลทั้ง 32 ชนิด พบว่ากุ้มหมึก (*Loligo* spp.) มีแคดเมียมปนเปื้อนในปริมาณสูงที่สุด

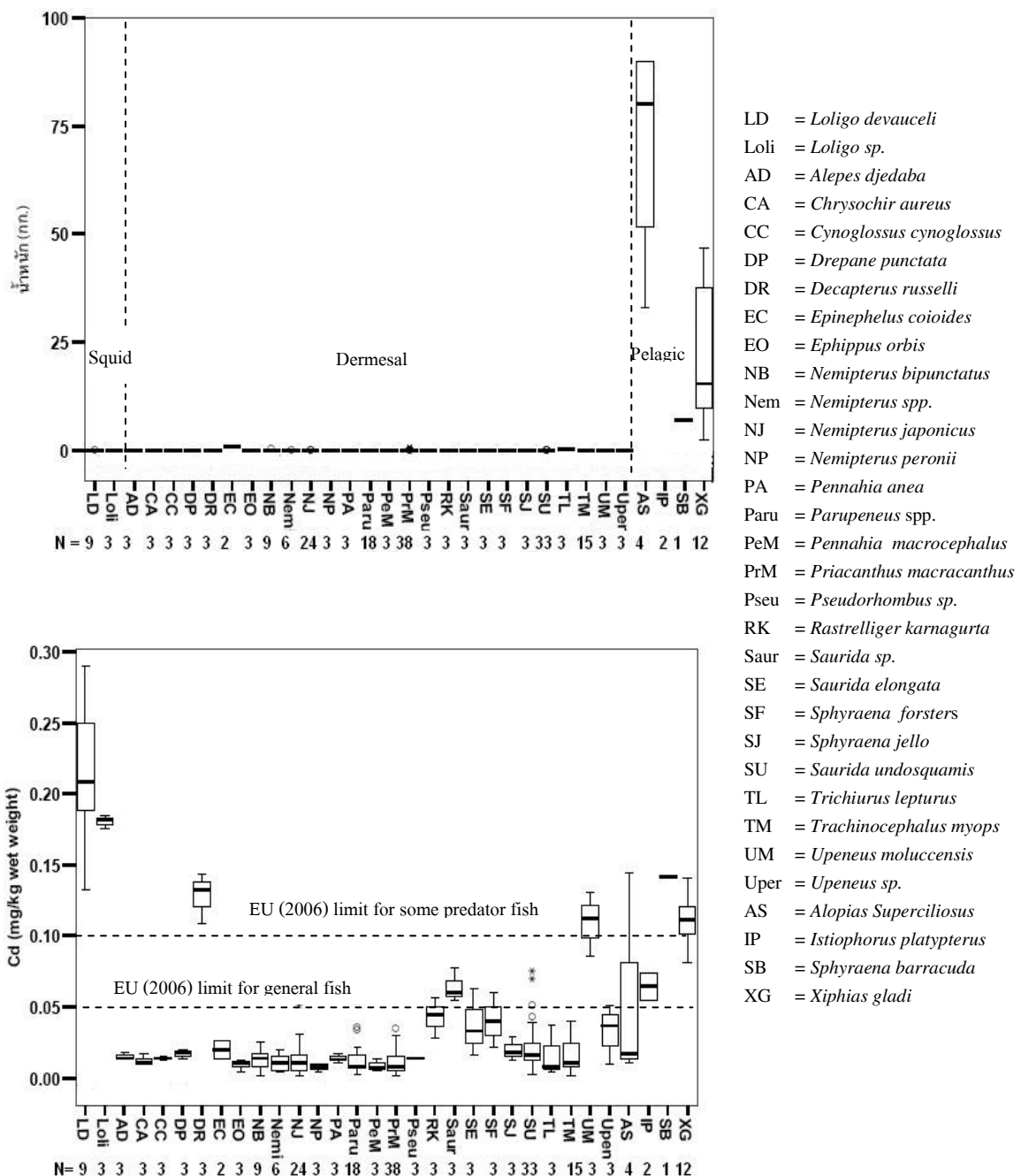
ตารางที่ 3-7 ปริมาณแอดเมียโนลีย์ ± ส่วนเบี่ยงเบนมาตรฐาน (ค่าต่ำสุด – ค่าสูงสุด) ของตัวอย่างสัตว์ทะเลที่จับได้จากทะเลอันดามัน (น้ำน้ำพม่า)

| ชื่อวิทยาศาสตร์ | ชื่อสามัญ | N | แอดเมียโนลีย์ (มก./กก. นน. เปียก) | มัธยฐาน |
|---------------------------------|-----------------|----|-----------------------------------|---------|
| <i>Loligo devauceli</i> | หมึกคล้าย | 9 | 0.214 ± 0.053 (0.132 – 0.290) | 0.208 |
| <i>Loligo</i> sp. | หมึก | 3 | 0.180 ± 0.003 (0.175 – 1.184) | 0.182 |
| <i>Alepes djedaba</i> | สีกุน | 3 | 0.015 ± 0.002 (0.013 – 0.018) | 0.014 |
| <i>Chrysochir aureus</i> | จวดเปี้ยว | 3 | 0.012 ± 0.003 (0.009 – 0.017) | 0.011 |
| <i>Cynoglossus cynoglossus</i> | ลิ้นหมา | 3 | 0.014 ± 0.001 (0.012 – 0.015) | 0.014 |
| <i>Drepane punctata</i> | ใบโพธิ์จุด | 3 | 0.017 ± 0.003 (0.013 – 0.020) | 0.018 |
| <i>Decapterus russelli</i> | ทูแซก | 3 | 0.127 ± 0.014 (0.108 – 0.143) | 0.132 |
| <i>Epinephelus coioides</i> | กะรังดอกเด้ง | 2 | 0.020 ± 0.006 (0.014 – 0.026) | 0.020 |
| <i>Ephippus orbis</i> | ใบปอ | 3 | 0.009 ± 0.003 (0.004 – 0.012) | 0.011 |
| <i>Nemipterus bipunctatus</i> | ทรายแดง | 9 | 0.012 ± 0.007 (0.001 – 0.025) | 0.014 |
| <i>Nemipterus japonicus</i> | ทรายแดงปูปัน | 24 | 0.013 ± 0.011 (0.001 – 0.052) | 0.010 |
| <i>Nemipterus peronii</i> | ทรายแดง | 3 | 0.007 ± 0.002 (0.004 – 0.010) | 0.008 |
| <i>Nemipterus</i> spp. | ทรายแดง | 9 | 0.011 ± 0.005 (0.004 – 0.020) | 0.011 |
| <i>Pennahia anea</i> | จวดขาว | 3 | 0.014 ± 0.003 (0.011 – 0.017) | 0.013 |
| <i>Parupeneus</i> spp. | แพะ | 18 | 0.014 ± 0.013 (0.002 – 0.054) | 0.008 |
| <i>Pennahia macrocephalus</i> | จวด | 3 | 0.009 ± 0.004 (0.005 – 0.014) | 0.007 |
| <i>Priacanthus macracanthus</i> | ตาหวานจุดน้ำตาล | 38 | 0.012 ± 0.009 (0.001 – 0.035) | 0.008 |
| <i>Pseudorhombus</i> sp. | ตาเดียว | 3 | 0.014 ± 0.001 (0.013 – 0.014) | 0.014 |
| <i>Rastrelliger kanagurta</i> | ถัง | 3 | 0.043 ± 0.011 (0.028 – 0.056) | 0.044 |
| <i>Saurida</i> sp. | ปากคม | 3 | 0.064 ± 0.009 (0.055 – 0.077) | 0.060 |

ตารางที่ 3-7 (ต่อ)

| ชื่อวิทยาศาสตร์ | ชื่อสามัญ | N | แอดเมียร์ (มก./กก. นน. เปียก) | |
|--------------------------------|--------------------|----|--------------------------------------|---------|
| | | | เฉลี่ย | มาตรฐาน |
| <i>Saurida elongata</i> | ปากคม | 3 | 0.037 ± 0.020 (0.016 – 0.063) | 0.033 |
| <i>Saurida undosquamis</i> | ปากคมทางขุด | 33 | 0.021 ± 0.017 (0.002 – 0.075) | 0.016 |
| <i>Sphyraena forsteri</i> | ساກ | 3 | 0.040 ± 0.016 (0.021 – 0.060) | 0.040 |
| <i>Sphyraena jello</i> | ساກ | 3 | 0.020 — | 0.018 |
| <i>Trichiurus lepturus</i> | ดาบเงินใหญ่ | 3 | 0.017 ± 0.015 (0.004 – 0.038) | 0.008 |
| <i>Trachinocephalus myops</i> | ปากคมหูดำ | 15 | 0.017 ± 0.011 (0.025 – 0.04) | 0.011 |
| <i>Upeneus moluccensis</i> | หนวดคุ้ย | 3 | 0.109 ± 0.019 (0.009 – 0.051) | 0.112 |
| <i>Upeneus</i> sp. | หนวดคุ้ย | 3 | 0.032 ± 0.018 (0.085 – 0.051) | 0.037 |
| <i>Alopias superciliatus</i> | ฉลามทางขวางหน้าหนู | 4 | 0.047 ± 0.056 (0.011 – 0.144) | 0.017 |
| <i>Istiophorus platypterus</i> | กระโ逼ร่ม | 2 | 0.065 ± 0.009 (0.055 – 0.074) | 0.065 |
| <i>Sphyraena barracuda</i> | น้ำดอกไม้ | 1 | 0.142 — | 0.142 |
| <i>Xiphias gladius</i> | กระโ逼แหงดาบ | 12 | 0.111 ± 0.015 (0.081 – 0.140) | 0.111 |

เมื่อเปรียบเทียบค่ามาตรฐานของน้ำหนักและระดับแอดเมียร์ที่ปั้นเป็นในสัตว์ทะเลทั้ง 32 ชนิด และแสดงผลด้วยแผนภูมิกล่องดังรูปที่ 3-6 แบ่งสัตว์ทะเลออกได้เป็น 3 กลุ่ม คือ หมึกปลาหน้าดิน และปลากลางน้ำ พบว่าปลาหน้าดินและหมึกมีขนาดใกล้เคียงกัน คือมีน้ำหนักไม่ถึง 1 กก. ต่างจากปลากลางน้ำที่มีน้ำหนักมากกว่า 7 กก. แต่สัตว์ทะเลจำพวกหมึกมีแอดเมียร์สะสมอยู่ในเนื้อสูงที่สุด รองลงมา คือ ปลากลางน้ำ และปลาหน้าดิน โดยมีปริมาณอยู่ในช่วง 0.132 – 0.290, 0.011 – 0.144 และ 0.001 – 0.143 มก./กг. น้ำหนักเปียก ตามลำดับ หมึกมีแอดเมียร์ปั้นเป็นสูงเนื่องจากหมึกกินสัตว์เป็นอาหาร เช่น ปลาตัวเล็ก สัตว์พวกกุ้ง ปู และหมึก อีกทั้งมีกระเพาะอาหารใหญ่จึงกินอาหารได้มาก แอดเมียร์จึงเข้าสู่ตัวหมึกผ่านห่วงโซ่อหาร (Froese and Pauly, 2009) นอกจากนี้ยังรับโดยตรงจากน้ำทะเล (Sadik, 1992) ส่วนปลาหน้าดินมีขนาดเล็ก และส่วนใหญ่กินแพลงก์ตอนและสัตว์น้ำขนาดเล็กเป็นอาหาร (Froese and Pauly, 2009)



รูปที่ 3-6 การเปรียบเทียบค่ามัธยฐานของ (บบ) น้ำหนัก และ (ล่าง) ปริมาณแคลแมกนีียมที่ป่นเปื้อนในเนื้อสัตว์ทะเลที่จับจากทะเลอันดามัน (น้ำหนักพม่า) ทั้ง 32 ชนิด [เส้นหนาตรงกลางกล่องแสดงค่ามัธยฐาน, เส้นล่างของกล่องแสดงเบอร์เซ็นไทล์ที่ 25, เส้นบนของกล่องแสดงเบอร์เซ็นไทล์ที่ 75, เครื่องหมายวงกลมปิด (*) แสดงข้อมูลที่มีค่าระหว่าง 1.5 ถึง 3 เท่าของความกว้างของกล่อง, เครื่องหมายดอกจัน (*) แสดงข้อมูลที่มีค่ามากกว่า 3 เท่าของความกว้างของกล่อง]

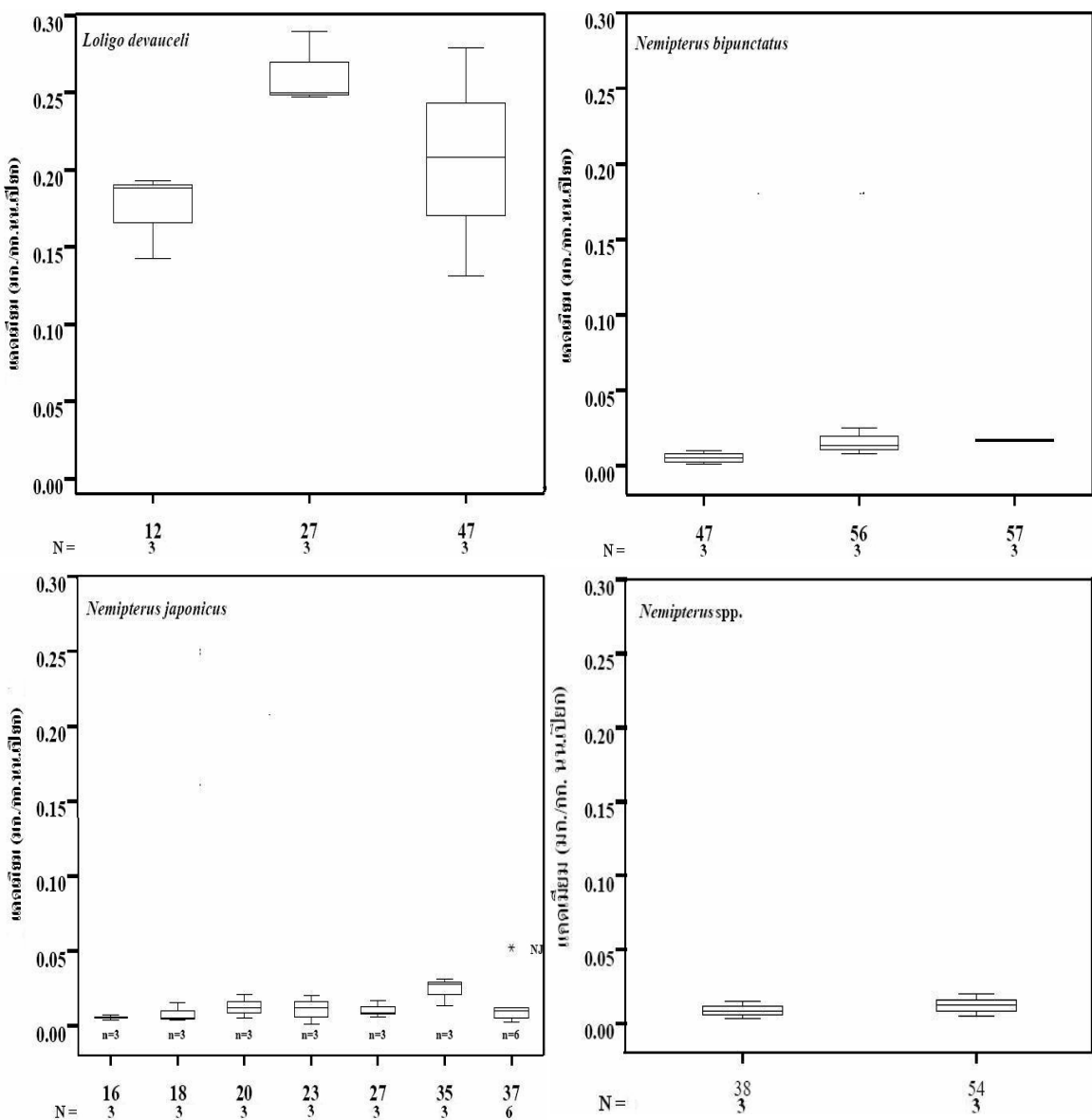
เมื่อเปรียบเทียบแอดเมีย์มในสัตว์ทะเลที่จับด้วยอวนลากในแต่ละพื้นที่เก็บตัวอย่างโดยใช้ค่ามัธยฐานของแอดเมีย์มของสัตว์ทะเลที่มีตัวอย่างมากกว่า 6 ตัวขึ้นไป จำนวน 8 ชนิด ได้แก่ หมึกกลีวย (*L.devaucei*) ปลาทรายแดง (*N.bipunctatus*) ปลาทรายแดงญี่ปุ่น (*N.japonicus*) ปลาทรายแดง (*Nemipterus spp.*) ปลาแพะ (*Parupeneus spp.*) ปลาตาหวานจุดนำ้ตาล (*P. macracanthus*) ปลาปากคมหางจุด (*S. undosquamis*) และปลาปากคมหูด้า (*T. myops*) ดังแสดงในรูปที่ 3-7 พบว่าปลาตาหวานจุดนำ้ตาลและปลาปากคมหางจุด แพร่กระจายอยู่ในหลายสถานีมากที่สุด

จากแผนภูมิกล่องในรูปที่ 3-7 กลุ่มของปลาตาหวานจุดนำ้ตาล (*P. macracanthus*) มีการแปรปรวนของแอดเมีย์มในเนื้อปลาňอยที่สุด จึงเลือกมาเพื่อเปรียบเทียบการปนเปื้อนของแอดเมีย์มในแต่ละสถานี พบว่า สถานีที่ 20 เป็นพื้นที่ที่มีการปนเปื้อนของแอดเมีย์มปริมาณมากที่สุด โดยมีลำดับของการปนเปื้อนตามสถานี ดังนี้ $20 > 57 > 23 > 54 > 37 > 38 > 56 > 47 > 44 > 27$ สถานีที่ 20 ดังอยู่แนบอ่าวเมาะตะมะ (Gulf of Martaban) ซึ่งเป็นแหล่งชุมชนชาวมุสลิมและน้ำมันที่สำคัญของประเทศไทย (ส่วนเศรษฐกิจต่างประเทศ, 2548) จึงน่าจะเป็นเหตุให้สัตว์ทะเลที่อาศัยอยู่ในพื้นที่นี้มีโอกาสได้รับมลพิษที่ปนเปื้อนจากอุตสาหกรรมนี้เข้าสู่ร่างกายสูงกว่าพื้นที่อื่น

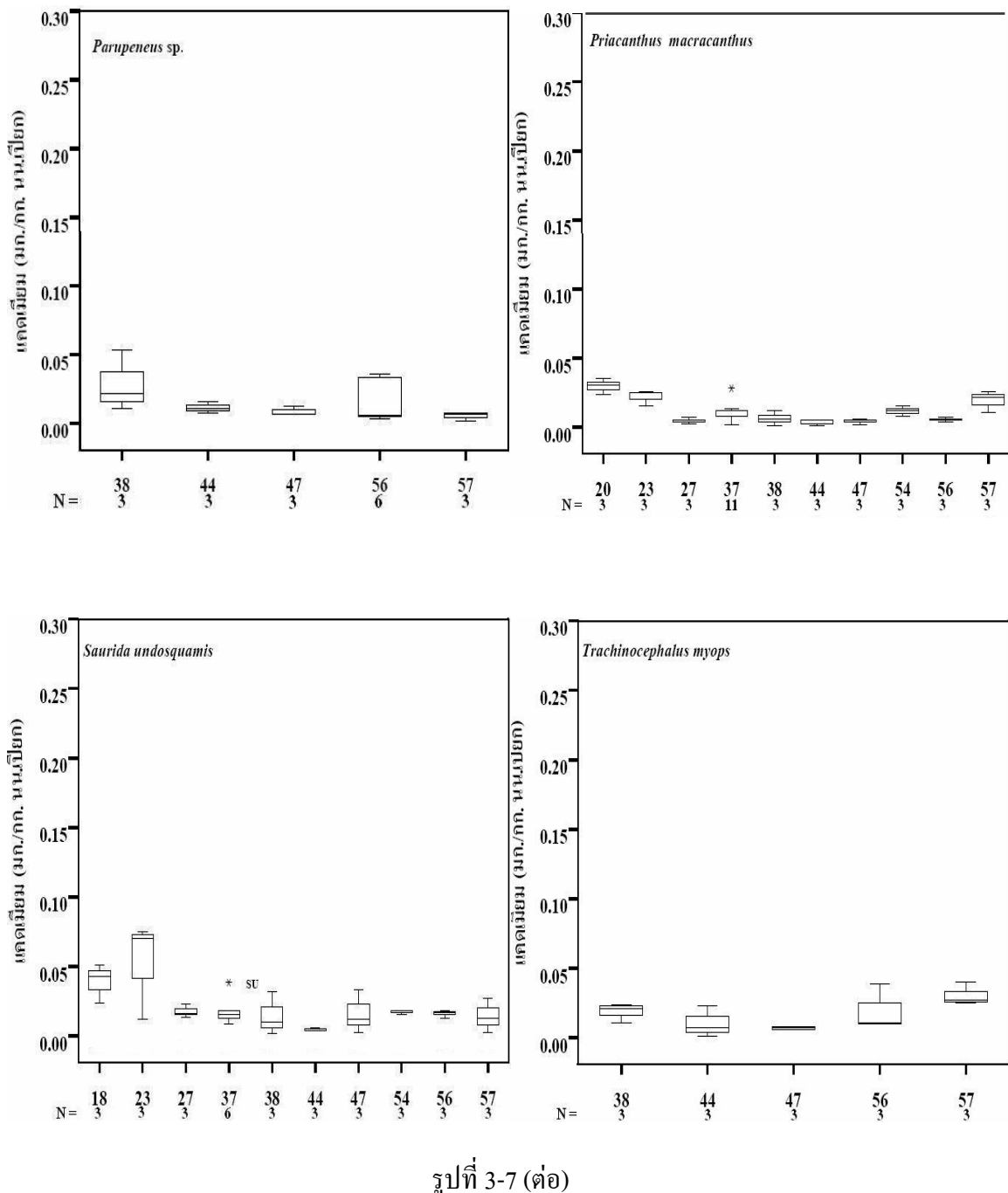
3.4.2 การเปรียบเทียบปริมาณแอดเมีย์มในเนื้อเยื่อสัตว์ทะเลกับค่ามาตรฐาน

เมื่อเทียบปริมาณแอดเมีย์มที่ปนเปื้อนในเนื้อเยื่อสัตว์ทะเลจากทะเลอันดามัน (น่านน้ำพม่า) ทั้ง 32 ชนิด กับเกณฑ์การยอมให้มีได้ของแอดเมีย์มในปลาและหมึกจากข้อบังคับคณะกรรมการยุโรป (EU, 2006) ซึ่งยอมให้มีแอดเมีย์มในเนื้อปลาทั่วไป 0.05 mg./kg. ปลานักล่า 0.1 mg./kg. ยกเว้นปลากระโถงแหงดาว ที่ยอมให้มีได้ถึง 0.3 mg./kg. และหมึก 1.0 mg./kg. จากรูปที่ 3-6 พบว่า มีปลา 5 ชนิด ที่มีแอดเมีย์มปนเปื้อนสูงกว่าเกณฑ์ คือ ปลาทูแขก (*D. russelli*) ปลาปากคม (*Saurida sp.*) ปลาหนวดด้าย (*U. moluccensis*) ปลากระโถงร่ม (*I. platypterus*) และปลานำ้ดอกไม้ (*S. barracuda*) แต่ยังต่ำกว่าค่ามาตรฐานของที่กระทรวงสาธารณสุขไทยซึ่งกำหนดให้มีแอดเมีย์มปนเปื้อนในอาหารทุกชนิด ไม่เกิน 1.0 mg./kg. (กระทรวงสาธารณสุข, 2548) อย่างไรก็ได้ ตัวอย่างที่ใช้ในการศึกษาครั้งนี้มีจำนวนน้อย คือ ตัวอย่างในแต่ละสถานีและแต่ละชนิดมีเพียง 3 ตัว ส่วนปลานำ้ดอกไม้มีเพียง 1 ตัว จึงยังไม่อาจสรุปได้ว่าปลาชนิดเดียว กันตัวอื่นๆ ในพื้นที่นี้ จะมีแอดเมีย์มปนเปื้อนอยู่ในตัวปลาปริมาณที่สูงเช่นกัน

ส่วนสัตว์ทะเลที่เหลือ จำนวน 26 ชนิด คิดเป็น 81.25% ของตัวอย่างที่ศึกษาทั้งหมด มีแอดเมีย์มในเนื้อเยื่อไม่เกิน 0.05 mg./kg. น้ำหนักเปรียก ซึ่งต่ำกว่าเกณฑ์มาตรฐานที่กำหนดโดยสหภาพยุโรป (EU, 2006)



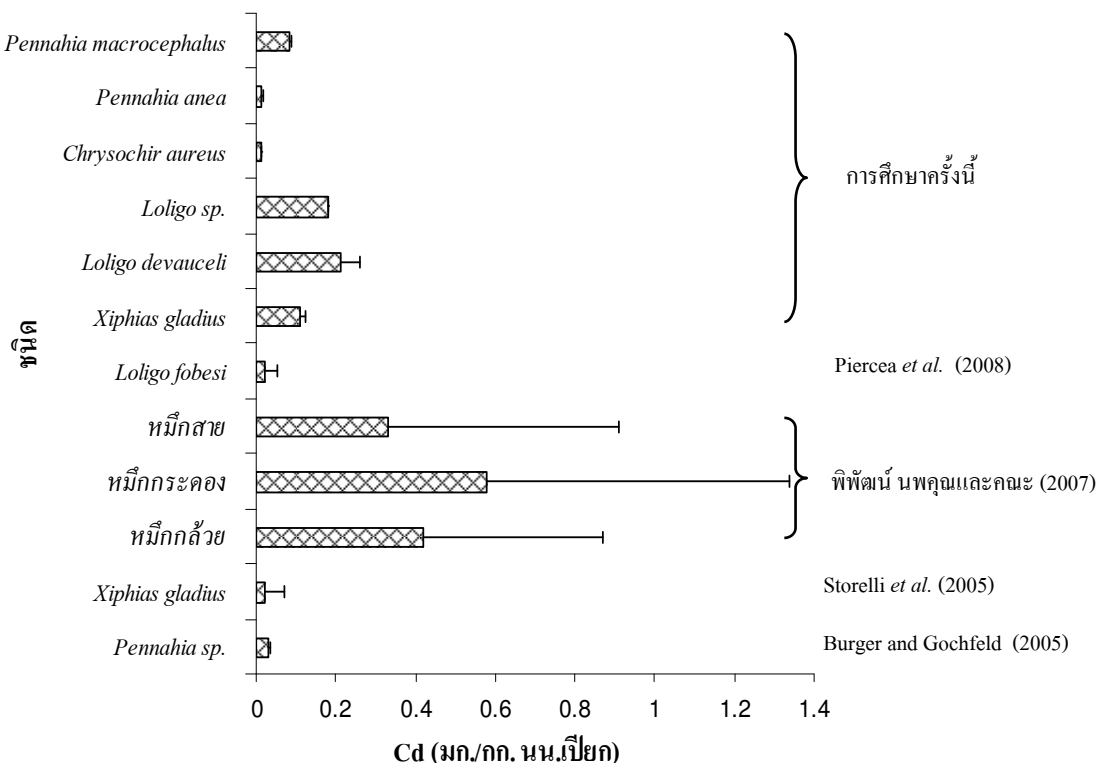
รูปที่ 3-7 การเปรียบเทียบค่ามัธยฐานของปริมาณแอดเมิร์มในเนื้อสัตว์ทะเลจำนวน 8 ชนิด ได้แก่ หมีกกลี้วย (*L. devauceeli*) ปลาทรายแดง (*N. bipunctatus*) ปลาทรายแดงญี่ปุ่น (*N. japonicus*) ปลาทรายแดง (*Nemipterus spp.*) ปลาแพะ (*Parupeneus spp.*) ปลาหนวดฤทธิ์ (*P. macracanthus*) ปลาปากคมหางจุด (*S. undosquamis*) และปลาปากคมหุ่ด (*T. myops*) ของแต่ละสถานีเก็บตัวอย่าง [สั้นหนาตรงกลางกล่องแสดงค่ามัธยฐาน, สั้นล่างของกล่องแสดงเบอร์เซ็นไทล์ที่ 25, เส้นบนของกล่องแสดงเบอร์เซ็นไทล์ที่ 75, เครื่องหมายวงกลมเปิด (○) แสดงข้อมูลที่มีค่าระหว่าง 1.5 เท่าของความกว้างของกล่อง, เครื่องหมายดอจจัน (*) แสดงข้อมูลที่มีค่ามากกว่า 3 เท่าของความกว้างของกล่อง]



3.4.3 การเปรียบเทียบปริมาณแคดเมียมในเนื้อเยื่อสัตว์ทะเลกับพื้นที่อื่นๆ

การปนเปื้อนของแคดเมียมในปลาจวด (*Pennahia* sp.) ในการศึกษานี้ ($0.012 \pm 0.003 - 0.085 \pm 0.004$ มก./กก. น้ำหนักเปียก) สูงกว่าที่ Burger and Gochfeld (2005) รายงานในปลาจากรัฐนิวเจอร์ซี ประเทศอเมริกา คือ 0.001 ± 0.0004 มก./กก. น้ำหนักเปียก และปลากระโ逼แห่งเดียวในในการศึกษาครั้งนี้ (0.11 ± 0.014 มก./กก. น้ำหนักเปียก) มีแคดเมียมสูงกว่าในกระเบนดิเตอร์เรเนียนที่รายงานโดย Storelli *et al.* (2005) คือ 0.01 ± 2.00 มก./กก. น้ำหนักเปียก

ส่วนหมึก (*Loligo* spp.) ในการศึกษานี้ มีแคดเมียมอยู่ในช่วง $0.132 - 0.290$ และเฉลี่ย 0.206 ± 0.048 มก./กก. น้ำหนักเปียก ซึ่งน้อยกว่าในหมึกทะเลแห่งแข็งของไทย ที่มีแคดเมียมปนเปื้อนเฉลี่ย 0.42 ± 0.45 มก./กก. น้ำหนักเปียก ที่รายงานในพิพัฒน์ นพคุณและคณะ (2007) แต่สูงกว่ารายงานของ Piercea *et al.* (2008) ที่ศึกษาในหมึก (*Loligo forbesi*) ในน่านน้ำอังกฤษที่มีแคดเมียมเฉลี่ย 0.022 ± 0.033 มก./กก. น้ำหนักเปียก (รูปที่ 3-8)



รูปที่ 3-8 การเปรียบเทียบปริมาณแคดเมียมที่ปนเปื้อนในสัตว์ทะเลจากทะเลอันดามัน (น่านน้ำพมา) กับพื้นที่อื่นๆ

3.4.4 ความสัมพันธ์ระหว่างปริมาณแอดเมียร์ในเนื้อกับขนาดของตัวอย่างสัตว์ทะเล

3.4.4.1 ความสัมพันธ์ในภาพรวม

เมื่อพิจารณาความสัมพันธ์ระหว่างความยาว น้ำหนัก และปริมาณแอดเมียร์ที่ปนเปื้อนในเนื้อของสัตว์ทะเลทั้ง 32 ชนิดจากทะเลอันดามัน (น่านน้ำpm) โดยใช้การทดสอบสัมประสิทธิ์สหสัมพันธ์ทางสถิติโดย Bivariate Correlation (Pearson) ด้วย SPSS for Windows Versions 15 พบว่าโดยภาพรวมสัตว์ทะเลจากทะเลอันดามัน (น่านน้ำpm) มีความยาวและน้ำหนักสัมพันธ์กันสูง ไปในทิศทางเดียวกัน ($r = 0.894$) อย่างมีนัยสำคัญทางสถิติ ($p < 0.01$) แต่มีปริมาณแอดเมียร์ในเนื้อเยื่อสัตว์ทะเลสัมพันธ์กันน้อยกับความยาว ($r = 0.310$) และน้ำหนัก ($r = 0.182$) ไปในทิศทางเดียวกันอย่างมีนัยสำคัญทางสถิติ ($p < 0.01$) รายละเอียดดังตารางที่ 3-8

ความสัมพันธ์ระหว่างแอดเมียร์ในเนื้อเยื่อสัตว์ทะเลจากทะเลอันดามัน (น่านน้ำpm) มีค่าร้อย เปอร์เซ็นต์จากปลาในพื้นที่ศึกษานี้แบ่งออกเป็น 2 กลุ่ม คือ กลุ่มปลากลางน้ำและกลุ่มปลาหน้าดิน ซึ่งมีขนาดแตกต่างกันมาก โดยเฉพาะกลุ่มของปลาหน้าดินซึ่งตัวเต็มวัยมีความยาวไม่เกิน 75 ซม. ขณะที่กลุ่มปลากลางน้ำ ตัวเต็มวัยจะมีความยาวในช่วง 200 – 488 ซม. ซึ่งเห็นได้ชัดเจนในกลุ่มของหมึกกลวย (*L. duvauceli*) และปลาลิ้นหมา (*C. cynoglossus*) ที่มีความยาวน้อยกว่าปลากลางน้ำ แต่พบว่าอยู่ในระดับของตัวเต็มวัยแล้ว (Froese and Pauly, 2009) เมื่อสัตว์ทะเลโตเต็มวัยจะหยุดการเจริญเติบโต แต่ยังคงไม่รับแอดเมียร์เข้าสู่ร่างกายและสะสมในร่างกายจากการกินอาหาร (McLaughlin *et al.*, 1999) และคุณค่าของแอดเมียร์เข้าสู่ร่างกายทางเดียว เช่นเดิม (Wood, 2001) ดังนั้นนอกจากการสะสมจะขึ้นอยู่กับชนิดและพฤติกรรมของสัตว์แล้ว การสะสมยังเพิ่มขึ้นตามอายุทำให้พบแอดเมียร์ในเนื้อปลาสูงที่มีขนาดเล็ก ดูรายละเอียดขนาดและพฤติกรรมในภาคผนวก ค

ตารางที่ 3-8 ค่าสัมประสิทธิ์สหสัมพันธ์ทางสถิติระหว่างขนาด (ความยาวและน้ำหนัก) กับปริมาณของแอดเมียร์ในเนื้อเยื่อสัตว์ทะเลจากทะเลอันดามันทั้ง 32 ชนิด โดยใช้การทดสอบสัมประสิทธิ์สหสัมพันธ์ทางสถิติ โดย Bivariate Correlation (Pearson) ด้วย SPSS for Windows Versions 15

| | ปริมาณแอดเมียร์ | น้ำหนัก | ความยาว |
|-----------------|-----------------|---------|---------|
| ปริมาณแอดเมียร์ | 1 | .182** | .310** |
| น้ำหนัก | | 1 | .894** |
| ความยาว | | | 1 |

** Correlation is significant at the 0.01 level (2-tailed)

เมื่อพิจารณาความสัมพันธ์ระหว่างปริมาณแแคดเมีย�ในเนื้อปลา กับความยาวของสัตว์ทะเล จำนวน 10 ชนิด โดยเลือกสัตว์ทะเลที่มีตัวอย่างมากกว่า 6 ตัวขึ้นไป ดังตารางที่ 3-9 พบว่า ในกลุ่มสัตว์ทะเลนิดเดียว กับ ไม่พบความสัมพันธ์ระหว่างปริมาณแแคดเมีย�กับขนาด (ความยาวและน้ำหนัก) เนื่องจากสัตว์ทะเลบางชนิดที่สูงขึ้นมาอยู่ในช่วงของตัวเต็มวัยแล้ว เช่น หมึกคล้ำวัย (*L. duvauceli*) โดยทุกตัวมีความยาวอยู่ในช่วงตัวเต็มวัย คือ 20 – 35 ซม. (Froese and Pauly, 2009) ทำให้ขนาดไม่เปลี่ยนแปลงแต่ยังคงได้รับแแคดเมียมเข้าสู่ลำตัวอยู่

ตารางที่ 3-9 ค่าสัมประสิทธิ์สหสัมพันธ์ทางสถิติระหว่างขนาด (ความยาวและน้ำหนัก) กับปริมาณของแแคดเมีย�ในเนื้อเยื่อสัตว์ทะเลจากทะเบียนคำนั้นทั้ง 32 ชนิด โดยใช้การทดสอบสัมประสิทธิ์สหสัมพันธ์ทางสถิติ โดย Bivariate Correlation (Pearson) ด้วย SPSS for Windows Versions 15

| ชนิด | ชื่อสามัญ | ค่าสัมประสิทธิ์สหสัมพันธ์ (correlation) | |
|---------------------------------|-------------------------|---|------------|
| | | ความยาวกับ | น้ำหนักกับ |
| | | แแคดเมีย� | แแคดเมีย� |
| <i>Loligo duvauceli</i> | หมึกคล้ำวัย (n=9) | 0.209 | -0.048 |
| <i>Nemipterus bipunctatus</i> | ตราหยแดง (n=9) | 0.017 | 0.053 |
| <i>Nemipterus spp.</i> | ตราหยแดง (n=6) | -0.726 | -0.527 |
| <i>Nemipterus japonicus</i> | ตราหยแดงญี่ปุ่น (n=24) | -0.088 | -0.096 |
| <i>Parupeneus spp.</i> | แพะ (n=18) | -0.439 | -0.443 |
| <i>Priacanthus macracanthus</i> | ตาหวานจุดน้ำตาล (n=38) | 0.063 | 0.034 |
| <i>Saurida undosquamis</i> | ปากคมหางจุด (n=33) | -0.245 | -0.259 |
| <i>Trachinocephalus myops</i> | ปากคมหูดำ (n=15) | -0.244 | -0.168 |
| <i>Alopias Superciliosus</i> | ฉลามหางขาวหน้าหนู (n=4) | 0.257 | -0.016 |
| <i>Xiphias gladius</i> | กระโทงแท่งดาบ (n=12) | 0.223 | 0.143 |

* Correlation is significant at the 0.05 level (2-tailed)

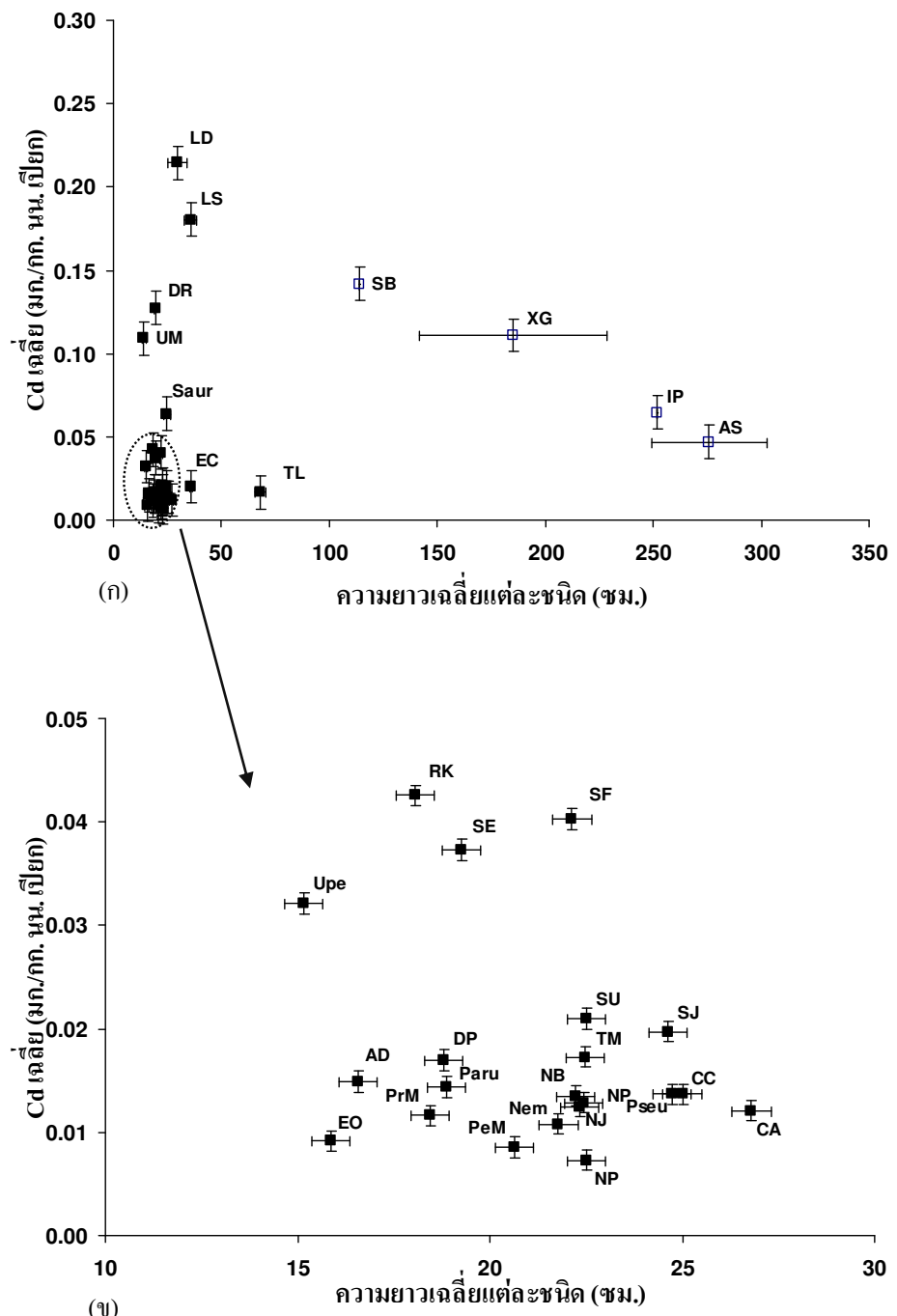
3.4.4.2 ความสัมพันธ์แยกตามชนิดและประเภทเครื่องมือ

เมื่อพิจารณาความสัมพันธ์ของปริมาณแแคดเมียมเฉลี่ยกับขนาดเฉลี่ย (ความยาวและน้ำหนัก) ของสัตว์ทะเล โดยแยกตามชนิดของสัตว์ทะเลและประเภทของเครื่องมือ พบว่ากลุ่มที่จับโดยอวนลากหน้าดิน มีน้ำหนักไม่เกิน 0.2 กก. และความยาวไม่เกิน 30 ซม. และปลาจากเบ็ดรวมน้ำลึก มีน้ำหนักอยู่ในช่วง 10 – 100 กก. และความยาวอยู่ในช่วง 100 – 300 ซม. ดังรูปที่ 3-9 และรูปที่ 3-10

ในกลุ่มของสัตว์ทะเลจากอวนลากหน้าดิน ส่วนใหญ่เป็นปลาหน้าดิน ยกเว้นปลาลัง (*R. karnagurta*) ที่เป็นปลากลางน้ำ พบว่ามีแอดเมียร์ปันเปื้อนในเนื้อปลาใกล้เคียงกัน และเมื่อพิจารณากลุ่มปลาที่มีความยาวไม่เกิน 30 ซม. (รูปที่ 3-9x) และน้ำหนักไม่เกิน 0.2 กก. (รูปที่ 3-10x) พบปลาปากคม (*S. elongata*) ปลาสากระดูกยี่ (*Upeneus sp.*) และปลาลัง (*R. karnagurta*) มีแอดเมียร์สูงกว่าปลาชนิดอื่น และเห็นได้ว่าค่าแอดเมียร์เฉลี่ยเมื่อเทียบกับขนาดเฉลี่ยในปลาเหล่านี้แยกออกจากกลุ่มอย่างชัดเจน พฤติกรรมการกินอาหารของปลาเหล่านี้ใกล้เคียงกัน คือ กินกุ้งและปลา และอายุอยู่ในระยะวัยอ่อน โดยมีความยาวไม่เกิน 25 ซม. ขณะที่ตัวโตเต็มวัยจะมีความยาว 50 – 75 ซม. (Froese and Pauly, 2009) จึงส่งผลให้มีแอดเมียร์ปันเปื้อนในเนื้อเยื่อปริมาณที่ใกล้เคียงกัน เนื่องจากมีพฤติกรรมการกินอาหาร อายุ และถิ่นที่อยู่เหมือนกัน (Amundsen *et al.*, 1997)

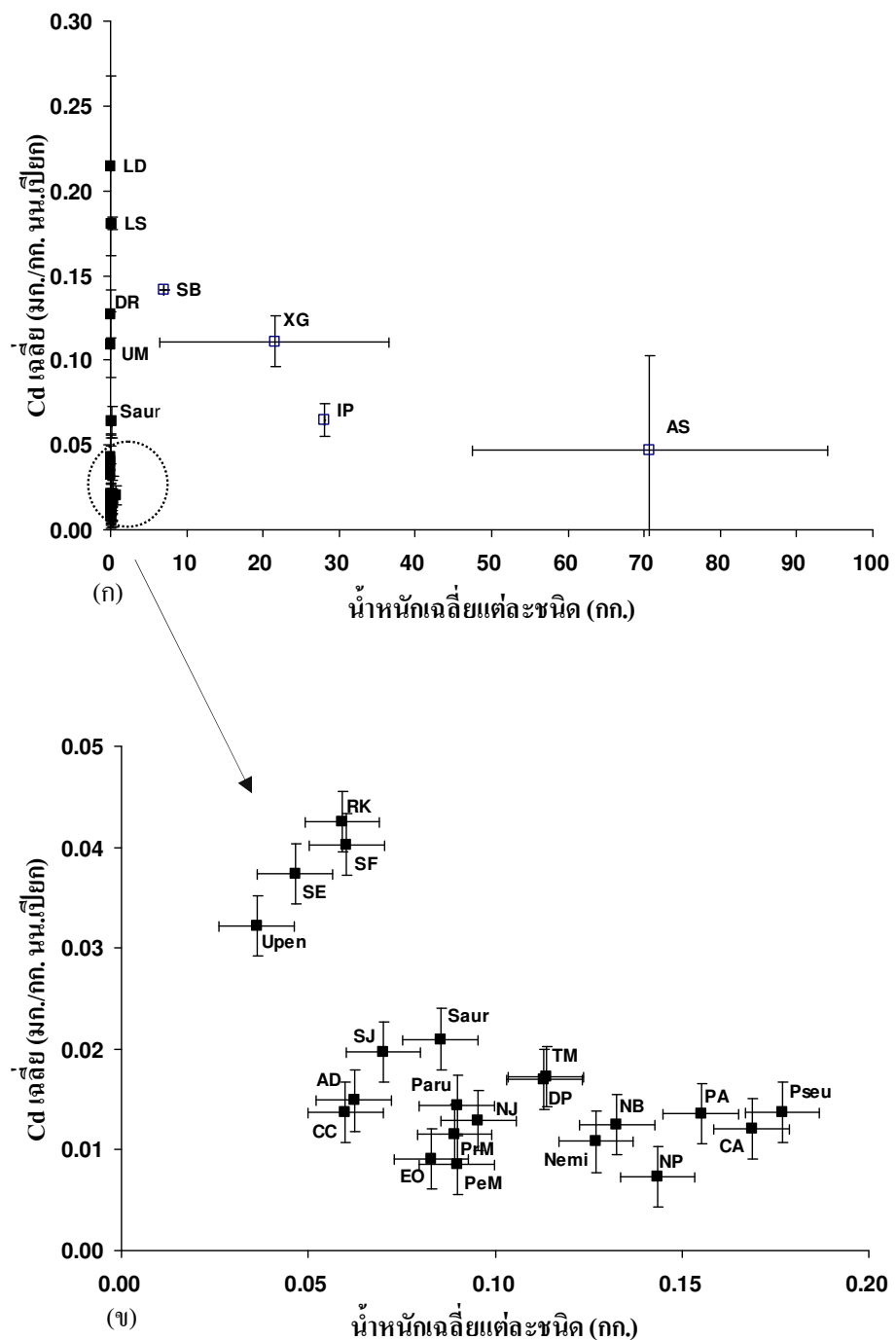
ส่วนปลาที่ได้จากเบ็ดรวมน้ำลึก ได้แก่ ปลาฉลามหางยาวหน้าหนู (*A. superciliatus*) ปลากระโ逼ร่ม (*I. platypterus*) ปลาหน้าดอกไม้ (*S. barracuda*) และปลากระโ逼แหงดาว (*X. gladius*) มีน้ำหนักอยู่ในช่วง 10 – 100 กก. และมีความยาวอยู่ในช่วง 100 – 300 ซม. ไม่พบความสัมพันธ์ระหว่างแอดเมียร์เฉลี่ยที่สะสมกับขนาดเฉลี่ยของปลาต่างชนิดกัน เนื่องจากพฤติกรรมการกินอาหาร และที่อยู่อาศัยของปลาเหล่านี้ต่างกัน (Amundsen *et al.*, 1997) โดยปลากระโ逼ร่มอาศัยบริเวณแนวปะการัง ส่วนปลาตัวอ่อนอาศัยอยู่กลางน้ำ (Froese and Pauly, 2009) อีกทั้งปลากระโ逼แหงดาวเป็นปลาที่ว่ายน้ำเร็ว มีการข้ายกถิ่นที่อยู่อาศัย (Canese, 2008) รวมทั้งอายุของปลาต่างกัน เช่น ปลาหางยาวหน้าหนู มีความยาวมากกว่าปลาชนิดอื่น แต่มีอายุน้อยกว่า และสามารถโตเต็มที่ถึง 488 ซม. ขณะที่ปลากลางน้ำชนิดอื่นๆ โตเต็มที่ได้เพียง 200 – 455 ซม. (Froese and Pauly, 2009)

จากการศึกษานี้จะเห็นว่ากลุ่มสัตว์ทะเลต่างชนิดกันบางชนิด ที่มีพฤติกรรมการกินอาหาร อายุ และแหล่งที่อยู่อาศัยคล้ายคลึงกัน จะสะสมแอดเมียร์ในเนื้อเยื่อในแนวโน้มเดียวกัน เช่น ปลาลัง ปลาปากคม ปลาสากระดูกยี่ นั่นคือ ในสัตว์ทะเลที่มีอายุใกล้เคียงกัน เมื่อสัตว์ทะเลมีขนาดใหญ่ขึ้น (ความยาวกับน้ำหนัก) จะมีระดับแอดเมียร์ปันเปื้อนในเนื้อสัตว์ทะเลเพิ่มขึ้น ตามไปด้วย (Burger and Gochfeld, 2005) เมื่อถึงระยะตัวเต็มวัยขนาดของสัตว์ทะเลจะไม่เปลี่ยนแปลง แต่ยังได้รับแอดเมียร์เข้าสู่และสะสมในลำตัวอยู่ตลอดจากการดูดซึมเข้าสู่ร่างกายผ่านทางเหงือก (Pagenkopf, 1983) และการกินอาหาร (Scheifler, 2002) ทำให้ปริมาณแอดเมียร์ไม่สัมพันธ์กับขนาดของสัตว์ทะเล



รูปที่ 3-9 ความสัมพันธ์ระหว่างปริมาณแอดเมิร์มเหลี่ยม (มก./กก.น้ำ.เปียก) กับความやすเยือกหนด
เหลี่ยม (ก.) ของ (ก) สัตว์ทะเลทั้ง 32 ชนิดจากทะเบียนคำนั้น (น่านน้ำพม่า) และ^{ชี้}
(ข) สัตว์ทะเลที่มีความやすเยือกน้ำไม่เกิน 30 ซม.

[□ แสดงตัวอย่างสัตว์ทะเลที่จับโดยใช้เครื่องราชนาวีลึก จำพวกปลากลางน้ำ ■ แสดงตัวอย่างสัตว์
ทะเลที่จับโดยใช้อวนลากหน้าคิน จำพวกปลาหน้าคินและหมึก]



รูปที่ 3-10 ความสัมพันธ์ระหว่างปริมาณแคดเมียมเหลี่ยม (มก./กг. น้ำหนักเปรียบ) กับน้ำหนักเฉลี่ย (กг.) ของ (ก) สัตว์ทะเลทั้ง 32 ชนิด จากทะเบียนตามน้ำ (น่านน้ำพม่า) และ (ข) สัตว์ทะเลที่มีน้ำหนักไม่เกิน 0.2 กก.

[□ แสดงตัวอย่างสัตว์ทะเลที่จับโดยใช้เบื้องต้นน้ำลึก จำพวกปลากระดังงา ■ แสดงตัวอย่างสัตว์ทะเลที่จับโดยใช้อวนลากหน้าดิน จำพวกปลาหน้าดินและหมึก]

3.5 การประเมินความเสี่ยงและความปลอดภัยในการบริโภค

จากการวิเคราะห์หาแอดเมิร์นในสัตว์ทະเลจากอ่าวเบงกอลและทะเลอันดามัน (น่านน้ำพม่า) เพื่อนำมาใช้ในการประเมินความเสี่ยงจากการบริโภค โดยใช้ค่าสัดส่วนความเสี่ยง (Hazard Quotient; HQ) ด้วยสมการ 2-1 และสมการ 2-2 ในบทที่ 2 และปริมาณที่ปลอดภัยในการบริโภค (Provisional Tolerable Weekly Intake; PTWI) สำหรับสารที่ไม่ก่อให้เกิดมะเร็ง (non-carcinogenic effect) สมการ 2-3 ในบทที่ 2 หากค่า $HQ > 1$ แสดงว่าแอดเมิร์นที่ได้รับอยู่ในระดับมีความเสี่ยงต่อสุขภาพของผู้บริโภค ถ้าค่า $HQ \leq 1$ แสดงว่าแอดเมิร์นที่ได้รับนั้นไม่มีความเสี่ยงต่อสุขภาพของผู้บริโภค (US-EPA, 1989 และ 2005; Kofi, 2002; พงษ์เทพ วิวรรณเดช, 2547) ตัวอย่างการคำนวณแสดงไว้ในภาคผนวก ๗

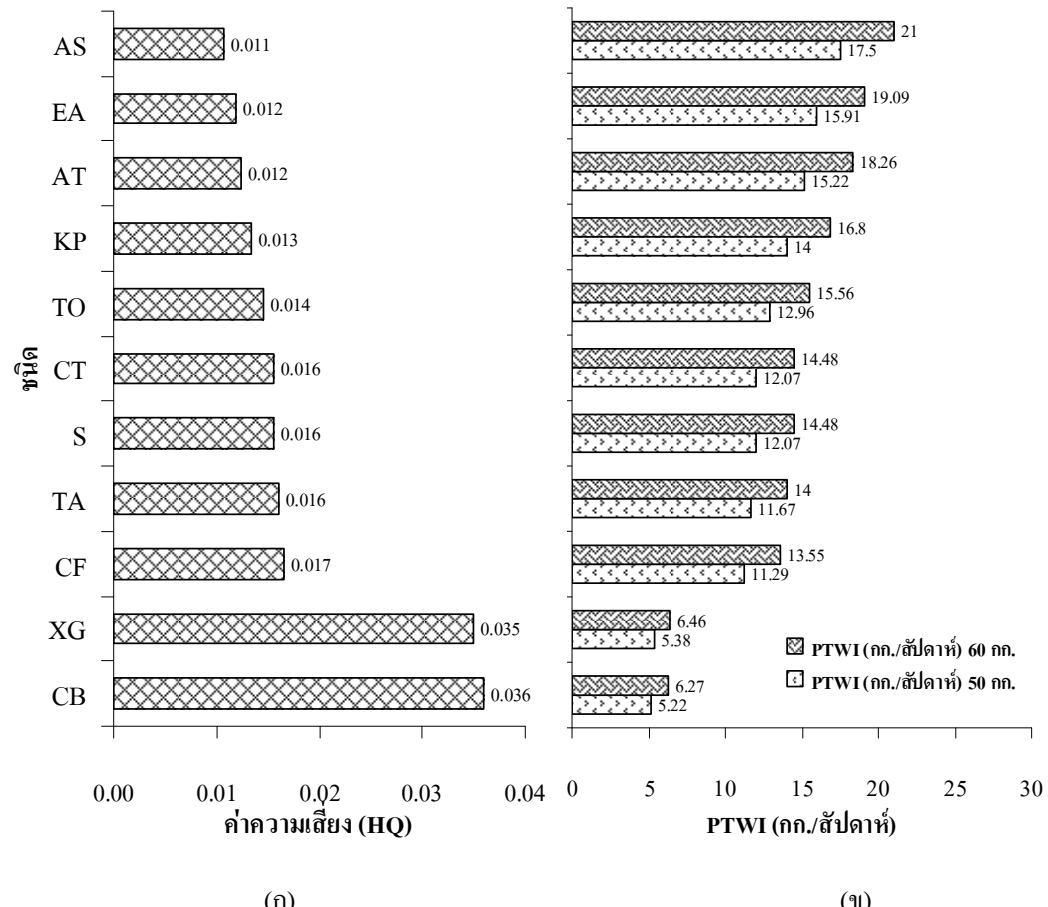
3.5.1 สัตว์ทะเลจากอ่าวเบงกอล

ค่า HQ และค่า PTWI ของปลาจากอ่าวเบงกอลทั้ง 11 ชนิด แสดงในตารางที่ ๒-๑ ภาคผนวก ๗ และรูปที่ ๓-๑๑ โดยส่วนใหญ่จะมีค่า HQ อยู่ในช่วง 0.011 – 0.017 ยกเว้นปลากระโ逼 แท่งดาวและปลาลามครีบดำ ที่มีค่า HQ สูงกว่าปลาชนิดอื่นมาก คือ 0.035 และ 0.036 ตามลำดับ (รูปที่ 11ก) อย่างไรก็ตามค่า HQ จากการได้รับแอดเมิร์นที่เป็นปืนปืนในปลาเข้าสู่ร่างกายยังต่ำกว่า 1 อยู่มาก ดังนั้นการบริโภคปลาจากอ่าวเบงกอลจึงไม่ก่อให้เกิดความเสี่ยงต่อสุขภาพของผู้บริโภค

ค่า PTWI ของปลาทั้ง 11 ชนิดจากอ่าวเบงกอล สำหรับผู้ที่มีน้ำหนัก 50 และ 60 กก. ดังแสดงในรูปที่ ๓-๑๑ฯ พนวณาปลาตามหางยาวหน้าหู สามารถบริโภคได้มากที่สุด คือ 17.5 และ 21 กก./สัปดาห์ สำหรับผู้ที่มีน้ำหนัก 50 และ 60 กก. ตามลำดับ รองลงมา คือ ปลากรุ่นปลาทูน่า ยกเว้นปลาทูน่าครีบเหลือง โดยมีค่า PTWI อยู่ในช่วง 12.96 - 15.91 และ 15.56 - 19.09 กก./สัปดาห์ สำหรับผู้ที่มีน้ำหนัก 50 และ 60 กก. ตามลำดับ สัตว์ทะเลที่บริโภคได้น้อยที่สุด คือ ปลาลามครีบดำ มีค่า PTWI เท่ากับ 5.22 และ 6.27 กก./สัปดาห์ และปลากระโ逼แท่งดาว มีค่า PTWI เท่ากับ 5.38 และ 6.46 กก./สัปดาห์ สำหรับผู้ที่มีน้ำหนัก 50 และ 60 กก. ตามลำดับ

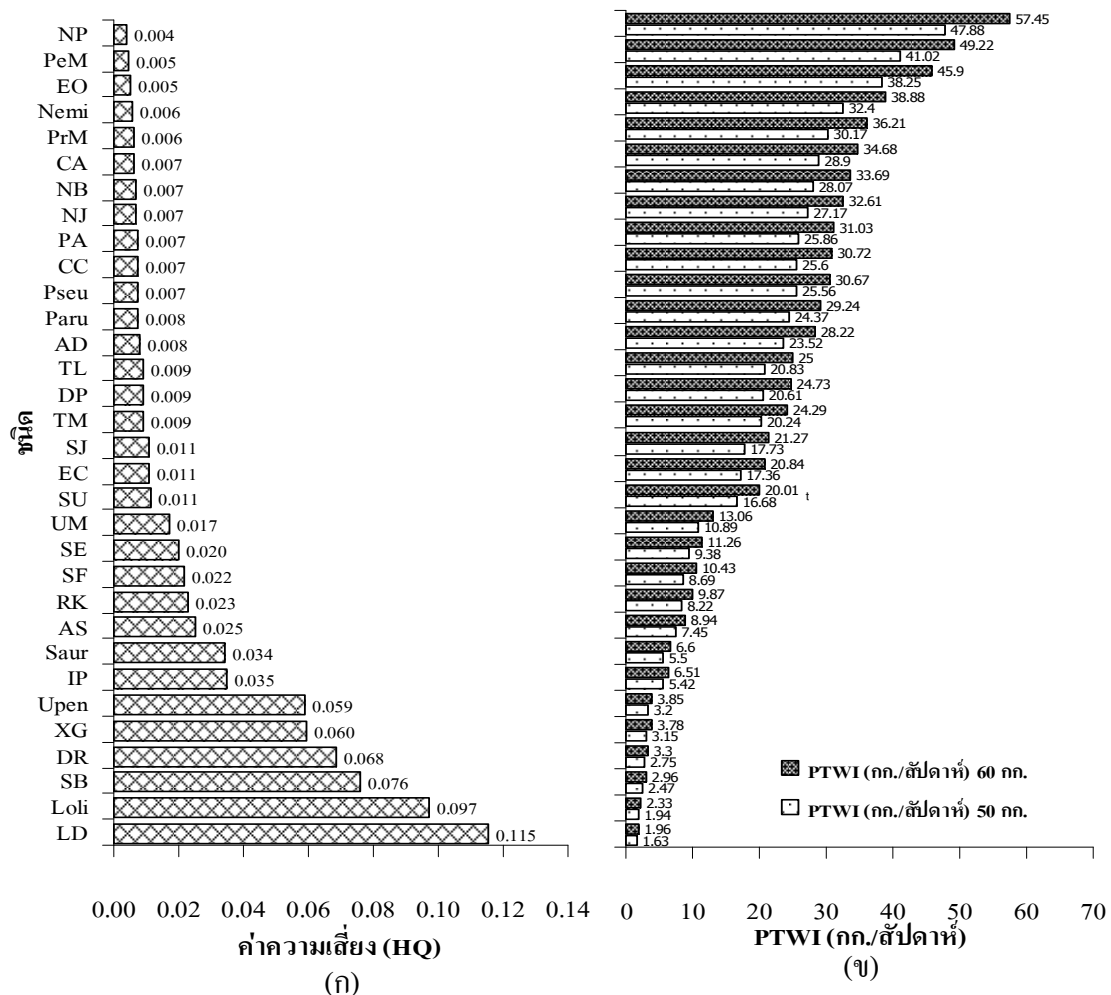
3.5.2 สัตว์ทะเลจากทะเลอันดามัน (น่านน้ำพม่า)

ค่า HQ และค่า PTWI ของสัตว์ทะเลจากทะเลอันดามันในเขตน่านน้ำพม่าทั้ง 32 ชนิด แสดงในตารางที่ ๒-๒ ภาคผนวก ๗ และรูปที่ ๓-๑๒ พนวณาค่า HQ ของหมึกกล้วยมีค่ามากที่สุด คือ 0.115 รองลงมา คือ ปลาลงน้ำ ที่มีค่า HQ อยู่ในช่วง 0.025 – 0.076 ส่วนปลาหน้าดินมีค่า HQ น้อยที่สุด คือ มีค่าอยู่ในช่วง 0.004 – 0.023 อย่างไรก็ตามค่า HQ ยังมีค่าต่ำกว่า 1 อยู่มาก การบริโภคสัตว์ทะเลจากทะเลอันดามัน (น่านน้ำพม่า) จึงไม่ก่อให้เกิดความเสี่ยงต่อสุขภาพอนามัยของผู้บริโภค



รูปที่ 3-11 (ก) ค่าสัดส่วนความเสี่ยงของสัตว์ทะเลที่มีแคนดี้เมิยมปนเปื้อน และ (ข) ปริมาณที่บริโภคได้ต่อสัปดาห์ของสัตว์ทะเลจากอ่าวเบงกอลทั้ง 11 ชนิด ที่มีแคนดี้เมิยมปนเปื้อนสำหรับผู้ที่มีน้ำหนัก 50 กก. และ 60 กก.

[AS = *Alopias superciliosus*; CB = *Carcharhinus brachyurus*; CF = *Carcharhinus falciformis*; S = Shark; AT = *Auxis thazard*; EA = *Euthynnus affinis*; TA = *Thunnus albacares*; KP = *Katsuwonus pelamis*; TO = *Thunnus obesus*; CT = *Caranx tille*; XG = *Xiphias gladius*]



รูปที่ 3-12 (ก) ค่าสัดส่วนความเสี่ยงของสัตว์ทะเลที่มีแคมเดเมียมปนเปื้อน และ (ข) ปริมาณที่บริโภคได้ต่อสปด้าห์ของสัตว์ทะเลจากทะเลอันดามัน (น้ำน้ำม่วง) ทั้ง 32 ชนิด ที่มีแคมเดเมียมปนเปื้อนสำหรับผู้ที่มีน้ำหนัก 50 กก. และ 60 กก.

[LD = *Loligo devauceleti*; Loli = *Loligo sp.*; AD = *Alepes djedabae*; CA = *Chrysochir aureus*; CC = *Cynoglossus cynoglossus*; DP = *Drepane punctata*; DR = *Decapterus russelli*; EC = *Epinephelus coioides*; EO = *Ephippus orbis*; NB = *Nemipterus bipunctatus*; Nem = *Nemipterus spp.*; NJ = *Nemipterus japonicus*; NP = *Nemipterus peronii*; PA = *Pennahia anea*; Paru = *Parupeneus spp.*; PeM = *Pennahia macrocephalus*; PrM = *Priacanthus macracanthus*; Pseu = *Pseudorhombus sp.*; RK = *Rastrelliger karnagurta*; Saur = *Saurida sp.*; SE = *Saurida elongata*; SF = *Sphyraena forsters*; SJ = *Sphyraena jello*; SU = *Saurida undosquamis*; TL = *Trichiurus lepturus*; TM = *Trachinocephalus myops*; UM = *Upeneus moluccensis*; Uper = *Upeneus sp.*; AS = *Alopias Superciliosus*; IP = *Istiophorus platypterus*; SB = *Sphyraena barracuda*; XG = *Xiphias gladius*]

ค่า PTWI ของสัตว์ทะเลทั้ง 32 ชนิด จากทะเบียนคนมันในเขต่น้ำพม่า สำหรับผู้ที่มีน้ำหนัก 50 และ 60 กก. ดังแสดงในรูปที่ 3-12ฯ พ布ว่าสัตว์ทะเลที่สามารถบริโภคได้มากที่สุด คือ ปลาทรายแดง (*N. peroni*) มีค่า PTWI เท่ากับ 47.88 และ 57.45 กก./สัปดาห์ สำหรับผู้ที่มีน้ำหนัก 50 และ 60 กก. ตามลำดับ ส่วนสัตว์ทะเลที่มีค่า PTWI น้อยที่สุด คือ หมึกกลวย มีค่า PTWI เท่ากับ 1.63 และ 1.96 กก./สัปดาห์ สำหรับผู้ที่มีน้ำหนัก 50 และ 60 กก. ตามลำดับ

เมื่อพิจารณาโดยภาพรวมพบว่า กลุ่มปลาหน้าดิน เป็นสัตว์ทะเลที่มีความปลอดภัยในการบริโภคมากที่สุด คือ มีค่า PTWI อยู่ในช่วง 3.2 – 47.88 และ 3.85 – 57.45 กก./สัปดาห์ สำหรับผู้ที่มีน้ำหนัก 50 และ 60 กก. ตามลำดับ รองลงมา คือ กลุ่มปลากลางน้ำ มีค่า PTWI อยู่ในช่วง 2.47 – 7.45 และ 2.96 – 8.94 กก./สัปดาห์ สำหรับผู้ที่มีน้ำหนัก 50 และ 60 กก. ตามลำดับ ส่วนสัตว์ทะเลที่มีค่า PTWI น้อยที่สุด คือ กลุ่มหมึก มีค่าอยู่ในช่วง 1.63 – 1.94 และ 1.96 – 2.33 กก./สัปดาห์ สำหรับผู้ที่มีน้ำหนัก 50 และ 60 กก. ตามลำดับ

3.6 การเปรียบเทียบสัตว์ทะเลจากอ่าวเบงกอล (พื้นที่ A และ B) กับทะเบียนคนมัน

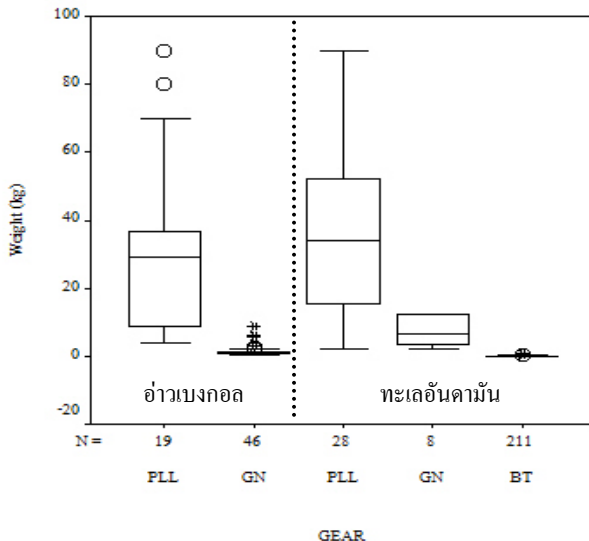
เนื่องจากพื้นที่ในการศึกษาระบบนี้ มีการซ้อนทับกัน คือ พื้นที่ C ของอ่าวเบงกอล ซึ่งเป็นส่วนหนึ่งทะเบียนคนมัน ดังนั้น จึงได้รวมพื้นที่ C ของอ่าวเบงกอล กับน่านน้ำพม่า และนำสัตว์ทะเลในพื้นที่ดังกล่าว มาเปรียบเทียบกับสัตว์ทะเลในพื้นที่ที่เหลือของอ่าวเบงกอล (พื้นที่ A และ B)

3.6.1 การเปรียบเทียบขนาด (ความยาวและน้ำหนัก) แยกตามประเภทเครื่องมือประมง

การเปรียบเทียบความแตกต่างของขนาด (ความยาวและน้ำหนัก) สัตว์ทะเลจากอ่าวเบงกอล (พื้นที่ A และ B) กับทะเบียนคนมัน ตามประเภทเครื่องมือประมง (อวนลอย เบ็ดราวน้ำลึก และอวนลากหน้าดิน) ด้วยค่ามัธยฐานและแสดงผลเป็นแผนภูมิกล่อง ดังรูปที่ 3-13 และทดสอบหากความแตกต่างทางสถิติด้วย T-Test แบบ Independent Samples T-test และ One - Way ANOVA พ布ว่า

- ขนาดสัตว์ทะเลจากอ่าวเบงกอล (พื้นที่ A และ B) ที่จับด้วยเบ็ดราวน้ำลึกและอวนลอย แตกต่างกันอย่างมีนัยสำคัญทางสถิติ ($p < 0.05$) (ตารางที่ ณ-3 ภาคพนวก ณ)
- ขนาดสัตว์ทะเลจากทะเบียนคนมันที่จับด้วยเบ็ดราวน้ำลึก อวนลอย และอวนลากหน้าดิน มีความแตกต่างกันอย่างมีนัยสำคัญทางสถิติ ($p < 0.05$) (ตารางที่ ณ-4 ภาคพนวก ณ)
- ขนาดสัตว์ทะเลที่จับด้วยเบ็ดราวน้ำลึกจากอ่าวเบงกอล (พื้นที่ A และ B) กับทะเบียนคนมัน ไม่แตกต่างกันอย่างมีนัยสำคัญ ($p > 0.05$) (ตารางที่ ณ-5 ภาคพนวก ณ)

- ขนาดสัตว์ทะเลที่จับด้วยอวนล่อจากทั้ง 2 พื้นที่ มีความแตกต่างกันอย่างมีนัยสำคัญทางสถิติ ($p < 0.05$) (ตารางที่ ณ-6 ภาคผนวก ณ)

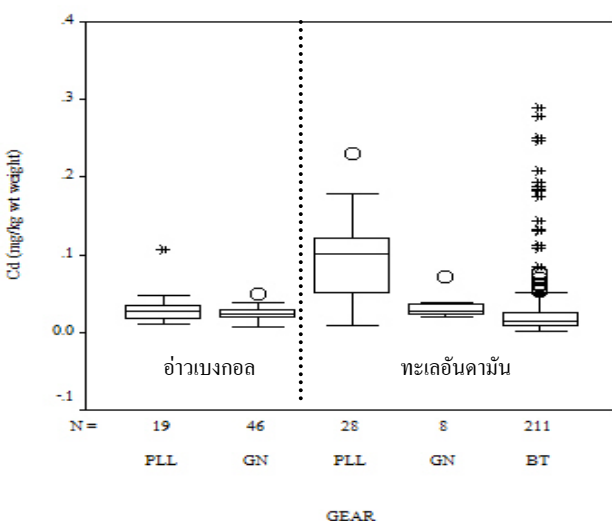


รูปที่ 3-13 การเปรียบเทียบขนาดของสัตว์ทะเลที่จับจากอ่าวเบงกอล (พื้นที่ A และ B) กับทะเลอันดามันแยกตามประเภทเครื่องมือประมง โดยที่ PLL = Pelagic long line; GN = Gill net; BT = Bottom trawl
[เส้นหนาตรงกลางกล่องแสดงค่ามัธยฐาน, เส้นล่างของกล่องแสดงเบอร์เซ็นไทล์ที่ 25, เส้นบนของกล่องแสดงเบอร์เซ็นไทล์ที่ 75, เครื่องหมายวงกลมเปิด (o) แสดงข้อมูลที่มีค่าระหว่าง 1.5 เท่าของความกว้างของกล่อง, เครื่องหมายดอกจัน (*) แสดงข้อมูลที่มีค่ามากกว่า 3 เท่าของความกว้างของกล่อง]

3.6.2 การเปรียบเทียบปริมาณแผลเมีย�แยกตามประเภทเครื่องมือประมง

การเปรียบเทียบระดับแผลเมีย�ที่ปนเปื้อนในสัตว์ทะเลจากอ่าวเบงกอล (พื้นที่ A และ B) กับทะเลอันดามัน ตามประเภทเครื่องมือประมง (อวนล่อ เบ็ดรวม น้ำลึก และอวนลากหน้าดิน) ด้วยค่ามัธยฐานและแสดงผลเป็นแผนภูมิกล่อง ดังรูปที่ 3-14 และทดสอบหาความแตกต่างทางสถิติด้วย T-Test แบบ Independent Samples T-test และ One - Way ANOVA พบว่า

- ระดับแอดเมียมในสัตว์ทะเลที่จับด้วยเบ็ดรวมน้ำลึกและอวนลอย จากอ่าวเบงกอล (พื้นที่ A และ B) ไม่แตกต่างกันอย่างมีนัยสำคัญทางสถิติ ($p > 0.05$) (ตารางที่ ฉบับ ก ภาคผนวก ฉบับ)
- ระดับแอดเมียมในสัตว์ทะเลจากทะเลอันดามัน ที่จับด้วยเบ็ดรวมน้ำลึก อวนลอย และอวนลากหน้าดิน มีความแตกต่างกันอย่างมีนัยสำคัญทางสถิติ ($p < 0.05$) (ตารางที่ ฉบับ ก ภาคผนวก ฉบับ)
- ระดับแอดเมียมในสัตว์ทะเล ที่จับด้วยเบ็ดรวมน้ำลึกจากอ่าวเบงกอล (พื้นที่ A และ B) กับทะเลอันดามัน มีความแตกต่างกันอย่างมีนัยสำคัญทางสถิติ ($p < 0.05$) (ตารางที่ ฉบับ ก ภาคผนวก ฉบับ)
- ระดับแอดเมียมในสัตว์ทะเลที่จับด้วยอวนลอยจากอ่าวเบงกอล (พื้นที่ A และ B) กับทะเลอันดามัน มีความแตกต่างกันอย่างมีนัยสำคัญทางสถิติ ($p < 0.05$) (ตารางที่ ฉบับ ก ภาคผนวก ฉบับ)



รูปที่ 3-14 การเปรียบเทียบปริมาณแอดเมียมในเนื้อสัตว์ทะเลที่จับจากอ่าวเบงกอล (พื้นที่ A และ B) กับ ทะเลอันดามันแยกตามประเภทเครื่องมือประมงที่ใช้จับ โดยที่ GN = Gill net; PLL = Pelagic long line; BT = Bottom trawling

[เส้นหนาตรงกลางกล่องแสดงค่ามัธยฐาน, เส้นล่างของกล่องแสดงเบอร์เซ็นไทล์ที่ 25, เส้นบนของกล่องแสดงเบอร์เซ็นไทล์ที่ 75, เครื่องหมายวงกลมเปิด (o) แสดงข้อมูลที่มีค่าระหว่าง 1.5 ถึง 3 เท่าของความกว้างของกล่อง, เครื่องหมายดอกจัน (*) แสดงข้อมูลที่มีค่ามากกว่า 3 เท่าของความกว้างของกล่อง]

3.6.3 การเปรียบเทียบปริมาณแอดเมียร์ที่ป่นเปื้อนในเนื้อปลาชนิดเดียวกันที่สุ่มจับพื้นที่อ่าวเบงกอล (พื้นที่ A และ B) กับทะเลียนตามัน

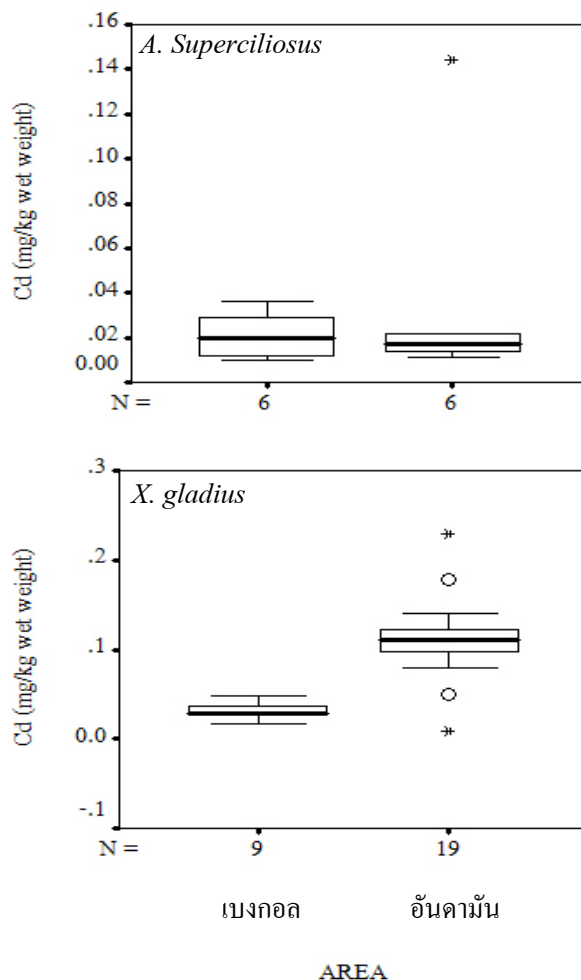
เนื่องจากปลาตามทางยาวหน้าหู (*A. Superciliosus*) และปลากระโ逼แห่งดาน (*X. gladius*) เป็นปลา 2 ชนิด ที่มีการแพร่กระจายอยู่ทั้งในอ่าวเบงกอล (พื้นที่ A และ B) และทะเลียนตามัน จากการเปรียบเทียบดังรูปที่ 3-15 พบว่า แอดเมียร์ในเนื้อปลาตามทางยาวหน้าหูจากอ่าวเบงกอล (พื้นที่ A และ B) กับทะเลียนตามันไม่แตกต่างกันอย่างมีนัยสำคัญทางสถิติ ($p > 0.05$) รายละเอียดดังตารางที่ ณ-11 ภาคผนวก ณ ส่วนปริมาณแอดเมียร์ในเนื้อปลากระโ逼แห่งดานที่จับจากอ่าวเบงกอล (พื้นที่ A และ B) กับทะเลียนตามัน มีความแตกต่างกันอย่างมีนัยสำคัญ ($p < 0.05$) รายละเอียดดังตารางที่ ณ-12 ภาคผนวก ณ โดยปลากระโ逼แห่งดานที่จับได้จากทะเลียนตามัน มีแอดเมียร์สูงกว่าในปลากระโ逼แห่งดานที่จับได้จากอ่าวเบงกอล (พื้นที่ A และ B)

3.6.4 ผลการเปรียบเทียบความสัมพันธ์ระหว่างปริมาณแอดเมียร์กับขนาดเฉลี่ย

การเปรียบเทียบความสัมพันธ์ระหว่างระดับแอดเมียร์ในเนื้อเยื่อกับขนาดเฉลี่ยของสัตว์ทะเล็กจากอ่าวเบงกอล (พื้นที่ A และ B) กับทะเลียนตามัน โดยแบ่งตามเครื่องมือประเมินดังรูปที่ 3-16 พบว่า แอดเมียร์ในเนื้อสัตว์ทะเล็กจากอ่าวเบงกอล (พื้นที่ A และ B) กับทะเลียนตามัน มีความสัมพันธ์กับขนาด (ความยาวและน้ำหนัก) ในกลุ่มของสัตว์ทะเลที่จับโดยใช้อวนลอย ซึ่งส่วนใหญ่เป็นปลาทูน่า นั่นคือ เมื่อขนาดเพิ่มขึ้นปริมาณแอดเมียร์ที่ป่นเปื้อนในเนื้อสัตว์ทะเลจะสูงขึ้นตามไปด้วย ซึ่งสอดคล้องกับรายงานของ Burger and Gochfeld (2005) ที่พบว่าขนาดมีผลต่อการป่นเปื้อนของแอดเมียร์ในเนื้อปลา ส่วนสัตว์ทะเลที่จับโดยใช้เครื่องมืออื่น ไม่พบความสัมพันธ์ระหว่างปริมาณแอดเมียร์เฉลี่ยกับขนาดเฉลี่ย ทั้งนี้เนื่องจากความแตกต่างระหว่างชนิด อายุ ถิ่นที่อยู่อาศัย และพฤติกรรมการกินอาหาร (Amundsen *et al.*, 1997; Scheifler, 2002; Burger and Gochfeld, 2005)

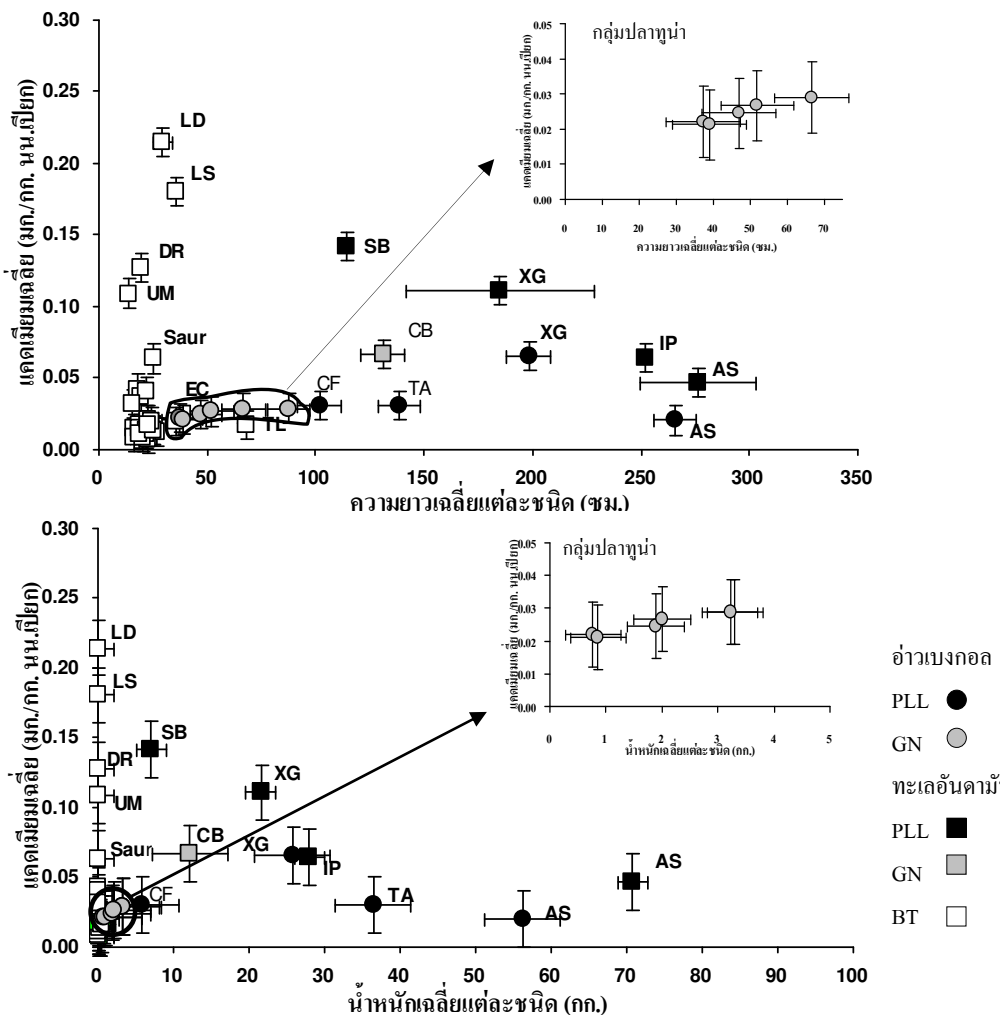
3.6.5 การเปรียบเทียบความเสี่ยงและความปลอดภัยในการบริโภคสัตว์ทะเลชนิดเดียวกันที่สุ่มจับของอ่าวเบงกอลกับทะเลียนตามัน

จากการศึกษาปริมาณแอดเมียร์ในสัตว์ทะเลชนิดเดียวกัน จากอ่าวเบงกอลกับทะเลียนตามัน พบว่าส่วนใหญ่มีแอดเมียร์ป่นเปื้อน ไม่เกินเกณฑ์มาตรฐานที่กำหนดโดยสหภาพยุโรป (EU, 2006) โดยค่า HQ มีค่าต่ำกว่า 1 มาก จึงสามารถบริโภคได้อย่างปลอดภัยโดยไม่ก่อให้เกิดอันตรายต่อสุขภาพ



รูปที่ 3-15 การเปรียบเทียบปริมาณของแคดเมียมในเนื้อสัตว์ทะเลที่จับจากอ่าวบางกอก (พื้นที่ A และ B) กับทะเลอันดามัน ในปลาฉลามหางยาวหน้าหนู (*A. Superciliosus*) และปลากระโทงแท่งดาว (*X. gladius*)

[เส้นหนาตรงกลางกล่องแสดงค่ามัธยฐาน, เส้นล่างของกล่องแสดงเบอร์เซ็นไทล์ที่ 25, เส้นบนของกล่องแสดงเบอร์เซ็นไทล์ที่ 75, เครื่องหมายวงกลมเปิด (○) แสดงข้อมูลที่มีค่าระหว่าง 1.5 เท่าของความกว้างของกล่อง, เครื่องหมายดอจจัน (*) แสดงข้อมูลที่มีค่ามากกว่า 3 เท่าของความกว้างของกล่อง]



รูปที่ 3-16 ความสัมพันธ์ระหว่างปริมาณแผลเมียวนลีข (มก./กก. น้ำหนักเปรียก) กับความขางเคลือบ (ชม.) และน้ำหนักเคลือบ (กก.) ของสัตว์ทะเลอันดามันที่จับโดยใช้เครื่องมือ เบื้องราวน้ำลึก (PLL) หวานดอย (GN) และหวานดากหน้าดิน (BT)

อย่างไรก็ตามแอดเมิร์ยมจะสมในเนื้อเยื่อของสิ่งมีชีวิต จึงต้องเฝ้าระวังและเลือกบริโภคให้เหมาะสม จากที่ Joint FAO/WHO Expert Committee on Food Additives (JECFA) กำหนดให้ได้รับแอดเมิร์ยมได้ไม่เกิน 7 มกг./กก.น้ำหนักตัว ต่อสัปดาห์ (JECFA, 2005) เมื่อกำนัณเป็นค่า PTWI หรือปริมาณที่ปลอดภัยในการบริโภคสัตว์ทะเลจาก อ่าวเบงกอลและทะเลอันดามันพบว่าค่า PTWI ของสัตว์ทะเลแต่ละชนิดแตกต่างกัน

ค่า PTWI สำหรับผู้มีน้ำหนักตัว 60 กิโลกรัม ของสัตว์ทะเลจากมีค่า 6.27 – 21 กก./สัปดาห์ เพื่อต้องระวังการบริโภคปลาคลາมครึบด่างและปลากระโทงแห้งตาม เนื่องจากทั้ง 2 ชนิดมีแอดเมิร์ยมปนเปื้อนอยู่ในเนื้อปลาค่อนข้างสูง สำหรับผู้มีน้ำหนักตัว 60 กิโลกรัม จึงมีปริมาณที่ปลอดภัยในการบริโภคได้ไม่เกิน 6.27 และ 6.46 กก./สัปดาห์ ตามลำดับ ส่วนสัตว์ทะเลจากอ่าวเบงกอล ที่บริโภคได้ในปริมาณมากที่สุด คือ ปลาคลາมหางยาวหน้าหนู ปลาโอลาย และปลาโอแกลง ในภาพรวมไม่ควรบริโภคสัตว์ทะเลจากอ่าวเบงกอลเกินกว่า 14.55 ± 4.44 กก./สัปดาห์ สำหรับผู้มีน้ำหนักตัว 60 กิโลกรัม

ค่า PTWI สำหรับผู้มีน้ำหนักตัว 60 กิโลกรัม ของสัตว์ทะเลจากทะเลอันดามัน อยู่ในช่วง 1.96 – 57.45 กก./สัปดาห์ สัตว์ทะเลชนิดที่มีค่า PTWI ต่ำและควรระวังในการบริโภค ได้แก่ สัตว์จำพวกหมึก ปลานำดอกไม้ ปลาทูแขก ปลากระโทงแห้งตาม ปลาหนวดๆ ปลากระโทงร่ม ปลาปากคม ปลาคลາมหางยาวหน้าหนู และปลาลัง ส่วนสัตว์ทะเลที่บริโภคได้มาก ส่วนใหญ่เป็นปลาหน้าดินซึ่งอยู่ในช่วงปริมาณ 10.43 – 57.45 กก./สัปดาห์ โดยปลาทรายแดง (*N. peroni*) บริโภคได้ปริมาณสูงที่สุด คือ 57.45 กก./สัปดาห์ ในภาพรวมไม่ควรบริโภคปลาจากทะเลอันดามันเกินกว่า 21.86 ± 14.99 กก./สัปดาห์ สำหรับผู้มีน้ำหนักตัว 60 กิโลกรัม

บทที่ 4

สรุปผลและข้อเสนอแนะ

จากการศึกษาระดับแอดเมิร์นในทรัพยากรปะมงจากอ่าวเบงกอล และทะเลอันดามัน (น่านน้ำพม่า) และการประเมินความเสี่ยงด้านสุขภาพ พบว่าในเนื้อสัตว์ทะเลเหล่านี้มีแอดเมิร์นปนเปื้อนและอาจมีความเสี่ยงต่อสุขภาพจากการได้รับแอดเมิร์นที่ปนเปื้อนจากการบริโภคสัตว์ทะเล สรุปได้ดังต่อไปนี้

4.1 ปริมาณแอดเมิร์นในเนื้อสัตว์ทะเลจากอ่าวเบงกอล

ตัวอย่างปลา 11 ชนิด 78 ตัว จากอ่าวเบงกอล ซึ่งเก็บตัวอย่างระหว่างวันที่ 25 ตุลาคม ถึง 21 ธันวาคม พ.ศ. 2550 ภายใต้โครงการ “The Joint Survey of BI-STECC Member Countries on Assessment and Management of Marine Resources in the Bay of Bengal” โดยใช้เครื่องมือประเมิน 2 ประเภท คือ เบ็ดราวน้ำลึก (pelagic longline) และอวนลอห์ (drift gillnet) พบว่า ปลากระโทงแทงดาว (X. gladius) มีแอดเมิร์นสะสมมากที่สุด เนลี่ยเท่ากับ 0.066 ± 0.061 มก./กг. น้ำหนักเปียก รองลงมา คือ ปลาฉลามครีบด่าง (C. brachyurus) มีแอดเมิร์นเฉลี่ย 0.039 ± 0.023 มก./กг. น้ำหนักเปียก ส่วนปลาที่มีแอดเมิร์นปนเปื้อนเฉลี่ยน้อยที่สุด คือ ปลาฉลามหางยาวหน้าหนู (*A. superciliosus*) มีแอดเมิร์นเฉลี่ย เท่ากับ 0.019 ± 0.008 มก./กг. น้ำหนักเปียก

อย่างไรก็ตามแอดเมิร์นที่ปนเปื้อนในเนื้อสัตว์ทะเลห้าง 11 ชนิด มีปริมาณใกล้เคียงกัน คือ ไม่เกิน 0.05 มก./กг. น้ำหนักเปียก เนื่องจากเป็นกลุ่มปลาที่มีพฤติกรรมที่เหมือนกัน คือ กินสัตว์เป็นอาหารและทุกชนิดเป็นปลากลางน้ำ (pelagic) และมีขนาดไม่แตกต่างกัน

จากค่ามัธยฐาน เมื่อเทียบกับเกณฑ์การยอมให้มีได้ของแอดเมิร์นในปลาตามข้อบังคับคณะกรรมการยุโรป (EU, 2006) ซึ่งยอมให้มีแอดเมิร์นในเนื้อปลาทั่วไป 0.05 มก./กг. ส่วนปลา naklā บางชนิด (เช่น กลุ่มปลาทูน่า) ยอมให้มีได้ 0.1 มก./กг. ยกเว้นปลากระโทงแทงดาวที่ยอมให้มีได้ถึง 0.3 มก./กг. พบว่า ปลาส่วนใหญ่จากอ่าวเบงกอลที่วิเคราะห์ในการศึกษาครั้งนี้ ยังอยู่ในเกณฑ์ที่ปลอดภัยในการบริโภค และเมื่อเทียบกับเกณฑ์ของกระทรวงสาธารณสุขไทย (2548) ที่ยอมให้ในอาหารมีแอดเมิร์นสูงถึง 1.0 มก./กг. การปนเปื้อนของแอดเมิร์นในปลาจากอ่าวเบงกอลจึงยังอยู่ในระดับที่ต่ำ

4.2 ปริมาณแอดเมียโนในเนื้อสัตว์ทะเลจากทะเลอันดามัน (น้ำน้ำม่า)

ตัวอย่างสัตว์ทะเล 32 ชนิด 230 ตัวอย่าง จากทะเลอันดามันในเขตน่านน้ำม่า ซึ่งเก็บตัวอย่างระหว่างวันที่ 1 กุมภาพันธ์ ถึง 15 มีนาคม พ.ศ. 2550 ภายใต้โครงการ “The National Research Survey in the EEZ of Myanmar Waters” โดยใช้เครื่องมือประมง 3 ประเภท คือ awan ลากหน้าดิน (bottom trawl) และเบ็ดราวน้ำลึก (pelagic longline) พบว่ากลุ่มหมึก (*Loligo* spp.) มีแอดเมียโนสูงกว่าสัตว์ทะเลในกลุ่มอื่น หมึกลัวย (*L. duvauceli*) มีแอดเมียโนสูงที่สุด คือ 0.214 ± 0.053 มก./กก. น้ำหนักเปียก รองลงมา คือ หมึก (*Loligo* sp.) มีปริมาณแอดเมียโนสูงที่สุดในเนื้อ 0.18 ± 0.003 มก./กก. น้ำหนักเปียก ส่วนสัตว์ทะเลที่มีแอดเมียโนปนเปื้อนเฉลี่ยน้อยที่สุด ได้แก่ ปลาทรายแดง (*N. peronii*) มีแอดเมียโนสูง เท่ากับ 0.007 ± 0.002 มก./กก. น้ำหนักเปียก

จากค่ามัธยฐาน เมื่อเทียบกับเกณฑ์ตามข้อบังคับคณะกรรมการอาหารยุโรป (EU, 2006) ซึ่งยอมให้มีแอดเมียโนในเนื้อปลาทั่วไป ปานักล่าบางชนิด ปลากระโงeng แทบและหมึก เท่ากับ 0.05, 0.1, 0.3 และ 1.0 มก./กก. พบว่า มีปลา 5 ชนิด ที่มีแอดเมียโนปนเปื้อนสูงกว่าเกณฑ์ที่กำหนด คือ ปลาทูแซก (*D. russelli*) ปลาปากคม (*Saurida* sp.) ปลาหนวดญาญี (*U. moluccensis*) ปลากระโงร่ม (*I. platypterus*) และ ปลาหน้าดอกไม้ (*S. barracuda*) แต่ยังต่ำกว่าค่ามาตรฐานของกระทรวงสาธารณสุขไทย (2548) ที่กำหนดให้อาหารทุกชนิดไม่ควรมีแอดเมียโนเกิน 1.0 มก./กก.

4.3 การประเมินความเสี่ยง

4.3.1 ความเสี่ยงในการบริโภคปลาจากอ่าวเบงกอล

ค่าสัดส่วนความเสี่ยง (Hazard Quotient; HQ) ของการได้รับแอดเมียโนจากการบริโภคปลาจากอ่าวเบงกอล ทั้ง 11 ชนิด ส่วนใหญ่มีค่าอยู่ในช่วง $0.011 - 0.017$ ยกเว้นปลากระโงeng แทบและปลาลามาร์บีนด่าง ที่แม้ว่าจะมีค่า HQ สูงกว่าปลาชนิดอื่น โดยมีค่า 0.035 และ 0.036 ตามลำดับ แต่ยังมีค่าต่ำกว่า 1 อุ่มมาก ดังนั้นการบริโภคปลาจากอ่าวเบงกอลจึงไม่ก่อให้เกิดความเสี่ยงจากแอดเมียโนต่อสุขภาพของผู้บริโภค

4.3.2 ความเสี่ยงในการบริโภคสัตว์ทะเลจากทะเลอันดามัน (น้ำน้ำม่า)

ค่า HQ ของการได้รับแอดเมียโนจากสัตว์ทะเลจากทะเลอันดามัน (น้ำน้ำม่า) ทั้ง 32 ชนิด พบว่า หมึกลัวย (*L. duvauceli*) มีค่า HQ มากที่สุด คือ 0.115 ปลากรางน้ำ ที่มีค่า HQ อุ่น ในช่วง $0.025 - 0.076$ ส่วนปลาหน้าดินมีค่า HQ น้อยที่สุด คือ อุ่นในช่วง $0.004 - 0.023$ ซึ่งยังมีค่าต่ำกว่า 1 อุ่มมาก ดังนั้น จึงยังไม่ก่อให้เกิดความเสี่ยงจากแอดเมียโนต่อสุขภาพของผู้บริโภค

4.4 ปริมาณที่ปลอดภัยในการบริโภคต่อสัปดาห์

4.4.1 ปริมาณที่ปลอดภัยในการบริโภคปลาจากอ่าวเบงกอล

จากค่า PTWI (Provisional Tolerable Weekly Intake) ของปลาทั้ง 11 ชนิด จากอ่าวเบงกอล พบว่า ค่า PTWI เฉลี่ย หรือปริมาณที่บริโภคได้ปลอดภัยเฉลี่ยอยู่ที่ 14.55 ± 4.44 กก./สัปดาห์ สำหรับผู้มีน้ำหนักตัว 60 กิโลกรัม

ปลาที่มีค่า PTWI หรือสามารถบริโภคได้มากที่สุด คือ ปลาฉลามหางยาวหน้าหนู รองลงมา คือ กลุ่มปลาทูน่า ยกเว้น ปลาทูน่าครีบเหลือง (*T. Albacares*) ส่วนปลาที่มีค่า PTWI น้อยที่สุด คือ ปลาฉลามครีบด่างและปลากระโทงแท่งดาว โดยผู้ที่มีน้ำหนักตัวปกติที่ 60 กก. สามารถบริโภคปลาฉลามหางยาวหน้าหนูได้ 21 กก./สัปดาห์ บริโภคปลาในกลุ่มปลาทูน่าในช่วง 15.56 – 19.09 กก./สัปดาห์ ส่วนการบริโภคปลาฉลามครีบด่างและปลากระโทงแท่งดาวอยู่ที่ 6.27 และ 6.46 กก./สัปดาห์ ตามลำดับ

สำหรับชาวເອເຊີຍທະວັນອອກເຄີຍໄດ້ ซึ່ມື້ນໍາຫັນກເລີ່ມຍູ້ທີ່ 50 กກ. สามารถบริโภคปลาฉลามหางยาวหน้าหนูได้ 17.5 กก./สัปดาห์ บริโภคปลาในกลุ่มปลาทูน่าในช่วง 12.96 – 15.91 กก./สัปดาห์ ส่วนการบริโภคปลาฉลามครีบด่างและปลากระโทงแท่งดาวอยู่ที่ 5.22 และ 5.38 กก./สัปดาห์ ตามลำดับ

4.4.2 ปริมาณที่ปลอดภัยในการบริโภคสัตว์ทะเลจากทะเลอันดามัน (น່າໜ້າພມ່າ)

จากค่า PTWI ของสัตว์ทะเลทั้ง 32 ชนิด จากทะเลอันดามัน (น່າໜ້າພມ່າ) พบว่า ค่า PTWI เฉลี่ย หรือปริมาณที่บริโภคได้ปลอดภัยเฉลี่ยอยู่ที่ 21.86 ± 14.99 กก./สัปดาห์ สำหรับผู้มีน้ำหนักตัว 60 กิโลกรัม

ปลาที่มีค่า PTWI หรือสามารถบริโภคได้มากที่สุด คือ ปลาทรายแดง (*N. Peroni*) และที่บริโภคได้น้อยที่สุด คือ สัตว์ทะเลในกลุ่มหมึก โดยผู้ที่มีน้ำหนักตัวปกติที่ 60 กก. สามารถบริโภคปลาทรายแดงได้ 57.45 กก./สัปดาห์ และบริโภคหมึกกล้วย (*L. duvauceli*) ได้น้อยที่สุด คือ ไม่เกิน 1.96 กก./สัปดาห์ โดยบริโภคสัตว์ทะเลในกลุ่มปลาหน้าดิน กลุ่มปลากลางน้ำ (ซึ่งเป็นปลาบากล่า) และกลุ่มหมึก ได้ในช่วง 3.85 – 57.45, 2.96 – 8.94 และ 1.96 – 2.33 กก./สัปดาห์

สำหรับชาวເອເຊີຍທະວັນອອກເຄີຍໄດ້ ซື່ມື້ນໍາຫັນກເລີ່ມຍູ້ທີ່ 50 กກ. สามารถบริโภคปลาทรายแดงได้ 47.88 กก./สัปดาห์ และบริโภคหมึกกล้วยได้ไม่เกิน 1.63 กก./สัปดาห์ โดยบริโภคสัตว์ทะเลในกลุ่มปลาหน้าดิน กลุ่มปลากลางน้ำ และกลุ่มหมึก ได้ในช่วง 3.2 – 47.88, 2.47 – 7.45 และ 1.63 – 1.94 กก./สัปดาห์

4.5 ข้อเสนอแนะ

- 1) ไม่ควรบริโภคปลางนาดใหญ่และหมึกในปริมาณมาก เนื่องจากปลางนาดใหญ่และหมึก มีแคลดเมียมสะสมสูงกว่าปลางนาดเด็ก
- 2) ควรศึกษาการปนเปื้อนของแคลดเมียมอย่างต่อเนื่อง เนื่องจากแคลดเมียมเป็นโลหะปริมาณน้อยที่มีพิษสูง และสามารถสะสมในร่างกายของสิ่งมีชีวิตและสิ่งแวดล้อม และถ่ายทอดผ่านทางห่วงโซ่ออาหาร ซึ่งส่งผลต่อสุขภาพของมนุษย์ที่อยู่ในลำดับสูงสุดของห่วงโซ่ออาหาร
- 3) เนื่องจากแคลดเมียมมีความเป็นพิษสูง แต่เกณฑ์มาตรฐานของแคลดเมียมของกระทรวงสาธารณสุขไทย (2548) ที่กำหนดเกณฑ์ยอมให้ในอาหารมีแคลดเมียมสูงถึง 1.0 มก./กг. เพียงค่าเดียว ซึ่งสูงมาก เมื่อเทียบกับเกณฑ์ข้อบังคับคณะกรรมการธุรกิจรายได้ (EU, 2006) ที่ยอมให้มีแคลดเมียมในเนื้อปลาหัวไป ปานักลับบางชนิด ปลาระโายนแทงคាប และหมึก เท่ากับ 0.05, 0.1, 0.3 และ 1.0 มก./กг. ดังนั้นในระยะยาวจะต้องลดสารแคลดเมียมในอาหารไทยครับ

บรรณานุกรม

- กระทรวงสาธารณสุข. 2548. ประกาศคณะกรรมการมาตรฐานสินค้าเกษตรและอาหารแห่งชาติ เรื่อง กำหนดมาตรฐานสินค้าเกษตรและอาหารแห่งชาติ: ปลาหมึก พ.ศ. 2548 ราชกิจจานุเบกษา เล่มที่ 122 ตอนที่ 82 วันที่ 29 กันยายน 2548.
- กรมทรัพยากรธารณ์. โฉมเพจ. 2550. ฐานข้อมูลธรณีวิทยาบริเวณทะเลอันดามัน เข้าถึงได้จาก <http://www.dmr.go.th/geothai/andaman.geo.html>. (สืบค้นเมื่อ 4 มิถุนายน 2550).
- กลุ่มวิจัยและวิเคราะห์สถิติการประมง. โฉมเพจ. 2550. สถิติการประมง 2547. เข้าถึงได้จาก <http://www.fisheries.go.th/it-stat/Index.html> (สืบค้นเมื่อ 6 ธันวาคม 2550).
- เขมชิต ธนากิจชัญเจริญ, นงนาถ เมฆรังสิมันต์ และสุรชัย ศิลามณี. 2551. ประโยชน์และความ เป็นพิษของโลหะแอดเมียม. วศ. กรมวิทยาศาสตร์บริการ. 5 หน้า.
- พิพัฒน์ นพคุณ กาญจนा พันธุ์เวช และสุพัฒน์ แสงสาวย. 2007. แอดเมียมในผลิตภัณฑ์อาหารทะเล (พ.ศ. 2538 - 2548). ว. กรมวิทย์ พ 2550. 49(3):210-216.
- พงศ์เทพ วิวรรณะเดช. 2547. การประเมินความเสี่ยงด้านสุขภาพ. ภาควิชาเวชศาสตร์ชุมชน คณะแพทยศาสตร์, มหาวิทยาลัยเชียงใหม่. นนทบุรี. 245 หน้า.
- แม่น ออมสีทธิ์ และอมร เพชรสุม. 2535. *Principles and Techniques of Instrumental Analysis*. กรุงเทพฯ : ชวนพิมพ์. 886 หน้า.
- เรืองไร โตกุณณะ. 2548. ทรัพยากรป่าไม้ไทยกับนโยบายทรัพยากรธรรมชาติและ สิ่งแวดล้อม. เข้าถึงได้จาก <http://www.thaienviforum.net>. (สืบค้นเมื่อ 17 มีนาคม 2550).
- ศูนย์วิจัยและพัฒนาประมงทะเลอันดามัน. 2550. รายงานการประชุมศูนย์วิจัยและพัฒนาประมง ทะเลอันดามัน. กรมประมง.
- ส่วนเศรษฐกิจต่างประเทศ ธนาคารเพื่อการส่งออกและนำเข้าแห่งประเทศไทย. 2548. ก้าว ธรรมชาติและน้ำมันในประเทศไทย. เข้าถึงได้จาก http://www.exim.go.th/doc/research/targeted_country/6924.pdf (สืบค้นเมื่อ 6 ธันวาคม 2550).
- สำนักงานมาตรฐานสินค้าเกษตรและอาหารแห่งชาติ กระทรวงเกษตรและสหกรณ์. 2548. หลักการทำงานในการวิเคราะห์ความเสี่ยง ราชกิจจานุเบกษา ฉบับประกาศที่ว่าไป เล่ม 122 ตอนที่ 122 วันที่ 22 ธันวาคม พุทธศักราช 2548.
- Adriano, DC. 2001. Trace elements in terrestrial environments: biochemistry, bioavailability and the risks of metals. 2nd ed. Springer. New York.

- Agusa, T., T. Kunito, A. Sudaryanto, I. Monirith, S. Kan-Atireklap, H. Iwata, A. Ismail, J. Sanguansin, M. Muchtar, T. Seang Tana and S. Tanabe. 2007. Exposure assessment for trace elements from consumption of marine fish in Southeast Asia. *Env Poll.* 145:766-777.
- AMAP.1998. *Assessment report: Arctic Pollution Tissues Arctic Monitoring and Assessment Programme*, Oslo.
- Amundsen, P., F. Stalvik and A. Lukin. 1997. Heavy metal contamination in freshwater fish from the border region between Norway and Russia. *Sci. Total Environ.* 201: 211–224.
- AOAC. International. 2006. *AOAC official method of analysis*. Arlington: AOAC International.
- ATSDR. 1999. *Toxicological Profile for Cadmium. Agency for Toxic Substances and Disease Registry*. US Department of Health and Human Services, Public Health Service. Atlanta, GA.
- Bernard, A., H. Roels, J.P. Buchet, A. Cardenas and R. Lauwerys. 1992. Cadmium and Health. The Belgian Experience. *IARC Sci. Publ.*, Lyon, France. 118:15-33.
- Boyle, E.A. 2001. *Anthropogenic trace elements in the ocean*. Encyclopedia of Ocean Sciences 2003 Available from www.sciencedirect.com, Elsevier.
- Bruland, K.W. and M.C. Lohan. 2004. Controls of trace metals in seawater In: Treatise on geochemistry, Available from www.sciencedirect.com,Elsevier.
- Burger, J. and M. Gochfeld. 2005. Heavy metals in commercial fish in New Jersey. *Environ.Res.* 99:403–413.
- Bustamante, P., F. Caurant, S.W. Fowler and P. Miramand. 1998. Cephalopods as a vector for the transfer of cadmium to top marinepredators in the north-east Atlantic Ocean. *Sci. Total Environ.* 220:71-80.
- CAC. 2005. Codex Alimentarius Commission-Procedural manual, 15th ed., WHO and FAO, Rome.
- Canese, S., F. Garibaldi, L. Orsi Relini and S. Greco1. 2008. Swordfish tagging with pop-up satellite tags in the Mediterranean Sea. *Collect. Vol. Sci. Pap. ICCAT.* 62(4): 1052-1057.
- Caurant, F. and C. Amiard-Triquet. 1995. Cadmium contamination in pilot whales Globicephala melas: Source and potential hazard to the species. *Marine. Poll. Bull.* 30(3):207-210.

- Correia, A., R. Freydier, R. J. Delmas, J. C. Simoes, J.-D. Taupin, B. Dupre and P. Artaxo. 2003. Trace elements in South America aerosol during 20th century inferred from a Nevado Illimani ice core, Eastern Bolivian Andes. *Atmos. Chem. Phys.* 3:1337–1352.
- Dutta, K., B. Ravi and B.L.K. Somayajulu. 2007. Rapid vertical mixing rates in deep waters of the Andaman Basin. *Sci. Total Environ.* 384:401–408.
- EC. 2001. Position paper on Ambient Air Pollution by As, Cd and Ni Compounds. Working Group on Arsenic, Cadmium and Nickel Compounds, Office for Official Publications of the European Communities, Luxembourg. 314p.
- ECB. 2003. Risk Assessment: Cadmium metal/Cadmium oxide. *Final Draft RAR*. European Chemicals Bureau, Ispra, Italy.
- EU. 2006. European Commission Regulation, EC. No. 1881/2006 of 19 December 2006 setting maximum levels for certain contaminants in foodstuffs. *Official Journal of the European Union, L* 364/5 - 364/24.
- FAO. 2005. Food Security Statistics. Available from http://www.fao.org/faostat/foodsecurity/index_en.htm. (ສຶບຕົນເມື່ອ 15 ຕຸລາຄົມ 2551).
- Friedman, P.A. and F.A. Gesek. 1994. Cadmium uptake by kidney distal convolute tubule cells. *Toxicol. Appl. Pharmacol.* 128:257–263.
- Froese, R. and D. Pauly. 2009. Fish Base. World Wide Web electronic publication. www.fishbase.org, version (03/2009). (ສຶບຕົນເມື່ອ 15 ມິນາຄົມ 2550).
- Government of Canada Environment Canada and Health Canada. 1994. *Cadmium and its compounds*. Priority Substances List Assessment Report. ISBN 0-662-22046-3.
- Grimanis, A.P., D. Zafropoulos and M. Vassilaki-Grimani. 1978. Trace elements in flesh and liver of two species from polluted and unpolluted areas of the Aegean Sea. *Environ. Sci. Technol.* 12:723–726.
- Habeebu, S.S.M., J. Liu and C.D. Klassen. 1998. Cadmium-induced apoptosis in mouse liver. *Toxicol. Appl. Pharmacol.* 149:203–9.
- Hansen, E., Lassen, C. and Maxson, P. 2005. *RoHS Substances .Hg, Pb, Cr.VI, Cd, PBB and PBDE. in electrical and electronic equipment in Belgium*. Directorate-General Environment, Federal Public Service Health, Food Chain Safety and Environment, Belgium.

- Hussain, M.A. 1994. Prospects Strategies for development of sea farming in Bangladesh. A Paper Presentation the Workshop on Sustainable Development of Marine Fisheries Resources in Bangladesh held at Cox's Bazar.
- IARC.1993. Cadmium and Certain Cadmium Compounds. In: IARC monographs on the evaluation of the carcinogenic risk of chemicals to humans. Beryllium, cadmium, mercury and exposures in the glass manufacturing industry. *IARC monographs, Vol. 58*" Lyon, France: World Health Organization. International Agency for Research on Cancer. 119-146:210-236.
- ICdA. 2005. *Cadmium Markets and Trends - September 2005. International Cadmium Association*, Brussels, Belgium.
- IPCS. 1992. *Cadmium - environmental aspects. Environmental Health Criteria 135*. World Health Organisation, International Programme on Chemical Safety (IPCS), Geneva, Switzerland.
- Islam, S. 2003. Perspectives of the coastal and marine fisheries of the Bay of Bengal Bangladesh. *Ocean Coast. Manage.* 46:763–796.
- Ismail, H.M. 2005. The role of omega-3 fatty acids in cardiac protection: An overview. *Frontiers of Bioscience*. 10:1079–1088.
- Järup, L., L. Hellstrom, T. Alfven, M.D. Carlsson, A. Grubb, B. Persson and C. Pettersson, et al. 2000. Low level exposure to cadmium and early kidney damage: the OSCAR study. *Occup. Environ. Med.* 57:668–672.
- JECFA. 2005. Summary of Evaluations Performed by the Joint FAO/WHO Expert Committee on Food Additives – Cadmium. Available from <http://www.inchem.org/documents/j>.
- Kamesh Raju, K.A., T. Ramprasad, P.S. Rao, B.R. Rao and J. Varghese. 2004. New insights into the tectonic evolution of the Andaman Basin Northeast Indian Ocean. *Earth Planet Scienc. Letter*. 221:145–62.
- Katzantzis, G. 2004. Cadmium, osteoporosis, and calcium metabolism. *Biometals*. 17:493–8.
- Kjellstrom, T. 1992. Mechanism and Epidemiology of Bone Effects of Cadmium. *IARC Sci. Publ.* Lyon, France. 301–310.
- Klaassen, C.D. and J. Liu. 1997. Role of metallothionein in cadmium induced hepatotoxicity and nephrotoxicity. *Drug. Metab. Rev.* 29:79-102.

- Klasing K.C. 2005. *Cadmium In Mineral Tolerances of Animals*. National Research Council, The National Academies and Washington, DC.
- Kofi, A.D. 2002. Public Health Risk Assessment for Human Exposure to Chemicals; Environmental Pollution, Vol. 6. Kluwer Academic Publishers, London.
- Kojadinovic, J., M. Le Corre, R.P. Cosson and P. Bustamante. 2007. Trace elements in three marine birds breeding on Reunion Island. Western Indian Ocean. part 1: factors influencing their bioaccumulation. *Arch. Environ. Contam. Toxicol.* 52(3):418-430.
- Kris-Etherton, P.M., W.S. Harris, and L.J. Appel. 2002. For the Nutrition Committee. AHA scientific statement, 2002. Fish consumption, fish oil, omega-3 fatty acids and cardiovascular disease. *Circulation* 106:2747–2757.
- Kuester, R.K., M.P. Waalkes, P.L. Goering, B.L. Fisher, R.S. Mccuskey and I.G. Sipes. 2002. Differential hepatotoxicity induced by cadmium in Fisher 344 and Sprague–Dawley rats. *Toxicol. Sci.* 65:151-9.
- Lane, T.W., M.A. Saito, G.N. George, I.J. Pickering, R.C. Prince and F.M.M. Morel. 2005. A cadmium enzyme from a marine diatom. *Nature*. 435:42-49.
- Lobet, J.M., G. Falco, C. Casas, A. Teixido and J.L. Domingo. 2003. Concentrations of arsenic, cadmium, mercury and lead in common foods and estimated daily intake by children, adolescents, adults and seniors of Catalonia, Spain. *J. Agric. Food Chem.* 51:838–842.
- Macdonald, R.W., L.A Barrie, T.F. Bidleman, M.L. Diamond, D.J. Gregor, R.G. Semkin and Strachan, W.M.J. 2000. Contaminants in the Canadian Arctic: 5 years of progress in understanding sources, occurrence and pathways. *Sci. Total Environ.* 254:93–234.
- McLaughlin, M.J. Bell, M.J. Wright, G.C. and G.D., Cozens. 2000. Uptake and partitioning of cadmium by cultivars of peanut. *Plant and Soil*. 222:51–58.
- Mc Lean, J.E and B.E. Bledsoe. 1992. *Behavior of Metals in Soils*. Ground Water Issue. U.S.
- Migliarini, B., A.M. Campisi, F. Maradonna, C. Truzzi, A. Annibaldi and G. Scarponi. 2005. Effects of cadmium exposure on testis apoptosis in the marine teleost *Gobius niger*. *Gen. Comp. Endocrinol.* 142:241-247.
- Mwashote, B.M. 2003. Levels of cadmium and lead in water, sediments and selected fish species in Mombasa, Kenya. *Western Indian Ocean J. Mar. Sci.* 2.1:25-34.

- Nordberg, F.G. 2004. Cadmium and health in the 21st century-historical remarks and trends for the future. *BioMetals*. 17:485-489.
- Novelli, E.L.B., A.M. Lopes, A.S.E. Rodrigues, J.L.V.B. Filho and B.O. Ribas. 1999. Superoxide radical and nephrotoxic effect of cadmium exposure. *Int. J. Environ. Health Res.* 9:109–116.
- Nriagu, J.L., H.K.T Wong, G. Lawson and P. Daniel. 1998. Saturation of ecosystems with toxic metals in Sudbury basin, Ontario, Canada. *Sci. Total Environ.* 233:99–117.
- OECD. 2002. Limits on cadmium in plastics and PVC OECD Global Forum on Trade. Workshop on Environmental Requirements and Market Access Government of India, November 2002, New Delhi [http://webdomino1.oecd.org/comnet/ech/tradeandenv.nsf/viewHtml/index/\\$FILE/cadmium.pdf](http://webdomino1.oecd.org/comnet/ech/tradeandenv.nsf/viewHtml/index/$FILE/cadmium.pdf), May 2005.
- OSPAR. 2002. *Cadmium*. Hazardous Substances Series. OSPAR Commission 2002.
- Pagenkopf, G.K., 1983. Gill surface interaction model for trace metal toxicity to fishes: Role of complexation, pH, and water hardness. *Environ. Sci. Technol.* 17:342–347.
- Perkinelmer Inc., 2008. Inductively Coupled Plasma - Optical Emission Spectroscopy (ICP-OES). Available from:http://las.perkinelmer.com/local/Thailand/AS_ICPOES.htm. (ສຶບຄໍນເມື່ອ 15 ຕຸລາຄົມ 2551).
- Pierce, G.J., G. Stowassera, L.C. Hastie and P. Bustamante. 2008. Geographic, seasonal and ontogenetic variation in cadmium and mercury concentrations in squid Cephalopoda: Teuthoidea from UK waters. *Ecotoxicol. Environ. Saf.* 70:422–432.
- Piyakarnchana, T. 1980. The Present State of Mangrove Ecosystems in Southeast Asia and the Impact of Pollutant - THAILAND -. Available from: <http://www.fao.org/docrep/field/003/AB751E/AB751E00.HTM> (ສຶບຄໍນເມື່ອ 17 ກັນຍານ 2551).
- Powell, J.H., R.E. Powell and D.R. Fielder. 1981. Trace elements concentration in tropical marine fish at Bougainville Island, Papua New Guinea. *Water Air Soil Pollut.* 16:143–158.
- Provias, J.P., C.A. Ackerley, C. Smith and L.E. Becker. 1994. Cadmium encephalopathy: a report with elemental analysis and pathological findings. *Acta Neuropathol.* 88:583–586.
- Research Triangle Institute. 1999. *Toxicological Profile for Cadmium*. Report prepared for the US Department of Health and Human service under Contract No. 205-93-0606.

- Richardson, G.M., R. Garrett, I. Mitchell, M. Mah-Poulson and T. Hackbarth. 2001. Critical review on natural global and regional emissions of six trace metals to the atmosphere. Prepared for the International Lead Zinc Research Organisation, the International Copper Association, and the Nickel Producers Environmental Research Association.
- Robinson, J. and J. Shroff. 2004. Observations on the levels of total mercury (Hg) and selenium (Se) in species common to the artisanal fisheries of Seychelles. *Seychelles Med. Dent. J.* 7(1): 56-60.
- Rudnick, R.L. 2004. The Mantle and Core. In Holland H.K. and Turekian K.K. Treatise on Geochemistry. Oxford. Elsevier Science.
- Sadik, M. 1992. Cadmium in Toxic Metal Chemistry in Marine Environments In: Toxic Metal Chemistry in Marine Environments. M.Dekker, Inc. 130-132.
- Sauer, J.-M., M.P. Waalkes, S.B. Hooser, A.T. Baines, R.K. Kuester and I.G Sipes. 1997. Tolerance induced by all-trans-retinol to the hepatotoxic effects of cadmium in rats: role of metallothionein expression. *Toxicol. Appl. Pharmacol.* 143:110–19.
- Scheifler, R., A. Gomot-de Vaufleury, M.L. Toussaint and P.M. Badot. 2002. Transfer and effects of cadmium in an experimental food chain involving the snail *Helix aspersa* and the predatory carabid beetle *Chrysocarabus splendens*. *Chemosphere*. 48:571–579.
- Shen, Y.M. and S. Sangiah. 1995. Na⁺, K⁺, ATP, glutathione and hydroxyl free radicals in cadmium chloride induced testicular toxicity in mice. *Arch. Environ. Contam. Toxicol.* 29:174–179.
- Silva, A.M.M., E.L.B. Novelli, M.L. Fascinali and J.A. Almeida. 1999. Impact of an environmentally realistic intake of water contaminants and superoxide formation on tissues of rats. *Environ. Pollut.* 105:243-249.
- Sivaperumal, P., T.V. Sankar and P.G. Viswanathan Nair. 2007. Heavy metal concentrations in fish, shellfish and fish products from internal markets of India vis-a-vis international standards. *Food Chem.* 102:612–620.
- Storelli, M.M., R. Giacominelli, A. Storelli and G.O. Marcotrigiano. 2005. Accumulation of mercury, cadmium, lead and arsenic in Swordfish and Bluefin tuna from the Mediterranean Sea: a comparative study. *Mar. Pollut. Bull.* 44:281-288.

- Storelli, M.M. 2008. Potential human health risks from metals .Hg, Cd, and Pb. and polychlorinated biphenyls (PCBs) via seafood consumption: Estimation of target hazard quotients.THQs. and toxic equivalents (TEQs). *Food and Chem. Toxicol.* 46:2782–2788.
- Trusts, P. 2006. Marine Pollution. Available from: <http://www.motherjones.com/environment/2006/03/marine-pollution>. (สืบค้นเมื่อ 17 สิงหาคม 2551).
- US-EPA. 1989. Risk Assessment Guidance for Superfund Volume 1 Human Health Evaluation Manaul (Part A). EPA/540/1-89/002. December 1989.
- US-EPA. 1999. *Contaminant persistence and mobility factors*. United States Environmental Protection Agency, Office of Ground Water and Drinking Water.
- US-EPA. 2005. Risk-Based Concentration Table, April, 2005. U.S. EPA, Region 3, Philadelphia, PA. Available from: <http://www.epa.gov/reg3hwmd/risk/human/index.htm>. (สืบค้นเมื่อ 14 ตุลาคม 2551).
- US-EPA. 2008. Cadmium. CASRN 7440-43-9., Integrated Risk Information System. IRIS. Summaries/Toxicological Reviews. Available from: <http://www.epa.gov/ncea/iris/subst/0141.htm>. (สืบค้นเมื่อ 20 มิถุนายน 2551).
- Usero, J., C. Izquierdo, J. Morillo I. Gracia. 2003. Heavy metals in fish. *Solea vulgaris,Anguilla anguilla* and *Liza aurata* from SALT marshes on the southern Atlantic coast of Spain. *Environ. Int.* 29:949–956.
- USGS. 2006. *Mineral Commodity Summaries 2006*. U.S. Geological Survey, Reston, USA. Available from: <http://minerals.usgs.gov/minerals/pubs/mcs/2006/mcs2006.pdf>. (15 เมษายน 2551).
- Vinayachandran, P.N. and K. Jaison. 2007. Hydrographic observations and model simulation of the Bay of Bengal freshwater plume. *Deep-Sea Res.* 54:471–486.
- Wentink, G.H., T. Wensing and B.G. Kessels. 1992. Toxicity of cadmium in cattle. *TvD.* 117:548–50.
- WHO. 2000. *Chapter 6.3 Cadmium Air Quality Guidelines*. Second Edition.
- WHO. 2004. Evaluation of certain food additives and contaminants : sixty-first report of the Joint FAO/WHO Expert Committee on Food Additives. 922:127-137.

- Wisconsin Department of Natural Resources. 2008. Bioaccumulation. Available from: <http://dnr.wi.gov/org/water/wm/foxriver/whatarepcbs.html>. (ສຶບຄຸນເມື່ອ 17 ສິງຫາຄມ 2551).
- Wood, C.M. 2001. Toxic responses of the gill. In: Schlenk, D.B., W.H. (Eds.), Target Organ Toxicity in Marine and Freshwater Teleosts. Taylor and Francis, New York, 1-89.
- Xu, G., G. Zhou, T. Jin, T. Zhou, S. Hammarstrom, A. Bergh and G. Nordberg. 1999. Apoptosis and p53 gene expression in male reproductive tissues of cadmium exposed rats. *Biometals*. 12:131–9.
- Yamano, T., M. Shimizu and T. Noda. 1998. Comparative effects of repeated administration of cadmium on kidney, spleen, thymus, and bone marrow in 2, 4 and 8 month old male Wistar rats. *Toxicol. Sci.* 46:393–402.
- Zalups, R.K. and S. Ahmad. 2003. Molecular handling of cadmium in transporting epithelia. *Toxicol. Appl. Pharmacol.* 186:163–188.
- Zhifeng, B., A. Lina, A. Tao, C. Jinglong and Z. Yi. 2007. Synthesis, characterization, and cadmium. II. Uptake of iminodiacetic acid-modified mesoporous SBA-15 colloids and Surfaces. *Physico. chem.* 304:77-85.

ภาคพนวก

ภาคผนวก ก

หลักการเครื่องมือ ICP-OES

Inductively Coupled Plasma – Optical Emission Spectroscopy (ICP-OES) เป็นเทคนิคที่ใช้ในการวิเคราะห์หาปริมาณธาตุที่รู้จักและนิยมกันอย่างแพร่หลายมาเป็นระยะเวลากว่า 30 ปี เทคนิค ICP-OES ใช้หลักการวัดการคายแสงที่มีความยาวคลื่นเฉพาะตัวของอะตอมหรือไอออกของธาตุที่ต้องการวิเคราะห์ แสงที่คายออกมาจากอะตอมหรือไอออกของธาตุจะมีจำนวนมากมายหลายพันหลายหมื่นความยาวคลื่น ทำให้เทคนิคนี้จำเป็นต้องมีเครื่องมือที่มีประสิทธิภาพในการแยกแสงที่สูงมาก เครื่องมือจะมีแหล่งกำเนิดพลาสม่าซึ่งเป็นเปลวความร้อนสูง (6000 – 10000 K) เกิดจากชนกันของอนุภาครากอนที่แตกตัวโดยการเร่งพลังงานด้วยสนามแม่เหล็กและขดลวดทองแดง (Inductive Coupling) ทำหน้าที่เป็นแหล่งกำเนิดพลังงานที่ทำให้ธาตุในตัวอย่างที่ผ่านการสเปรย์ให้เป็นละอองฝอยถูกเผาให้แตกตัวและคายแสงออกมานะ แสงที่ได้จะเป็นแสงที่มีหลายความยาวคลื่น (Polychromatic Light) ซึ่งต้องผ่านการแยกแสงด้วยระบบแยกแสงประสิทธิภาพสูงให้เป็นความยาวคลื่นเดียว (Monochromatic Light) ตามในแต่ละธาตุที่ต้องการวิเคราะห์

เทคนิค ICP-OES เป็นเทคนิคที่มีสิ่งรบกวนน้อยนิดจากอุณหภูมิของพลาสมาก่อนข้างสูง มีช่วงความเข้มข้นของการสร้าง Calibration curve กว้างมาก (Linear Dynamic range สูง) ทำให้ ICP-OES ได้รับความนิยมอย่างแพร่หลายในช่วงหลัง ประกอบกับลักษณะของเทคนิคสามารถวิเคราะห์ธาตุในตัวอย่างได้มากกว่า 1 ธาตุในการวิเคราะห์แต่ละครั้ง ทำให้การวิเคราะห์เป็นไปได้อย่างรวดเร็ว สามารถนำไปใช้งานได้ในหลากหลายสายงาน เช่น งานทางสิ่งแวดล้อม เกษตรและอาหาร การแพทย์และเภสัชกรรม ธรณีวิทยา งานศึกษาวิจัย และอุตสาหกรรมต่าง ๆ อาทิ เช่น งานปิโตรเคมี งานชุมชนเคลื่อนผู้ด้วยไฟฟ้า พลิตชินส่วนต่าง ๆ ทางอุตสาหกรรม เป็นต้น

เทคนิค ICP-OES สามารถแบ่งออกตามชนิดของระบบแยกแสงได้ ดังนี้ ๆ ดังต่อไปนี้

Sequential ICP-OES

Sequential ICP-OES เป็นเครื่อง ICP-OES ที่ทำการแยกแสงเพื่อวิเคราะห์ทีละความยาวคลื่นอย่างต่อเนื่อง โดยใช้การเคลื่อนที่ของระบบ Optic ในการสแกนระบบนี้จะใช้เวลาในการวิเคราะห์ตามจำนวนธาตุที่วิเคราะห์ และไม่จำเป็นต้อง Warm เครื่องมือ เน茫ะกับงานที่มีจำนวนธาตุและจำนวนตัวอย่างไม่มากนัก (5-8 ธาตุต่อตัวอย่าง หรือไม่เกิน 100 ตัวอย่างต่อวัน)

Simultaneous ICP-OES

Simultaneous ICP-OES เป็นเครื่อง ICP-OES ที่ทำการแยกแสงเพื่อวิเคราะห์ทุกความยาวคลื่นพร้อมกัน โดยไม่มีการเคลื่อนที่ของระบบแยกแสง และใช้ Detector ขนาดใหญ่ระบบนี้จะใช้เวลาวิเคราะห์รวดเร็วและใช้เวลาวิเคราะห์เท่ากันไม่ว่าจะวิเคราะห์จำนวนชาตุเท่าไร แต่จำเป็นต้อง Warm เครื่องมือก่อนเริ่มวิเคราะห์ ทำให้เหมาะสมกับงานที่มีจำนวนชาตุและจำนวนตัวอย่างมาก

อย่างไรก็ตามเทคนิค ICP-OES เป็นเทคนิคที่สามารถวิเคราะห์ได้ในระดับ ppm หรือต่ำกว่าเด็กน้อย (detection Limit ไม่ต่ำกว่านัก โดยอยู่ระหว่าง Flame AAS กับ Graphite Furnace AAS) และจำเป็นต้องใช้ก๊าซาร์กอนในปริมาณที่ค่อนข้างสูงเพื่อหล่อแก๊สที่มีจำนวนชาตุที่วิเคราะห์ไม่มากนัก อีกทั้งราคาของเครื่องมือมีราคาค่อนข้างสูงเมื่อเทียบกับ Flame AAS (http://las.perkinelmer.com/local/Thailand/AS_ICPOES.htm)

หลักการ

สารละลายที่จะทำการวิเคราะห์จะถูกส่งเข้าเครื่อง โดยสารละลายจะถูกเปลี่ยนให้เป็นละอองลอย (aerosol) ด้วยกระบวนการ nebulization แล้วสารละลายตัวอย่างที่เป็นละอองนี้จะถูกพาเข้าพลาสมាលงของ ICP torch ซึ่งจะทำให้ตัวอย่างแห้งกลาญเป็นไอ กลาญเป็นอะตอมแล้วเกิดการกระตุ้นหรือไอออกไนส์ อะตอมหรือไออ่อนที่ถูกกระตุ้น (excited) จะเปล่งแสงซึ่งมีลักษณะเฉพาะออกมานะ แสงที่เกิดขึ้นนี้จะผ่านเข้าไปในเครื่องสเปกโตรมิเตอร์เพื่อแยกเอาเฉพาะแสงที่ต้องการวัดที่ความยาวคลื่นที่ต้องการ แล้วให้แสงดังกล่าวตกลงบนดีเทกเตอร์ เพื่อวัดออกมาน้ำหนักพิมพ์หรือเก็บไว้ด้วยเครื่องคอมพิวเตอร์ โดยสามารถตรวจวัดแคนเมียมที่ความยาวคลื่น 228.802 นาโนเมตร โดยมีผลลัพธ์ดังต่อไปนี้

Inductively Coupled Plasma Spectroscopy (ICPs) เป็นเทคนิคที่ใช้พลิทพลาasma โดยไม่ต้องมีข้าไฟฟ้า แต่มีก๊าซผสมตัวนำ (conducting gaseous mixture) ประกอบด้วยประจุบวกและอิเล็กตรอนจำนวนมากหนึ่ง ใช้สำหรับวิเคราะห์ธาตุในสารละลาย โดยการปล่อยให้อาร์กอนผ่านเข้าไปในคัน (torch) ซึ่งประกอบด้วยหลอดที่ทำด้วยควอตซ์ (quartz tube) ซ่อนกัน 3 ชั้น ที่ปลายคันค้านบนจะมีห้องทำด้วยทองแดงล้อมรอบอยู่ เรียกว่า “load coil” โดยขดลวดนี้จะต่อเข้ากับเครื่องส่งความถี่วิทยุ (radio frequency, RF generator) ที่มีหน้าที่ส่งคลื่นความถี่เข้าสู่หลอด จน

ทำให้เกิดกระแสไฟฟ้าสลับเคลื่อนที่ไปมาในหลอดทองแดง หรือเกิดการสั่น ด้วยอัตราเร็วเท่ากับความถี่ของเครื่องส่ง ในเครื่อง ICPs ส่วนมากจะใช้ความถี่ที่ 27 หรือ 40 เมกะเฮิรตซ์ (MHz) ทำให้เกิดสนามแม่เหล็กขึ้นที่บริเวณปลายคบ แล้วทำให้เกิดการซักนำให้มีกระแสไฟฟ้าไหลผ่านตัวนำจนมีความร้อน โดยสนามแม่เหล็กจะเร่งให้อิเล็กตรอนเคลื่อนเร็ว ทำให้มีพลังงานเพิ่มขึ้น เรียกว่าเกิด “Inductive Coupling” อิเล็กตรอนที่มีพลังงานสูงนี้จะชนกับอะตอมของก๊าซอาร์กอน ทำให้เกิดอิเล็กตรอนเพิ่มมากขึ้นเป็นปฏิกิริยาลูกโซ่ กลไกเป็นพลาสม่า จึงเรียกว่า Inductively Coupled Plasma (ICP) การปล่อยประจุพลาสมานี้จะให้ความร้อนที่อุณหภูมิประมาณ 1,000 – 10,000 K และมีความเสถียรมีอิทธิพลต่อการทำลาย 1-2 กิโลวัตต์ สารตัวอย่างที่วิเคราะห์สามารถอยู่ในพลาสมาได้นานนานถึง 2-3 นาที ทำให้สารตัวอย่างสามารถแตกตัวเป็นอะตอมได้อย่างมีประสิทธิภาพสูงและเปล่งแสงที่มีความยาวคลื่นที่แตกต่างของก๊าซตามลักษณะของชาตุ (แม่น อมรสิทธิ์ และอมร เพชรสุร, 2535) ดังแสดงในรูปที่ ก-1



รูปที่ ก - 1 เครื่องมือ Inductively Coupled Plasma - Optical Emission Spectroscopy (ICP-OES)
ยี่ห้อ Perkin-Elmer รุ่น Optima 2000 DV

ภาคผนวก ข

**ชื่อวิทยาศาสตร์ ชื่อสามัญ และรูปร่างของสัตว์ทะเลที่จับได้
จากอ่าวเบงกอล และทะเลอันดามัน (น่านน้ำม้า)**

ชื่อวิทยาศาสตร์ *Alopias superciliosus*

Common name Bigeye Tresher Shark

ชื่อสามัญ ฉลามหางยาวหน้าหนู



ชื่อวิทยาศาสตร์ *Carcharhinus falciformis*

Common name Silky Shark

ชื่อสามัญ ฉลาม Silky



ชื่อวิทยาศาสตร์ *Thunnus albacares*

Common name Yellowfin tuna

ชื่อสามัญ ทูน่าครีบเหลือง



ชื่อวิทยาศาสตร์ *Xiphias gladius*

Common name Sword fish

ชื่อสามัญ กระโทงแทงค้าบ



รูปที่ ข-1 สัตว์ทะเลจากอ่าวเบงกอล ซึ่งจับโดยใช้เบ็ดราวน้ำลึก (Pelagic longline)

ชื่อวิทยาศาสตร์ *Auxis thazard*

Common name Frigate mackerel

ชื่อสามัญ โอแกลน



ชื่อวิทยาศาสตร์ *Caranx Tille*

Common name Tille trevally

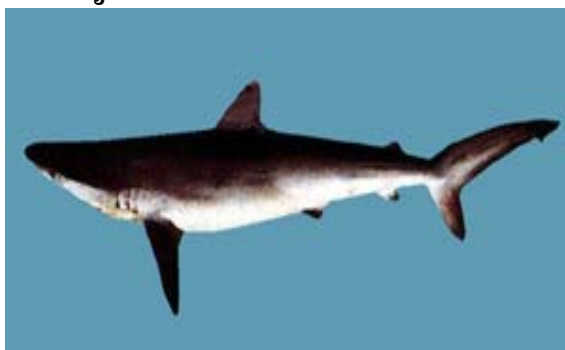
ชื่อสามัญ กระมง



ชื่อวิทยาศาสตร์ *Carcharhinus brachyurus*

Common name Copper shark

ชื่อสามัญ ฉลามครีบด่าง



ชื่อวิทยาศาสตร์ *Thunnus albacares*

Common name yellowfin tuna

ชื่อสามัญ ทูน่าครีบเหลือง



ชื่อวิทยาศาสตร์ *Euthynnus affinis*

Common name Jackerel tuna

ชื่อสามัญ โอคลาย



ชื่อวิทยาศาสตร์ *Kasuwonis pelamis*

Common name Skipjack tuna

ชื่อสามัญ ทูน่าท้องแอบ



รูปที่ ข-2 สัตว์ทะเลก่ออาเวงกอล ซึ่งจับโดยใช้อวนลอย (Drift gillnet)

ชื่อวิทยาศาสตร์ *Thunnus obesus*

Common name Bigeye tuna

ชื่อสามัญ ทูน่าตาโต



ชื่อวิทยาศาสตร์ *Xiphias gladius*

Common name swordfish

ชื่อสามัญ กระโทงแทงค้าบ



รูปที่ ข-2 (ต่อ)

ชื่อวิทยาศาสตร์ *Alepes djedaba*

Common name Shrimp scad

ชื่อสามัญ ลีกุน



ชื่อวิทยาศาสตร์ *Chrysochir aureus*

Common name Reeve's croaker

ชื่อสามัญ จวดเปี้ย



ชื่อวิทยาศาสตร์ *Cynoglossus cynoglossus*

Common name Bengal tongue sole

ชื่อสามัญ ลินหมา



ชื่อวิทยาศาสตร์ *Decapterus russelli*

Common name Indian scad

ชื่อสามัญ ทูแซก



ชื่อวิทยาศาสตร์ *Drepane punctata*

Common name African sicklefish

ชื่อสามัญ ใบโพธิ์จุด



ชื่อวิทยาศาสตร์ *Ephippus orbis*

Common name Orbfish

ชื่อสามัญ ใบปอ



รูป ข-3 สัตว์ทะเลจากทะเลือนดามัน (น่านน้ำพม่า) ซึ่งจับโดยใช้อวนลากหน้าดิน (bottom trawl)

ชื่อวิทยาศาสตร์ *Epinephelus coioides*

Common name Orange spotted grouper

ชื่อสามัญ กะรังดอกแดง



ชื่อวิทยาศาสตร์ *Nemipterus bipunctatus*

Common name Delagoa threadfin bream

ชื่อสามัญ ทรายแดง



ชื่อวิทยาศาสตร์ *Nemipterus japonicus*

Common name Japanese threadfin bream

ชื่อสามัญ ทรายแดงญี่ปุ่น



ชื่อวิทยาศาสตร์ *Nemipterus peronii*

Common name Notchedfin threadfin bream

ชื่อสามัญ ทรายแดง



ชื่อวิทยาศาสตร์ *Parupeneus sp.*

Common name Goatfish

ชื่อสามัญ แม่น



ชื่อวิทยาศาสตร์ *Pennahia macrocephalus*

Common name Big head pennah croaker

ชื่อสามัญ จวด



รูปที่ ข-3 (ต่อ)

ชื่อวิทยาศาสตร์ *Pennahia anea*

Common name Greyfin croaker

ชื่อสามัญ جادขาว



ชื่อวิทยาศาสตร์ *Priacanthus macracanthus*

Common name Red bigeye

ชื่อสามัญ ตาหวานจุดน้ำตาล



ชื่อวิทยาศาสตร์ *Pseudorhombus sp.*

Common name Largetooth flounder

ชื่อสามัญ ตาเดียว



ชื่อวิทยาศาสตร์ *Rastrelliger kanagurta*

Common name Indian mackerel

ชื่อสามัญ ดัง



ชื่อวิทยาศาสตร์ *Saurida elongata*

Common name Slender lizardfish

ชื่อสามัญ ปากคม



ชื่อวิทยาศาสตร์ *Saurida undosquamis*

Common name Brushtooth lizardfish

ชื่อสามัญ ปากคมหางจุด



รูปที่ ข-3 (ต่อ)

ชื่อวิทยาศาสตร์ *Sphyraena forsteri*

Common name Bigeye barracuda

ชื่อสามัญ สาก



ชื่อวิทยาศาสตร์ *Sphyraena jello*

Common name Pickhandle barracuda

ชื่อสามัญ สาก



ชื่อวิทยาศาสตร์ *Trachinocephalus myops*

Common name Snakefish

ชื่อสามัญ ปากคมหูดำ



ชื่อวิทยาศาสตร์ *Trichiurus lepturus*

Common name Largehead hairtail

ชื่อสามัญ ดาบ



ชื่อวิทยาศาสตร์ *Upeneus moluccensis*

Common name Goldband goatfish

ชื่อสามัญ หนวดถ่าน



ชื่อวิทยาศาสตร์ *Loligo devauceli*

Common name Splendid squid

ชื่อสามัญ หมึกกล้าม



รูปที่ ข-3 (ต่อ)

ชื่อวิทยาศาสตร์ *Alopias Superciliosus*

Common name Bigeye Thresher Shark

ชื่อสามัญ ฉลามหางยาวหน้าหนู



ชื่อวิทยาศาสตร์ *Istiophorus platypterus*

Common name Indo-Pacific sailfish

ชื่อสามัญ กระโทงร่ม



ชื่อวิทยาศาสตร์ *Sphyraena barracuda*

Common name Great barracuda

ชื่อสามัญ น้ำดอกไม้



ชื่อวิทยาศาสตร์ *Xiphias gladius*

Common name swordfish

ชื่อสามัญ กระโทงแทงคากบ



รูปที่ ข-4 สัตว์ทะเลจากทะเล้อนدامัน (น่านน้ำพม่า) จับโดยเบ็ดราวน้ำลึก (Pelagic longline)

ภาคผนวก ค

**ขนาด (หน้าหักและความยาว) ลักษณะการกินอาหาร และอินทีอยู่ของสัตว์ทะเลแต่ละชนิด
จากอ่าวเบงกอลและทะเลอันดามัน (น่านน้ำพม่า)**

- ตารางที่ ค-1 แสดงลักษณะของสัตว์ทะเลแต่ละชนิดที่จับได้จากอ่าวเบงกอลและทะเลอันดามัน (น่านน้ำพม่า)
- ตารางที่ ค-2 ขนาดของสัตว์ทะเลแต่ละตัวจากอ่าวเบงกอลที่จับได้โดยเบ็ดรวมน้ำลึก (Pelagic longline)
- ตารางที่ ค-3 ขนาดของสัตว์ทะเลแต่ละตัวจากอ่าวเบงกอลที่จับได้โดยอวนลอย (Drift gillnet)
- ตารางที่ ค-4 ขนาดของสัตว์ทะเลแต่ละตัวจากทะเลอันดามัน (น่านน้ำพม่า) ที่จับโดยอวนลากหน้าดิน (Bottom Trawl)
- ตารางที่ ค-5 ขนาดของสัตว์ทะเลแต่ละตัวจากทะเลอันดามัน (น่านน้ำพม่า) ที่จับโดยเบ็ดรวมน้ำลึก (Pelagic longline)

อักษรย่อในตาราง

| | | |
|-----|---|--------------------|
| FL | = | Folk length |
| SL | = | Standard length |
| HL | = | Head legth |
| BD | = | Body depth |
| EFL | = | Eye to folk length |
| BL | = | Body length |
| TL | = | Total length |

ตารางที่ ค-1 แสดงตัวอย่างทางชีววิทยาของสัตว์ทะเลที่ต้องชนิดที่ขึ้นไปติดก่อว่าเป็นกอและหะก้อนด้านบน (น้ำหน้าพม่า)

| ชื่อวิทยาศาสตร์ | ขนาดสูงสุด* | | สภาพแวดล้อม* | อาหาร* |
|------------------------------------|------------------|------------------|--|--|
| | ความยาว (ซม.) | หนาแน่น (กก.) | | |
| 1. <i>Alepes djedaba</i> | 40 | 0.124 | reef-associated; oceanodromous; marine | ปลากบามดเล็ก copepods และ crustaceans ขนาดเล็ก |
| 2. <i>Alopias superciliatus</i> | 488 | 363.8 | pelagic-oceanic; oceanodromous; marine | ปลาทิ่อ หรือญี่ปุ่นกลางน้ำ (lancefishes, herring, mackerel และ small billfishes) และปลาหานดิน รวมถึงหูหิ้ง |
| 3. <i>Auxis thazard</i> | 65 | 1.72 | pelagic-neritic; oceanodromous; marine | สัตว์น้ำขนาดเล็ก เช่น ปลาหมึก และ planktonic crustaceans (megalops) และตัวอ่อนของ stomatopod |
| 4. <i>Caranx Tille</i> | 80 | 7.2 | reef-associated; marine | ปลากะรัง และ crustaceans |
| 5. <i>Carcharhinus brachyurus</i> | 325 | 304.6 | reef-associated; oceanodromous; brackish; marine | ปลากะรังน้ำเค็ม รวมทั้ง cephalopods คลานบนหาดเล็ก และ กะรังน้ำ |
| 6. <i>Carcharhinus falciformis</i> | 350 | 346 | reef-associated; oceanodromous; marine | ส่วนใหญ่เป็นปลาโนนต่ำบางครั้งกินหนอนแมลงพะรุง รวมทั้งทูตอ่าสัช กะรังน้ำ |
| 7. <i>Chrysochir aureus</i> | 30 (SL) | - | benthopelagic; brackish; marine | crustaceans ขนาดเล็ก |
| 8. <i>Cynoglossus cynoglossus</i> | 20 | - | demersal; brackish; marine | สัตว์น้ำดิน ไม่มีกระดูกสันหลัง |
| 9. <i>Decapterus russelli</i> | 45 | 45 | benthopelagic; marine | ส่วนใหญ่จะเป็นแมลงพลดอกต้อนบน ผลักดันที่ไม่มีกระดูกสันหลัง |
| 10. <i>Drepane punctata</i> | 50 | - | reef-associated; amphidromous; brackish; marine | สัตว์น้ำ มีกระดูกสันหลังและปลาหองน้ำขนาดเล็ก |
| 11. <i>Ephippus orbis</i> | 25 | - | reef-associated; amphidromous; marine | บำรุง สัตว์น้ำดินที่ไม่มีกระดูกสันหลังและเต่ายารอินทรีที่น้ำกรด (Detritus) |
| 12. <i>Epinephelus coioides</i> | 120 | 15 | reef-associated; brackish; marine | สัตว์น้ำขนาดเล็ก เช่น ปลา กุ้ง และปลากะรัง |
| 13. <i>Euthynnus affinis</i> | 100 | 14 | pelagic-neritic; oceanodromous; marine | ปลาขนาดเล็กทุกชนิด โดยเฉพาะ clupeoids, atherinids ตัวน้ำใหญ่ เช่นหมึก crustaceans และแพลงก์ตอนทะเล |

* (Froese and Pauly, 2009)

ตารางที่ ก-1 (ต่อ)

| ชื่อวิทยาศาสตร์ | ขนาดสูงสุด* | | สภาพแวดล้อม* | อาหาร* |
|-------------------------------------|------------------|------------------|---|---|
| | ความยาว (ซม.) | หนาแน่น (กก.) | | |
| 14. <i>Istiophorus platypterus</i> | 348 | 100.2 | pelagic-oceanic; oceanodromous; marine | ปลาน้ำเดียว; ร่วมทะเล crustaceans และ cephalopods |
| 15. <i>Kasuwonis pelamis</i> | 110 | 34.5 | pelagic-oceanic; oceanodromous; marine | ปลา crustaceans, cephalopods และ mollusks มากถึงร้อยเปอร์เซนต์ |
| 16. <i>Loligo duvauceli</i> | 20-35 | - | pelagic; marine - neritic | ปลา crustaceans และ หมึกชนิดอ่อน |
| 17. <i>Loligo</i> sp. | 20-35 | - | pelagic; marine - neritic | ปลา crustaceans และ หมึกชนิดอ่อน |
| 18. <i>Nemipterus bipunctatus</i> | 30 | - | demersal; non-migratory; marine | ส่วนใหญ่จะเป็น crustaceans, cephalopods (หมึก), ปลาขนาดเล็ก และ polychaetes |
| 19. <i>Nemipterus japonicus</i> | 32 | 0.596 | demersal; non-migratory; marine | ปลาขนาดเล็ก crustaceans, mollusks (เต่าในหมู่ปะบัน cephalopods), polychaetes และ echinoderms |
| 20. <i>Nemipterus peronii</i> | 29 | - | demersal; non-migratory; brackish; marine | ปลา crustaceans, mollusks และ polychaetes |
| 21. <i>Nemipterus</i> spp. | 23 | - | demersal; marine | สัตว์น้ำไม่มีกระดูกสันหลังขนาดเล็กและกลางขนาดเล็ก |
| 22. <i>Parupeneus</i> spp. | 23-30 | - | demersal; marine | crustaceans ขนาดเล็ก และปลาขนาดเล็ก |
| 23. <i>Pennahia macrocephalus</i> | 23 | - | demersal; marine | crustaceans ขนาดเล็ก และปลาขนาดเล็ก |
| 24. <i>Pennahia anea</i> | 30 | - | demersal; marine | crustaceans ขนาดเล็ก และปลาขนาดเล็ก |
| 25. <i>Priacanthus macracanthus</i> | 30 | - | reef-associated; oceanodromous; marine | ปลา |
| 26. <i>Pseudorhombus</i> sp. | 45 | - | demersal; marine | สัตว์หินดิน |
| 27. <i>Restrelliger karnaguria</i> | 35 (FL) | - | pelagic-neritic; oceanodromous; marine | phytoplankton (พวากุจลังทอม) zooplankton (cladocerans, ostracods, larval polychaetes) ไข่ของ <i>Cheilio inermis</i> และ พลังหัวใจมนุษย์ หรือ ตัวอ่อนของฟู๊ฟและปลา |
| 28. <i>Saurida elongata</i> | 50 | - | demersal; marine | ปลา (ปลา anchovy และ ปลากระ莫กัด <i>Mullus surmuletus</i>) crustaceans และ สัตว์น้ำไม่มีกระดูกสันหลังอื่นๆ |

* (Froese and Pauly, 2009)

ตารางที่ ค-1 (ต่อ)

| ชื่อวิทยาศาสตร์ ¹ | ความยาว (ซม.) | ขนาดสูงสุด* | | สภาพแวดล้อม* | อาหาร* |
|-----------------------------------|----------------------------------|--------------------|--|---|--------|
| | | ความกว้าง (ซม.) | หนาแน่น (กก.) | | |
| 30. <i>Saurida undosquamis</i> | 23 ¹ ,50 ² | - | reef-associated; amphidromous; marine | ปลากะบงและปลากระเบนขอบดง <i>Mullus surmuletus</i> | |
| 31. <i>Sphyraena barracuda</i> | 200 | 50 | reef-associated; brackish; marine | ปลากะบงและสัตว์ไม่มีกระดูกสันหลังอันๆ | |
| 32. <i>Sphyraena forsteri</i> | 75 | - | reef-associated; marine | ปลากะบงและปลากระเบนที่อยู่ในแม่น้ำ | |
| 33. <i>Sphyraena jello</i> | 150 | 11.5 | reef-associated; oceanodromous; brackish; marine | ส่วนใหญ่เป็นปลาครุย์ที่อยู่ในแม่น้ำและแม่น้ำที่อยู่ในมหาสมุทรต่างๆ แต่บางครั้งก็อาจพบในแม่น้ำ | |
| 34. <i>Thunnus albacares</i> | 239 | 200 | pelagic-oceanic; oceanodromous; brackish; marine | ปลากะบงและหมึก | |
| 35. <i>Thunnus obesus</i> | 250 | 210 | pelagic-oceanic; oceanodromous; marine | ปลานิริตต์งาcephalopods และ crustaceans โดยจะหากินทั้งกลางวันและกลางคืน | |
| 36. <i>Trachinocéphalus myops</i> | 40 | - | reef-associated; marine | ปลากะบงและครustaceans ปูนหัวเตี้ย | |
| 37. <i>Trichiurus lepturus</i> | 234 | 5 | benthopelagic; amphidromous; brackish; marine | euphausiids, planktonic crustaceans และปลาขนาดเล็ก | |
| 38. <i>Upeneus moluccensis</i> | 20 | - | reef-associated; brackish; marine | ปลากะบงและหมึก | |
| 39. <i>Xiphias gladius</i> | 455 | 650 | pelagic-oceanic; oceanodromous; marine | กิ้นปลาทูน่าอย่างมากหลังส่วนใหญ่เป็น Atlantic mackerel, barracudinas, silver shark, redfish, herring และ lanternfishes แต่บางครั้งอาจพบว่ากินพวยครึ้งหรือซีฟูน (crustaceans) และหมึก (squids) | |

¹ ไฟล์นิยม ² ไฟล์นิยม

* (Froese and Pauly, 2009)

พารากราฟที่ ค-2 บุนดาของสัตว์ทะเลแต่ละตัวจะก่ออาชญากรรมที่ลงโทษได้โดยแบ่งตามลักษณะ (Pelagic longine)

| CODE | ชื่อวิทยาศาสตร์ | ตระบัน | ชั้น-เดือน-ปี | ความยาว(cm) | | | | | | | | หน่วย น้ำหนัก (กก.) |
|------|---------------------------------|--------|---------------|-------------|------|------|------|------|------|-----|-----|---------------------------|
| | | | | FL | SL | HL | BD | EFL | PAL | CKL | EOP | |
| B-2 | <i>Xiphias gladius</i> | 14 | 17-Nov-07 | 203 | 191 | 47 | 31 | 102 | 51 | 78 | - | - |
| B-4 | <i>Xiphias gladius</i> | 23 | 23-Nov-07 | 197 | 185 | 36 | 27 | 95 | 36 | 71 | - | - |
| B-6 | <i>Xiphias gladius</i> | 12 | 15-Nov-07 | 194 | 175 | 98 | 27 | 96 | 50 | 80 | - | - |
| B-40 | <i>Xiphias gladius</i> | 34 | 3-Dec-07 | 120 | 112 | 27 | 16 | 67 | 25 | 41 | - | - |
| B-42 | <i>Xiphias gladius</i> | 34 | 3-Dec-07 | 210 | 194 | 41 | 30 | 119 | 43 | 72 | 22 | - |
| B-58 | <i>Xiphias gladius</i> | 7 | 11-Nov-07 | 231 | 224 | 48 | 36 | 114 | - | - | - | 159 |
| B-59 | <i>Xiphias gladius</i> | 7 | 11-Nov-07 | 235 | 219 | 47 | 34 | 107 | - | - | - | 161 |
| B-60 | <i>Xiphias gladius</i> | 7 | 11-Nov-07 | 234 | 216 | 46 | 37 | 173 | 60 | - | - | 127 |
| B-71 | <i>Xiphias gladius</i> | 7 | 11-Nov-07 | 243 | 242 | 46 | 35 | - | - | - | - | 110 |
| B-74 | <i>Xiphias gladius</i> | 12 | 15-Nov-07 | 185 | 173 | 38 | 44 | 92 | 50 | 71 | - | - |
| B-75 | <i>Xiphias gladius</i> | 32 | 1-Dec-07 | 149 | 139 | 35 | 23 | 86.6 | 30.4 | 53 | - | - |
| B-76 | <i>Xiphias gladius</i> | 12 | 15-Nov-07 | 232 | 214 | 114 | 30 | 118 | 45 | 106 | - | - |
| B-78 | <i>Xiphias gladius</i> | 32 | 1-Dec-07 | - | 145 | 34 | 23.6 | - | 49 | 56 | - | - |
| B-79 | <i>Xiphias gladius</i> | 33 | 2-Dec-07 | 134 | 123 | 27 | 17 | 72 | 27 | 45 | - | - |
| B-80 | <i>Xiphias gladius</i> | 33 | 2-Dec-07 | 150 | 139 | 34 | 22 | 92 | 33 | 55 | - | - |
| B-37 | <i>Carcharhinus falciformis</i> | 17 | 19-Nov-07 | 84 | 75 | 25.8 | 14.5 | - | - | - | - | - |
| B-44 | <i>Carcharhinus falciformis</i> | 34 | 3-Dec-07 | 75 | 68 | 22 | 12 | - | - | - | - | - |
| B-72 | <i>Carcharhinus falciformis</i> | 17 | 19-Nov-07 | 90 | 81.5 | 29.5 | 14.2 | - | - | - | - | 111 |

ตารางที่ ค-3 ขนาดของสัตว์ทะเลแต่ละตัวจากอ่าวบางกอกที่ขึ้นไปโดยลูกสวนด้อม (Drift gillnet)

| CODE | ชื่อวิทยาศาสตร์ | เพศ | วัน-เดือน-ปี | ความยาว (cm) | | | | | | | | น้ำหนัก (กก.) |
|------|--------------------------------|-----|--------------|--------------|-------|------|------|------|-----|-----|-----|------------------|
| | | | | FL | SL | HL | BD | EFL | PAL | CKL | EOP | |
| B-46 | <i>Xiphias gladius</i> | | 30 | 29-Nov-07 | 140 | 130 | 31 | 20 | - | - | - | 151 |
| B-43 | Unidentified shark | | 26 | 26-Nov-07 | 69 | 64 | 21.2 | 14.5 | - | - | - | 87.6 |
| B-64 | <i>Carcharhinus brachyurus</i> | ♂ | 3 | 7-Nov-07 | 106.2 | 96.6 | 30 | 21.2 | - | - | - | 12.20 |
| B-65 | <i>Carcharhinus brachyurus</i> | ♂ | 3 | 7-Nov-08 | 106.2 | 96.6 | 30 | 21.2 | - | - | - | 12.20 |
| B-67 | <i>Carcharhinus brachyurus</i> | ♂ | 3 | 7-Nov-09 | 106.2 | 96.6 | 30 | 21.2 | - | - | - | 12.20 |
| B-68 | <i>Caranx Tille</i> | ♂ | 3 | 7-Nov-10 | 60.5 | 54.2 | 16.5 | 16.9 | - | - | - | 3.30 |
| B-70 | <i>Caranx Tille</i> | ♂ | 3 | 7-Nov-11 | 60.5 | 54.2 | 16.5 | 16.9 | - | - | - | 3.30 |
| B-69 | <i>Thunnus obesus</i> | ♀ | 9 | 7-Nov-12 | 46 | 42 | 13 | 1.5 | - | - | - | 52 |
| B-50 | <i>Katsuwonus pelamis</i> | ♂ | 18 | 20-Nov-07 | 39.4 | 37 | 11 | 13 | - | - | - | 41 |
| B-14 | <i>Katsuwonus pelamis</i> | ♂ | 16 | 18-Nov-07 | 36 | 34 | 11 | 9 | - | - | - | 37.5 |
| B-7 | <i>Katsuwonus pelamis</i> | ♂ | 16 | 18-Nov-07 | 41 | 38 | 12 | 9.5 | - | - | - | 43 |
| B-11 | <i>Katsuwonus pelamis</i> | ♂ | 16 | 18-Nov-07 | 36 | 33 | 10 | 8.5 | - | - | - | 38.5 |
| B-15 | <i>Katsuwonus pelamis</i> | ♂ | 16 | 18-Nov-07 | 41 | 38 | 12 | 11 | - | - | - | 43.5 |
| B-18 | <i>Katsuwonus pelamis</i> | ♂ | 16 | 18-Nov-07 | 38 | 35.5 | 10 | 9 | - | - | - | 40 |
| B-19 | <i>Katsuwonus pelamis</i> | ♂ | 16 | 18-Nov-07 | 37 | 34.5 | 10 | 9 | - | - | - | 39 |
| B-20 | <i>Katsuwonus pelamis</i> | ♂ | 16 | 18-Nov-07 | 40 | 38 | 11.5 | 11.5 | - | - | - | 43 |
| B-23 | <i>Katsuwonus pelamis</i> | ♂ | 16 | 18-Nov-07 | 39.5 | 36.5 | 11 | 11 | - | - | - | 41.5 |
| B-27 | <i>Katsuwonus pelamis</i> | ♂ | 16 | 18-Nov-07 | 40 | 37 | 11 | 10 | - | - | - | 42 |
| B-28 | <i>Katsuwonus pelamis</i> | ♂ | 16 | 18-Nov-07 | 39 | 36.5 | 11 | 9 | - | - | - | 40.1 |
| B-30 | <i>Katsuwonus pelamis</i> | ♂ | 16 | 18-Nov-07 | 42 | 39 | 12 | 12 | - | - | - | 44 |

ตารางที่ ก-3 (ต่อ)

| CODE | ชื่อวิทยาศาสตร์ | เพศ | วัน-เดือน-ปี | ความยาว (cm) | | | | | | | | น้ำหนัก กิโลกรัม | |
|------|--------------------------|-----|--------------|--------------|------|------|------|-----|-----|-----|-----|---------------------|------|
| | | | | FL | SL | HL | BD | EFL | PAL | CKL | EOP | BL | |
| B-34 | <i>Kasuwonis pelamis</i> | 26 | 26-Nov-07 | 51.4 | 48.2 | 14.4 | 17 | - | - | - | - | - | 55 |
| B-35 | <i>Kasuwonis pelamis</i> | 26 | 26-Nov-07 | 49 | 46 | 14 | 13.4 | - | - | - | - | - | 2.00 |
| B-36 | <i>Kasuwonis pelamis</i> | 26 | 26-Nov-07 | 50 | 47 | 14.4 | 14 | - | - | - | - | - | 52 |
| B-38 | <i>Kasuwonis pelamis</i> | 26 | 26-Nov-07 | 88 | 35.5 | 11.4 | 10.5 | - | - | - | - | - | 0.90 |
| B-39 | <i>Kasuwonis pelamis</i> | 26 | 26-Nov-07 | 37.8 | 37 | 10 | 9.6 | - | - | - | - | - | 40 |
| B-41 | <i>Kasuwonis pelamis</i> | 26 | 26-Nov-07 | 43.8 | 41 | 12.5 | 11.4 | - | - | - | - | - | 46.4 |
| B-45 | <i>Kasuwonis pelamis</i> | 30 | 29-Nov-07 | 66 | 61 | 18 | 18 | - | - | - | - | - | 69 |
| B-47 | <i>Kasuwonis pelamis</i> | 30 | 29-Nov-07 | 70 | 65 | 20 | 20 | - | - | - | - | - | 73 |
| B-48 | <i>Kasuwonis pelamis</i> | 18 | 20-Nov-07 | 40.8 | 38.1 | 12 | 11.8 | - | - | - | - | - | 43 |
| B-49 | <i>Kasuwonis pelamis</i> | 18 | 20-Nov-07 | 41.8 | 39.1 | 12.2 | 12 | - | - | - | - | - | 44.2 |
| B-51 | <i>Kasuwonis pelamis</i> | 18 | 20-Nov-07 | 39.8 | 37 | 11 | 11 | - | - | - | - | - | 42 |
| B-52 | <i>Kasuwonis pelamis</i> | 18 | 20-Nov-07 | 41.8 | 39 | 12.1 | 12 | - | - | - | - | - | 43.2 |
| B-54 | <i>Kasuwonis pelamis</i> | 18 | 20-Nov-07 | 35.8 | 33.6 | 9.8 | 11.4 | - | - | - | - | - | 37.4 |
| B-55 | <i>Kasuwonis pelamis</i> | 18 | 20-Nov-07 | 43 | 40 | 11.9 | 13 | - | - | - | - | - | 45 |
| B-56 | <i>Kasuwonis pelamis</i> | 18 | 20-Nov-07 | 40.2 | 37.8 | 11 | 11.8 | - | - | - | - | - | 42 |
| B-63 | <i>Kasuwonis pelamis</i> | 3 | 7-Nov-07 | 68 | 63.5 | 19 | 18.5 | - | - | - | - | - | 77.5 |
| B-66 | <i>Kasuwonis pelamis</i> | 3 | 7-Nov-07 | 68 | 63.5 | 19 | 18.5 | - | - | - | - | - | 6.35 |

ตารางที่ ๑-๔ ขนาดของสัตว์ที่จะลดลงแต่ละตัวจากกระดองตามนี้ (น้ำหนักพ่วง) ที่บันไดของนาลาก (Bottom Trawling)

| CODE | ชื่อวิทยาศาสตร์ | สามัญ | วัน-เดือน-ปี | ความยาว (cm) | | | | | | | น้ำหนัก (กг.) | |
|------|--------------------------------|-------|--------------|--------------|----|----|----|-----|-----|-----|---------------|-------|
| | | | | FL | SL | HL | BD | EFL | PAL | CKL | EOP | |
| A-29 | <i>Alepes djedaba</i> | 12 | 15-Feb-07 | - | - | - | - | - | - | - | 15.3 | 0.051 |
| A-30 | <i>Alepes djedaba</i> | 12 | 15-Feb-07 | - | - | - | - | - | - | - | 17.0 | 0.067 |
| A-31 | <i>Alepes djedaba</i> | 12 | 15-Feb-07 | - | - | - | - | - | - | - | 17.4 | 0.069 |
| A-41 | <i>Chrysochir aureus</i> | 14 | 16-Feb-07 | - | - | - | - | - | - | - | 26.9 | 0.175 |
| A-42 | <i>Chrysochir aureus</i> | 14 | 16-Feb-07 | - | - | - | - | - | - | - | 28.0 | 0.193 |
| A-43 | <i>Chrysochir aureus</i> | 14 | 16-Feb-07 | - | - | - | - | - | - | - | 25.5 | 0.137 |
| A-35 | <i>Cynoglossus cynoglossus</i> | 14 | 16-Feb-07 | - | - | - | - | - | - | - | 28.5 | 0.086 |
| A-36 | <i>Cynoglossus cynoglossus</i> | 14 | 16-Feb-07 | - | - | - | - | - | - | - | 25.0 | 0.058 |
| A-37 | <i>Cynoglossus cynoglossus</i> | 14 | 16-Feb-07 | - | - | - | - | - | - | - | 21.5 | 0.035 |
| A-56 | <i>Decapterus russelli</i> | 18 | 17-Feb-07 | - | - | - | - | - | - | - | 19.1 | 0.067 |
| A-57 | <i>Decapterus russelli</i> | 18 | 17-Feb-07 | - | - | - | - | - | - | - | 18.5 | 0.050 |
| A-58 | <i>Decapterus russelli</i> | 18 | 17-Feb-07 | - | - | - | - | - | - | - | 20.0 | 0.069 |
| A-20 | <i>Drepane punctata</i> | 12 | 15-Feb-07 | - | - | - | - | - | - | - | 20.0 | 0.126 |
| A-21 | <i>Drepane punctata</i> | 12 | 15-Feb-07 | - | - | - | - | - | - | - | 17.9 | 0.105 |
| A-22 | <i>Drepane punctata</i> | 12 | 15-Feb-07 | - | - | - | - | - | - | - | 18.5 | 0.109 |
| A-26 | <i>Ephippus orbis</i> | 12 | 15-Feb-07 | - | - | - | - | - | - | - | 14.5 | 0.077 |
| A-29 | <i>Alepes djedaba</i> | 12 | 15-Feb-07 | - | - | - | - | - | - | - | 15.3 | 0.051 |
| A-30 | <i>Alepes djedaba</i> | 12 | 15-Feb-07 | - | - | - | - | - | - | - | 17.0 | 0.067 |
| A-31 | <i>Alepes djedaba</i> | 12 | 15-Feb-07 | - | - | - | - | - | - | - | 17.4 | 0.069 |
| A-41 | <i>Chrysochir aureus</i> | 14 | 16-Feb-07 | - | - | - | - | - | - | - | 26.9 | 0.175 |

ព័ត៌មានទី ៤ (ពេទ្យ)

| CODE | ชื่อวิทยาศาสตร์ | สถานที่ | วัน-เดือน-ปี | ความยาว (cm) | | | | | | | หน่วย | |
|-------|-------------------------------|---------|--------------|--------------|----|----|----|-----|-----|-----|-------|-------|
| | | | | FL | SL | HL | BD | EFL | PAL | CKL | EOP | |
| A-27 | <i>Ephippus orbis</i> | 12 | 15-Feb-07 | - | - | - | - | - | - | - | 18.0 | 0.090 |
| A-28 | <i>Ephippus orbis</i> | 12 | 15-Feb-07 | - | - | - | - | - | - | - | 15.1 | 0.083 |
| A-229 | <i>Epinephelus cooides</i> | 67 | 27-Feb-07 | - | - | - | - | - | - | - | 36.5 | 0.812 |
| A-230 | <i>Epinephelus cooides</i> | 67 | 27-Feb-07 | - | - | - | - | - | - | - | 35.5 | 0.780 |
| A-92 | <i>Loligo devauveli</i> | 27 | 19-Feb-07 | - | - | - | - | - | - | - | 36.4 | 0.110 |
| A-93 | <i>Loligo devauveli</i> | 27 | 19-Feb-07 | - | - | - | - | - | - | - | 28.0 | 0.044 |
| A-94 | <i>Loligo devauveli</i> | 27 | 19-Feb-07 | - | - | - | - | - | - | - | 25.7 | 0.030 |
| A-32 | <i>Loligo devauveli</i> | 12 | 15-Feb-07 | - | - | - | - | - | - | - | 24.3 | 0.061 |
| A-33 | <i>Loligo devauveli</i> | 12 | 15-Feb-07 | - | - | - | - | - | - | - | 25.2 | 0.062 |
| A-34 | <i>Loligo devauveli</i> | 12 | 15-Feb-07 | - | - | - | - | - | - | - | 26.0 | 0.062 |
| A-181 | <i>Loligo devauveli</i> | 47 | 25-Feb-07 | - | - | - | - | - | - | - | 33.2 | 0.043 |
| A-182 | <i>Loligo devauveli</i> | 47 | 25-Feb-07 | - | - | - | - | - | - | - | 33.9 | 0.066 |
| A-183 | <i>Loligo devauveli</i> | 47 | 25-Feb-07 | - | - | - | - | - | - | - | 32.4 | 0.041 |
| A-107 | <i>Loligo</i> sp. | 35 | 13-Feb-07 | - | - | - | - | - | - | - | 39.5 | 0.121 |
| A-108 | <i>Loligo</i> sp. | 35 | 13-Feb-07 | - | - | - | - | - | - | - | 32.3 | 0.103 |
| A-109 | <i>Loligo</i> sp. | 35 | 13-Feb-07 | - | - | - | - | - | - | - | 35.5 | 0.110 |
| A-169 | <i>Nemipterus bipunctatus</i> | 47 | 25-Feb-07 | - | - | - | - | - | - | - | 22.6 | 0.137 |
| A-170 | <i>Nemipterus bipunctatus</i> | 47 | 25-Feb-07 | - | - | - | - | - | - | - | 23.1 | 0.130 |
| A-171 | <i>Nemipterus bipunctatus</i> | 47 | 25-Feb-07 | - | - | - | - | - | - | - | 17.0 | 0.055 |
| A-193 | <i>Nemipterus bipunctatus</i> | 56 | 28-Feb-07 | - | - | - | - | - | - | - | 24.4 | 0.184 |
| A-194 | <i>Nemipterus bipunctatus</i> | 56 | 28-Feb-07 | - | - | - | - | - | - | - | 22.1 | 0.135 |

ພາಠຽາງທີ ၄-၁ (ຕ່ອ)

ค่าคงที่ ๑-๔ (ต่อ)

ພາಠາງທີ ၆-၄ (ຕ່ອ)

| CODE | ชื่อวิทยาศาสตร์ | สถานที่ | วัน-เดือน-ปี | ความกว้าง (cm) | | | | | | | หน่วย | |
|-------|---------------------------------|---------|--------------|----------------|----|----|----|-----|-----|-----|-------|-------|
| | | | | FL | SL | HL | BD | EFL | PAL | CKL | EOP | |
| A-158 | <i>Paripeneus</i> spp. | 44 | 25-Feb-07 | - | - | - | - | - | - | - | 17.0 | 0.050 |
| A-159 | <i>Paripeneus</i> spp. | 44 | 25-Feb-07 | - | - | - | - | - | - | - | 15.2 | 0.041 |
| A-166 | <i>Paripeneus</i> spp. | 47 | 25-Feb-07 | - | - | - | - | - | - | - | 15.7 | 0.036 |
| A-167 | <i>Paripeneus</i> spp. | 47 | 25-Feb-07 | - | - | - | - | - | - | - | 14.9 | 0.033 |
| A-168 | <i>Paripeneus</i> spp. | 47 | 25-Feb-07 | - | - | - | - | - | - | - | 15.3 | 0.034 |
| A-202 | <i>Paripeneus</i> spp. | 56 | 28-Feb-07 | - | - | - | - | - | - | - | 24.9 | 0.190 |
| A-203 | <i>Paripeneus</i> spp. | 56 | 28-Feb-07 | - | - | - | - | - | - | - | 25.0 | 0.197 |
| A-204 | <i>Paripeneus</i> spp. | 56 | 28-Feb-07 | - | - | - | - | - | - | - | 20.5 | 0.109 |
| A-214 | <i>Paripeneus</i> spp. | 57 | 28-Feb-07 | - | - | - | - | - | - | - | 26.0 | 0.234 |
| A-215 | <i>Paripeneus</i> spp. | 57 | 28-Feb-07 | - | - | - | - | - | - | - | 24.5 | 0.194 |
| A-216 | <i>Paripeneus</i> spp. | 57 | 28-Feb-07 | - | - | - | - | - | - | - | 22.5 | 0.166 |
| A-23 | <i>Pennahia macrocephalus</i> | 12 | 15-Feb-07 | - | - | - | - | - | - | - | 23.4 | 0.096 |
| A-24 | <i>Pennahia macrocephalus</i> | 12 | 15-Feb-07 | - | - | - | - | - | - | - | 20.1 | 0.090 |
| A-25 | <i>Pennahia macrocephalus</i> | 12 | 15-Feb-07 | - | - | - | - | - | - | - | 18.4 | 0.083 |
| A-38 | <i>Pennahia area</i> | 14 | 16-Feb-07 | - | - | - | - | - | - | - | 22.0 | 0.143 |
| A-39 | <i>Pennahia area</i> | 14 | 16-Feb-07 | - | - | - | - | - | - | - | 22.7 | 0.167 |
| A-40 | <i>Pennahia area</i> | 14 | 16-Feb-07 | - | - | - | - | - | - | - | 22.0 | 0.155 |
| A-65 | <i>Priacanthus macracanthus</i> | 20 | 18-Feb-07 | - | - | - | - | - | - | - | 22.5 | 0.180 |
| A-66 | <i>Priacanthus macracanthus</i> | 20 | 18-Feb-07 | - | - | - | - | - | - | - | 20.0 | 0.083 |
| A-67 | <i>Priacanthus macracanthus</i> | 20 | 18-Feb-07 | - | - | - | - | - | - | - | 17.5 | 0.079 |
| A-83 | <i>Priacanthus macracanthus</i> | 23 | 19-Feb-07 | - | - | - | - | - | - | - | 23.0 | 0.142 |
| A-84 | <i>Priacanthus macracanthus</i> | 23 | 19-Feb-07 | - | - | - | - | - | - | - | 19.1 | 0.075 |
| A-85 | <i>Priacanthus macracanthus</i> | 23 | 19-Feb-07 | - | - | - | - | - | - | - | 16.8 | 0.049 |

ພາಠາງທີ ၆-၄ (ຕ່ອ)

ກາງທີ ၄-၁ (ຕ່ອ)

ค่าคงที่ ๑-๔ (ต่อ)

| CODE | ชื่อวิทยาศาสตร์ | สถานที่ | วัน-เดือน-ปี | ความยาว (cm) | | | | | | | หน่วย | |
|-------|----------------------------|---------|--------------|--------------|----|----|----|-----|-----|-----|-------|-------|
| | | | | FL | SL | HL | BD | EFL | PAL | CKL | EOP | |
| A-75 | <i>Saurida</i> sp. | 20 | 18-Feb-07 | - | - | - | - | - | - | - | 24.9 | 0.100 |
| A-76 | <i>Saurida</i> sp. | 20 | 18-Feb-07 | - | - | - | - | - | - | - | 22.6 | 0.067 |
| A-53 | <i>Saurida undosquamis</i> | 18 | 17-Feb-07 | - | - | - | - | - | - | - | 21.0 | 0.055 |
| A-54 | <i>Saurida undosquamis</i> | 18 | 17-Feb-07 | - | - | - | - | - | - | - | 19.0 | 0.046 |
| A-55 | <i>Saurida undosquamis</i> | 18 | 17-Feb-07 | - | - | - | - | - | - | - | 18.0 | 0.033 |
| A-77 | <i>Saurida undosquamis</i> | 23 | 19-Feb-07 | - | - | - | - | - | - | - | 25.3 | 0.112 |
| A-78 | <i>Saurida undosquamis</i> | 23 | 19-Feb-07 | - | - | - | - | - | - | - | 20.5 | 0.042 |
| A-79 | <i>Saurida undosquamis</i> | 23 | 19-Feb-07 | - | - | - | - | - | - | - | 20.4 | 0.051 |
| A-98 | <i>Saurida undosquamis</i> | 27 | 19-Feb-07 | - | - | - | - | - | - | - | 21.5 | 0.066 |
| A-99 | <i>Saurida undosquamis</i> | 27 | 19-Feb-07 | - | - | - | - | - | - | - | 18.8 | 0.041 |
| A-100 | <i>Saurida undosquamis</i> | 27 | 19-Feb-07 | - | - | - | - | - | - | - | 18.0 | 0.050 |
| A-110 | <i>Saurida undosquamis</i> | 37 | 23-Feb-07 | - | - | - | - | - | - | - | 24.1 | 0.096 |
| A-111 | <i>Saurida undosquamis</i> | 37 | 23-Feb-07 | - | - | - | - | - | - | - | 22.8 | 0.084 |
| A-112 | <i>Saurida undosquamis</i> | 37 | 23-Feb-07 | - | - | - | - | - | - | - | 22.4 | 0.085 |
| A-119 | <i>Saurida undosquamis</i> | 37 | 23-Feb-07 | - | - | - | - | - | - | - | 28.8 | 0.158 |
| A-120 | <i>Saurida undosquamis</i> | 37 | 23-Feb-07 | - | - | - | - | - | - | - | 27.3 | 0.144 |
| A-121 | <i>Saurida undosquamis</i> | 37 | 23-Feb-07 | - | - | - | - | - | - | - | 29.5 | 0.187 |
| A-145 | <i>Saurida undosquamis</i> | 38 | 24-Feb-07 | - | - | - | - | - | - | - | 25.5 | 0.126 |
| A-146 | <i>Saurida undosquamis</i> | 38 | 24-Feb-07 | - | - | - | - | - | - | - | 23.0 | 0.088 |
| A-147 | <i>Saurida undosquamis</i> | 38 | 24-Feb-07 | - | - | - | - | - | - | - | 21.7 | 0.082 |
| A-163 | <i>Saurida undosquamis</i> | 44 | 25-Feb-07 | - | - | - | - | - | - | - | 24.6 | 0.098 |

ຄ່າງານທີ 9-4 (ຕ່ອ)

ຕາງກີ່ຄ-4 (ຕົວ)

| CODE | ຊື່ວິຫານສາດັບ | ສາພັນ | ວຸນ-ດູອນ-ຢີ | ຄວາມຍາວ (cm) | | | | | | | | ຂໍ້າພະນັກ | |
|-------|-------------------------------|-------|-------------|--------------|----|----|----|-----|-----|-----|-----|-----------|-------|
| | | | | FL | SL | HL | BD | EFL | PAL | CKL | EOP | BL | |
| A-137 | <i>Trachinocephalus myops</i> | 38 | 24-Feb-07 | - | - | - | - | - | - | - | - | 20.9 | 0.092 |
| A-138 | <i>Trachinocephalus myops</i> | 38 | 24-Feb-07 | - | - | - | - | - | - | - | - | 21.5 | 0.102 |
| A-160 | <i>Trachinocephalus myops</i> | 44 | 25-Feb-07 | - | - | - | - | - | - | - | - | 23.0 | 0.107 |
| A-161 | <i>Trachinocephalus myops</i> | 44 | 25-Feb-07 | - | - | - | - | - | - | - | - | 21.0 | 0.089 |
| A-162 | <i>Trachinocephalus myops</i> | 44 | 25-Feb-07 | - | - | - | - | - | - | - | - | 20.4 | 0.091 |
| A-172 | <i>Trachinocephalus myops</i> | 47 | 25-Feb-07 | - | - | - | - | - | - | - | - | 24.3 | 0.141 |
| A-173 | <i>Trachinocephalus myops</i> | 47 | 25-Feb-07 | - | - | - | - | - | - | - | - | 23.8 | 0.131 |
| A-174 | <i>Trachinocephalus myops</i> | 47 | 25-Feb-07 | - | - | - | - | - | - | - | - | 21.0 | 0.077 |
| A-196 | <i>Trachinocephalus myops</i> | 56 | 28-Feb-07 | - | - | - | - | - | - | - | - | 25.3 | 0.172 |
| A-197 | <i>Trachinocephalus myops</i> | 56 | 28-Feb-07 | - | - | - | - | - | - | - | - | 23.5 | 0.134 |
| A-198 | <i>Trachinocephalus myops</i> | 56 | 28-Feb-07 | - | - | - | - | - | - | - | - | 24.3 | 0.123 |
| A-220 | <i>Trachinocephalus myops</i> | 57 | 28-Feb-07 | - | - | - | - | - | - | - | - | 22.5 | 0.143 |
| A-221 | <i>Trachinocephalus myops</i> | 57 | 28-Feb-07 | - | - | - | - | - | - | - | - | 21.0 | 0.083 |
| A-222 | <i>Trachinocephalus myops</i> | 57 | 28-Feb-07 | - | - | - | - | - | - | - | - | 21.0 | 0.098 |
| A-104 | <i>Trichiurus lepturus</i> | 35 | 13-Feb-07 | - | - | - | - | - | - | - | - | 71.4 | 0.368 |
| A-105 | <i>Trichiurus lepturus</i> | 35 | 13-Feb-07 | - | - | - | - | - | - | - | - | 66.5 | 0.355 |
| A-106 | <i>Trichiurus lepturus</i> | 35 | 13-Feb-07 | - | - | - | - | - | - | - | - | 65.6 | 0.353 |
| A-68 | <i>Upeneus moluccensis</i> | 20 | 18-Feb-07 | - | - | - | - | - | - | - | - | 15.0 | 0.035 |
| A-69 | <i>Upeneus moluccensis</i> | 20 | 18-Feb-07 | - | - | - | - | - | - | - | - | 13.4 | 0.025 |
| A-70 | <i>Upeneus moluccensis</i> | 20 | 18-Feb-07 | - | - | - | - | - | - | - | - | 14.0 | 0.027 |
| A-211 | <i>Upeneus</i> sp. | 57 | 28-Feb-07 | - | - | - | - | - | - | - | - | 16.0 | 0.037 |
| A-212 | <i>Upeneus</i> sp. | 57 | 28-Feb-07 | - | - | - | - | - | - | - | - | 15.0 | 0.036 |
| A-213 | <i>Upeneus</i> sp. | 57 | 28-Feb-07 | - | - | - | - | - | - | - | - | 14.5 | 0.036 |

ตารางที่ ค-5 ขนาดของสัตว์ทะเลแต่ละตัวจากทะเบียนตามน้ำ (น้ำหนักพ่วง) ที่จับโดยเชือกรางน้ำลึก (Pedagic longline)

| CODE | ชื่อวิทยาศาสตร์ | สถานที่ | วัน-เดือน-ปี | ความยาว (cm) | | | | | | | | น้ำหนัก (กก.) |
|------|--------------------------------|---------|--------------|--------------|-----|----|------|-----|-----|-----|-----|---------------|
| | | | | FL | SL | HL | BD | EFL | PAL | CKL | EOP | |
| A-6 | <i>Allopias Superciliosus</i> | - | 6-Mar-07 | - | - | 38 | - | - | - | - | - | 288 |
| A-8 | <i>Allopias Superciliosus</i> | - | 6-Mar-07 | - | - | 40 | - | - | - | - | - | 290 |
| A-12 | <i>Allopias Superciliosus</i> | - | 8-Mar-07 | - | 49 | 32 | - | - | - | - | - | 230 |
| A-13 | <i>Allopias Superciliosus</i> | - | 8-Mar-07 | - | 54 | 40 | - | - | - | - | - | 296 |
| A-9 | <i>Istiophorus platypterus</i> | - | 7-Mar-07 | 227 | 211 | 46 | 35 | 152 | - | - | 195 | 252 |
| A-10 | <i>Istiophorus platypterus</i> | - | 7-Mar-07 | 227 | 211 | 46 | 35 | 152 | - | - | 195 | 252 |
| A-19 | <i>Sphyraena barracuda</i> | - | 4-Mar-07 | 108 | 66 | - | 18 | - | - | - | - | 7 |
| A-2 | <i>Xiphias gladius</i> | - | 5-Mar-07 | 221 | 205 | 45 | 37 | 110 | 50 | 87 | - | 154 |
| A-3 | <i>Xiphias gladius</i> | - | 5-Mar-07 | 150 | 101 | 33 | 27 | 70 | 35 | 54 | - | 136 |
| A-4 | <i>Xiphias gladius</i> | - | 5-Mar-07 | 171 | 155 | 38 | 28 | 84 | 40 | 62 | - | 120 |
| A-5 | <i>Xiphias gladius</i> | - | 5-Mar-07 | 209 | 191 | 42 | 37 | 109 | 51 | 82 | - | 149 |
| A-7 | <i>Xiphias gladius</i> | - | 6-Mar-07 | 215 | 198 | 46 | 36 | 110 | 54 | 82 | - | 154 |
| A-11 | <i>Xiphias gladius</i> | - | 7-Mar-07 | 231 | 213 | 42 | 38 | 115 | 51 | 68 | - | 155 |
| A-14 | <i>Xiphias gladius</i> | - | 9-Mar-07 | 133 | 123 | 31 | 23 | 85 | 32 | 49 | - | 92 |
| A-15 | <i>Xiphias gladius</i> | - | 9-Mar-07 | 141 | 92 | 34 | 23 | 68 | 41 | 51 | - | 91 |
| A-16 | <i>Xiphias gladius</i> | - | 9-Mar-07 | 168 | 91 | 44 | 27 | 82 | 41 | 67 | - | 113 |
| A-17 | <i>Xiphias gladius</i> | - | 9-Mar-07 | 168 | 113 | 39 | 29 | 85 | 42 | 63 | - | 120 |
| A-18 | <i>Xiphias gladius</i> | - | 4-Mar-07 | 94 | 120 | 24 | 14.5 | 47 | 21 | 37 | - | 66 |
| A-1 | <i>Xiphias gladius</i> | - | 5-Mar-07 | 156 | 143 | 35 | 25 | 74 | 34 | 55 | - | 109 |

ภาคผนวก จ

ปริมาณของแอดเมี่ยมในสัตว์ทะเลแต่ละชนิดจากอ่าวเบงกอล และทะเลอันดามัน (น่านน้ำพม่า)

อักษรย่อในตาราง

PLL = Pelagic longline

GN = Drift gillnet

BT = Bottom Trawling

ตารางที่ จ-1 ปริมาณของแอดเมี่ยม (มก. / กก. น้ำหนักเปียก) ในเนื้อเยื่อสัตว์ทะเลจากอ่าวเบงกอล

| CODE | ชื่อวิทยาศาสตร์ | เครื่องมือ | ความยาว (ซม.) | น้ำหนัก (กก.) | แอดเมี่ยม (มก./กก.) |
|------|---------------------------------|------------|------------------|------------------|------------------------|
| B-1 | <i>Alopias superciliosus</i> | PLL | 254 | 49.00 | 0.010 |
| B-3 | <i>Alopias superciliosus</i> | PLL | 319 | 90.00 | 0.029 |
| B-5 | <i>Alopias superciliosus</i> | PLL | 252 | 42.00 | 0.022 |
| B-61 | <i>Alopias superciliosus</i> | PLL | 277 | 70.00 | 0.021 |
| B-62 | <i>Alopias superciliosus</i> | PLL | 293 | 80.00 | 0.019 |
| B-77 | <i>Alopias superciliosus</i> | PLL | 205 | 31.00 | 0.012 |
| B-81 | <i>Alopias superciliosus</i> | PLL | 276 | 53.00 | 0.014 |
| B-82 | <i>Alopias superciliosus</i> | PLL | 250 | 35.00 | 0.036 |
| B-10 | <i>Auxis thazard</i> | GN | 39.5 | 0.98 | 0.031 |
| B-13 | <i>Auxis thazard</i> | GN | 38.5 | 0.80 | 0.020 |
| B-16 | <i>Auxis thazard</i> | GN | 38 | 0.70 | 0.035 |
| B-17 | <i>Auxis thazard</i> | GN | 31.5 | 0.40 | 0.031 |
| B-21 | <i>Auxis thazard</i> | GN | - | 0.70 | 0.024 |
| B-22 | <i>Auxis thazard</i> | GN | 39 | 0.80 | 0.021 |
| B-26 | <i>Auxis thazard</i> | GN | 38 | 0.80 | 0.021 |
| B-29 | <i>Auxis thazard</i> | GN | 35.5 | 0.65 | 0.019 |
| B-31 | <i>Auxis thazard</i> | GN | 35.5 | 0.68 | 0.010 |
| B-32 | <i>Auxis thazard</i> | GN | 37.5 | 0.85 | 0.012 |
| B-53 | <i>Auxis thazard</i> | GN | 40 | 0.94 | 0.022 |
| B-57 | <i>Auxis thazard</i> | GN | 39 | 0.90 | 0.019 |
| B-68 | <i>Caranx Tille</i> | GN | 66.8 | 3.30 | 0.029 |
| B-70 | <i>Caranx Tille</i> | GN | 66.8 | 3.30 | 0.035 |
| B-64 | <i>Carcharhinus brachyurus</i> | GN | 131.1 | 12.20 | 0.023 |
| B-65 | <i>Carcharhinus brachyurus</i> | GN | 131.1 | 12.20 | 0.072 |
| B-67 | <i>Carcharhinus brachyurus</i> | GN | 131.1 | 12.20 | 0.023 |
| B-37 | <i>Carcharhinus falciformis</i> | PLL | 101 | 6.50 | 0.106 |

ตารางที่ จ-1 (ต่อ)

| CODE | ชื่อวิทยาศาสตร์ | เครื่องมือ | ความยาว (ซม.) | น้ำหนัก (กг.) | แอดเมิร์น (มก./กก.) |
|------|---------------------------------|------------|------------------|------------------|------------------------|
| B-44 | <i>Carcharhinus falciformis</i> | PLL | 93.6 | 3.70 | 0.016 |
| B-72 | <i>Carcharhinus falciformis</i> | PLL | 111 | 7.20 | 0.040 |
| B-8 | <i>Euthynnus affinis</i> | GN | 40.5 | 1.05 | 0.036 |
| B-12 | <i>Euthynnus affinis</i> | GN | 37 | 0.75 | 0.029 |
| B-24 | <i>Euthynnus affinis</i> | GN | 37 | 0.80 | 0.020 |
| B-25 | <i>Euthynnus affinis</i> | GN | 42 | 0.83 | 0.020 |
| B-50 | <i>Kasuwonis pelamis</i> | GN | 41 | 1.20 | 0.025 |
| B-14 | <i>Kasuwonis pelamis</i> | GN | 37.5 | 0.75 | 0.017 |
| B-7 | <i>Kasuwonis pelamis</i> | GN | 43 | 1.20 | 0.023 |
| B-11 | <i>Kasuwonis pelamis</i> | GN | 38.5 | 0.80 | 0.024 |
| B-15 | <i>Kasuwonis pelamis</i> | GN | 43.5 | 1.26 | 0.026 |
| B-18 | <i>Kasuwonis pelamis</i> | GN | 40 | 1.10 | 0.010 |
| B-19 | <i>Kasuwonis pelamis</i> | GN | 39 | 0.85 | 0.027 |
| B-20 | <i>Kasuwonis pelamis</i> | GN | 43 | 1.40 | 0.025 |
| B-23 | <i>Kasuwonis pelamis</i> | GN | 41.5 | 1.10 | 0.027 |
| B-27 | <i>Kasuwonis pelamis</i> | GN | 42 | 1.15 | 0.025 |
| B-28 | <i>Kasuwonis pelamis</i> | GN | 40.1 | 1.10 | 0.020 |
| B-30 | <i>Kasuwonis pelamis</i> | GN | 44 | 1.40 | 0.024 |
| B-34 | <i>Kasuwonis pelamis</i> | GN | 55 | 2.60 | 0.007 |
| B-35 | <i>Kasuwonis pelamis</i> | GN | 52 | 2.00 | 0.023 |
| B-36 | <i>Kasuwonis pelamis</i> | GN | 52 | 2.32 | 0.025 |
| B-38 | <i>Kasuwonis pelamis</i> | GN | 41 | 0.90 | 0.007 |
| B-39 | <i>Kasuwonis pelamis</i> | GN | 40 | 0.86 | 0.030 |
| B-41 | <i>Kasuwonis pelamis</i> | GN | 46.4 | 1.40 | 0.025 |
| B-45 | <i>Kasuwonis pelamis</i> | GN | 69 | 5.50 | 0.023 |
| B-47 | <i>Kasuwonis pelamis</i> | GN | 73 | 6.15 | 0.027 |
| B-48 | <i>Kasuwonis pelamis</i> | GN | 43 | 1.20 | 0.036 |
| B-49 | <i>Kasuwonis pelamis</i> | GN | 44.2 | 1.30 | 0.039 |
| B-51 | <i>Kasuwonis pelamis</i> | GN | 42 | 1.10 | 0.014 |
| B-52 | <i>Kasuwonis pelamis</i> | GN | 43.2 | 1.24 | 0.022 |
| B-54 | <i>Kasuwonis pelamis</i> | GN | 37.4 | 0.82 | 0.022 |
| B-55 | <i>Kasuwonis pelamis</i> | GN | 45 | 1.45 | 0.034 |
| B-56 | <i>Kasuwonis pelamis</i> | GN | 42 | 1.14 | 0.036 |
| B-63 | <i>Kasuwonis pelamis</i> | GN | 77.5 | 6.35 | 0.020 |
| B-66 | <i>Kasuwonis pelamis</i> | GN | 77.5 | 6.35 | 0.039 |
| B-9 | <i>Kasuwonis pelamis</i> | GN | 42.5 | 1.05 | 0.050 |
| B-33 | <i>Thunnus albacares</i> | PLL | 137 | 35.00 | 0.027 |
| B-73 | <i>Thunnus albacares</i> | PLL | 140 | 38.00 | 0.011 |
| B-69 | <i>Thunnus obesus</i> | GN | 52 | 2.00 | 0.027 |
| B-43 | Unidentified shark | GN | 87.6 | 3.22 | 0.029 |

ตารางที่ จ-1 (ต่อ)

| CODE | ชื่อวิทยาศาสตร์ | เครื่องมือ | ความยาว (ซม.) | น้ำหนัก (กг.) | แอดเมิร์น (มก./กก.) |
|------|------------------------|------------|------------------|------------------|------------------------|
| B-2 | <i>Xiphias gladius</i> | PLL | 215 | 30.00 | 0.048 |
| B-4 | <i>Xiphias gladius</i> | PLL | 210 | 26.00 | 0.017 |
| B-6 | <i>Xiphias gladius</i> | PLL | 207 | 27.00 | 0.080 |
| B-40 | <i>Xiphias gladius</i> | PLL | 129 | 5.00 | 0.028 |
| B-42 | <i>Xiphias gladius</i> | PLL | 225 | 29.00 | 0.041 |
| B-58 | <i>Xiphias gladius</i> | PLL | 253 | 60.00 | 0.230 |
| B-59 | <i>Xiphias gladius</i> | PLL | 242 | 40.00 | 0.123 |
| B-60 | <i>Xiphias gladius</i> | PLL | 255 | 61.00 | 0.178 |
| B-71 | <i>Xiphias gladius</i> | PLL | 262 | 60.00 | 0.009 |
| B-74 | <i>Xiphias gladius</i> | PLL | 202 | 21.00 | 0.098 |
| B-75 | <i>Xiphias gladius</i> | PLL | 160 | 10.00 | 0.033 |
| B-76 | <i>Xiphias gladius</i> | PLL | 250 | 51.00 | 0.049 |
| B-78 | <i>Xiphias gladius</i> | PLL | - | 14.00 | 0.023 |
| B-79 | <i>Xiphias gladius</i> | PLL | 137 | 5.50 | 0.028 |
| B-80 | <i>Xiphias gladius</i> | PLL | 160 | 12.00 | 0.028 |
| B-46 | <i>Xiphias gladius</i> | GN | 151 | 8.90 | 0.037 |

ตารางที่ จ-2 (ต่อ)

| CODE | ชื่อวิทยาศาสตร์ | เกรดองมีอ | ความยาว (ซม.) | น้ำหนัก (กг.) | แอดเมิร์น (มก./กก.) |
|-------|-------------------------------|-----------|------------------|------------------|------------------------|
| A-169 | <i>Nemipterus bipunctatus</i> | BT | 22.6 | 0.137 | 0.005 |
| A-170 | <i>Nemipterus bipunctatus</i> | BT | 23.1 | 0.130 | 0.001 |
| A-171 | <i>Nemipterus bipunctatus</i> | BT | 17.0 | 0.055 | 0.010 |
| A-193 | <i>Nemipterus bipunctatus</i> | BT | 24.4 | 0.184 | 0.008 |
| A-194 | <i>Nemipterus bipunctatus</i> | BT | 22.1 | 0.135 | 0.025 |
| A-195 | <i>Nemipterus bipunctatus</i> | BT | 21.0 | 0.090 | 0.014 |
| A-223 | <i>Nemipterus bipunctatus</i> | BT | 27.5 | 0.225 | 0.016 |
| A-224 | <i>Nemipterus bipunctatus</i> | BT | 22.0 | 0.141 | 0.017 |
| A-225 | <i>Nemipterus bipunctatus</i> | BT | 21.3 | 0.096 | 0.018 |
| A-44 | <i>Nemipterus japonicus</i> | BT | 19.8 | 0.083 | 0.004 |
| A-45 | <i>Nemipterus japonicus</i> | BT | 17.6 | 0.060 | 0.007 |
| A-46 | <i>Nemipterus japonicus</i> | BT | 18.2 | 0.061 | 0.006 |
| A-62 | <i>Nemipterus japonicus</i> | BT | 22.2 | 0.075 | 0.015 |
| A-63 | <i>Nemipterus japonicus</i> | BT | 24.0 | 0.088 | 0.004 |
| A-64 | <i>Nemipterus japonicus</i> | BT | 20.4 | 0.057 | 0.005 |
| A-71 | <i>Nemipterus japonicus</i> | BT | 24.0 | 0.082 | 0.012 |
| A-72 | <i>Nemipterus japonicus</i> | BT | 23.2 | 0.093 | 0.005 |
| A-73 | <i>Nemipterus japonicus</i> | BT | 20.3 | 0.054 | 0.021 |
| A-86 | <i>Nemipterus japonicus</i> | BT | 23.5 | 0.066 | 0.020 |
| A-87 | <i>Nemipterus japonicus</i> | BT | 21.0 | 0.074 | 0.001 |
| A-88 | <i>Nemipterus japonicus</i> | BT | 22.5 | 0.064 | 0.012 |
| A-95 | <i>Nemipterus japonicus</i> | BT | 23.0 | 0.135 | 0.017 |
| A-96 | <i>Nemipterus japonicus</i> | BT | 20.6 | 0.099 | 0.009 |
| A-97 | <i>Nemipterus japonicus</i> | BT | 21.2 | 0.107 | 0.006 |
| A-101 | <i>Nemipterus japonicus</i> | BT | 24.9 | 0.098 | 0.031 |
| A-102 | <i>Nemipterus japonicus</i> | BT | 23.4 | 0.095 | 0.028 |
| A-103 | <i>Nemipterus japonicus</i> | BT | 23.3 | 0.095 | 0.014 |
| A-116 | <i>Nemipterus japonicus</i> | BT | 29.9 | 0.145 | 0.003 |
| A-117 | <i>Nemipterus japonicus</i> | BT | 22.9 | 0.128 | 0.005 |
| A-118 | <i>Nemipterus japonicus</i> | BT | 19.1 | 0.081 | 0.052 |
| A-130 | <i>Nemipterus japonicus</i> | BT | 24.8 | 0.163 | 0.009 |
| A-131 | <i>Nemipterus japonicus</i> | BT | 26.2 | 0.200 | 0.012 |
| A-132 | <i>Nemipterus japonicus</i> | BT | 22.4 | 0.091 | 0.012 |
| A-154 | <i>Nemipterus peronii</i> | BT | 25.9 | 0.206 | 0.008 |
| A-155 | <i>Nemipterus peronii</i> | BT | 22.5 | 0.135 | 0.010 |
| A-156 | <i>Nemipterus peronii</i> | BT | 19.1 | 0.090 | 0.004 |

ตารางที่ จ-2 (ต่อ)

| CODE | ชื่อวิทยาศาสตร์ | เกรดองมีอ | ความยาว (ซม.) | น้ำหนัก (กг.) | แอดเมิร์น (มก./กก.) |
|-------|---------------------------------|-----------|------------------|------------------|------------------------|
| A-142 | <i>Nemipterus</i> spp. | BT | 22.2 | 0.130 | 0.004 |
| A-143 | <i>Nemipterus</i> spp. | BT | 21.4 | 0.118 | 0.009 |
| A-144 | <i>Nemipterus</i> spp. | BT | 21.0 | 0.114 | 0.015 |
| A-184 | <i>Nemipterus</i> spp. | BT | 21.0 | 0.125 | 0.020 |
| A-185 | <i>Nemipterus</i> spp. | BT | 21.0 | 0.107 | 0.013 |
| A-186 | <i>Nemipterus</i> spp. | BT | 24.1 | 0.168 | 0.005 |
| A-199 | <i>Parupeneus</i> sp. | BT | 17.3 | 0.051 | 0.036 |
| A-200 | <i>Parupeneus</i> sp. | BT | 17.2 | 0.047 | 0.034 |
| A-201 | <i>Parupeneus</i> sp. | BT | 17.0 | 0.050 | 0.008 |
| A-148 | <i>Parupeneus</i> spp. | BT | 18.9 | 0.055 | 0.011 |
| A-149 | <i>Parupeneus</i> spp. | BT | 15.7 | 0.040 | 0.054 |
| A-150 | <i>Parupeneus</i> spp. | BT | 15.0 | 0.035 | 0.022 |
| A-157 | <i>Parupeneus</i> spp. | BT | 16.9 | 0.051 | 0.011 |
| A-158 | <i>Parupeneus</i> spp. | BT | 17.0 | 0.050 | 0.008 |
| A-159 | <i>Parupeneus</i> spp. | BT | 15.2 | 0.041 | 0.016 |
| A-166 | <i>Parupeneus</i> spp. | BT | 15.7 | 0.036 | 0.007 |
| A-167 | <i>Parupeneus</i> spp. | BT | 14.9 | 0.033 | 0.007 |
| A-168 | <i>Parupeneus</i> spp. | BT | 15.3 | 0.034 | 0.013 |
| A-202 | <i>Parupeneus</i> spp. | BT | 24.9 | 0.190 | 0.005 |
| A-203 | <i>Parupeneus</i> spp. | BT | 25.0 | 0.197 | 0.004 |
| A-204 | <i>Parupeneus</i> spp. | BT | 20.5 | 0.109 | 0.005 |
| A-214 | <i>Parupeneus</i> spp. | BT | 26.0 | 0.234 | 0.007 |
| A-215 | <i>Parupeneus</i> spp. | BT | 24.5 | 0.194 | 0.008 |
| A-216 | <i>Parupeneus</i> spp. | BT | 22.5 | 0.166 | 0.002 |
| A-23 | <i>Pennahia macrocephalus</i> | BT | 23.4 | 0.096 | 0.014 |
| A-24 | <i>Pennahia macrocephalus</i> | BT | 20.1 | 0.090 | 0.005 |
| A-25 | <i>Pennahia macrocephalus</i> | BT | 18.4 | 0.083 | 0.007 |
| A-38 | <i>Pennahia anea</i> | BT | 22.0 | 0.143 | 0.017 |
| A-39 | <i>Pennahia anea</i> | BT | 22.7 | 0.167 | 0.011 |
| A-40 | <i>Pennahia anea</i> | BT | 22.0 | 0.155 | 0.013 |
| A-65 | <i>Priacanthus macracanthus</i> | BT | 22.5 | 0.180 | 0.035 |
| A-66 | <i>Priacanthus macracanthus</i> | BT | 20.0 | 0.083 | 0.030 |
| A-67 | <i>Priacanthus macracanthus</i> | BT | 17.5 | 0.079 | 0.024 |
| A-83 | <i>Priacanthus macracanthus</i> | BT | 23.0 | 0.142 | 0.015 |
| A-84 | <i>Priacanthus macracanthus</i> | BT | 19.1 | 0.075 | 0.026 |
| A-85 | <i>Priacanthus macracanthus</i> | BT | 16.8 | 0.049 | 0.025 |
| A-89 | <i>Priacanthus macracanthus</i> | BT | 15.2 | 0.050 | 0.003 |
| A-90 | <i>Priacanthus macracanthus</i> | BT | 16.3 | 0.048 | 0.004 |
| A-91 | <i>Priacanthus macracanthus</i> | BT | 15.8 | 0.046 | 0.007 |

ตารางที่ จ-2 (ต่อ)

| CODE | ชื่อวิทยาศาสตร์ | เกรดองมีอ | ความยาว (ซม.) | น้ำหนัก (กг.) | แอดเมิร์น (มก./กก.) |
|-------|---------------------------------|-----------|------------------|------------------|------------------------|
| A-113 | <i>Priacanthus macracanthus</i> | BT | 16.3 | 0.055 | 0.012 |
| A-114 | <i>Priacanthus macracanthus</i> | BT | 16.3 | 0.051 | 0.012 |
| A-115 | <i>Priacanthus macracanthus</i> | BT | 16.6 | 0.055 | 0.008 |
| A-122 | <i>Priacanthus macracanthus</i> | BT | 13.0 | 0.025 | 0.028 |
| A-123 | <i>Priacanthus macracanthus</i> | BT | 12.5 | 0.022 | 0.002 |
| A-124 | <i>Priacanthus macracanthus</i> | BT | 12.8 | 0.025 | 0.006 |
| A-125 | <i>Priacanthus macracanthus</i> | BT | 13.0 | 0.025 | 0.008 |
| A-126 | <i>Priacanthus macracanthus</i> | BT | 12.7 | 0.026 | 0.008 |
| A-127 | <i>Priacanthus macracanthus</i> | BT | 28.9 | 0.248 | 0.008 |
| A-128 | <i>Priacanthus macracanthus</i> | BT | 28.2 | 0.258 | 0.011 |
| A-129 | <i>Priacanthus macracanthus</i> | BT | 29.8 | 0.302 | 0.014 |
| A-139 | <i>Priacanthus macracanthus</i> | BT | 30.5 | 0.415 | 0.006 |
| A-140 | <i>Priacanthus macracanthus</i> | BT | 21.1 | 0.101 | 0.001 |
| A-141 | <i>Priacanthus macracanthus</i> | BT | 17.3 | 0.059 | 0.012 |
| A-151 | <i>Priacanthus macracanthus</i> | BT | 22.3 | 0.157 | 0.005 |
| A-152 | <i>Priacanthus macracanthus</i> | BT | 17.4 | 0.059 | 0.001 |
| A-153 | <i>Priacanthus macracanthus</i> | BT | 17.5 | 0.063 | 0.005 |
| A-178 | <i>Priacanthus macracanthus</i> | BT | 17.5 | 0.055 | 0.006 |
| A-179 | <i>Priacanthus macracanthus</i> | BT | 17.7 | 0.057 | 0.002 |
| A-180 | <i>Priacanthus macracanthus</i> | BT | 16.8 | 0.058 | 0.005 |
| A-190 | <i>Priacanthus macracanthus</i> | BT | 17.1 | 0.047 | 0.008 |
| A-191 | <i>Priacanthus macracanthus</i> | BT | 18.4 | 0.058 | 0.012 |
| A-192 | <i>Priacanthus macracanthus</i> | BT | 17.5 | 0.055 | 0.015 |
| A-205 | <i>Priacanthus macracanthus</i> | BT | 18.2 | 0.060 | 0.004 |
| A-206 | <i>Priacanthus macracanthus</i> | BT | 16.9 | 0.056 | 0.006 |
| A-207 | <i>Priacanthus macracanthus</i> | BT | 17.3 | 0.063 | 0.007 |
| A-226 | <i>Priacanthus macracanthus</i> | BT | 17.8 | 0.062 | 0.026 |
| A-227 | <i>Priacanthus macracanthus</i> | BT | 16.7 | 0.057 | 0.022 |
| A-228 | <i>Priacanthus macracanthus</i> | BT | 17.0 | 0.061 | 0.011 |
| A-133 | <i>Pseudorhombus</i> sp. | BT | 30.2 | 0.264 | 0.013 |
| A-134 | <i>Pseudorhombus</i> sp. | BT | 22.4 | 0.145 | 0.014 |
| A-135 | <i>Pseudorhombus</i> sp. | BT | 21.6 | 0.121 | 0.014 |
| A-50 | <i>Restrelliger karnagurta</i> | BT | 18.1 | 0.065 | 0.044 |
| A-51 | <i>Restrelliger karnagurta</i> | BT | 17.1 | 0.048 | 0.056 |
| A-52 | <i>Restrelliger karnagurta</i> | BT | 19.0 | 0.064 | 0.028 |
| A-47 | <i>Saurida elongata</i> | BT | 22.0 | 0.068 | 0.016 |
| A-48 | <i>Saurida elongata</i> | BT | 17.8 | 0.032 | 0.033 |
| A-49 | <i>Saurida elongata</i> | BT | 18.0 | 0.039 | 0.063 |

ตารางที่ จ-2 (ต่อ)

| CODE | ชื่อวิทยาศาสตร์ | เครื่องมือ | ความยาว (ซม.) | น้ำหนัก (กг.) | แอดเมิลิม (มก./กก.) |
|-------|----------------------------|------------|------------------|------------------|------------------------|
| A-74 | <i>Saurida sp.</i> | BT | 27.0 | 0.129 | 0.060 |
| A-75 | <i>Saurida sp.</i> | BT | 24.9 | 0.100 | 0.055 |
| A-76 | <i>Saurida sp.</i> | BT | 22.6 | 0.067 | 0.077 |
| A-53 | <i>Saurida undosquamis</i> | BT | 21.0 | 0.055 | 0.051 |
| A-54 | <i>Saurida undosquamis</i> | BT | 19.0 | 0.046 | 0.024 |
| A-55 | <i>Saurida undosquamis</i> | BT | 18.0 | 0.033 | 0.043 |
| A-77 | <i>Saurida undosquamis</i> | BT | 25.3 | 0.112 | 0.012 |
| A-78 | <i>Saurida undosquamis</i> | BT | 20.5 | 0.042 | 0.070 |
| A-79 | <i>Saurida undosquamis</i> | BT | 20.4 | 0.051 | 0.075 |
| A-98 | <i>Saurida undosquamis</i> | BT | 21.5 | 0.066 | 0.016 |
| A-99 | <i>Saurida undosquamis</i> | BT | 18.8 | 0.041 | 0.014 |
| A-100 | <i>Saurida undosquamis</i> | BT | 18.0 | 0.050 | 0.023 |
| A-110 | <i>Saurida undosquamis</i> | BT | 24.1 | 0.096 | 0.014 |
| A-111 | <i>Saurida undosquamis</i> | BT | 22.8 | 0.084 | 0.016 |
| A-112 | <i>Saurida undosquamis</i> | BT | 22.4 | 0.085 | 0.019 |
| A-119 | <i>Saurida undosquamis</i> | BT | 28.8 | 0.158 | 0.013 |
| A-120 | <i>Saurida undosquamis</i> | BT | 27.3 | 0.144 | 0.009 |
| A-121 | <i>Saurida undosquamis</i> | BT | 29.5 | 0.187 | 0.039 |
| A-145 | <i>Saurida undosquamis</i> | BT | 25.5 | 0.126 | 0.002 |
| A-146 | <i>Saurida undosquamis</i> | BT | 23.0 | 0.088 | 0.010 |
| A-147 | <i>Saurida undosquamis</i> | BT | 21.7 | 0.082 | 0.032 |
| A-163 | <i>Saurida undosquamis</i> | BT | 24.6 | 0.098 | 0.004 |
| A-164 | <i>Saurida undosquamis</i> | BT | 21.2 | 0.062 | 0.004 |
| A-165 | <i>Saurida undosquamis</i> | BT | 21.5 | 0.064 | 0.006 |
| A-175 | <i>Saurida undosquamis</i> | BT | 27.9 | 0.172 | 0.012 |
| A-176 | <i>Saurida undosquamis</i> | BT | 20.0 | 0.048 | 0.003 |
| A-177 | <i>Saurida undosquamis</i> | BT | 19.4 | 0.048 | 0.034 |
| A-187 | <i>Saurida undosquamis</i> | BT | 28.0 | 0.172 | 0.019 |
| A-188 | <i>Saurida undosquamis</i> | BT | 20.3 | 0.067 | 0.019 |
| A-189 | <i>Saurida undosquamis</i> | BT | 19.4 | 0.059 | 0.015 |
| A-208 | <i>Saurida undosquamis</i> | BT | 23.5 | 0.088 | 0.019 |
| A-209 | <i>Saurida undosquamis</i> | BT | 19.1 | 0.052 | 0.017 |
| A-210 | <i>Saurida undosquamis</i> | BT | 20.8 | 0.057 | 0.013 |
| A-217 | <i>Saurida undosquamis</i> | BT | 22.7 | 0.093 | 0.013 |
| A-218 | <i>Saurida undosquamis</i> | BT | 23.1 | 0.092 | 0.003 |
| A-219 | <i>Saurida undosquamis</i> | BT | 24.0 | 0.103 | 0.027 |
| A-80 | <i>Sphyraena barracuda</i> | PLL | 114 | 7 | 0.142 |
| A-81 | <i>Sphyraena forsteri</i> | BT | 22.0 | 0.059 | 0.040 |
| A-82 | <i>Sphyraena forsteri</i> | BT | 21.4 | 0.055 | 0.021 |
| A-19 | <i>Sphyraena forsteri</i> | BT | 23.0 | 0.068 | 0.060 |

ตารางที่ จ-2 (ต่อ)

| CODE | ชื่อวิทยาศาสตร์ | เครื่องมือ | ความยาว (ซม.) | น้ำหนัก (กг.) | แอดเมิร์น (มก./กก.) |
|-------|-------------------------------|------------|------------------|------------------|------------------------|
| A-59 | <i>Sphyraena jello</i> | BT | 25.2 | 0.077 | 0.029 |
| A-60 | <i>Sphyraena jello</i> | BT | 24.1 | 0.061 | 0.012 |
| A-61 | <i>Sphyraena jello</i> | BT | 24.6 | 0.073 | 0.018 |
| A-136 | <i>Trachinocephalus myops</i> | BT | 23.5 | 0.120 | 0.011 |
| A-137 | <i>Trachinocephalus myops</i> | BT | 20.9 | 0.092 | 0.024 |
| A-138 | <i>Trachinocephalus myops</i> | BT | 21.5 | 0.102 | 0.021 |
| A-160 | <i>Trachinocephalus myops</i> | BT | 23.0 | 0.107 | 0.007 |
| A-161 | <i>Trachinocephalus myops</i> | BT | 21.0 | 0.089 | 0.001 |
| A-162 | <i>Trachinocephalus myops</i> | BT | 20.4 | 0.091 | 0.023 |
| A-172 | <i>Trachinocephalus myops</i> | BT | 24.3 | 0.141 | 0.008 |
| A-173 | <i>Trachinocephalus myops</i> | BT | 23.8 | 0.131 | 0.006 |
| A-174 | <i>Trachinocephalus myops</i> | BT | 21.0 | 0.077 | 0.007 |
| A-196 | <i>Trachinocephalus myops</i> | BT | 25.3 | 0.172 | 0.010 |
| A-197 | <i>Trachinocephalus myops</i> | BT | 23.5 | 0.134 | 0.011 |
| A-198 | <i>Trachinocephalus myops</i> | BT | 24.3 | 0.123 | 0.039 |
| A-220 | <i>Trachinocephalus myops</i> | BT | 22.5 | 0.143 | 0.025 |
| A-221 | <i>Trachinocephalus myops</i> | BT | 21.0 | 0.083 | 0.027 |
| A-222 | <i>Trachinocephalus myops</i> | BT | 21.0 | 0.098 | 0.040 |
| A-104 | <i>Trichiurus lepturus</i> | BT | 71.4 | 0.368 | 0.008 |
| A-105 | <i>Trichiurus lepturus</i> | BT | 66.5 | 0.355 | 0.004 |
| A-106 | <i>Trichiurus lepturus</i> | BT | 65.6 | 0.353 | 0.038 |
| A-68 | <i>Upeneus moluccensis</i> | BT | 15.0 | 0.035 | 0.112 |
| A-69 | <i>Upeneus moluccensis</i> | BT | 13.4 | 0.025 | 0.085 |
| A-70 | <i>Upeneus moluccensis</i> | BT | 14.0 | 0.027 | 0.131 |
| A-211 | <i>Upeneus sp.</i> | BT | 16.0 | 0.037 | 0.051 |
| A-212 | <i>Upeneus sp.</i> | BT | 15.0 | 0.036 | 0.037 |
| A-213 | <i>Upeneus sp.</i> | BT | 14.5 | 0.036 | 0.009 |
| A-2 | <i>Xiphias gladius</i> | PLL | 240 | 40 | 0.124 |
| A-3 | <i>Xiphias gladius</i> | PLL | 160 | 10 | 0.110 |
| A-4 | <i>Xiphias gladius</i> | PLL | 186 | 16 | 0.121 |
| A-5 | <i>Xiphias gladius</i> | PLL | 230 | 35 | 0.103 |
| A-7 | <i>Xiphias gladius</i> | PLL | 240 | 47 | 0.120 |
| A-11 | <i>Xiphias gladius</i> | PLL | 240 | 45 | 0.102 |
| A-14 | <i>Xiphias gladius</i> | PLL | 142 | 8 | 0.140 |
| A-15 | <i>Xiphias gladius</i> | PLL | 148 | 9.5 | 0.120 |
| A-16 | <i>Xiphias gladius</i> | PLL | 173 | 15 | 0.101 |
| A-17 | <i>Xiphias gladius</i> | PLL | 189 | 18 | 0.113 |
| A-18 | <i>Xiphias gladius</i> | PLL | 100 | 2.2 | 0.081 |
| A-1 | <i>Xiphias gladius</i> | PLL | 172 | 13 | 0.097 |

ภาคผนวก ฉบับที่ ๑

การทดสอบทางสถิติ

๑. ปริมาณแคนเดเมียมในเนื้อเยื่อสัตว์ทะเลจากอ่าวเบงกอลทั้ง ๓ พื้นที่

๑.๑ ปริมาณแคนเดเมียมในปลาทูน่าท้องແຄນ (*Katsuwonus pelamis*)

สมมติฐาน

$H_0: \mu_d = 0$ หรือแคนเดเมียมในเนื้อปลาทูน่าท้องແຄນ ทั้ง ๓ พื้นที่ไม่แตกต่างกัน

$H_1: \mu_d \neq \mu_{ji}$ อย่างน้อย ๑ คู่; $I \neq j$; $I, j = 1, 2, 3$ หรือแคนเดเมียมในเนื้อปลาทูน่าท้องແຄນ ทั้ง ๓ พื้นที่แตกต่างกัน

นั้นคือ ปฏิเสธสมมติฐาน H_0 เมื่อมีค่าได้คุณนัย อย่างน้อยหนึ่งคู่แตกต่างกันที่ระดับนัยสำคัญ ๐.๐๕

ตารางที่ ฉบับที่ ๑ แสดงการทดสอบความแตกต่างของปริมาณแคนเดเมียมในเนื้อปลาทูน่าท้องແຄນ (*K. Pelamis*) จากอ่าวเบงกอลในพื้นที่ A พื้นที่ B และ พื้นที่ C ด้วย One – Way ANOVA โดยใช้โปรแกรม SPSS for Windows Versions ๑๑

| Cd | Sum of Squares | df | Mean Square | F | Sig. |
|----------------|----------------|----|-------------|------|-------|
| Between Groups | 0 | 2 | 0 | 0.23 | 0.796 |
| Within Groups | 0.002 | 27 | 0 | | |
| Total | 0.003 | 29 | | | |

สรุปผลการทดสอบ

ค่า Sig. มากกว่าระดับนัยสำคัญที่กำหนด คือ ๐.๐๕ จึงยอมรับสมมติฐาน $H_1: \mu_d = 0$ จึงสรุปได้ว่า ปริมาณแคนเดเมียมในเนื้อปลาทูน่าท้องແຄນ (*K. Pelamis*) จากในพื้นที่ A พื้นที่ B และ พื้นที่ C ไม่แตกต่างกันที่ระดับนัยสำคัญ ๐.๐๕

๑.๒ ปริมาณแคนเดเมียมในปลากระโทงแท่งดาว (*Xiphias gladius*)

สมมติฐาน

$H_0: \mu_d = 0$ หรือแคนเดเมียมในเนื้อปลากระโทงแท่งดาว จากทั้ง ๓ พื้นที่ไม่แตกต่างกัน

$H_1: \mu_d \neq \mu_{ji}$ อย่างน้อย ๑ คู่; $I \neq j$; $I, j = 1, 2, 3$ หรือ แคนเดเมียมในเนื้อปลากระโทงแท่งดาว ทั้ง ๓ พื้นที่แตกต่างกัน

นั่นคือ จะปฏิเสธสมมุติฐาน H_0 เมื่อมีค่าทดสอบที่อย่างน้อยหนึ่งค่าที่แตกต่างกัน โดยกำหนดระดับนัยสำคัญที่ 0.05

ตารางที่ ฉบับ-2 แสดงการทดสอบความแตกต่างของปริมาณแแคดเมียมในเนื้อปลากระโทงแทงดาว (*X. Gladius*) จากอ่าวเบงกอลในพื้นที่ A พื้นที่ B และ พื้นที่ C ด้วย One – Way ANOVA โดยใช้โปรแกรม SPSS for Windows Versions 11

| Cd | Sum of Squares | df | Mean Square | F | Sig. |
|----------------|----------------|----|-------------|-------|-------|
| Between Groups | 0.024 | 2 | 0.012 | 4.481 | 0.033 |
| Within Groups | 0.035 | 13 | 0.003 | | |
| Total | 0.059 | 15 | | | |

สรุปผลการทดสอบ

ค่า Sig. น้อยกว่าระดับนัยสำคัญที่กำหนด คือ 0.05 จึงปฏิเสธสมมติฐาน H_0 ; $\mu_d \neq 0$ จึงสรุปได้ว่า ปริมาณแแคดเมียมในเนื้อเยื่อปลากระโทงแทงดาว (*X. Gladius*) จากพื้นที่ A พื้นที่ B และ พื้นที่ C แตกต่างกันที่ระดับนัยสำคัญ 0.05

2. การทดสอบความแตกต่างของขนาดสัตว์ทะเลจากอ่าวเบงกอลและทะเลอันดามัน (น่านน้ำพม่า)

2.1 ขนาดของสัตว์ทะเลจากอ่าวเบงกอลที่จับโดยใช้เบ็ดรวมน้ำลึกและawanloly

สมมติฐาน

$H_0: \mu_d = 0$ หรือ ขนาดของสัตว์ทะเลที่จับโดยใช้เบ็ดรวมน้ำลึกและawanloly ไม่แตกต่างกัน

$H_1: \mu_d \neq 0$ หรือ ขนาดของสัตว์ทะเลที่จับโดยใช้เบ็ดรวมน้ำลึกและawanloly แตกต่างกัน

โดยที่ $\mu_d = \text{ผลต่างของขนาดสัตว์ทะเลจากอ่าวเบงกอล ที่จับโดยใช้เบ็ดรวมน้ำลึกและawanloly}$

ตารางที่ ฉบ-3 แสดงการทดสอบความแตกต่างของขนาดสัตว์ทะเลที่จับโดยเบ็ดรวมน้ำลึก และawanloly จากอ่าวเบงกอล ด้วย Independent Samples T-test จากโปรแกรม SPSS for Windows Versions 15

| t-test for Equality of Means | | | | | | |
|------------------------------|------|--------------------|--------------------|--------------------------|---|-----------|
| t | df | Sig. (2-tailed) | Mean Difference | Std. Error Difference | 95% Confidence Interval of the Difference | |
| | | | | | Lower | Upper |
| 7.583 | 63 | 0.00 | 28.8612 | 3.80581 | 21.25589 | 36.466513 |
| 4.837 | 18.0 | 0.00 | 28.8612 | 5.96719 | 16.327278 | 41.395125 |

สรุปผลการทดสอบ

จาก 95% ของค่าประมาณแบบช่วง (95% Confidence Interval of the Difference) ของ μ_d จะพบว่าค่าต่ำสุดและค่าสูงสุดเป็นบวก ซึ่งมีเครื่องหมายในทิศทางเดียวกัน แสดงว่า ขนาดของสัตว์ทะเลจากอ่าวเบงกอลแตกต่างกันและค่า Sig. น้อยกว่าระดับนัยสำคัญที่กำหนด คือ 0.05 จึงปฏิเสธสมมติฐาน $H_0: \mu_d = 0$ ดังนั้นขนาดของสัตว์ทะเลแตกต่างกันที่ระดับนัยสำคัญ 0.05

2.2 ขนาดของสัตว์ทะเลจากทะเลอันดามัน โดยใช้เบ็ดรวมน้ำลึก อวนลoly และawanloly

สมมติฐาน

$H_0: \mu_d = 0$ หรือ ขนาดของสัตว์ทะเลจากทะเลอันดามัน ไม่แตกต่างกัน

$H_1: \mu_d \neq \mu_j$ อย่างน้อย 1 คู่ ; $i \neq j ; i, j = 1, 2, 3$ หรือ ขนาดของสัตว์ทะเลแตกต่างกัน

นั่นคือ ปฏิเสธสมมติฐาน H_0 เมื่อมีคู่ใดคู่หนึ่งอยู่หนึ่งคู่แตกต่างกันที่ระดับนัยสำคัญ 0.05

ตารางที่ ฉบับ-4 แสดงการทดสอบความแตกต่างของขนาดของสัตว์ทะเลที่จับโดยใช้เบื้องตัวน้ำลึก awanloy และawanlak จากทะเลอันดามัน (น่านน้ำพม่า) ด้วย One - Way ANOVA โดยใช้โปรแกรม SPSS for Windows Versions 11

| Cd | Sum of Squares | df | Mean Square | F | Sig. |
|----------------|----------------|-----|-------------|---------|------|
| Between Groups | 32662.828 | 2 | 16331.414 | 249.623 | 0 |
| Within Groups | 15963.521 | 244 | 65.424 | | |
| Total | 48626.349 | 246 | | | |

สรุปผลการทดสอบ

ค่า Sig. น้อยกว่าระดับนัยสำคัญที่กำหนด คือ 0.05 จึงปฏิเสธสมมติฐาน $H_0: \mu_d = 0$ สรุปได้ว่าขนาดของสัตว์ทะเล ที่จับโดยใช้เครื่องมือทั้ง 3 ชนิด แตกต่างกันที่ระดับนัยสำคัญ 0.05

2.3 ขนาดของสัตว์ทะเลที่จับด้วยเบื้องตัวน้ำลึกจากอ่าวเบงกอลและทะเลอันดามัน

สมมติฐาน

$H_0: \mu_d = 0$ หรือ ขนาดของสัตว์ทะเลจาก 2 พื้นที่ไม่แตกต่างกัน

$H_1: \mu_d \neq 0$ หรือ ขนาดของสัตว์ทะเลจาก 2 พื้นที่แตกต่างกัน

โดยที่ μ_d = ผลต่างของขนาดสัตว์ทะเลจากอ่าวเบงกอลและทะเลอันดามัน (น่านน้ำพม่า)

ตารางที่ ฉบับ-5 แสดงการทดสอบความแตกต่างของขนาดสัตว์ทะเลที่จับโดยเบื้องตัวน้ำลึก จากอ่าวเบงกอล และทะเลอันดามัน (น่านน้ำพม่า) ด้วย Independent Samples T-test จากโปรแกรม SPSS for Windows Versions 15

| t-test for Equality of Means | | | | | | |
|------------------------------|-------|--------------------|--------------------|--------------------------|---|---------|
| t | df | Sig. (2-tailed) | Mean Difference | Std. Error Difference | 95% Confidence Interval of the Difference | |
| | | | | | Lower | Upper |
| -0.817 | 45 | 0.418 | -6.0547 | 7.41255 | -20.98434 | 8.87494 |
| -0.806 | 36.91 | 0.426 | -6.0547 | 7.51601 | -21.28486 | 9.17546 |

สรุปผลการทดสอบ

จาก 95% ของค่าประมาณแบบช่วง (95% Confidence Interval of the Difference) ของ μ_d จะพบว่าค่าต่ำสุดเป็นลบและค่าสูงสุดเป็นบวก ซึ่งมีเครื่องหมายในทิศทางตรงกันข้ามกัน แสดงว่า ขนาดของสัตว์ทะเลไม่แตกต่างกันและค่า Sig. มากกว่าระดับนัยสำคัญที่กำหนด คือ 0.05 จึงยอมรับสมมติฐาน $H_0: \mu_d = 0$ ดังนี้ขนาดของสัตว์ทะเลไม่แตกต่างกันที่ระดับนัยสำคัญ 0.05

2.4 ขนาดสัตว์ทะเลที่จับด้วยอวนลอยจากอ่าวเบงกอลและทะเลอันดามัน (น่านน้ำ pem)

สมมติฐาน

$H_0: \mu_d = 0$ หรือ ขนาดของสัตว์ทะเลจาก 2 พื้นที่ไม่แตกต่างกัน

$H_1: \mu_d \neq 0$ หรือ ขนาดของสัตว์ทะเลจาก 2 พื้นที่แตกต่างกัน

โดยที่ $\mu_d = \text{ผลต่างของขนาดสัตว์ทะเลจากอ่าวเบงกอลและทะเลอันดามัน}$

ตารางที่ ฉบ-6 แสดงการการทดสอบความแตกต่างของขนาดสัตว์ทะเลที่จับโดยอวนลอยจากอ่าวเบงกอล และทะเลอันดามัน (น่านน้ำ pem) ด้วย Independent Samples T-test จากโปรแกรม SPSS for Windows Versions 15

| t-test for Equality of Means | | | | | | |
|------------------------------|-------|--------------------|--------------------|--------------------------|---|----------|
| t | df | Sig. (2-tailed) | Mean Difference | Std. Error Difference | 95% Confidence Interval of the Difference | |
| | | | | | Lower | Upper |
| -6.911 | 52 | 0 | -5.7355 | 0.82989 | -7.40084 | -4.07025 |
| -3.669 | 7.315 | 0.007 | -5.7355 | 1.56339 | -9.40038 | -2.0707 |

สรุปผลการทดสอบ

จาก 95% ของค่าประมาณแบบช่วง (95% Confidence Interval of the Difference) ของ μ_d จะพบว่าค่าต่ำสุดและค่าสูงสุดเป็นลบ ซึ่งมีเครื่องหมายในทิศทางเดียวกัน แสดงว่า ขนาดของสัตว์ทะเลจาก 2 พื้นที่ แตกต่างกันและค่า Sig. น้อยกว่าระดับนัยสำคัญที่กำหนด คือ 0.05 จึงปฏิเสธสมมติฐาน $H_0: \mu_d = 0$ ดังนั้นขนาดของสัตว์ทะเลจาก 2 พื้นที่แตกต่างกันที่ระดับนัยสำคัญ 0.05

3. ปริมาณแคดเมีย�ที่ปั่นเปื้อนในเนื้อสัตว์ทะเลจาก 2 พื้นที่ แยกตามเครื่องมือประเมิน

3.1 ปริมาณแคดเมีย�ในสัตว์ทะเลจากอ่าวเบงกอลด้วยเบ็ดราวน้ำลึกและอวนลอย

สมมติฐาน

$H_0: \mu_d = 0$ หรือ แคดเมีย�ในสัตว์ทะเลที่จับด้วยเครื่องมือทั้ง 2 ชนิด ไม่แตกต่างกัน

$H_1: \mu_d \neq 0$ หรือ แคดเมีย�ในสัตว์ทะเล ที่จับด้วยเครื่องมือทั้ง 2 ชนิด แตกต่างกัน

โดยที่ μ_d = ผลต่างของแคดเมีย�ในสัตว์ทะเลที่จับโดยใช้เครื่องมือประเมินทั้ง 2 ชนิด

ตารางที่ ณ-7 แสดงการทดสอบความแตกต่างของปริมาณแคดเมีย�ในสัตว์ทะเลที่จับโดยเบ็ดราวน้ำลึกและอวนลอย จากพื้นที่อ่าวเบงกอล ด้วย Independent Samples

T-test จากโปรแกรม SPSS for Windows Versions 15

| t-test for Equality of Means | | | | | | |
|------------------------------|--------|--------------------|--------------------|--------------------------|---|----------|
| t | df | Sig. (2-tailed) | Mean Difference | Std. Error Difference | 95% Confidence Interval of the Difference | |
| | | | | | Lower | Upper |
| 1.529 | 63 | 0.131 | 0.00561 | 0.003673 | -0.001725 | 0.012954 |
| 1.117 | 20.501 | 0.277 | 0.00561 | 0.005026 | -0.004854 | 0.016083 |

สรุปผลการทดสอบ

จาก 95% ของค่าประมาณแบบช่วง (95% Confidence Interval of the Difference) ของ μ_d จะพบว่าค่าต่ำสุดเป็นลบและค่าสูงสุดเป็นบวก ซึ่งมีเครื่องหมายในทิศทางตรงกันข้ามกัน แสดงว่าแคดเมีย�ในเนื้อสัตว์ทะเล ไม่แตกต่างกัน และค่า Sig. มากกว่าระดับนัยสำคัญที่กำหนด คือ 0.05 จึงยอมรับสมมติฐาน $H_0: \mu_d = 0$ ดังนั้นแคดเมียมในเนื้อสัตว์ทะเล ไม่แตกต่างกันที่ระดับนัยสำคัญ 0.05

3.2 ปริมาณแคดเมียมในสัตว์ทะเลจากทะเลอันดามัน (น่านน้ำพม่า) จับโดยเบ็ดราวน้ำลึก อวนลอย และอวนลาก

สมมติฐาน

$H_0: \mu_d = 0$ หรือ แคดเมียมในสัตว์ทะเล ไม่แตกต่างกัน

$H_1: \mu_d \neq \mu_{ji}$ อย่างน้อย 1 คู่; $i \neq j ; i, j = 1, 2, 3$ แคดเมียมในสัตว์ทะเลแตกต่างกัน นั่นคือ ปฏิเสธสมมติฐาน H_0 เมื่อมีคู่ใดคู่หนึ่งอย่างน้อยหนึ่งคู่แตกต่างกันที่ระดับนัยสำคัญ 0.05

ตารางที่ ฉ-8 แสดงการทดสอบความแตกต่างของปริมาณแคนเดเมียมในสัตว์ทะเลที่จับโดยใช้เบื้องราวน้ำลึก awanloy และawanlak จากทะเลอันดามัน (น่านน้ำพม่า) ด้วย One-Way ANOVA โดยใช้โปรแกรม SPSS for Windows Versions 11

| Cd | Sum of Squares | df | Mean Square | F | Sig. |
|----------------|----------------|-----|-------------|--------|------|
| Between Groups | 0.096 | 2 | 0.048 | 19.277 | 0 |
| Within Groups | 0.604 | 244 | 0.002 | | |
| Total | 0.7 | 246 | | | |

สรุปผลการทดสอบ

ค่า Sig. น้อยกว่าระดับนัยสำคัญที่กำหนด คือ 0.05 จึงปฏิเสธสมมติฐาน $H_0: \mu_d = 0$ จึงสรุปได้ว่าปริมาณแคนเดเมียมในสัตว์ทะเลจากทะเลอันดามัน (น่านน้ำพม่า) ที่จับโดยใช้เครื่องมือทั้ง 3 ชนิด แตกต่างกันที่ระดับนัยสำคัญ 0.05

3.3 ปริมาณแคนเดเมียมในสัตว์ทะเล ทั้ง 2 พื้นที่ ที่จับโดยใช้เบื้องราวน้ำลึก

สมมติฐาน

$H_0: \mu_d = 0$ หรือ ปริมาณแคนเดเมียมที่จับโดยใช้เบื้องราวน้ำลึกไม่แตกต่างกัน

$H_1: \mu_d \neq 0$ หรือ ปริมาณแคนเดเมียม ที่จับโดยใช้เบื้องราวน้ำลึก แตกต่างกัน

โดยที่ $\mu_d = \text{ผลต่างของปริมาณแคนเดเมียมในสัตว์ทะเลทั้ง 2 พื้นที่ ที่จับโดยใช้เบื้องราวน้ำลึก}$

ตารางที่ ฉ-9 แสดงการทดสอบความแตกต่างของปริมาณแคนเดเมียมในสัตว์ทะเลที่จับโดยเบื้องราวน้ำลึก จากอ่าวเบงกอล และทะเลอันดามัน (น่านน้ำพม่า) ด้วย Independent Samples T-test จากโปรแกรม SPSS for Windows Versions 15

| t-test for Equality of Means | | | | | | |
|------------------------------|--------|--------------------|--------------------|--------------------------|---|-----------|
| t | df | Sig. (2-tailed) | Mean Difference | Std. Error Difference | 95% Confidence Interval of the Difference | |
| | | | | | Lower | Upper |
| -4.783 | 45 | 0 | -0.06252 | 0.013072 | -0.08885 | -0.036191 |
| -5.524 | 37.712 | 0 | -0.06252 | 0.011318 | -0.085438 | -0.039603 |

สรุปผลการทดสอบ

จาก 95% ของค่าประมาณแบบช่วง (95% Confidence Interval of the Difference) ของ μ_d จะพบว่า ค่าต่ำสุดและค่าสูงสุดเป็นลบ ซึ่งมีเครื่องหมายในทิศทางเดียวกัน แสดงว่า แอดเมียนในสัตว์จะเดลจาก 2 พื้นที่แตกต่างกันและค่า Sig. น้อยกว่าระดับนัยสำคัญที่กำหนด คือ 0.05 จึงปฏิเสธสมมติฐาน $H_0: \mu_d = 0$ ดังนั้นแอดเมียนในสัตว์จะเดลจาก 2 พื้นที่แตกต่างกันที่ระดับนัยสำคัญ 0.05

3.4 ปริมาณแอดเมียนในสัตว์จะเดลทั้ง 2 พื้นที่ ที่จับโดยใช้อวนลอย

สมมติฐาน

$$H_0: \mu_d = 0 \quad \text{หรือ แอดเมียนในสัตว์จะเดลทั้ง 2 พื้นที่ ไม่แตกต่างกัน}$$

$$H_1: \mu_d \neq 0 \quad \text{หรือ แอดเมียนในสัตว์จะเดลทั้ง 2 พื้นที่ แตกต่างกัน}$$

โดยที่ $\mu_d = \text{ผลต่างของปริมาณแอดเมียนในสัตว์จะเดลทั้ง 2 พื้นที่ ที่จับโดยใช้อวนลอย}$

ตารางที่ ฉบับ-10 แสดงการทดสอบความแตกต่างของปริมาณแอดเมียนในสัตว์จะเดลที่จับโดยอวนลอย จากอ่าวเบงกอล และทะเลอันดามัน (น่านน้ำพม่า) ด้วย Independent Samples T-test จากโปรแกรม SPSS for Windows Versions 15

| t-test for Equality of Means | | | | | | |
|------------------------------|-------|--------------------|--------------------|--------------------------|---|----------|
| t | df | Sig. (2-tailed) | Mean Difference | Std. Error Difference | 95% Confidence Interval of the Difference | |
| | | | | | Lower | Upper |
| -2.312 | 52 | 0.025 | -0.009 | 0.00387 | -0.01673 | -0.00118 |
| -1.473 | 7.651 | 0.181 | -0.009 | 0.00608 | -0.02309 | 0.00518 |

สรุปผลการทดสอบ

จาก 95% ของค่าประมาณแบบช่วง (95% Confidence Interval of the Difference) ของ μ_d จะพบว่า ค่าต่ำสุดและค่าสูงสุดเป็นลบ ซึ่งมีเครื่องหมายในทิศทางเดียวกัน แสดงว่า แอดเมียนในสัตว์จะเดลจาก 2 พื้นที่แตกต่างกันและค่า Sig. น้อยกว่าระดับนัยสำคัญที่กำหนด คือ 0.05 จึงปฏิเสธสมมติฐาน $H_0: \mu_d = 0$ ดังนั้นแอดเมียนในสัตว์จะเดลจาก 2 พื้นที่ แตกต่างกันที่ระดับนัยสำคัญ 0.05

3.5 แคดเมีย�ในปลาลามหางยาวหน้าหนู (*Alopias superciliatus*) ที่จับจาก 2 พื้นที่

สมมติฐาน

$H_0: \mu_d = 0$ หรือ แคดเมีย�ในเนื้อปลาลามหางยาวหน้าหนูจาก 2 พื้นที่ไม่แตกต่างกัน

$H_1: \mu_d \neq 0$ หรือ แคดเมีย�ในเนื้อปลาลามหางยาวหน้าหนู จาก 2 พื้นที่แตกต่างกัน

โดยที่ μ_d = ผลต่างของแคดเมีย�ในปลาจากอ่าวเบงกอลและทะเลอันดามัน (น้ำน้ำม่า)

ตารางที่ ฉ-11 การทดสอบความแตกต่างของปริมาณแคดเมีย�ในเนื้อปลาลามหางยาวหน้าหนู (*A. superciliatus*) จากอ่าวเบงกอลและทะเลอันดามัน (น้ำน้ำม่า) ด้วย Independent Samples T-test จากโปรแกรม SPSS for Windows Version 15

| t-test for Equality of Means | | | | | | |
|------------------------------|------|--------------------|--------------------|--------------------------|---|----------|
| t | df | Sig. (2-tailed) | Mean Difference | Std. Error Difference | 95% Confidence Interval of the Difference | |
| | | | | | Upper | Lower |
| 1.031 | 9 | 0.329 | 0.00497 | 0.004817 | -0.00593 | 0.015864 |
| 1.104 | 7.07 | 0.306 | 0.00497 | 0.004498 | -0.00564 | 0.015582 |

สรุปผลการทดสอบ

จาก 95% ของค่าประมาณแบบช่วง (95% Confidence Interval of the Difference) ของ μ_d พบว่าค่าต่ำสุดเป็นลบและค่าสูงสุดเป็นบวก ซึ่งมีเครื่องหมายในทิศทางตรงกันข้ามกัน แสดงว่า แคดเมีย�ในเนื้อปลาไม่แตกต่างกันและค่า Sig. มากกว่าระดับนัยสำคัญที่กำหนด คือ 0.05 จึงยอมรับสมมติฐาน $H_0: \mu_d = 0$ ดังนั้นแคดเมียมในเนื้อปลาลามหางยาวหน้าหนูไม่แตกต่างกันที่ระดับนัยสำคัญ 0.05

3.6 ปริมาณแคดเมียมในปลากระโทงແงดา (*Xiphias gladius*) ที่จับจาก 2 พื้นที่

สมมติฐาน

$H_0: \mu_d = 0$ หรือ แคดเมียมในเนื้อปลากระโทงແงดา จาก 2 พื้นที่ ไม่แตกต่างกัน

$H_1: \mu_d \neq 0$ หรือ แคดเมียมในเนื้อปลากระโทงແงดา จาก 2 พื้นที่แตกต่างกัน

โดยที่ μ_d = ผลต่างของปริมาณแคดเมียมในเนื้อปลากระโทงແงดาจาก 2 พื้นที่

ตารางที่ ฉบับ 12 แสดงการทดสอบความแตกต่างของปริมาณแคนดี้เมียมในเนื้อปลากระโงengeng คาว (*X. gladius*) จากอ่าวเบงกอล และทะเลอันดามัน (น่านน้ำพม่า) ด้วย Independent Samples T-test จากโปรแกรม SPSS for Windows Version 15

| t-test for Equality of Means | | | | | | |
|------------------------------|----|--------------------|--------------------|--------------------------|---|----------|
| t | df | Sig. (2-tailed) | Mean Difference | Std. Error Difference | 95% Confidence Interval of the Difference | |
| | | | | | Upper | Lower |
| -5.14 | 26 | 0.00 | -0.0790 | 0.015368 | -0.11061 | -0.04744 |
| -7.29 | 21 | 0.00 | -0.0790 | 0.010839 | -0.10156 | -0.05649 |

สรุปผลการทดสอบ

จาก 95% ของค่าประมาณแบบช่วง (95% Confidence Interval of the Difference) ของ μ_d จะพบว่าค่าต่ำสุดและค่าสูงสุดเป็นลบ ซึ่งมีเครื่องหมายในทิศทางเดียวกัน แสดงว่า แคนดี้เมียมในเนื้อปลากระโงengeng คาว (*X. gladius*) จาก 2 พื้นที่ มีความแตกต่างกันและค่า Sig. น้อยกว่าระดับนัยสำคัญที่กำหนด คือ 0.05 จึงปฏิเสธสมมติฐาน $H_0: \mu_d = 0$ ดังนั้นแคนดี้เมียมในเนื้อปลากระโงengeng คาว (*X. gladius*) จาก 2 พื้นที่มีความแตกต่างกันที่ระดับนัยสำคัญ 0.05

ภาคผนวก ช

ค่า HQ และ PTWI ของตัวอย่างสัตว์น้ำแต่ละชนิด พร้อมตัวอย่างการหาค่า HQ และ PTWI

ตารางที่ ช-1 ปริมาณแอดเมริมเจลี่ที่ปนเปื้อนในเนื้อสัตว์ทะเล ค่า Average cadmium daily intake (ADI) ค่า Hazard Quotient (HQ) และค่า Provisional Tolerance Weekly Intake (PTWI) สำหรับผู้ที่มีน้ำหนักตัว 50 และ 60 กก. ของสัตว์ทะเลทั้ง 11 ชนิด จากอ้างอิงกอล

| ชื่อวิทยาศาสตร์ | แอดเมริมเจลี่ (มก./กก. นน. เปียก □) | ADI (มคก./กก./วัน □) | Hazard Quotient | PTWI (กก./สัปดาห์ □) | |
|---------------------------------|--|-------------------------|-----------------|-------------------------|--------|
| | | | | 50 กก. | 60 กก. |
| <i>Alopias superciliosus</i> | 0.020 | 0.011 | 0.011 | 17.5 | 21.0 |
| <i>Carcharhinus brachyurus</i> | 0.067 | 0.036 | 0.036 | 5.2 | 6.3 |
| <i>Carcharhinus falciformis</i> | 0.031 | 0.017 | 0.017 | 11.3 | 13.5 |
| Unidentified shark | 0.029 | 0.016 | 0.016 | 12.1 | 14.5 |
| <i>Auxis thazard</i> | 0.023 | 0.012 | 0.012 | 15.2 | 18.3 |
| <i>Euthynnus affinis</i> | 0.022 | 0.012 | 0.012 | 15.9 | 19.1 |
| <i>Katsuwonus pelamis</i> | 0.025 | 0.013 | 0.013 | 14.0 | 16.8 |
| <i>Thunnus albacares</i> | 0.030 | 0.016 | 0.016 | 11.7 | 14.0 |
| <i>Thunnus obesus</i> | 0.027 | 0.014 | 0.014 | 13.0 | 15.6 |
| <i>Caranx Tille</i> | 0.029 | 0.016 | 0.016 | 12.1 | 14.5 |
| <i>Xiphias gladius</i> | 0.065 | 0.035 | 0.035 | 5.4 | 6.5 |

* 50 กก. ปริมาณที่แนะนำในการบริโภคสำหรับคนในແຄນກົມືກາຄເອເຊີຍຕະວັນອອກເນື້ອງໄດ້

* 60 กก. ปริมาณที่แนะนำในการบริโภคสำหรับคนທີ່ໄປທີ່แนะนำໂດຍ JECFA

ตารางที่ ช-2 ปริมาณแอดเมียเมลียที่ป่นเปื้อนในเนื้อสัตว์ทะเล ค่า Average cadmium daily intake (ADI) ค่า Hazard Quotient (HQ) และค่า Provisional Tolerance Weekly Intake (PTWI) สำหรับผู้ที่มีน้ำหนักตัว 50 และ 60 กก. ของสัตว์ทะเลทั้ง 32 ชนิด จากทะเบียนตามนี้ (น้ำหน้าพม่า)

| ชื่อวิทยาศาสตร์ | แอดเมียเมลีย (มก./กก. นน. เปรียก□) | ADI (มก./กก./วัน□) | Hazard Quotient | PTWI (กก./สัปดาห์□) | |
|---------------------------------|---------------------------------------|-----------------------|--------------------|------------------------|--------|
| | | | | 50 กก. | 60 กก. |
| <i>Loligo duvaucelii</i> | 0.214 | 0.115 | 0.115 | 1.6 | 2.0 |
| <i>Loligo</i> sp. | 0.180 | 0.097 | 0.097 | 1.9 | 2.3 |
| <i>Alepes djedaba</i> | 0.015 | 0.008 | 0.008 | 23.5 | 28.2 |
| <i>Chrysochir aureus</i> | 0.012 | 0.007 | 0.007 | 28.9 | 34.7 |
| <i>Cynoglossus cynoglossus</i> | 0.014 | 0.007 | 0.007 | 25.6 | 30.7 |
| <i>Drepane punctata</i> | 0.017 | 0.009 | 0.009 | 20.6 | 24.7 |
| <i>Decapterus russelli</i> | 0.127 | 0.068 | 0.068 | 2.7 | 3.3 |
| <i>Epinephelus coioides</i> | 0.020 | 0.011 | 0.011 | 17.4 | 20.8 |
| <i>Ehippibus orbis</i> | 0.009 | 0.005 | 0.005 | 38.3 | 45.9 |
| <i>Nemipterus bipunctatus</i> | 0.012 | 0.007 | 0.007 | 28.1 | 33.7 |
| <i>Nemipterus</i> spp. | 0.011 | 0.006 | 0.006 | 32.4 | 38.9 |
| <i>Nemipterus japonicus</i> | 0.013 | 0.007 | 0.007 | 27.2 | 32.6 |
| <i>Nemipterus peronii</i> | 0.007 | 0.004 | 0.004 | 47.9 | 57.5 |
| <i>Pennahia anea</i> | 0.014 | 0.007 | 0.007 | 25.9 | 31.0 |
| <i>Parupeneus</i> spp. | 0.014 | 0.008 | 0.008 | 24.4 | 29.2 |
| <i>Pennahia macrocephalus</i> | 0.009 | 0.005 | 0.005 | 41.0 | 49.2 |
| <i>Priacanthus macracanthus</i> | 0.012 | 0.006 | 0.006 | 30.2 | 36.2 |
| <i>Pseudorhombus</i> sp. | 0.014 | 0.007 | 0.007 | 25.6 | 30.7 |
| <i>Restrelliger karnagurta</i> | 0.043 | 0.023 | 0.023 | 8.2 | 9.9 |
| <i>Saurida</i> sp. | 0.064 | 0.034 | 0.034 | 5.5 | 6.6 |
| <i>Saurida elongata</i> | 0.037 | 0.020 | 0.020 | 9.4 | 11.3 |
| <i>Sphyraena forsteri</i> | 0.040 | 0.022 | 0.022 | 8.7 | 10.4 |
| <i>Sphyraena jello</i> | 0.020 | 0.011 | 0.011 | 17.7 | 21.3 |
| <i>Saurida undosquamis</i> | 0.021 | 0.011 | 0.011 | 16.7 | 20.0 |
| <i>Trichiurus lepturus</i> | 0.017 | 0.009 | 0.009 | 20.8 | 25.0 |
| <i>Trachinocephalus myops</i> | 0.017 | 0.009 | 0.009 | 20.2 | 24.3 |
| <i>Upeneus moluccensis</i> | 0.032 | 0.017 | 0.017 | 10.9 | 13.1 |
| <i>Upeneus</i> sp. | 0.109 | 0.059 | 0.059 | 3.2 | 3.8 |
| <i>Alopias Superciliosus</i> | 0.047 | 0.025 | 0.025 | 7.4 | 8.9 |
| <i>Istiophorus platypterus</i> | 0.065 | 0.035 | 0.035 | 5.4 | 6.5 |
| <i>Sphyraena barracuda</i> | 0.142 | 0.076 | 0.076 | 2.5 | 3.0 |
| <i>Xiphias gladius</i> | 0.111 | 0.060 | 0.060 | 3.2 | 3.8 |

* 50 กก. ปริมาณที่แนะนำในการบริโภคสำหรับคนในแถบภูมิภาคเอเชียตะวันออกเฉียงใต้

* 60 กก. ปริมาณที่แนะนำในการบริโภคสำหรับคนทั่วไปโดย JECFA

ตัวอย่างการหาค่า HQ และ PTWI

1. ตัวอย่างการหาค่า HQ

ค่า HQ หรือค่าความเสี่ยง (Hazard Quotient) สำหรับสารที่ไม่ก่อให้เกิดมะเร็ง (non-carcinogenic effect) หากได้จากสมการ ช-1 ซึ่งต้องทราบค่า ADI หรือค่าปริมาณที่ได้รับเข้าสู่ร่างกายต่อวัน (Average Daily Intake) ซึ่งได้จากสมการ ช-2 (Kofi , 2002; พงษ์เทพ วิวารชนະเดช, 2547)

$$HQ = \frac{\text{Average cadmium daily intake}}{\text{Rfd}} \quad (\text{ช-1})$$

โดยที่ ค่า Rfd (Reference dose for chronic oral exposure) สำหรับแคนดเมียม เท่ากับ 0.001 มก./กг./วัน (US-EPA, 2008)

$$\text{Average cadmium daily intake via fish (mg/kg/day)} = \frac{(CF)(IR)(FI)(EF)(ED)}{(BW)(AT)} \quad (\text{ช-2})$$

โดยที่ CF = ความเข้มข้นของแคนดเมียมเฉลี่ยในปลา (มก./กг.)
 IR = อัตราการรับประทานเนื้อปลา ค่าเฉลี่ยสำหรับคนไทย = 0.028 กก./มื้อ (FAO, 2005)
 FI = สัดส่วนการรับประทานอาหารที่ป่นเปี้ยน เท่ากับ 1 (ไม่มีหน่วย)
 EF = ความถี่ของการรับสัมผัส = 350 มื้อ/ปี (US-EPA, 1989)
 ED = ระยะเวลาที่สัมผัส = 30 ปี (US-EPA, 1989)
 BW = น้ำหนักตัวเฉลี่ย น้ำหนักของคนไทยเฉลี่ย = 50 กก. (Agusa *et al.*, 2007)
 AT = ระยะเวลาที่ใช้ในการเฉลี่ย สำหรับสารที่ไม่ก่อให้เกิดมะเร็ง = 10,950 วัน (US-EPA, 1989)

ที่มาของค่าต่างๆ ที่ใช้แทนค่าในสมการ

ในการคำนวณหาค่า HQ และ ADI สำหรับการป่นเปี้ยนของแคนดเมียมในสัตว์ทะเล จากอ่าวเบงกอลและทะเลอันดามัน (น่านน้ำพม่า) ในการศึกษาครั้งนี้ แทนค่าตัวแปรต่างๆ ในสมการ ช-1 และ ช-2 ดังนี้

- CF (Contaminant concentration of cadmium in fish)
 - หมายถึง ปริมาณแคนดเมียมที่ป่นเปี้ยนในสัตว์ทะเล หน่วยเป็น มก./กг. น้ำหนักเฉลี่ย
 - ใช้ค่าเฉลี่ยของแคนดเมียมที่ป่นเปี้ยนในสัตว์ทะเลที่ได้จากการศึกษาครั้งนี้

- IR (Ingestion rate)

- หมายถึง ปริมาณเนื้อปลาหรืออาหารทะเลที่รับประทานในแต่ละมื้อ หน่วยเป็น กก./มื้อ
- FAO (2005) รายงานปริมาณการบริโภคน้ำเนื้อปลาหรืออาหารทะเลของคนไทยไว้เท่ากับ 85 ก. คน/วัน หรือ 0.028 กก./มื้อ

- FI (Fraction ingested from contaminated source)

- หมายถึง สัดส่วนการรับประทานอาหารที่ปนเปื้อน
- ในที่นี้ให้ค่า = 1.0 (ไม่มีหน่วย)

- EF (Exposure frequency)

- หมายถึง ความถี่ของการรับสัมผัสมีหน่วยเป็น มื้อ/ปี
- US-EPA (1989) กำหนดค่าความถี่ของการรับสัมผัสเป็น 350 มื้อ/ปี

- ED (Exposure duration)

- หมายถึง ระยะเวลาที่สัมผัส มีหน่วยเป็นปี
- สำหรับความเป็นพิษที่ไม่ก่อให้เกิดมะเร็ง (non-carcinogenic effect) US-EPA (1989) กำหนดให้ใช้ระยะเวลา 30 ปี

- BW (Body weight)

- หมายถึง น้ำหนักตัวโดยเฉลี่ยของคนไทย มีหน่วยเป็น กก.
- สำหรับคนไทย กำหนดให้ใช้น้ำหนักตัวเท่ากับ 50 กก. (FAO, 2005)

- AT (Average time exposed)

- หมายถึง อายุขัยเฉลี่ยของประชากรที่จะได้รับความเสี่ยง มีหน่วยเป็น วัน
- สำหรับสารที่ไม่ก่อให้เกิดมะเร็ง US-EPA (1989) กำหนดให้ใช้อายุเฉลี่ย 30 ปี คูณด้วย 365 วัน (30×365) ดังนั้น AT = 10,950 วัน

- Rfd (Reference dose for chronic oral exposure)

- ค่า Rfd สำหรับแครเดเมียม = 0.001 มก./กก./วัน (US-EPA, 2008)

วิธีการคำนวณ

ตัวอย่างการคำนวณค่า HQ ในการบริโภคปลาทูแขก (*Decapterus russelli*) จากทะเลอันดามัน (น้ำน้ำม่วง)

$$\begin{aligned} \text{ADI} &= \frac{(CF)(IR)(FI)(EF)(ED)}{(BW)(AT)} \\ &= \frac{0.127 \times 0.028 \times 1 \times 350 \times 30}{50 \times 10,950} \end{aligned}$$

= 0.000068 มก./กก./วัน หรือ 0.068 มคก./กก./วัน

$$HQ = \frac{\text{Average cadmium daily intake}}{\text{Rfd}}$$

$$= \frac{0.000068}{0.001} \\ = 0.068$$

หากค่า HQ > 1 แสดงว่า ปริมาณแคดเมียมที่ร่างกายได้รับอยู่ในระดับที่ไม่ปลอดภัย ต่อผู้บริโภคอาจก่อให้เกิดโรคต่างๆ ซึ่งไม่ใช่โรคมะเร็ง ในที่นี้ HQ < 1 แสดงว่า การบริโภคนี้อ ปลาทูแขกจากทะเลอันตามัน (น่านน้ำพม่า) ที่มีแคดเมียมปนเปื้อนไม่เป็นอันตรายต่อสุขภาพของผู้บริโภค

2. ตัวอย่างการหาค่า PTWI

ค่า PTWI หรือปริมาณที่สามารถบริโภคได้อ่อนโยนต่อสัปดาห์ (Provisional Tolerable Weekly Intake) หาได้จากการ ช-3

$$\text{PTWI} = \left[\frac{\text{TRV} \times \text{BW}}{\text{C}_f} \right] \times 7 \quad (\text{ช-3})$$

โดยที่

PTWI = ปริมาณปลาที่ควรบริโภคต่อสัปดาห์ (กรัม/สัปดาห์)

TRV = ค่ามาตรฐานที่กำหนดโดย JECFA (2005) ที่กำหนดให้ผู้บริโภคไม่ควรได้รับแคดเมียมเกินกว่า 7 มคก./กก. น้ำหนักตัว สำหรับผู้ที่มีน้ำหนัก 60 กก. ดังนั้นใน 1 วัน จึงไม่ควรได้รับแคดเมียมเกิน 1 มคก./กก./วัน

BW = น้ำหนักตัว 60 กิโลกรัม เนื่องจากค่า TRV กำหนดในคนที่มีน้ำหนักตัว 60 กก.

C_f = ค่าเฉลี่ยของแคดเมียมในปลาแต่ละชนิดมีหน่วยเป็น มก./กก. ปลาทูแขก มีค่า 0.127 มก./กก. น้ำหนักเปรียก
ที่มาของค่าต่างๆ ที่ใช้แทนค่าในสมการ

ในการคำนวณหาค่า PTWI สำหรับการปนเปื้อนของแคดเมียมในสัตว์น้ำจากทะเลอันตามันในการศึกษาครั้งนี้ แทนค่าตัวแปรต่างๆ ในสมการ ช-3 (JECFA, 2005) ดังนี้

- TRV หมายถึง ปริมาณแอดเมียร์ที่มนุษย์จะรับได้ = ไม่เกินวันละ 1 มกก./กก./วัน
- BW หมายถึง น้ำหนักตัวของผู้บริโภคโดยใช้น้ำหนักตัวเฉลี่ยของคนทั่วไป 60 กก. (JECFA, 2005) และคำนวณโดยใช้ 50 กก. สำหรับคนไทย (Agusa et al., 2007)
- C_f หมายถึง ค่าเฉลี่ยของแอดเมียร์ในปลาแต่ละชนิด หน่วยเป็น มก./กก.

วิธีการคำนวณ

ตัวอย่างการคำนวณค่า PTWI ในการบริโภคปลาทูแยกจากทะเลอันดามัน (น้ำหน้าพม่า)

$$\begin{aligned} \text{PTWI} &= \frac{1 \times 60}{0.127} \times 7 \\ &= 3,298.98 \quad \text{กรัม/สัปดาห์ หรือ } 3.3 \text{ กก./สัปดาห์} \end{aligned}$$

ดังนั้นผู้ที่มีน้ำหนักตัว 60 กก. ไม่ควรบริโภคปลาทูแยกกินกว่า 3.3 กก./สัปดาห์

ในการณ์ที่คนไทยหรือคนในแถบภูมิภาคเอเชียตะวันออกเฉียงใต้มีน้ำหนักตัว 50 กก. สามารถคำนวณค่าที่ปลดภัยในการบริโภคโดยใช้หลักการเทียบบัญญัติไตรยางค์ เช่น

ผู้บริโภคเมื่อน้ำหนัก 60 กก. บริโภคปลาทูแยกได้ 3.3 กก./สัปดาห์

ผู้บริโภคเมื่อน้ำหนัก 50 กก. บริโภคปลาทูแยกได้ $\frac{50 \times 3.3}{60} = 2.75$ กก./สัปดาห์

ดังนั้นผู้ที่มีน้ำหนัก 50 กก. บริโภคปลาทูแยกจากทะเลอันดามัน (น้ำหน้าพม่า) ได้ไม่เกิน 2.75 กก./สัปดาห์

ประวัติผู้เขียน

| | | |
|-----------------------------------|--------------------------|---------------------|
| ชื่อ สกุล | นางสาวสุภาพร แก้วบุนนา | |
| รหัสประจำตัวนักศึกษา | 5010920030 | |
| วุฒิการศึกษา | | |
| วุฒิ | ชื่อสถาบัน | ปีที่สำเร็จการศึกษา |
| วิทยาศาสตรบัณฑิต (ศึกษาศาสตร์) | มหาวิทยาลัยสงขลานครินทร์ | 2545 |

การคัดพิมพ์เผยแพร่ผลงาน

สุภาพร แก้วบุนนา, เพ็ญใจ สมพงษ์ชัยกุล, ภัทธิรา เลิศวิทยาประสิทธิ์, ณรูนิ ศุกระมงคล, ฤทธิรงค์ พรหมมาศและสายัณห์ พรหมจินดา. 2551. “การสะส茅ทางชีวภาพของ แอดเมียโนในเนื้อเยื่อส่วนที่บริโภคของปลากลางน้ำจากอ่าวเบงกอล”. ใน เอกสารประกอบการประชุมวิชาการวิทยาศาสตร์ทางทะเล 2551. 25-27 สิงหาคม 2551. ณ โรงแรมเมืองไทย จังหวัด ภูเก็ต.